

การวิเคราะห์โหลดโฟลว์ ด้วยวิธีฟาสต์ดีคัปเปิ้ล โดยใช้เทคนิค
สเปซเมทริกซ์ และการแยกส่วนย่อย

APPLICATIONS OF SPARSE MATRIX AND PIECEWISE SOLUTION
FOR FAST DECOUPLED LOAD FLOW ANALYSIS

พรสิน ชัยศิริพงศ์
PORNSIN CHAISIRIPONG

วิทยานิพนธ์นี้เป็นส่วนหนึ่งของการศึกษาตามหลักสูตรปริญญาวิศวกรรมศาสตรมหาบัณฑิต
สาขาวิชาวิศวกรรมไฟฟ้า

บัณฑิตวิทยาลัย

สถาบันเทคโนโลยีพระจอมเกล้าเจ้าคุณทหารลาดกระบัง

พ.ศ. 2545

ISBN 974-324-146-9

การวิเคราะห์โหลดฟลว์ ด้วยวิธีฟาสต์ดีคัปเปิ้ล โดยใช้เทคนิค
สเปซเมตริกซ์ และการแยกส่วนย่อย

APPLICATIONS OF SPARSE MATRIX AND PIECEWISE SOLUTION
FOR FAST DECOUPLED LOAD FLOW ANALYSIS

พรสิน ชัยศิริพงศ์

PORNSIN CHAISIRIPONG

เลขที่.....
เลขทะเบียน 45653
วัน, เดือน, ปี 1 2 ก.พ. 2546

วิทยานิพนธ์นี้เป็นส่วนหนึ่งของการศึกษาตามหลักสูตรปริญญาวิศวกรรมศาสตรมหาบัณฑิต

สาขาวิศวกรรมไฟฟ้า

บัณฑิตวิทยาลัย

สถาบันเทคโนโลยีพระจอมเกล้าลาดกระบัง

พ.ศ.2545

ISBN 974-324-146-9

**APPLICATIONS OF SPARSE MATRIX AND PIECEWISE SOLUTION
FOR FAST DECOUPLED LOAD FLOW ANALYSIS**

PORNSIN CHAISIRIPONG

**A THESIS SUBMITTED IN PARTIAL FULFILLMENT
OF THE REQUIREMENT FOR THE DEGREE OF
MASTER OF ENGINEER IN ELECTRICAL ENGINEERING
SCHOOL OF GRADUATE STUDIES
KING MONGKUT'S INSTITUTE OF TECHNOLOGY LADKABANG**

2002

ISBN 974-324-146-9

COPYRIGHT 2002

SCHOOL OF GRADUATE STUDIES

KING MONGKUT'S INSTITUTE OF TECHNOLOGY LADKABANG

หัวข้อวิทยานิพนธ์	การวิเคราะห์โหนดโพลีด้วยวิธีฟาสต์ดีคัปเปิล โดยใช้เทคนิค สาขาเมตริกซ์ และการแยกส่วนย่อย
นักศึกษา	นายพรสิน ชัยศิริพงศ์
รหัสประจำตัว	42061108
ปริญญา	วิศวกรรมศาสตรมหาบัณฑิต
สาขาวิชา	วิศวกรรมไฟฟ้า
พ.ศ.	2545
อาจารย์ผู้ควบคุมวิทยานิพนธ์	รศ. มณฑล ลีลาจินดาไกรฤกษ์

บทคัดย่อ

เนื้อหาของวิทยานิพนธ์เล่มนี้ นำเสนอการวิเคราะห์โหนดโพลีด้วยวิธีฟาสต์ดีคัปเปิล โดยใช้เทคนิคสาขาเมตริกซ์ และการแยกส่วนย่อย ตัวโปรแกรมที่ใช้เขียนด้วยภาษาแมทแลป ลักษณะการแก้ปัญหาโหนดโพลี ด้วยวิธีนี้คือ จากระบบไฟฟ้ากำลัง เราจะทำการแบ่งส่วนของระบบทั้งหมดออกเป็นระบบย่อยๆ จากนั้นทำการคำนวณหาผลลัพธ์ของทุกๆส่วนย่อย แล้วนำผลลัพธ์ของส่วนย่อยทั้งหมดมารวมเข้าด้วยกัน และได้มีการนำเอาฟังก์ชันสาขาเมตริกซ์มาประยุกต์ใช้กับเทคนิคนี้ ผลที่ได้มีลักษณะการลู่ออกสู่ค่าตอบ และเหมือนกันกับระบบที่ไม่ได้แบ่งส่วน นอกจากนั้นมันยังสามารถลดการใช้หน่วยความจำในการจัดเก็บเมตริกซ์ของการวิเคราะห์ระบบไฟฟ้ากำลังขนาดใหญ่.

Thesis Title	Applications of Sparse Matrix and Piecewise Solution for Fast Decoupled Load Flow Analysis
Student	Mr.Pornsir Chaisiripong
Student ID.	42061108
Degree	Master of Engineering
Programme	Electrical Engineering
Year	2002
Thesis Advisor	Assoc.Prof.Monthon Leelachindakaileark

ABSTRACT

The research presented in this thesis concerns a method for applications of Sparse Matrix and Piecewise Solution for Fast Decoupled Load Flow Analysis. The developed program is written using MATLAB. The method is suitable for a large-scale power system. The system is torn into a number of subdivisions that are solved separately. The results are combined to yield the solution of the total system together with the correction factors to obtain the proper values because Sparse Matrices is applied in process of this technique. The result has the same convergence characteristics and gives the same solution similar to that the system has never been torn. Moreover, the technique can reduce the storing matrix memory in the large sized Electric Power System.

กิตติกรรมประกาศ

วิทยานิพนธ์ฉบับนี้ได้สำเร็จลุล่วงเป็นอย่างดี โดยได้รับคำแนะนำจากท่านรองศาสตราจารย์ มณฑล ติลาจินดาไกรฤกษ์ รศ. ศิริวัฒน์ โพธิกุล ดร.อานันท์วัฒน์ คุณากร ดร.สมชาติ จิริวิภากร ตลอดจนคณาจารย์ทุกท่านที่ได้แนะนำปัญหา ข้อผิดพลาดและข้อคิดเห็นในการปรับปรุงวิจัยเพิ่มเติมซึ่งเป็นประโยชน์และการเรียนรู้ในการพัฒนาวิทยานิพนธ์ฉบับนี้

และสุดท้ายขอขอบคุณ พระคุณบิดา และมารดา อาจารย์ วีรพล และ รอ.ฉัตรชัย ชัยศิริ พงศ์และครอบครัว คุณดวงใจ ภู่วิจิตรที่ได้คอยให้กำลังใจและให้ความช่วยเหลือทุกๆด้านต่อการศึกษา

พรสิน ชัยศิริพงศ์

สารบัญ

	หน้า
บทคัดย่อภาษาไทย.....	I
บทคัดย่อภาษาอังกฤษ.....	II
กิตติกรรมประกาศ.....	III
สารบัญ.....	IV
สารบัญตาราง.....	VI
สารบัญรูป.....	VIII
บทที่ 1 บทนำ.....	1
1.1 ความเป็นมาและความสำคัญของปัญหา.....	1
1.2 ความมุ่งหมายและวัตถุประสงค์ของการศึกษา.....	1
1.3 สมมุติฐานของการศึกษา.....	1
1.4 ทฤษฎีและแนวคิดที่ใช้ในการวิจัย.....	2
1.5 ขอบเขตวิทยานิพนธ์.....	2
1.6 ขั้นตอนการศึกษา.....	2
บทที่ 2 การประยุกต์ใช้วิธีการแยกส่วนย่อยในระบบไฟฟ้ากำลัง.....	4
2.1 บทนำ.....	4
2.2 การเพิ่มและปลดสายส่งหลายๆสายส่งออกจากระบบไฟฟ้ากำลัง.....	4
2.3 การหาผลลัพธ์แบบแยกส่วนย่อย.....	9
2.3.1 ขั้นตอนในการหา Z_r	14
2.3.2 ตัวอย่างในการหาผลลัพธ์.....	18
บทที่ 3 การวิเคราะห์โหนดโพลี.....	23
3.1 บทนำ.....	23
3.2 ปัญหาของการไหลของกำลังไฟฟ้า.....	23
3.3 การสร้างบัสแอดมิแตนซ์เมตริกซ์โดยวิธีอิติเมนต์สแตมปี.....	28
3.3.1 สายส่งไฟฟ้า.....	28
3.3.2 หม้อแปลงไฟฟ้า.....	29
3.3.3 ชั้นที่อิติเมนต์.....	34

สารบัญ(ต่อ)

	หน้า
3.4 การคำนวณโหลดโพล์ด้วยวิธีนิวตัน ราฟสัน.....	34
3.4.1 การประยุกต์วิธีนิวตัน ราฟสัน ในการแก้ปัญหาโหลดโพล์.....	36
3.5 การคำนวณโหลดโพล์ด้วยวิธีฟาสต์ดีคัปเปิ้ล	38
3.5.1 ข้อกำหนดในการหา $[B']$ และ $[B'']$	41
บทที่ 4 การประยุกต์ใช้เทคนิคสเปซเมตริกซ์ และขั้นตอนการทำงานของโปรแกรม.....	43
4.1 บทนำ.....	43
4.2 การเก็บบันทึกค่า nodal self admittance และ mutual admittance.....	43
4.3 วิธีการการเทคนิคสเปซเมตริกซ์ นำไปใช้.....	45
4.4 การนำเทคนิคสเปซเมตริกซ์ใช้ในวิเคราะห์ โหลดโพล์.....	48
4.5 ขั้นตอนการทำงานของโปรแกรม	52
บทที่ 5 บันทึกและแสดงผลการวิเคราะห์ระบบไฟฟ้ากำลัง.....	60
5.1 บทนำ.....	60
5.2 การทดสอบความถูกต้องของโปรแกรมวิเคราะห์ระบบไฟฟ้ากำลัง.....	60
5.2.1 ระบบไฟฟ้ากำลัง IEEE 6 บัส.....	61
5.2.2 ระบบไฟฟ้ากำลัง IEEE 14 บัส.....	66
5.2.3 ระบบไฟฟ้ากำลัง IEEE 30 บัส.....	73
5.3 การทดสอบประสิทธิภาพของโปรแกรมวิเคราะห์โหลดโพล์.....	86
5.4 ทดสอบประสิทธิภาพการคำนวณ โหลดโพล์ด้วยระบบไฟฟ้ากำลังขนาดใหญ่.....	88
บทที่ 6 สรุปผลการวิจัย และข้อเสนอแนะ.....	93
6.1 สรุปผลการทดลอง.....	93
6.2 ข้อเสนอแนะและแนวทางในการพัฒนา.....	94
เอกสารอ้างอิง.....	95

สารบัญ(ต่อ)

หน้า

ภาคผนวก

ภาคผนวก ก. ข้อมูลของระบบทดสอบการคำนวณ โหลด โฟลว์ของระบบไฟฟ้ากำลัง.....	96
ภาคผนวกข. ข้อควรระวังในการคัดลอก.....	111
ภาคผนวกค. การเตรียมข้อมูลลงใน busdata และ linedata.....	115
ภาคผนวกง. แผนผังแสดงรายละเอียดเพิ่มเติมของโปรแกรม.....	118
ภาคผนวกจ. บทความที่ได้รับการตีพิมพ์.....	146
ประวัติผู้เขียน.....	154

สารบัญตาราง

ตารางที่	หน้า
3.1	สรุปปัญหาโหลดโพลี.....28
4.1	ข้อมูลตัวอย่างสายส่งของระบบไฟฟ้ากำลัง 14บัส 20สายส่งแบบเปอร์ยูนิค.....45
5.1	แสดงค่าผิดพลาดของแรงดัน ที่ได้จาก SPF เทียบกับแรงดันที่ได้จากนิวตัน ราฟสันของระบบไฟฟ้ากำลังIEEE 6 บัส.....63
5.2	แสดงค่าผิดพลาดของมุม ที่ได้ SPFเทียบกับ มุมที่ได้จากนิวตัน ราฟสันของระบบไฟฟ้า กำลังIEEE 6 บัส64
5.3	แสดงการใช้หน่วยความจำในการจัดเก็บแอดมิแทนท์ SPF ของระบบไฟฟ้ากำลัง IEEE 6 บัส.....65
5.4	แสดงการใช้หน่วยความจำในการจัดเก็บแอดมิแทนท์ ที่ได้จากวิธีนิวตัน ราฟสันของระบบไฟฟ้ากำลังIEEE 6 บัส.....65
5.5	แสดงค่าผิดพลาดของแรงดันที่ได้จาก SPF เทียบกับแรงดันที่ได้จากนิวตัน ราฟสันของระบบไฟฟ้ากำลังIEEE 14 บัส.....69
5.6	แสดงค่าผิดพลาดของมุม ที่ได้จาก SPF เทียบกับมุม ที่ได้จากนิวตัน ราฟสันของระบบไฟฟ้ากำลังIEEE 14 บัส.....70
5.7	แสดงการใช้หน่วยความจำในการจัดเก็บแอดมิแทนท์ SPF ของระบบไฟฟ้ากำลัง IEEE 14 บัส.....72
5.8	แสดงการใช้หน่วยความจำในการจัดเก็บแอดมิแทนท์ ที่ได้จากวิธีนิวตัน ราฟสันของระบบไฟฟ้ากำลังIEEE 14 บัส..... 72
5.9	แสดงค่าผิดพลาดของแรงดันที่ได้จาก SPF เทียบกับแรงดันที่ได้จากนิวตัน ราฟสันของระบบไฟฟ้ากำลังIEEE 30 บัสแบบที่ 1.....75
5.10	แสดงค่าผิดพลาดของมุม ที่ได้จาก SPFเทียบกับ มุมที่ได้จากนิวตัน ราฟสันของระบบไฟฟ้ากำลังIEEE 30 บัสแบบที่ 1.....77
5.11	แสดงค่าผิดพลาดของแรงดันที่ได้จาก SPF เทียบกับแรงดันที่ได้จากนิวตัน ราฟสันของระบบไฟฟ้ากำลังIEEE 30 บัสแบบที่ 2.....80
5.12	แสดงค่าผิดพลาดของมุมที่ได้จาก SPF เทียบกับมุมที่ได้จาก นิวตัน ราฟสันของระบบไฟฟ้ากำลังIEEE 30 บัสแบบที่ 2.....82
5.13	แสดงการใช้หน่วยความจำในการจัดเก็บแอดมิแทนท์ ที่ได้จาก SPF ของระบบไฟฟ้า.....84

สารบัญตาราง(ต่อ)

ตารางที่	หน้า
5.14 แสดงการใช้หน่วยความจำในการจัดเก็บแอดมิแทนท์ ที่ได้จากวิธีนิวตัน رافสัน ของระบบไฟฟ้ากำลังIEEE 30 บัส.....	84
5.15 ค่าของเวลา .จำนวนรอบ และหน่วยความจำที่ใช้ของระบบ IEEE 6 บัส	86
5.16 ค่าของเวลา .จำนวนรอบ และหน่วยความจำที่ใช้ของระบบ IEEE 14 บัส.....	86
5.17 ค่าของเวลา .จำนวนรอบ และหน่วยความจำที่ใช้ของระบบ IEEE 30 บัสแบบที่ 1.....	86
5.18 ค่าของเวลา .จำนวนรอบ และหน่วยความจำที่ใช้ของระบบ IEEE 30 บัสแบบที่ 2.....	86
ผ.5.1 ข้อมูลของบัสของระบบไฟฟ้ากำลัง IEEE 6 บัส.....	97
ผ.5.2 ข้อมูลของสายส่งของระบบไฟฟ้ากำลัง IEEE 6 บัส	97
ผ.5.3 ข้อมูลของบัสของระบบไฟฟ้ากำลัง IEEE 14 บัส	98
ผ.5.4 ข้อมูลของสายส่งของระบบไฟฟ้ากำลัง IEEE 14 บัส.....	99
ผ.5.5 ข้อมูลของบัสของระบบไฟฟ้ากำลัง IEEE 30 บัส.....	100
ผ.5.6 ข้อมูลของสายส่งของระบบไฟฟ้ากำลัง IEEE 30 บัส.....	101
ผ.5.7 ข้อมูลของบัสของระบบไฟฟ้ากำลัง IEEE 57 บัส.....	104
ผ.5.8 ข้อมูลของสายส่งของระบบไฟฟ้ากำลัง IEEE 57 บัส.....	107

สารบัญรูป

รูปที่	หน้า
2.1 ระบบเริ่มต้นที่มีแรงดันที่บัสเป็น (V_1, V_2, \dots, V_N) และกระแสที่ไหลเข้าบัสเป็น (I_1, I_2, \dots, I_N).....	5
2.2 ระบบเริ่มต้นที่เปลี่ยนแรงดันบัสจาก V_i เป็น V_i' โดย (ก) เพิ่มอิมพีแดนซ์ Z_{ii} และ Z_{ij} เข้าระบบหรือ (ข) โดยสมมติกระแสชดเชยไหลเข้าที่บัส.....	6
2.3 ระบบไฟฟ้ากำลัง 9 บัส 12 สายส่ง.....	9
2.4 แสดงกระแสและแรงดันระหว่างระบบทั้งสองที่ถูกแบ่ง.....	10
2.5 แสดงแรงดัน และกระแสชดเชย ของระบบย่อย.....	10
2.6 แสดงระบบไฟฟ้ากำลัง 6 บัส.....	15
2.7 ระบบไฟฟ้ากำลังหลังแบ่งโซน.....	15
2.8 แสดงการสมมุติทิศทางกระแสที่ปลายหลังแบ่งโซน.....	16
2.9 แสดงข่ายวงจรซึ่งถูกแบ่งออกเป็น 3 ระบบย่อย.....	18
3.1 (ก) แอ็กทีฟเพาเวอร์ และ (ข) รีแอ็กทีฟเพาเวอร์ที่บัส i สำหรับการศึกษาโหลดโพลาร์.....	25
3.2 วงจรสมมูลพายที่ใช้แทนสายส่ง.....	29
3.3 แบบจำลองหม้อแปลงไฟฟ้าอุดมคติ.....	30
3.4 วงจรสมมูลของหม้อแปลงไฟฟ้า.....	30
3.5 วงจรสมมูลพายของหม้อแปลงไฟฟ้า.....	33
3.6 ระบบเครือข่ายเริ่มต้น.....	41
3.7 เครือข่าย B'	41
3.8 เครือข่าย B''	42
4.1 ระบบไฟฟ้ากำลัง 4 บัส 4 สายส่ง.....	44
4.2 ลักษณะการบันทึกของ self และ mutual admittance ซึ่งจะต้องใช้ core storage เท่ากับ 8 word.....	44
4.3 ลักษณะการบันทึกของ self และ mutual admittance แบบ two dimension array.....	45
4.4 ลักษณะการบันทึกของ self admittance ซึ่ง core storage จะแปรผันตามจำนวนบัส และ mutual admittance ซึ่ง core storage จะแปรผันตามจำนวนสายส่ง.....	48
4.5 แสดงความสัมพันธ์ ของ self และ mutual admittance ด้วยวิธีสเปซเมตริกซ์ ในการสร้าง $[B']$ และ $[B'']$	50
4.6 แผนผังโปรแกรมการวิเคราะห์โหลดโพลาร์ ด้วยวิธีฟาสต์ดีคัปเปิล โดยใช้เทคนิคสเปซเมตริกซ์ และการแยกส่วนย่อย.....	53

สารบัญรูป(ต่อ)

รูปที่	หน้า
5.1 ระบบไฟฟ้ากำลัง IEEE 6 บัส.....	61
5.2 การแยกส่วนย่อยของระบบไฟฟ้ากำลัง IEEE 6 บัส.....	61
5.3 บันทึกผลการคำนวณ mutual admittance และ self admittance ของระบบไฟฟ้ากำลัง IEEE 6 บัส.....	62
5.4 เปรียบเทียบแรงดัน ที่ได้จากนิวตัน ราฟสัน และSPF ของระบบไฟฟ้ากำลัง IEEE 6 บัส.....	63
5.5 เปรียบเทียบมุม ที่ได้จากนิวตัน ราฟสัน และ SPF ของระบบไฟฟ้ากำลัง IEEE 6 บัส.....	64
5.6 ระบบไฟฟ้ากำลัง IEEE 14 บัส.....	66
5.7 การแยกส่วนย่อยของระบบไฟฟ้ากำลัง IEEE 14 บัส.....	67
5.8 บันทึกผลการคำนวณ mutual admittance ของระบบไฟฟ้ากำลังIEEE 14 บัส.....	68
5.9 บันทึกผลการคำนวณ self admittance ของระบบไฟฟ้ากำลังIEEE 14 บัส.....	68
5.10 เปรียบเทียบแรงดัน ที่ได้จากนิวตัน ราฟสัน และSPF ของระบบไฟฟ้ากำลัง IEEE 14 บัส...	70
5.11 เปรียบเทียบมุม ที่ได้จากนิวตัน ราฟสัน และSPF ของระบบไฟฟ้ากำลัง IEEE 14 บัส.....	71
5.12 ระบบไฟฟ้ากำลัง IEEE 30 บัส.....	73
5.13 การแยกส่วนย่อยของระบบไฟฟ้ากำลัง IEEE 30 บัส แบบที่ 1.....	74
5.14 เปรียบเทียบแรงดันที่ได้จากนิวตัน ราฟสันและ SPF ของระบบไฟฟ้ากำลัง IEEE 30 บัส แบบที่ 1.....	76
5.15 เปรียบเทียบมุม ที่ได้จากนิวตัน ราฟสัน และ SPF ของระบบไฟฟ้ากำลังIEEE30 บัส แบบที่ 1.....	78
5.16 การแยกส่วนย่อยของระบบไฟฟ้ากำลัง IEEE 30 บัส แบบที่ 2.....	79
5.17 เปรียบเทียบแรงดัน ที่ได้จากนิวตัน ราฟสัน และ SPF ของระบบไฟฟ้ากำลัง IEEE 30 บัส แบบที่ 2.....	81
5.18 เปรียบเทียบมุมที่ได้จากนิวตัน ราฟสัน และ SPF ของระบบทดสอบIEEE 30 บัส แบบที่ 2.....	83
5.19 แสดงหน่วยความจำทั้งหมดในการวิเคราะห์โหนด โพลล์ด้วยวิธีนิวตันราฟสันของระบบไฟฟ้ากำลัง IEEE 30 บัส.....	85
5.20 แสดงหน่วยความจำทั้งหมดที่ได้จาก SPF ของระบบไฟฟ้ากำลัง IEEE 30 บัส แบบที่ 2.....	85
5.21 ระบบไฟฟ้ากำลัง IEEE 57 บัส.....	88
5.22 การแยกส่วนย่อยของระบบไฟฟ้ากำลัง IEEE 57 บัส.....	89

สารบัญรูป(ต่อ)

รูปที่	หน้า
5.23 แสดงผลการคำนวณโหลดโพล์ด้วย SPF ของระบบไฟฟ้ากำลัง IEEE 57 บัส.....	90
5.24 แสดงผลการคำนวณโหลดโพล์ด้วยโปรแกรมวิเคราะห์โหลดโพล์แบบนิวตัน ราฟสัน ของระบบไฟฟ้ากำลัง IEEE 57 บัส.....	91
5.25 แสดงผลการคำนวณโหลดโพล์ด้วยโปรแกรมวิเคราะห์โหลดโพล์แบบฟาสต์ดีคัปเปิล ของระบบไฟฟ้ากำลัง IEEE 57 บัส.....	92
ผ.5.1 แสดงการกั้ทลายในการตัดบัส อีสรระออก.....	112
ผ.5.2 แสดงการกั้ทลายบัสส่ง หรือบัสรับบัสใดบัสหนึ่งไม่ได้เชื่อมโยงเข้ากับบัสอื่น.....	113
ผ.5.3 แสดงการกั้ทลายในการตัดบัสออกนอกระบบ.....	114
ผ.5.4 แผนผังแสดงการหาตัวนับบัสในแต่ละระบบย่อย.....	119
ผ.5.5 แผนผังแสดงการจัดข้อมูลบัสให้อยู่ในระบบบัสย่อยเดียวกัน.....	120
ผ.5.6 แผนผังแสดงการหา self admittance.....	122
ผ.5.7 แผนผังแสดงการหาจำนวนบัสที่ไม่มีบัสแอสก (NB1)และตัวนับบัสโหลด(NB2).....	124
ผ.5.8 แผนผังแสดงการหาตัวนับกั้ทลาย บัสส่ง และ บัสรับ ของสายกั้ทลาย.....	126
ผ.5.9 แผนผังแสดงการบันทึก self admittance ของแต่ละระบบย่อย ลงใน B'	127
ผ.5.10 แผนผังแสดงการบันทึก mutual admittance ของแต่ละระบบย่อย ลงใน B'	129
ผ.5.11 แผนผังแสดงการบันทึก self admittance ของแต่ละระบบย่อย ลงใน B''	132
ผ.5.12 แผนผังแสดงการบันทึก mutual admittance ของแต่ละระบบย่อย ลงใน B''	134
ผ.5.13 แผนผังแสดงการหา Z_2 จาก B'	137
ผ.5.14 แผนผังแสดงการหา Z_2 จาก B''	139
ผ.5.15 แผนผังแสดงการหา Z_1 จาก B'	141
ผ.5.16 แผนผังแสดงการหา NEL ของ สายกั้ทลาย.....	143
ผ.5.17 แผนผังแสดงการรวมสายกั้ทลายลงใน Z_1 ตามแนวทแยงมุม.....	145

บทที่ 1

บทนำ

1.1 ความเป็นมาและความสำคัญของปัญหา

ในปัจจุบันความต้องการใช้ไฟฟ้ามีอัตราเพิ่มสูงขึ้นมาก จึงต้องมีการขยายเครือข่ายของระบบไฟฟ้าเพิ่มขึ้นตาม การวิเคราะห์โหลดโพล์จึงมีส่วนสำคัญในการศึกษาระบบไฟฟ้ากำลังเพื่อใช้ในการวางแผนการเพิ่มระบบขึ้นมาใหม่ เพิ่มเดิมระบบใหม่เข้าสู่ระบบไฟฟ้าเก่า หรือช่วยในการบำรุงรักษาระบบไฟฟ้ากำลัง

คอมพิวเตอร์จัดเป็นส่วนหนึ่งที่อำนวยความสะดวกที่สุดในการคิดคำนวณโหลดโพล์ได้มีการพัฒนาหลายๆเทคนิคในการวิเคราะห์โหลดโพล์ไม่ว่า การใช้วิธีของเกาส์ ไชเคิล วิธีนิวตัน ราฟสัน และพัฒนาไปสู่เทคนิคการวิเคราะห์โหลดโพล์แบบฟาสต์ดีคัปเปิล ในการคำนวณโหลดโพล์ การคำนวณโหลดโพล์แบบวิธีแยกส่วนย่อย จัดเป็นวิธีหนึ่งที่ได้รับการนิยมนในการวิเคราะห์โหลดโพล์ที่มีขนาดใหญ่ [1.2.3] ช่วยลดจาโคเบียนของเมตริกซ์ ให้เล็กลง แต่ก็มีจุดอ่อนที่ยังมิได้มีการแก้ไขแม้ปัจจุบัน คือในส่วนของ การหาแอดมิแทนท์เมตริกซ์ ยังนิยมใช้จัดเก็บเมตริกซ์แบบ อะเรย์สองมิติ $n \times n$ ซึ่งเป็นเมตริกซ์จัตุรัส ทำให้ หน่วยความจำในการจัดเก็บเมตริกซ์มีขนาดใหญ่แม้จะแยกส่วนย่อยแล้วก็ตาม

1.2 ความมุ่งหมายและวัตถุประสงค์ของการศึกษา

จุดมุ่งหมายในการทำวิทยานิพนธ์นี้เพื่อนำวิธีสาขาเมตริกซ์ และวิธีการแยกส่วนย่อย มาใช้ในการคำนวณโหลดโพล์ด้วยวิธีฟาสต์ดีคัปเปิลอันเป็นแนวทางในการพัฒนาเทคนิคในการคำนวณโหลดโพล์แบบเก่า

1.3 สมมุติฐานในการศึกษา

สำหรับสมมุติฐานของการศึกษาจะแบ่งเป็น 2 หัวข้อใหญ่

1. การนำเทคนิคสาขาเมตริกซ์มาประยุกต์ใช้ร่วมกับเทคนิคฟาสต์ดีคัปเปิล เพื่อใช้ในการคำนวณโหลดโพล์แบบแยกส่วนย่อย น่าจะช่วยลดขนาดการจัดเก็บหน่วยความจำของแอดมิแทนท์เมตริกซ์ได้อย่างมีประสิทธิภาพ

2. ผลของการหาโหลดโพล์ที่ได้จากการนำเทคนิคสาขาเมตริกซ์ และเทคนิคฟาสต์ดีคัปเปิล ในการคำนวณโหลดโพล์แบบแยกส่วนย่อยจะมีลักษณะการลู่เข้าสู่คำตอบเหมือนกันกับระบบที่ไม่ได้แบ่งส่วน

1.4 ทฤษฎีหรือแนวคิดในการวิจัย

เป็นการนำวิธีสเปซเมตริกซ์ด้วยวิธีจัดเก็บแอดมิแดนซ์แบบอะเรย์ 1 มิติ มาจัดเก็บแอดมิแดนซ์ซึ่งแบบเดิมที่นิยมจัดเก็บแอดมิแดนซ์ในรูปเมตริกซ์ 2 มิติ เพื่อคำนวณในส่วนของกำลังไฟฟ้าจริงและกำลังไฟฟ้าเสมือน และคำนวณหาจาโคเบียนเมตริกซ์ ซึ่งถ้าเป็นในส่วนของฟาสต์คัลคิเปิ้ลก็คือ B' และ B'' วิธีสเปซเมตริกซ์แบบอะเรย์ 1 มิติ จะใช้เนื้อที่ในการจัดเก็บน้อยกว่า และยังสามารถที่จะใช้ในการหา B' และ B'' โดยไม่ต้องใช้แอดมิแดนซ์แบบอะเรย์ 2 มิติ เนื่องจากการแบ่งส่วนย่อยและฟาสต์คัลคิเปิ้ล จะช่วยในการลดจาโคเบียนเมตริกซ์ แต่ไม่ได้ลดในส่วนของแอดมิแดนซ์ ดังนั้น สเปซเมตริกซ์แบบอะเรย์ 1 มิติจึงมีประโยชน์มากที่จะนำมาใช้กับวิธีฟาสต์คัลคิเปิ้ล แบบแยกส่วนย่อย

1.5 ขอบเขตของวิทยานิพนธ์

เขียนโปรแกรมคอมพิวเตอร์เพื่อใช้ในการคำนวณโหลดโพลว์ โดยเลือกเทคนิคสเปซเมตริกซ์มาใช้ในการจัดเก็บแอดมิแดนซ์ และนำแอดมิแดนซ์ที่ได้ มาคำนวณโหลดโพลว์ แบบแยกส่วนย่อย รวมถึงการสร้างจาโคเบียน เพื่อใช้กับวิธีฟาสต์คัลคิเปิ้ล ค่าที่ได้จากเทคนิคฟาสต์คัลคิเปิ้ล จะเข้าสู่ขั้นตอนการคำนวณด้วยวิธีการแยกส่วนย่อย จากนั้นจะทดสอบความแม่นยำในการคำนวณ โดยเปรียบเทียบกับโปรแกรมการวิเคราะห์โหลดโพลว์แบบนิวตัน ราฟสัน ทดสอบประสิทธิภาพของโปรแกรมด้าน เวลา, จำนวนรอบ และหน่วยความจำทั้งหมด โดยทดสอบกับโปรแกรมการวิเคราะห์โหลดโพลว์แบบนิวตัน ราฟสัน, ฟาสต์คัลคิเปิ้ล และทดสอบการนำมาใช้คำนวณระบบไฟฟ้ากำลัง IEEE 57 บัส [4]

1.6 ขั้นตอนการศึกษา

ในวิทยานิพนธ์นี้ได้นำเสนอการวิเคราะห์โหลดโพลว์ด้วยวิธีฟาสต์คัลคิเปิ้ล โดยใช้เทคนิคสเปซเมตริกซ์ และการแยกส่วนย่อย โดยมีรายละเอียดแบ่งเป็น 6 บท ดังต่อไปนี้

บทที่ 1 เป็นการกล่าวถึงความเป็นมาและความสำคัญของปัญหา แนวความคิดที่ใช้ในการแก้ปัญหา วัตถุประสงค์ และขอบเขตการวิจัย

บทที่ 2 เป็นการกล่าวถึงการประยุกต์ใช้วิธีการแยกส่วนย่อยในระบบไฟฟ้ากำลัง โดยในบทนี้จะแสดงถึงที่มาของสมการการแยกส่วนย่อย การหาเมตริกซ์ตัวเชื่อมที่ได้จากการคัลคิเปิ้ลเพื่อใช้ในการหาผลลัพธ์

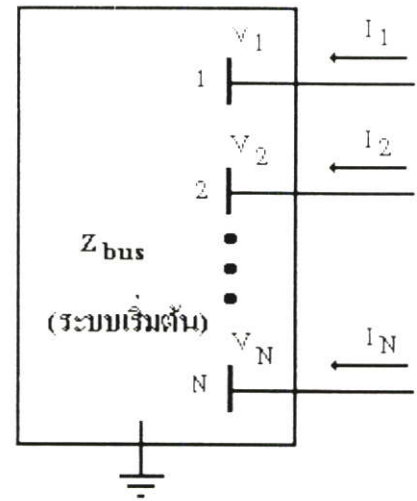
บทที่ 3 เป็นการกล่าวถึงการวิเคราะห์โหนดโพลาร์ ปัญหาของการไหลของกำลังไฟฟ้า การสร้างบัสแอดมิแตนซ์เมตริกซ์ การวิเคราะห์โหนดโพลาร์แบบนิวตันราฟสัน และแสดงถึงที่มาของทฤษฎีฟาสต์ดีคัปเปิล

บทที่ 4 เป็นการกล่าวถึงการบันทึก self admittance และ mutual admittance ด้วยการใช้นิยามเทคนิคสาขาเมตริกซ์ คือการจัดเก็บ mutual admittance เป็นแบบเมตริกซ์อะเรย์ 1 มิติ และหาค่า self admittance จาก mutual admittance โดยยังคงจัดเก็บเป็นเมตริกซ์อะเรย์ 1 มิติเช่นกันจากนั้น เป็นการประยุกต์เทคนิคสาขาเมตริกซ์เข้ากับเทคนิคฟาสต์ดีคัปเปิล โดยแสดงถึงการหา mutual admittance และ self admittance และนำค่าที่ได้ มาหา B' และ B'' และได้แสดงขั้นตอนการทำงานของโปรแกรม โดยนำเทคนิคสาขาเมตริกซ์ใช้ในการวิเคราะห์โหนดโพลาร์ โดยเริ่มจากการหาค่ากำลังไฟฟ้าจริง กำลังไฟฟ้าเสมือน ที่ได้จากขั้นตอนการแยกส่วนย่อยแล้ว เข้าสู่การใช้เทคนิคฟาสต์ดีคัปเปิล เพื่อใช้ในการวิเคราะห์โหนดโพลาร์ และได้แสดงถึงแผนผังขั้นตอนการทำงานของโปรแกรมในบทนี้

บทที่ 5 ได้แสดงถึงผลการวิจัย และผลการวิเคราะห์ระบบไฟฟ้ากำลัง โดยทดสอบ 3 ขั้นตอน คือทดสอบความถูกต้อง ทดสอบประสิทธิภาพ และทดสอบการคำนวณโหนดโพลาร์ด้วยระบบไฟฟ้ากำลัง IEEE 57 บัสเปรียบเทียบกับโปรแกรมนิวตันราฟสัน และฟาสต์ดีคัปเปิล

บทที่ 6 เป็นบทสรุปผลการวิจัย และข้อเสนอแนะต่างๆ

และในส่วนสุดท้ายของวิทยานิพนธ์คือภาคผนวก



รูปที่ 2.1 ระบบเริ่มต้นที่มีแรงดันที่บัสเป็น (V_1, V_2, \dots, V_N) และกระแสที่ไหลเข้าบัสเป็น (I_1, I_2, \dots, I_N)

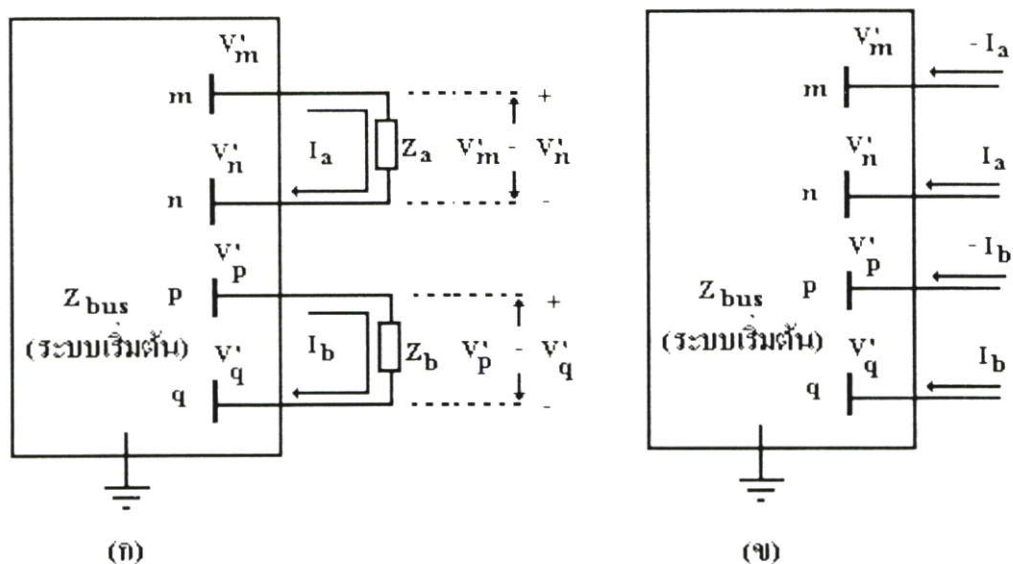
จากรูปที่ 2.1 เราได้สมมติแรงดันบัส V_1, V_2, \dots, V_N ในระบบเริ่มต้น (ปราศจาก Z_a และ Z_b) โดยทราบค่ากระแส (I_1, I_2, \dots, I_N) เมื่อเพิ่ม Z_a และ Z_b เข้าไประหว่างบัส m-n และ p-q ตามลำดับดังรูปที่ 2.2 จะได้แรงดันใหม่ที่บัส คือ V' เพราะฉะนั้นแรงดันที่เปลี่ยนแปลงของบัส k คือ

$$\Delta V_k = V'_k - V_k \tag{2.2}$$

เมื่อ V'_k = แรงดันที่บัส k เมื่อเพิ่ม Z_a และ Z_b เข้าไประหว่างบัส m-n และ p-q แล้ว
 V_k = แรงดันที่บัส k ของระบบเริ่มต้น

กระแส I_a และ I_b ที่ไหลผ่าน Z_a และ Z_b มีความสัมพันธ์กับแรงดันใหม่ที่บัส คือ

$$Z_a I_a = V'_m - V'_n, \quad Z_b I_b = V'_p - V'_q \tag{2.3}$$



รูปที่ 2.2 ระบบเริ่มต้นที่เปลี่ยนแรงดันบัสจาก V เป็น V' โดย (ก) เพิ่มอิมพีแดนซ์ Z_a และ Z_b เข้าระบบหรือ (ข) โดยสมมติกระแสชดเชยไหลเข้าที่บัส

จากสมการ(2.3) สามารถเขียนในรูปเวกเตอร์ เมตริกซ์ได้ดังนี้

$$\begin{bmatrix} Z_a & 0 \\ 0 & Z_b \end{bmatrix} \begin{bmatrix} I_a \\ I_b \end{bmatrix} = \begin{matrix} a \\ b \end{matrix} \begin{bmatrix} 0 & \dots & 1 & -1 & 0 & 0 & \dots & 0 \\ 0 & \dots & 0 & 0 & 1 & -1 & \dots & 0 \end{bmatrix} \begin{bmatrix} V'_1 \\ \vdots \\ V'_m \\ V'_n \\ V'_p \\ V'_q \\ \vdots \\ V'_N \end{bmatrix} = A_c V' \quad (2.4)$$

จากสมการ (2.4) จะได้

$$\begin{bmatrix} I_a Z_a \\ I_b Z_b \end{bmatrix} = \begin{bmatrix} V'_m - V'_n \\ V'_p - V'_q \end{bmatrix} = A_c V' \quad (2.5)$$

เมื่อ A_c คือ ทิศทางกระแสจาก branch ถึง node โดยที่

ถ้ากระแสไหลออกจากโหนด	ค่าสมาชิกให้มีค่าเป็น	+1
ถ้ากระแสไหลเข้าหาโหนด	ค่าสมาชิกให้มีค่าเป็น	-1
ถ้ากระแสไหลไม่เกี่ยวข้องกับโหนดเลย	ค่าสมาชิกให้มีค่าเป็น	0

กระแส I_a และ I_b จะทำให้แรงดันที่บัสของระบบเปลี่ยนแปลงไป โดยมี

กระแส $-I_a$ ไหลเข้าที่บัส m และ $+I_a$ ไหลเข้าที่บัส n

กระแส $-I_b$ ไหลเข้าที่บัส p และ $+I_b$ ไหลเข้าที่บัส q ดังรูปที่ 2.2 (ข)

กระแสเหล่านี้เรียกว่า กระแสชดเชย และจะมีผลทำให้เกิดแรงดันใหม่ที่บัส คือ $(V'_1, V'_2, \dots, V'_N)$ และสามารถเขียนในรูปเมตริกซ์ได้ดังนี้

$$I_{comp} = \begin{matrix} 1 \\ \vdots \\ m \\ n \\ p \\ q \\ \vdots \\ N \end{matrix} \begin{bmatrix} 0 \\ \vdots \\ -I_a \\ I_a \\ -I_b \\ I_b \\ \vdots \\ 0 \end{bmatrix} = \begin{matrix} 1 \\ \vdots \\ m \\ n \\ p \\ q \\ \vdots \\ N \end{matrix} \begin{matrix} a & b \\ 0 & 0 \\ -1 & 0 \\ 1 & 0 \\ 0 & -1 \\ 0 & 1 \\ \vdots & \vdots \\ 0 & 0 \end{matrix} \begin{bmatrix} I_a \\ I_b \end{bmatrix} = -A_c^T \begin{bmatrix} I_a \\ I_b \end{bmatrix} \quad (2.6)$$

หาแรงดันใหม่ที่บัส V' ได้จาก

$$V' = V - Z_{bus} I_{comp} \quad (2.7)$$

แทนค่าสมการ (2.6) ลงในสมการ (2.7) จะได้

$$V' = V - Z_{bus} A_c^T \begin{bmatrix} I_a \\ I_b \end{bmatrix} \quad (2.8)$$

หาค่าแรงดันที่เปลี่ยนแปลงในแต่ละบัส ได้จาก

$$\Delta V = V' - V \quad (2.9)$$

แทนค่าสมการ (2.8) ลงในสมการ (2.9) จะได้

$$\Delta V = -Z_{bus} A_c^T \begin{bmatrix} I_a \\ I_b \end{bmatrix} \quad (2.10)$$

การหา ΔV สามารถหาได้ดังนี้

ขั้นที่ 1 จากสมการที่ (2.4) และ (2.8)

$$\begin{bmatrix} Z_a & 0 \\ 0 & Z_b \end{bmatrix} \begin{bmatrix} I_a \\ I_b \end{bmatrix} = A_c V - A_c Z_{bus} A_c^T \begin{bmatrix} I_a \\ I_b \end{bmatrix}$$

(2.11)

ขั้นที่ 2 จากสมการที่ (2.11) จะได้

$$\underbrace{\begin{pmatrix} \begin{bmatrix} Z_a & 0 \\ 0 & Z_b \end{bmatrix} + A_c Z_{bus} A_c^T \end{pmatrix}}_Z \begin{bmatrix} I_a \\ I_b \end{bmatrix} = A_c V = \begin{bmatrix} V_m - V_n \\ V_p - V_q \end{bmatrix}$$

(2.12)

เมื่อ Z คือ ลูปอิมพีแดนซ์เมตริกซ์

จากสมการที่ (2.12) กระแส I_a และ I_b หาจาก

$$\begin{bmatrix} I_a \\ I_b \end{bmatrix} = Z^{-1} A_c V = Z^{-1} \begin{bmatrix} V_m - V_n \\ V_p - V_q \end{bmatrix}$$

(2.13)

เมื่อ $V_m - V_n$ และ $V_p - V_q$ เป็น Open circuit voltage drop ระหว่าง บัส $m - n$ และ $p - q$ ในระบบ เริ่มต้นใน branch impedances Z_a และ Z_b ดังในรูปที่ 2.2 (ก)

หาเมตริกซ์ Z ในสมการที่ (2.12)

$$A_c Z_{bus} A_c^T = \begin{bmatrix} 1 & -1 & 0 & 0 \\ 0 & 0 & 1 & -1 \end{bmatrix} \begin{matrix} m & n & p & q \\ \begin{bmatrix} Z_{mm} & Z_{mn} & Z_{mp} & Z_{mq} \\ Z_{nm} & Z_{nn} & Z_{np} & Z_{nq} \\ Z_{pm} & Z_{pn} & Z_{pp} & Z_{pq} \\ Z_{qm} & Z_{qn} & Z_{qp} & Z_{qq} \end{bmatrix} \end{matrix} \begin{matrix} a & b \\ \begin{bmatrix} 1 & 0 \\ -1 & 0 \\ 0 & 1 \\ 0 & -1 \end{bmatrix} \end{matrix}$$

(2.14)

หรือเขียนในรูปเมตริกซ์ใหม่ ได้ว่า

$$A_c Z_{bus} A_c^T = \begin{array}{c} \text{a} \\ \text{b} \end{array} \left[\begin{array}{c|c} \text{a} & \text{b} \\ \hline (Z_{mun} - Z_{mnn}) - (Z_{run} - Z_{rnn}) & (Z_{mp} - Z_{mq}) - (Z_{np} - Z_{nq}) \\ \hline (Z_{pm} - Z_{pn}) - (Z_{qm} - Z_{qn}) & (Z_{pp} - Z_{pq}) - (Z_{qp} - Z_{qq}) \end{array} \right] \quad (2.15)$$

แทนสมการ (2.15) ลงในสมการ (2.12) จะได้

$$\begin{array}{c} \text{a} \\ \text{b} \end{array} \left[\underbrace{\begin{array}{c|c} \text{a} & \text{b} \\ \hline (Z_{mun} - Z_{mnn}) - (Z_{run} - Z_{rnn}) + Z_a & (Z_{mp} - Z_{mq}) - (Z_{np} - Z_{nq}) \\ \hline (Z_{pm} - Z_{pn}) - (Z_{qm} - Z_{qn}) & (Z_{pp} - Z_{pq}) - (Z_{qp} - Z_{qq}) + Z_b \end{array}}_Z \right] \begin{bmatrix} I_a \\ I_b \end{bmatrix} = \begin{bmatrix} V_m - V_n \\ V_p - V_q \end{bmatrix} \quad (2.16)$$

ดังนั้น จากสมการ (2.16) หาค่าสมาชิกของเมตริกซ์ Z หาได้จาก

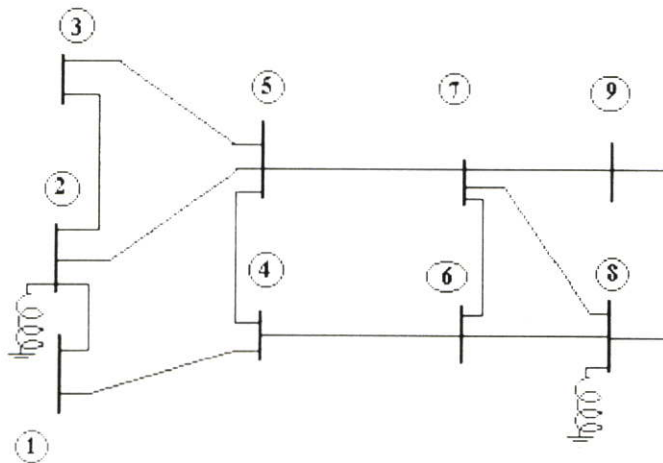
Z_{aa} คือ (แถวที่ m - แถวที่ n) ของ $Z_{bus}^{(m-n)} + Z_a$

Z_{ab} คือ (แถวที่ m - แถวที่ n) ของ $Z_{bus}^{(p-q)}$

Z_{ba} คือ (แถวที่ p - แถวที่ q) ของ $Z_{bus}^{(m-n)}$

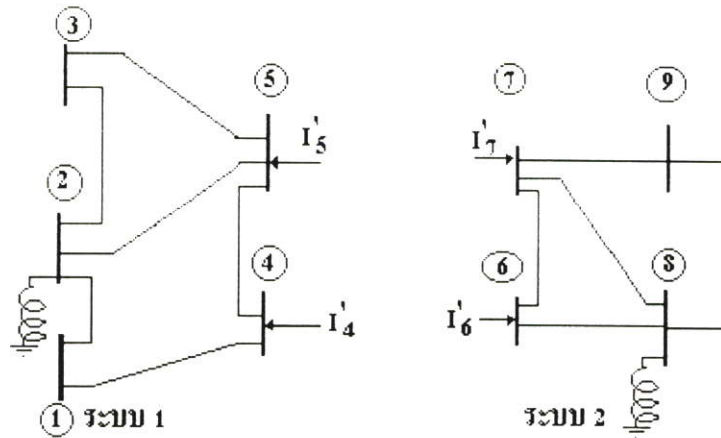
Z_{bb} คือ (แถวที่ p - แถวที่ q) ของ $Z_{bus}^{(p-q)} + Z_b$

2.3 การหาผลลัพธ์แบบแยกส่วนย่อย

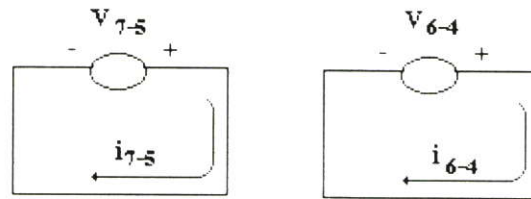


รูปที่ 2.3 ระบบไฟฟ้ากำลัง 9 บัส 12 สายส่ง

จากหัวข้อ 2.2 สามารถนำมาประยุกต์ใช้ในการหาผลลัพธ์แบบแยกส่วนย่อยดังนี้คือ จากรูปที่ 2.3 ระบบไฟฟ้ากำลังประกอบด้วยบัส 12 สายส่งเมื่อแยกระบบไฟฟ้ากำลังออกเป็นสองระบบย่อย คือระบบย่อยระบบที่ 1 และระบบย่อยระบบที่ 2 ดังแสดงในรูปที่ 2.4



รูปที่ 2.4 แสดงระบบทั้งสองที่ถูกแบ่งเป็นระบบย่อย



รูปที่ 2.5 แสดงแรงดัน และกระแสชดเชย ของระบบย่อย

จากรูปที่ 2.5 สามารถเขียนสมการในรูปเมตริกซ์แสดงความสัมพันธ์ระหว่างกระแสของระบบย่อยกับกระแสที่ถูกแยกออก ได้คือ

$$I'_5 = +i_{7-5}$$

$$I'_4 = +i_{6-4}$$

$$I'_7 = -i_{7-5}$$

$$I'_6 = -i_{6-4}$$

ความสัมพันธ์ระหว่างบัสอื่นๆที่ไม่ได้ถูกแบ่ง กับ บัสที่ถูกแบ่ง สามารถจัดให้อยู่ในรูปเมตริกซ์ ได้คือ

โดยที่

V_A คือแรงดันคร่อมระบบย่อยที่ 1 หรือ ระบบย่อยที่ 2

V_C คือแรงดันคร่อมคัทล่าย

ความสัมพันธ์ระหว่างกระแสในระบย่อย และแรงดันบัส สามารถเขียนได้ดังนี้

$$Y_A V_A = I_A + I'_A$$

$$V_A = Z_A I_A + Z_A I'_A \quad (2.21)$$

แทนค่า I'_A จากสมการที่ (2.18) ลงในสมการที่ (2.21)

$$V_A = Z_A I_A + Z_A A_C i_C \quad (2.22)$$

แรงดันและกระแสที่ถูกคัทล่าย ระบบทั้งสองสามารถเขียนในรูปทั่วไปได้ว่า

$$\begin{bmatrix} V_{7-5} \\ V_{6-4} \end{bmatrix} = \begin{bmatrix} Z_{75} & 0 \\ 0 & Z_{64} \end{bmatrix} \begin{bmatrix} i_{7-5} \\ i_{6-4} \end{bmatrix} \quad (2.23)$$

หรือ เขียนในรูปทั่วไปได้ดังนี้

$$V_C = Z_C i_C \quad (2.24)$$

โดย Z_C คืออิมแดนซ์ที่ถูกคัทล่าย

แทนสมการที่ (2.24) ลงในสมการที่ (2.20)

$$Z_C i_C = -A_C^T V_A \quad (2.25)$$

แทนสมการที่(2.22) ลงในสมการที่(2.25)

$$A_C^T Z_A I_A + [A_C^T Z_A A_C + Z_C] i_C = 0 \quad (2.26)$$

จากสมการที่(2.22) และ สมการที่ (2.26) สามารถจัดรูปแบบเมตริกซ์ได้ดังนี้คือ

$$\begin{bmatrix} V_A \\ 0 \end{bmatrix} = \begin{bmatrix} Z_A & Z_A A_C \\ A_C^T Z_A & A_C^T Z_A A_C + Z_C \end{bmatrix} \begin{bmatrix} I_A \\ i_C \end{bmatrix} \quad (2.27)$$

หรือ

$$\begin{bmatrix} V_A \\ 0 \end{bmatrix} = \begin{bmatrix} Z_1 & Z_2 \\ Z_3 & Z_4 \end{bmatrix} \begin{bmatrix} I_A \\ i_C \end{bmatrix} \quad (2.28)$$

โดยที่

$$Z_1 = Z_A \quad (2.29)$$

$$Z_2 = Z_A A_C \quad (2.30)$$

$$Z_3 = A_C^T Z_A \quad (2.31)$$

$$Z_4 = A_C^T Z_A A_C + Z_C \quad (2.32)$$

การหา V_A เมื่อรู้ค่า I_A ทำได้โดยเขียนสมการ (2.21) อีกครั้ง คือ

$$V_A = Z_A I_A + Z_A I'_A$$

แทนค่า I'_A จากสมการ(2.18) ลงในสมการ (2.21) จะได้

$$V_A = Z_A I_A + Z_A (A_C i_C) \quad (2.33)$$

จากสมการ(2.26) เขียนใหม่เป็น

$$i_C = Z_4^{-1} [-A_C^T (Z_A I_A)] \quad (2.34)$$

หรือ

$$i_C = Z_4^{-1} [-A_C^T (V_A)] \quad (2.35)$$

แทนค่าสมการ(2.20) ลงในสมการ (2.35)

จะได้สมการหาที่ใช้หากระแสกัทลายน์

$$i_C = Z_4^{-1} V_C \quad (2.36)$$

แทนสมการ (2.34)ลงในสมการ(2.33) จะได้

$$V_A = Z_A I_A + Z_A [A_C [Z_4^{-1} [-A_C^T [Z_A I_A]]]] \quad (2.37)$$

จากสมการ (2.37) สามารถเขียนขั้นตอนวิธีการแยกส่วนย่อยจากวงเล็บในสุดได้ดังนี้คือ

$$1) V_A^{(0)} = Z_A I_A$$

$$2) V_C = -A_C^T V_A^{(0)}$$

$$3) i_C = Z_4^{-1} V_C$$

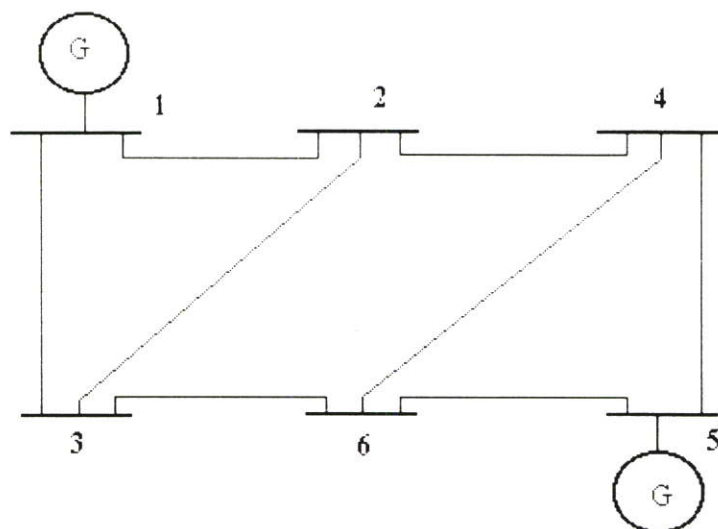
$$4) I_A' = A_C i_C$$

$$5) V_A^{(1)} = Z_A I_A'$$

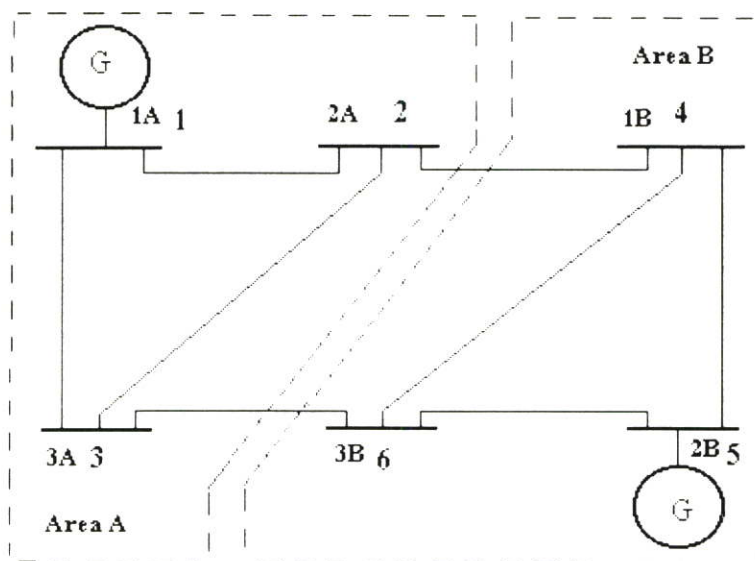
$$6) V_A = V_A^{(0)} - V_A^{(1)}$$

2.3.1 ขั้นตอนในการหา Z_4

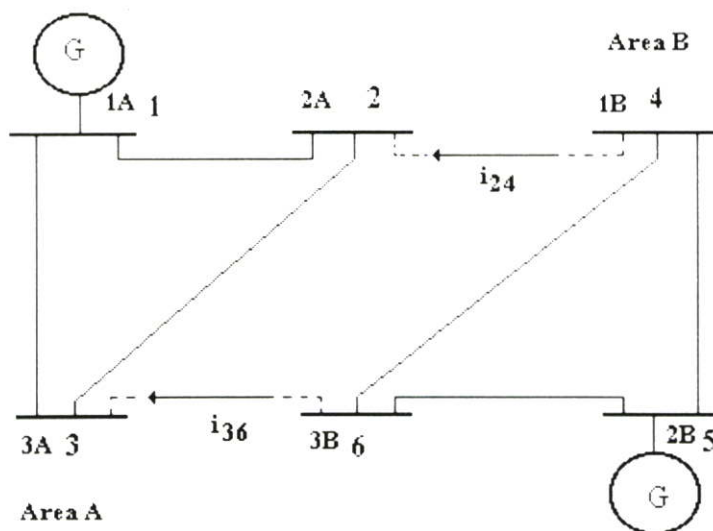
ในการหา Z_4 เราจะเริ่มจากการหา Z_2 โดยจะไม่ใช่การหา จากผลคูณ $Z_2 A_C$ โดยตรง เนื่องจากเมตริกซ์ A_C ซึ่งจะประกอบด้วย 0.1 และ -1 เท่านั้น แต่จะอาศัยการหาจากทิศทางของกระแสกัทลายน์ จากรูปที่ 2.6 แสดงระบบไฟฟ้ากำลัง 6บัส เราจะแบ่งออกเป็นสองระบบย่อย ดังแสดงในรูปที่ 2.7



รูปที่ 2.6 แสดงระบบไฟฟ้ากำลัง 6 บัส



รูปที่ 2.7 ระบบไฟฟ้ากำลังหลังแบ่งโซน



รูปที่ 2.8 แสดงการสมมุติทิศทางกระแสที่หลายหลังแบ่งโซน

จากรูปที่ 2.8 สามารถเขียนเมตริกซ์ Z_1 ได้คือ

$$Z_1 = \begin{array}{c} \begin{array}{c} 1A \\ 2A \\ 3A \end{array} \\ \begin{array}{c} 1B \\ 2B \\ 3B \end{array} \end{array} \begin{array}{c} \begin{array}{ccc} 1A & 2A & 3A \\ z_{11} & z_{12} & z_{13} \\ z_{21} & z_{22} & z_{23} \\ z_{31} & z_{32} & z_{33} \end{array} \\ \begin{array}{ccc} 1B & 2B & 3B \\ z_{44} & z_{45} & z_{46} \\ z_{54} & z_{55} & z_{56} \\ z_{64} & z_{65} & z_{66} \end{array} \end{array}$$

Z_2 เราจะหาจากทิศทางของกระแสที่หลาย โดยเน้นที่หมายเลขบัสที่เชื่อมระหว่างอิมพีแดนซ์ที่หลายเป็นหลัก จากรูปที่ 2.8

- สมาชิกแถวตั้ง 2A ลบด้วยสมาชิกแถวตั้ง 1B
- สมาชิกแถวตั้ง 3A ลบด้วยสมาชิกแถวตั้ง 3B

	2A - 1B	3A - 3B
1A	$z_{12} - 0$	$z_{13} - 0$
2A	$z_{22} - 0$	$z_{23} - 0$
3A	$z_{32} - 0$	$z_{33} - 0$
1B	$0 - z_{44}$	$0 - z_{46}$
2B	$0 - z_{54}$	$0 - z_{56}$
3B	$0 - z_{64}$	$0 - z_{66}$

Z_4 หาจาก Z_2 ด้วยวิธีนี้ คือ

- สมาชิกแถวบน 2A ลบด้วยสมาชิกแถวบน 1B
- สมาชิกแถวบน 3A ลบด้วยสมาชิกแถวบน 3B

และจากสมการ (2.32)

$$Z_4 = A_c^{-1} Z_2 A_c - Z_c$$

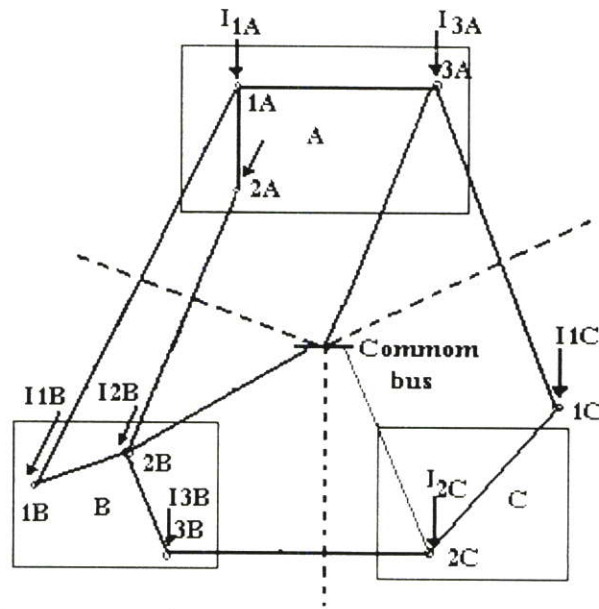
โดยที่ Z_c คือ Z_{24} และ Z_{36}

ดังนั้น

	2A - 1B	3A - 3B
2A - 1B	$z_{22} + z_{44} + z_{24}$	$z_{23} + z_{46}$
3A - 3B	$z_{32} + z_{64}$	$z_{33} + z_{66} + z_{36}$

2.3.2 ตัวอย่างในการหาผลลัพธ์[1,2]

การหาผลลัพธ์แบบแยกส่วนย่อย ใช้วิธีการแบ่งวงจรออกเป็นสามส่วนย่อย แล้วหาผลลัพธ์นำผลลัพธ์ของส่วนย่อยมารวมกับผลอื่นเนื่องมาจากการแบ่ง ก็จะได้ผลลัพธ์รวมของข่ายวงจรทั้งหมดซึ่งแสดงวิธีการหาดังนี้



รูปที่ 2.9 แสดงข่ายวงจรซึ่งถูกแบ่งออกเป็น 3 ระบบย่อย

ข่ายวงจรในรูปที่ 2.9 แบ่งระบบย่อย ออกเป็น 3 ส่วน เรียกว่า โชน A, B, และ C จากรูปเส้นที่แบ่งโชนจะผ่านบัสอยู่บัสหนึ่งเรียกว่า บัสร่วม (Common Bus) สายที่เชื่อมระหว่างโชนที่ถูกตัดเรียกว่าคัทลายน์ โดยสมมติให้วงจรมีอิมพีแดนซ์ของสายทุกเส้นเป็น 1 pu. กระแสที่ไหลเข้าบัสเป็น 0.5 pu จะได้ผลลัพธ์ของแรงดัน ดังนี้

ก. หาบัสอิมพีแดนซ์เมตริกซ์ ของแต่ละระบบย่อย

	1A	2A	3A	1B	2B	3B	1C	2C
1A	2	2	1					
2A	2	3	1					
3A	1	1	1					
1B				2	1	1		
2B				1	1	1		
3B				1	1	2		
1C							2	1
2C							1	1

$Z_1 =$

ข. หาเมตริกซ์ Z_2

Z_2 อาจหาได้จากผลคูณของเมตริกซ์ $Z_1 A_C$ ก็ได้ แต่ในที่นี้จะหาโดยไม่ใช้ A_C จะเห็นว่า A_C เป็นเมตริกซ์ที่มีสมาชิกประกอบด้วย 0, 1, -1 ดังนั้น Z_2 หรือคูณของ $Z_1 A_C$ ประกอบด้วยสมาชิกใน Z_1 โดยกำหนดเครื่องหมายจากทิศทางของกัทลายน์ สมมติกัทลายน์ L_1 เชื่อมระหว่างโชน A และโชน B มีทิศทางจากบัส 1_B ไปบัส 1_A ค่าสมาชิกในแถวตั้ง C_1 ของ Z_2 ก็คือ สมาชิกในแถวตั้ง 1_A ลบด้วยสมาชิกในแถวตั้ง 1_B ของ Z_1 สำหรับกัทลายน์อื่นหาได้เช่นเดียวกันดังนี้

		C_1	C_2	C_3	C_4
		1A - 1B	2B - 2A	3B - 2A	1C - 3C
$Z_2 =$	1A	2	-2		-1
	2A	2	-3		-1
	3A	1	-1		-1
	1B	-2	1	1	
	2B	-1	1	1	
	3B	-1	1	2	
	1C			-1	2
	2C			-1	1

ค. หาเมตริกซ์ Z_4

Z_4 หาได้จาก Z_2 ด้วยวิธีดังนี้ สมาชิกในแถวนอน C_1 ของ Z_4 เท่ากับ สมาชิกในแถวนอน 1A ลบด้วยสมาชิกในแถวนอน 1B ของ Z_2 สมาชิกในแถวนอน C_2 ของ Z_4 เท่ากับสมาชิกในแถวนอน 2B ลบด้วยสมาชิกในแถวนอน 2A ของ Z_2 สมาชิกในแถวนอน C_3 และ C_4 หาได้เช่นเดียวกัน สำหรับสมาชิกในแนวทะแยงให้บวกเพิ่มด้วยค่าอิมพีแดนซ์ของกัทลายน์ Z_4 ดังนี้

		C_1	C_2	C_3	C_4
		$1A - 1B$	$2B - 2A$	$3B - 2C$	$1C - 3A$
$Z_4 =$	C_1 $1A - 1B$	5	-3	-1	-1
	C_2 $2B - 2A$	-3	5	1	1
	C_3 $3B - 2C$	-1	1	4	-1
	C_4 $1C - 3A$	-1	1	-1	4

ง. หามเมตริกซ์ Z_4^{-1}

		$1A - 1B$	$2B - 2A$	$3B - 2C$	$1C - 3A$
Z_4^{-1}	$1A - 1B$	0.370370	0.259259	0.037037	0.037037
	$2B - 2A$	0.259259	0.481481	-0.074074	-0.074074
	$3B - 2C$	0.037037	-0.074074	0.303704	0.103704
	$1C - 3A$	0.037037	-0.074074	0.103704	0.303704

จ. หาผลลัพธ์ตามขั้นตอนดังนี้

$$1. V_A^{(0)} = Z_1 I_A$$

$$I_A = 0.5$$

$$V_A^{(0)} = \begin{array}{l} 1A \\ 2A \\ 3A \\ 1B \\ 2B \\ 3B \\ 1C \\ 2C \end{array} \left[\begin{array}{l} V_{1A}^{(0)} = 2.5 \\ V_{2A}^{(0)} = 3.0 \\ V_{3A}^{(0)} = 1.5 \\ V_{1B}^{(0)} = 2.0 \\ V_{2B}^{(0)} = 1.5 \\ V_{3B}^{(0)} = 2.0 \\ V_{1C}^{(0)} = 1.5 \\ V_{2C}^{(0)} = 1 \end{array} \right]$$

$$2. V_C = -A_C^T V_A^{(0)}$$

$$V_C^{(0)} = \begin{array}{l} C_1 \\ C_2 \\ C_3 \\ C_4 \end{array} \left[\begin{array}{l} V_{1B}^{(0)} - V_{1A}^{(0)} = -0.5 \\ V_{2A}^{(0)} - V_{2B}^{(0)} = 1.5 \\ V_{2C}^{(0)} - V_{3B}^{(0)} = -1.0 \\ V_{3A}^{(0)} - V_{1C}^{(0)} = 0 \end{array} \right]$$

$$3. i_C = Z_4^{-1} V_C$$

$$i_C = \begin{array}{l} C_1 \\ C_2 \\ C_3 \\ C_4 \end{array} \left[\begin{array}{l} i_{c1} = 0.1666 \\ i_{c2} = 0.6666 \\ i_{c3} = -0.4333 \\ i_{c4} = -0.2333 \end{array} \right]$$

$$4. I'_A = A_C i_C$$

$$I'_A = \begin{array}{l} 1A \\ 2A \\ 3A \\ 1B \\ 2B \\ 3B \\ 1C \\ 2C \end{array} \left[\begin{array}{l} I'_{1A} = i_{c1} = 0.1666 \\ I'_{2A} = -i_{c2} = -0.6666 \\ I'_{3A} = -i_{c4} = 0.2333 \\ I'_{1B} = -i_{c1} = -0.1666 \\ I'_{2B} = i_{c2} = 0.6666 \\ I'_{3B} = i_{c3} = -0.4333 \\ I'_{1C} = i_{c4} = -0.2333 \\ I'_{2C} = -i_{c3} = 0.4333 \end{array} \right]$$

$$5. V_A^{(1)} = Z_A i'_A$$

$$V_A^{(1)} = \begin{array}{l} 1A \\ 2A \\ 3A \\ 1B \\ 2B \\ 3B \\ 1C \\ 2C \end{array} \left[\begin{array}{l} V_{1A}^{(1)} = -0.7667 \\ V_{2A}^{(1)} = 1.4333 \\ V_{3A}^{(1)} = -0.2666 \\ V_{1B}^{(1)} = -0.1 \\ V_{2B}^{(1)} = 0.6666 \\ V_{3B}^{(1)} = -0.3666 \\ V_{1C}^{(1)} = -0.0333 \\ V_{2C}^{(1)} = 0.2 \end{array} \right]$$

$$6. V_A = V_A^{(0)} - V_A^{(1)}$$

$$V_A = \begin{array}{l} 1A \\ 2A \\ 3A \\ 1B \\ 2B \\ 3B \\ 1C \\ 2C \end{array} \left[\begin{array}{l} V_{1A} = 1.7333 \\ V_{2A} = 1.5666 \\ V_{3A} = 1.2333 \\ V_{1B} = 1.9 \\ V_{2B} = 1.5666 \\ V_{3B} = 1.6333 \\ V_{1C} = 1.4666 \\ V_{2C} = 1.2 \end{array} \right]$$

บทที่ 3

การวิเคราะห์โหลดฟลว์

3.1 บทนำ

การวิเคราะห์โหลดฟลว์ถือเป็นสิ่งสำคัญและเป็นพื้นฐานของการศึกษาระบบต่างๆ ในระบบกำลังไฟฟ้าที่จะนำไปใช้ในการวางแผนและออกแบบกับการขยายระบบไฟฟ้าที่จะทำการขยายกำลังผลิตในอนาคต ซึ่งจะต้องมีการกำหนดตัดสินใจในเรื่องของการควบคุมระบบที่มีอยู่ให้ดีที่สุด หลักการก็นำข้อมูลที่นำมาทำการศึกษาระบบโหลดของกำลังไฟฟ้า ซึ่งก็คือขนาดและมุมเฟสของแรงดันแต่ละบัส รวมไปถึงกำลังไฟฟ้าจริงและกำลังไฟฟ้าปรากฏที่ไหลในสายส่งในแต่ละเส้น แต่อย่างไรก็ตามค่าของข้อมูลทั้งหมดนี้อาจพิมพ์แสดงผลออกมาโดยใช้โปรแกรมคอมพิวเตอร์ โดยจะทดสอบวิธีการต่างในการแก้ปัญหาการไหลของกำลังไฟฟ้าเป็นพื้นฐานในการแก้ปัญหาและค่าต่างๆของการไหลของกำลังไฟฟ้าในโปรแกรมคอมพิวเตอร์ในการออกแบบและควบคุมระบบไฟฟ้าจะแสดงผลออกมาให้เห็น

3.2 ปัญหาของการไหลของกำลังไฟฟ้า [5]

ค่า self-admittance และค่า mutual-admittance ในแต่ละบัสซึ่งจะเป็นส่วนประกอบของบัสแอดมิแตนซ์ Y_{bus} หรือจะเปลี่ยนไปเป็นบัสอิมพีแดนซ์ Z_{bus} จะถูกนำไปใช้แก้ปัญหาการไหลของกำลังไฟฟ้า และอาจจะจำกัดขอบเขตในการศึกษาโดยใช้วิธีการใช้แอดมิแตนซ์ โดยตอนแรกข้อมูลที่ได้รับมาจะต้องถูกป้อนให้แก่คอมพิวเตอร์โดยเป็น One-line diagram ของระบบสายส่งกำลังไฟฟ้า จะถูกแสดงเป็นวงจรต่อเฟส และมีวงจรเทียบเคียงเป็นแบบพายน์(π) ค่าอิมพีแดนซ์อนุกรม และค่าผลรวม line-charging admittance Y ในสายส่งแต่ละเส้น (ปกติอยู่ในเทอมของ line-charging megavars ที่แรงดันปกติของระบบ) ซึ่งจะมีความจำเป็นมากในการที่จะทำให้คอมพิวเตอร์สามารถกำหนดตัดสินใจเลือกขนาดของ บัสแอดมิแตนซ์เมตริกซ์ $N \times N$ ใดๆของ Y_{ij} แต่ละตัวซึ่งก็คือ

$$Y_{ij} = |Y_{ij}| \angle \theta_{ij} = |Y_{ij}| \cos \theta_{ij} + j |Y_{ij}| \sin \theta_{ij} = G_{ij} + jB_{ij} \quad (3.1)$$

ข้อมูลที่มีความสำคัญอาจรวมไปถึง พิกัดของหม้อแปลงไฟฟ้าและค่าอิมพีแดนซ์ของหม้อแปลงไฟฟ้า พิกัดของชันท - คาปาซิเตอร์ และการปรับแทปของหม้อแปลงไฟฟ้า โดยการศึกษาการไหลของกำลังไฟฟ้า แรงดันบัส และกำลังไฟฟ้าที่จะถูกส่งออกมาจะต้องถูกกำหนดให้ทราบ

แรงดันไฟฟ้าที่บัส i ของระบบจะถูกกำหนดให้เป็นโพลาร์ - โคออร์ดิเนตโดย

$$V_i = |V_i| \angle \delta_i = |V_i| (\cos \delta_i + j \sin \delta_i) \quad (3.2)$$

และแรงดันไฟฟ้าที่บัส j จะถูกเขียนคล้ายๆกัน โดยเปลี่ยนสับสคริปต์จาก i เป็น j กระแสไฟฟ้าสุทธิที่ไหลเข้าไปในเครือข่ายที่บัส i ในเทอมของ Y_{in} ของ Y_{bus} จะถูกกำหนดให้เป็นผลรวมโดย

$$I_i = Y_{i1}V_1 + Y_{i2}V_2 + \dots + Y_{iN}V_N = \sum_{n=1}^N Y_{in}V_n \quad (3.3)$$

ให้ P_i และ Q_i ใช้แทนกำลังไฟฟ้าจริงสุทธิและกำลังไฟฟ้ารีแอกทีฟสุทธิที่ไหลเข้าไปในเครือข่ายที่บัส i

$$P_i - jQ_i = V_i^* \sum_{n=1}^N Y_{in}V_n \quad (3.4)$$

และจากสมการ(3.1) และ (3.2) ซึ่งจะได้ว่า

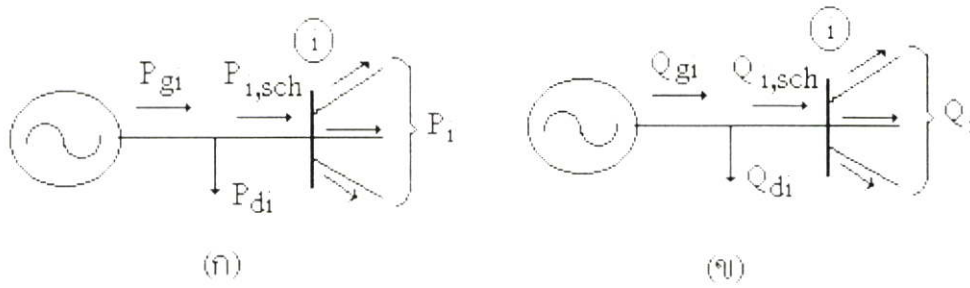
$$P_i - jQ_i = \sum_{n=1}^N |Y_{in}V_iV_n| \angle(\theta_{in} + \delta_n - \delta_i) \quad (3.5)$$

จากสมการนี้จะสามารถแยกเป็นส่วนของสมการของส่วนกำลังไฟฟ้าจริงและกำลังไฟฟ้ารีแอกทีฟได้ว่า

$$P_i = \sum_{n=1}^N |Y_{in}V_iV_n| \cos(\theta_{in} + \delta_n - \delta_i) \quad (3.6)$$

$$Q_i = -\sum_{n=1}^N |Y_{in}V_iV_n| \sin(\theta_{in} + \delta_n - \delta_i) \quad (3.7)$$

สมการ(3.6) และ (3.7)จะประกอบด้วยโพลาร์ฟอร์มของสมการโหนดโพลาร์ ซึ่งสมการนี้จะใช้เตรียมสำหรับคำนวณค่าสำหรับค่าของกำลังไฟฟ้าจริงสุทธิ P_i และกำลังไฟฟ้ารีแอกทีฟสุทธิ Q_i ที่ไหลเข้าไปในเครือข่ายที่บัส i ให้ P_{gi} แทนด้วยกำลังไฟฟ้าที่ผลิตส่งไปที่บัส i และให้ P_{di} แทนด้วยความต้องการกำลังไฟฟ้าของโหนดที่บัส i และ $P_{i,sch} = P_{gi} - P_{di}$ ซึ่งจะเป็นค่าของกำลังไฟฟ้าจริงที่กำหนดที่ไหลเข้าสู่เครือข่ายที่บัส i แสดงดังรูป 3.1(a)



รูปที่ 3.1 (ก) แอกทีฟเพาเวอร์ และ (ข) รีแอกทีฟเพาเวอร์ที่บัส i สำหรับการศึกษาค่าโหลดโพลล์

แทนค่าที่ใช้คำนวณค่าของ P_i ด้วย $P_{i,sch}$ ค่ามิสแมตช์ ΔP_i จะเท่ากับกำลังไฟฟ้าจริงที่กำหนด $P_{i,sch}$ ลบด้วยกำลังไฟฟ้าจริงที่คำนวณ $P_{i,cal}$

$$\Delta P_i = P_{i,sch} - P_{i,cal} = (P_{gi} - P_{di}) - P_{i,cal} \quad (3.8)$$

ทำนองเดียวกัน กำลังไฟฟ้ารีแอกทีฟที่บัส i จะได้ว่า

$$\Delta Q_i = Q_{i,sch} - Q_{i,cal} = (Q_{gi} - Q_{di}) - Q_{i,cal} \quad (3.9)$$

ดังแสดงในรูป 3.1(ข) ค่ามิสแมตช์ที่ปรากฏในวิธีของการแก้ปัญหาโหลดโพลล์เมื่อค่าที่คำนวณ P_i และ Q_i เกิดขึ้นไม่พร้อมกันกับค่าที่กำหนด แต่ถ้ากำลังไฟฟ้าจริงที่คำนวณ $P_{i,cal}$ และกำลังไฟฟ้ารีแอกทีฟที่คำนวณ $Q_{i,cal}$ แมตช์กับกำลังไฟฟ้าที่กำหนดอย่างสมบูรณ์แล้วละก็ ก็จะสามารถกล่าวได้ว่าค่ามิสแมตช์ ΔP_i และ ΔQ_i นั้นเป็นศูนย์ที่บัส i และสามารถที่จะเขียนสมการของกำลังไฟฟ้าสมดุลย์ได้ว่า

$$g_i^+ = P_i - P_{i,sch} = P_i - (P_{gi} - P_{di}) = 0 \quad (3.10)$$

$$g_i^- = Q_i - Q_{i,sch} = Q_i - (Q_{gi} - Q_{di}) = 0 \quad (3.11)$$

เราสมมติฟังก์ชัน g_i^+ และ g_i^- เพื่อสะดวกสำหรับสมการที่จะอ้างอิงถึงค่ามิสแมตช์ ΔP_i และ ΔQ_i ที่บัส i "ไม่มีการจ่ายกำลังไฟหรือไม่มีโหลดเทอมที่เหมาะสมที่จะต้องถูกปรับให้เท่ากับศูนย์ในสมการ (3.10) และ (3.11) ในแต่ละบัสของเครือข่ายจะมีสมการอยู่สองสมการและปัญหาของการไหลของกำลังไฟฟ้าจะถูกแก้โดยใช้สมการ (3.6) และ (3.7) สำหรับค่าของแรงดันบัสที่ยังไม่ทราบค่า สมการ (3.10) และ (3.11) จะให้ค่าที่ยอมรับได้ที่แต่ละบัส ถ้าไม่มีค่าที่กำหนดสำหรับบัส i นั้นค่ามิสแมตช์ $\Delta P_i = P_{i,sch} - P_{i,cal}$ จะไม่สามารถกำหนดได้ และสมการที่ (3.10) ก็จะนำมาใช้ไม่ได้

ในการแก้ปัญหาโหลดโพล์ ในทำนองเดียวกันถ้า $Q_{i, sch}$ ไม่มีที่บัส i สมการ(3.11)ก็จะใช้ไม่ได้ด้วยเช่นกัน

ปริมาณทั้งสองปริมาณที่ยังไม่ทราบที่มีอยู่ในแต่ละบัส i ซึ่งก็คือ P_i , Q_i มุมของแรงดันไฟฟ้า δ_i และขนาดของแรงดันไฟฟ้า V_i ค่าทั้งหมดนี้จะอยู่ในสมการสองสมการนั้นก็คือสมการ (3.10) และ (3.11) ที่ใช้สำหรับโหนดแต่ละโหนด ดังนั้นจะต้องพิจารณาว่าจะต้องทำอะไรกับปริมาณที่ยังไม่ทราบว่า จะสามารถหาค่าเพื่อให้ออกคล้องกับจำนวนของสมการที่มีอยู่เพื่อที่จะแก้ปัญหาของโหลดโพล์ ในทางปฏิบัติ โดยทั่วไปในการศึกษาโหลดโพล์จะแบ่งชนิดของบัสในระบบไฟฟ้าออกเป็น 3 ชนิด ในแต่ละบัส i ใดๆ ที่มีค่าอยู่สองค่าที่ทราบจากค่าทั้งหมดสี่ค่า คือ δ_i , V_i , P_i และ Q_i ในส่วนของค่าที่เหลือที่ยังไม่ทราบอีกสองค่าจะถูกคำนวณหา โดยสามารถแบ่งแยกชนิดของบัสทั้งสามชนิดได้ดังนี้

1. โหลดบัส(Load Bus) บัสที่ไม่มีเครื่องกำเนิดไฟฟ้าต่ออยู่จะถูกเรียกว่าโหลดบัส ค่า $P_{i, sch}$ และค่า $Q_{i, sch}$ จะเป็นศูนย์และค่ากำลังไฟฟ้าจริง $P_{i, sch}$ และค่ากำลังไฟฟ้ารีแอกทีฟ $Q_{i, sch}$ จะไหลจากระบบไปสู่โหลด(เป็นลบแสดงว่าไหลเข้าระบบ)จะทราบจากการบันทึก การคำนวณโหลดหรือการวัดใดๆ บ่อยๆครั้งในทางปฏิบัติค่ากำลังไฟฟ้าจริงเท่านั้นที่จะทราบ ส่วนค่ากำลังไฟฟ้ารีแอกทีฟจะหาจากค่าเพาเวอร์แฟกเตอร์ที่ค่า 0.85 หรือสูงกว่า โหลดบัส i บ่อยครั้งจะเรียก PQ บัสเพราะว่าค่าที่กำหนด $P_{i, sch} = -P_{di}$ และ $Q_{i, sch} = -Q_{di}$ จะทราบได้และค่ามิสแมตช์ ΔP_i และ ΔQ_i จะสามารถได้จากสมการ (3.10) และ (3.11) และค่าที่ต้องหาค่าสำหรับโหลดบัสคือ δ_i และ V_i

2. บัสควบคุมแรงดัน(Voltage-Controlled Bus) บัสใดๆในระบบไฟฟ้าที่มีแรงดันคงที่จะถูกเรียกว่ามีการควบคุมแรงดัน บัสใดๆที่มีเครื่องกำเนิดไฟฟ้าต่ออยู่ จะสามารถควบคุมเครื่องกำเนิดไฟฟ้าได้โดยการปรับที่ไพร้ม-มูฟเวอร์ และขนาดของแรงดันไฟฟ้าจะสามารถควบคุมได้โดยการปรับที่ระบบการกระตุ้นของเครื่องกำเนิดไฟฟ้า ดังนั้นที่บัสควบคุมแรงดัน i ใดๆจะพบว่า มีค่า $P_{i, sch}$ และ V_i ที่เหมาะสม ค่า $P_{i, sch}$ ที่ทราบเราจะสามารถที่กำหนดค่ามิสแมตช์ ΔP_i ตามสมการ (3.8) การจ่ายกำลังไฟฟ้ารีแอกทีฟ $Q_{i, sch}$ ที่ต้องการให้กับแรงดันที่กำหนด V_i จะไม่สามารถทราบได้ล่วงหน้า และดังนั้นค่ามิสแมตช์ ΔQ_i จะไม่สามารถกำหนดขึ้นได้ที่บัสควบคุมแรงดัน i มุมของแรงดัน δ_i จะเป็นปริมาณที่ยังไม่ทราบ และสมการ (3.10) จะสามารถหาค่า P_i ได้หลังจากนั้น แก้ปัญหาโหลดโพล์ ค่า Q_i จะสามารถคำนวณได้จากสมการ (3.7)

3. สแลคบัส (Slack Bus) เพื่อความสะดวกในการพิจารณา บัส 1 จะถูกพิจารณาให้เป็นสแลคบัส เสมอ มุมของแรงดันของสแลคบัสจะถูกใช้อ้างอิงกับมุมของแรงดันที่บัสอื่นๆ มุมของแรงดันของสแลคบัสจะไม่มีค่าสำคัญเพราะว่าความแตกต่างของมุมของแรงดันจะเป็นตัวกำหนดค่าจำนวนของ P_i และ Q_i ในสมการ(3.6)และ(3.7) ในทางปฏิบัติโดยทั่วไปจะให้ $\delta_1 = 0$ ค่ามิสแมตช์ จะไม่ถูกกำหนดสำหรับสแลคบัส เพราะว่าขนาดของแรงดัน V_1 จะทราบได้ที่เป็นปริมาณที่มีมุม

$\delta_i = 0$ ดังนั้นจึงไม่จำเป็นที่จะใช้สมการ (3.10) หรือ (3.11) สำหรับสแลคบัสในการแก้ปัญหาโหลด โพลล์

เพื่อที่จะเข้าใจว่าทำไมค่า P_i และ Q_i ไม่กำหนดที่สแลคบัสโดยพิจารณาที่แต่ละ N บัส ของระบบคังสมการ (3.10) จะสามารถเขียนให้มีขอบเขตจาก 1 ถึง N เมื่อผลลัพธ์ของจำนวนสมการ N สมการถูกพิจารณารวมเข้าด้วยกันจะได้ว่า

$$\underbrace{P_L}_{\text{กำลังไฟฟ้าจริงที่สูญเสีย}} = \sum_{i=1}^N P_i = \underbrace{\sum_{i=1}^N P_{gi}}_{\text{ผลรวมของการผลิต}} = \underbrace{\sum_{i=1}^N P_{di}}_{\text{ผลรวมโหลด}} \quad (3.12)$$

เทอมของ P_L ในสมการนี้จะเห็นได้เด่นชัดในเทอมของผลรวมการสูญเสีย iR ในสายส่ง กำลังไฟฟ้าและหม้อแปลงของระบบ กระแสไฟฟ้าที่ไหลในสายส่งไฟฟ้าแต่ละเส้นของระบบจะไม่สามารถคำนวณหาได้จนกระทั่งหลังจากทราบขนาดและมุมเฟสของแรงดันแล้วทุกๆบัสในระบบ ไฟฟ้า สำหรับค่า P_i นั้นช่วงเริ่มแรกจะไม่ทราบและสมการ (3.12) จะนำมาใช้คำนวณไม่ได้ ในสูตรของการแก้ปัญหาโหลดโพลล์จะเลือกบัสหนึ่งเป็นสแลคบัสที่มีค่า P_i ที่มีลักษณะไม่แน่นอนหลังจากนั้นปัญหาของโหลดโพลล์จะถูกทำการแก้ปัญหา ค่าแตกต่างระหว่างผลรวมของกำลังไฟฟ้าจริง P ที่ไหลเข้าสู่ระบบที่บัสอื่นๆทั้งหมด และผลรวมของกำลังไฟฟ้าเอาท์พุท P บวกด้วยค่าการสูญเสีย iR ที่ถูกกำหนดไปในสแลคบัส ดังนั้นจึงทำให้บัสควบคุมแรงดันจะถูกพิจารณาเป็นสแลคบัส ค่าความแตกต่างของผลรวมที่ถูกจ่ายโดยเครื่องกำเนิดไฟฟ้าที่บัส และค่ารับ โดยโหลด จะถูกกำหนดให้เป็น

$$\sum_{i=1}^N q_i = \sum_{i=1}^N q_{gi} - \sum_{i=1}^N q_{di} \quad (3.13)$$

สมการนี้จะเห็นชัดเจนเมื่อเป็นบัสที่มีลักษณะเฉพาะคังสมการ (3.11) ที่แต่ละบัส i ในการแก้ปัญหา โหลดโพลล์ ค่า Q_i จะสามารถประมาณค่าได้จากสมการ (3.7) หลังจากแก้ปัญหาโหลดโพลล์ได้แล้ว จากนั้นปริมาณที่อยู่ทางด้านซ้ายมือของสมการ (3.13) จะเป็นค่าที่รวมกันของไลน์ชาร์จิง ชั้นท์คาปาซิเตอร์และรีแอกเตอร์ที่ติดตั้งอยู่ที่บัส และมันจะเรียกว่าค่าความสูญเสีย iX ที่เกิดขึ้นภายในรีแอกแตนซ์อนุกรมของสายส่งกำลังไฟฟ้า

มุมและขนาดของแรงดันไฟฟ้าของบัสที่ไม่เป็นค่าที่กำหนด ในข้อมูลอินพุทของการศึกษาโหลดโพลล์จะเรียกว่า สถานะที่ไม่คงที่ (state variable) หรือ ดีเพ็นเด้นท์วาริเอเบิล (dependent variables) ซึ่งค่าเหล่านี้จะบอกให้ทราบถึงสถานะของระบบซึ่งจะเป็นผลมาจากปริมาณที่เป็นลักษณะเฉพาะของบัสทั้งหมด ปัญหาโหลดโพลล์จะเป็นตัวกำหนดค่าสถานะที่เปลี่ยนแปลงไปทั้ง

หมดโดยการแก้ปัญหาของจำนวนของสมการโหนดโพลาร์ในส่วนของคุณมอดอินพุทถ้ามีบัลควบคุมแรงดันจำนวน N_g บัส (ไม่นับสแลคบัส) ในระบบของ N บัส มันจะเป็น $(2N-N_g-2)$ สมการที่ใช้แก้ปัญหา $(2N-N_g-2)$ สำหรับสถานะที่เปลี่ยนแปลงไปดังแสดงในตารางที่ 3.1 สถานะที่มีการเปลี่ยนแปลงอีกครั้งจะถูกคำนวณ สถานะที่สมบูรณ์ของระบบจะสามารถหาได้ และปริมาณทั้งหมดจะเป็นผลตามสภาวะที่เปลี่ยนแปลงและสามารถกำหนดได้ ปริมาณอย่างเช่น P_i และ Q_i ที่สแลคบัส Q_i ที่บัลควบคุมแรงดันแต่ละบัส และกำลังไฟฟ้าสูญเสีย P_i ของระบบไฟฟ้ากำลังที่ถูกควบคุม

ตารางที่ 3.1 สรุปปัญหาโหนดโพลาร์

ชนิดของบัส	จำนวนบัส	ค่าที่ทราบ	จำนวนสมการ	จำนวนสภาวะการเปลี่ยนแปลง δ_i, V_i
สแลคบัส $i = 1$	1	δ_i, V_i	0	0
บัลควบคุมแรงดัน ($i=2, \dots, N_g-1$)	N_g	P_i, V_i	N_g	N_g
โหนดบัส ($i=N_g+2, \dots, N$)	$N-N_g-1$	P_i, Q_i	$2(N-N_g-1)$	$2(N-N_g-1)$
ผลรวม	N	$2N$	$2N-N_g-2$	$2N-N_g-2$

ฟังก์ชัน P_i และ Q_i ของสมการ (3.6) และ (3.7) เป็นฟังก์ชันที่ไม่เป็นเชิงเส้นของสภาวะที่เปลี่ยนแปลงของ δ_i และ V_i การคำนวณโหนดโพลาร์โดยปกติจะใช้เทคนิคการคำนวณซ้ำแล้วซ้ำอีกอย่างเช่นวิธีการของนิวตัน ราฟสัน โดยวิธีนิวตันราฟสันจะเป็นการแก้ปัญหาในรูปแบบโพลาร์ฟอร์มของสมการโหนดโพลาร์จนกระทั่งค่ามิสแมตซ์ ΔP และ ΔQ ที่บัสทั้งหมดมีค่าเข้าใกล้ค่าที่ยอมรับได้

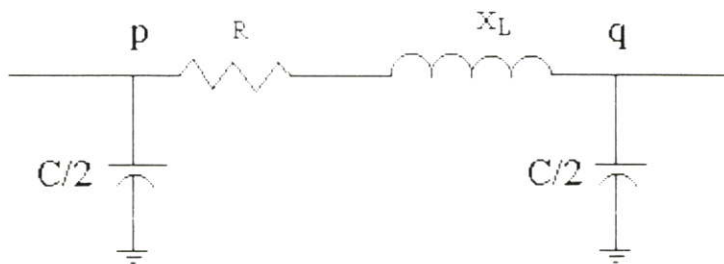
3.3 การสร้างบัลแอดมิแตนซ์เมตริกซ์โดยวิธีอีลิเมนต์สแตมป์ (Element stamp method)

การสร้างบัลแอดมิแตนซ์เมตริกซ์โดยวิธีอีลิเมนต์สแตมป์ [11] เป็นวิธีการคำนวณหาบัลแอดมิแตนซ์เมตริกซ์ โดยใส่องค์ประกอบของระบบกำลังไฟฟ้า เข้าไปที่ตัวจนครบทุกตัว บัลแอดมิแตนซ์ที่ได้หลังจากใส่องค์ประกอบตัวสุดท้ายจะเป็นบัลแอดมิแตนซ์เมตริกซ์ของระบบไฟฟ้ากำลังที่ต้องการ มีรายละเอียดดังนี้

3.3.1 สายส่งไฟฟ้า (Transmission line)

สายส่งไฟฟ้าที่เชื่อมระหว่างสองบัสใด ๆ สามารถแทนได้ด้วยวงจรสมมูลพาย ซึ่งประกอบด้วยความต้านทาน (Resistance $.R$) ต่ออนุกรมกับอินดักติฟรีแอกแตนซ์ (inductive reactance, X_i)

เชื่อมอยู่ระหว่างสองบัสนั้นๆ และมีชั้ท์คาปาซิแตนซ์ (Shunt capacitance C) เท่ากับครึ่งหนึ่งของชั้ท์คาปาซิแตนซ์ของสายส่งทั้งหมดตลอดสาย ต่ออยู่ที่บัสแต่ละบัส ดังแสดงในรูปที่ 3.2



รูปที่ 3.2 วงจรสมมูลพายที่ใช้แทนสายส่ง

- โดยที่ R คือความต้านทานของสายส่ง
 X_L คืออินดักตีฟรีแอคแตนซ์ของสายส่ง
 C คือชั้ท์คาปาซิแตนซ์ของสายส่ง

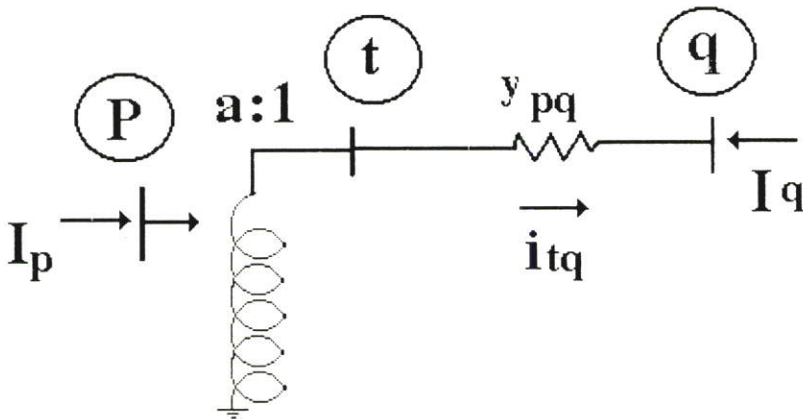
ถ้าใส่สายส่งไฟฟ้า pq (สายส่งไฟฟ้าที่ต่อระหว่างบัส p และบัส q) บัสแอดมิแตนซ์เมตริกซ์ใหม่จะเป็นดังสมการ

$$\left. \begin{aligned} Y_{pp}^{new} &= Y_{pp}^{old} + Y_{serpq} + \frac{1}{2} Y_{shtpq} \\ Y_{qq}^{new} &= Y_{qq}^{old} + Y_{serpq} + \frac{1}{2} Y_{shtpq} \\ Y_{pq}^{new} &= Y_{pq}^{old} - Y_{serpq} \\ Y_{qp}^{new} &= Y_{qp}^{old} - Y_{serpq} \end{aligned} \right\} \quad (3.14)$$

- โดยที่ Y_{pq}^{old} เป็นสมาชิกบัสแอดมิแตนซ์เมตริกซ์แถวที่ p และหลักที่ q ก่อนใส่สายส่ง pq
 Y_{pq}^{new} เป็นสมาชิกบัสแอดมิแตนซ์เมตริกซ์แถวที่ p และหลักที่ q หลังใส่สายส่ง pq
 Y_{serpq} เป็นแอดมิแตนซ์อนุกรม (Series admittance) ของสายส่ง pq
 Y_{shtpq} เป็นไลน์ชาร์จิงแอดมิแตนซ์ (Line charging admittance) ของสายส่ง pq

3.3.2 หม้อแปลงไฟฟ้า (Transformer)

แบบจำลองของหม้อแปลงไฟฟ้าสามารถแทนได้ด้วยอิมพีแดนซ์ หรือแอดมิแตนซ์ของหม้อแปลงไฟฟ้าต่ออนุกรมกับหม้อแปลงไฟฟ้าอุดมคติดังแสดงในรูปที่ 3.3

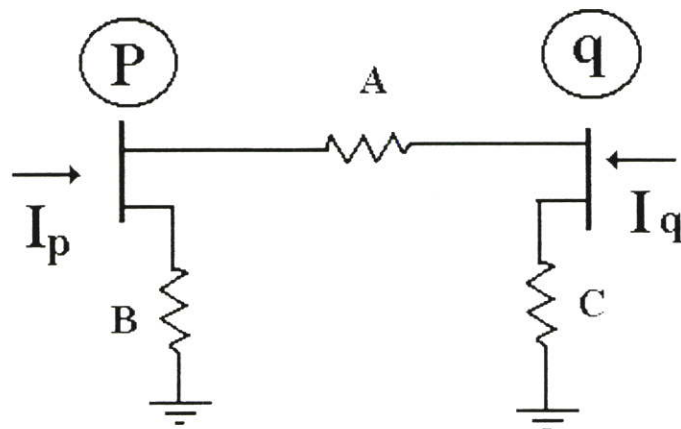


รูปที่ 3.3 แบบจำลองหม้อแปลงไฟฟ้าอุดมคติ

โดยที่ a คืออัตราส่วนจำนวนรอบของหม้อแปลงไฟฟ้า

y_{pq} คือค่าแอดมิแตนซ์ของหม้อแปลงไฟฟ้า

โดยวงจรสมมูลที่สอดคล้องกับแบบจำลองดังกล่าว เป็นแบบพาย ดังรูปที่ 3.4



รูปที่ 3.4 วงจรสมมูลของหม้อแปลงไฟฟ้า

สำหรับตัวแปร A , B และ C ของวงจรสมมูลหม้อแปลงไฟฟ้าในรูปที่ 3.4 สามารถคำนวณได้ดังนี้ พิจารณากระแสไฟฟ้าที่บัส p จากรูปที่ 3.3

$$I_p = \frac{i_{tq}}{a} \quad (3.15)$$

โดยที่ a^* คือสังยุคเชิงซ้อน (Complex conjugate) ของ a
 i_{tq} คือกระแสไฟฟ้าที่ไหลจากบัสสมมติ t ไปยังบัส q

i_{tq} หาจาก

$$i_{tq} = (V_t - V_q) \cdot Y_{pq} \quad (3.16)$$

แทนค่า i_{tq} จากสมการ (3.16) ลงใน (3.15)

$$I_p = (V_t - V_q) \cdot \frac{Y_{pq}}{a^*} \quad (3.17)$$

อาศัยคุณสมบัติของหม้อแปลงอุดมคติ จะได้ความสัมพันธ์ระหว่างแรงดันไฟฟ้าที่บัส p และ t ใน
 เทอมของอัตราส่วนการแปลง a คือ

$$V_t = \frac{V_p}{a} \quad (3.18)$$

แทนค่า V_t จากสมการ (3.18) ลงในสมการ (3.17) จะได้ว่า

$$I_p = \left(\frac{V_p}{a} - V_q \right) \cdot \frac{Y_{pq}}{a^*}$$

$$I_q = (V_q - V_t) \cdot Y_{pq} \quad (3.19)$$

โดยที่ $a^2 = a \cdot a^*$

ในทำนองเดียวกันพิจารณากระแสไฟฟ้าที่บัส q จากรูปที่ 3.3 จะได้ว่า

$$I_p = (V_p - aV_q) \cdot \frac{Y_{pq}}{|a|^2} \quad (3.20)$$

แทนค่า V_t จากสมการที่ (3.18) ลงในสมการที่ (3.20) จะได้ว่า

$$I_q = (aV_q - V_p) \cdot \frac{Y_{pq}}{a} \quad (3.21)$$

สำหรับกระแสไฟฟ้าที่บัส p และ q ของวงจรสมมูลภายในรูปที่ 3.4 คำนวณได้ดังนี้

$$I_p = i_{pq} + i_{po}$$

$$I_p = (V_p - V_q) \cdot A + V_p \cdot B \quad (3.22)$$

$$I_q = (i_{qp} + i_{qo})$$

$$I_q = (V_q - V_p) \cdot A + V_q \cdot C \quad (3.23)$$

กำหนดให้ $V_p = 0$ และ $V_q = 1$ แทนค่าในสมการ (3.19) และ (3.22) จะได้ตัวแปร A ดังนี้

$$A = \frac{Y_{pq}}{a} \quad (3.24)$$

ในทำนองเดียวกัน แทนค่า $V_p = 0$ และ $V_q = 1$ ลงในสมการ(3.21) และ (3.23)จะได้ว่า

$$A + C = Y_{pq}$$

หรือ

$$C = Y_{pq} - A \quad (3.25)$$

แทนค่า A จากสมการที่ (3.24) ลงในสมการที่ (3.25) จะได้ตัวแปร C คือ

$$\begin{aligned} C &= Y_{pq} - \frac{Y_{pq}}{a} \\ C &= \left(1 - \frac{1}{a}\right) \cdot Y_{pq} \end{aligned} \quad (3.26)$$

เนื่องจากกระแสไฟฟ้า I_p จากสมการที่ (3.19)และ(3.22) มีค่าเท่ากัน คือ

$$(V_p - aV_q) \cdot \frac{Y_{pq}}{|a|^2} = (V_p - V_q) \cdot A + V_p \cdot B \quad (3.27)$$

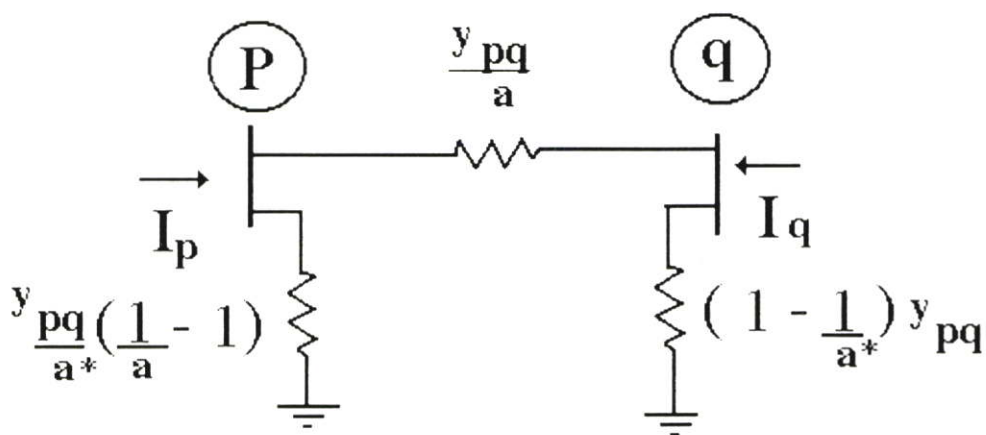
แทนค่า A จากสมการที่ (3.24) ลงในสมการที่ (3.27) จะได้ค่าตัวแปร B คือ

$$B = \frac{(V_D - aV_q) \cdot \frac{Y_{pq}}{|a|^2} - (V_D - V_q) \cdot \frac{Y_{pq}}{a^*}}{V_D}$$

$$= \frac{Y_{pq}}{|a|^2} - \frac{Y_{pq}}{a^*}$$

$$B = \frac{1}{a^*} \left(\frac{1}{a} - 1 \right) \cdot Y_{pq} \quad (3.28)$$

ดังนั้นวงจรสมมูลพายที่มีค่าตัวแปรในเทอมอัตราส่วนจำนวนรอบของหม้อแปลงไฟฟ้า a และแอดมิแดนซ์ y_{pq} ของหม้อแปลงไฟฟ้า ดังแสดงในรูปที่ 3.5



รูปที่ 3.5 วงจรสมมูลพายของหม้อแปลงไฟฟ้า

ถ้าใส่หม้อแปลงไฟฟ้า pq (หม้อแปลงไฟฟ้าที่ต่อระหว่างบัส p และ บัส q) ตามรูปที่ 3.5 บัสแอดมิแทนซ์เมตริกซ์ใหม่จะเป็นดังสมการ

$$\left. \begin{aligned} Y_{pp}^{new} &= Y_{pp}^{old} + \frac{1}{|a|^2} \cdot y_{pq} \\ Y_{qq}^{new} &= Y_{qq}^{old} + y_{pq} \\ Y_{pq}^{new} &= Y_{pq}^{old} - \frac{1}{a^*} y_{pq} \\ Y_{qp}^{new} &= Y_{qp}^{old} - \frac{1}{a} y_{pq} \end{aligned} \right\} \quad (3.29)$$

3.3.3 ชั้นที่อิลิเมนต์ (Shunt element)

ชั้นที่อิลิเมนต์ที่ใช้ในระบบไฟฟ้ากำลัง ได้แก่คาปาซิเตอร์ (Capacitor) และ รีแอกเตอร์ (Reactor) ในระบบไฟฟ้ากำลังมักจะมีการติดตั้งคาปาซิเตอร์ที่สถานีไฟฟ้าย่อยปลายทางเพื่อยกระดับแรงดันไฟฟ้าปลายทางให้สูงขึ้น และลดกำลังสูญเสียในสายส่ง เพราะคาปาซิเตอร์จะทำหน้าที่จ่ายกำลังไฟฟ้รีแอกตีฟเข้าที่บัส หรือในบางจุดจะมีการติดตั้งรีแอกเตอร์เพื่อลดระดับแรงดันไฟฟ้า

$$Y_{pp}^{new} = Y_{pp}^{old} + y_p \quad (3.30)$$

ที่บัสนั้น เพราะรีแอกเตอร์จะทำหน้าที่ดึงกำลังไฟฟ้รีแอกตีฟออกจากบัส จากที่กล่าวมาจะเห็นได้ว่าชั้นที่อิลิเมนต์เป็นอุปกรณ์ที่มีส่วนช่วยปรับแรงดันที่บัสให้เป็นไปตามที่กำหนด สำหรับวงจรสมมูลที่ใช้แทนชั้นที่อิลิเมนต์ประกอบด้วย อิมพีแดนซ์ที่ต่อเข้าที่บัสและลงสู่กราวด์ ถ้าใส่ชั้นที่อิลิเมนต์ที่ต่อกับบัส p บัสแอดมิแทนซ์เมตริกซ์ใหม่จะเป็นดังสมการ

โดยที่ y_p เป็นแอดมิแทนซ์ของชั้นที่อิลิเมนต์ที่ต่อกับบัส p

3.4 การคำนวณโหนดโพล์ด้วยวิธีนิวตัน ราบสัน [5,6]

วิธีของนิวตัน ราบสันกล่าวคือ เป็นการนำทฤษฎีของอนุกรมเทย์เลอร์ (Taylor series) มาเป็นเครื่องมือช่วยในการแก้ปัญหาของการคำนวณ ดังแสดงในสมการที่ (3.31) สำหรับ $f(x)$ ที่แทน x ด้วย x_0

$$u = f(x) = f(x_0) + \frac{f'(x_0)}{1!}(\Delta x) + \frac{f''(x_0)}{2!}(\Delta x)^2 + \dots \quad (3.31)$$

ถ้า Δx มีค่าน้อยมากตั้งแต่เทอมที่สามทางขวามือของสมการที่(3.31) จึงอาจตัดทิ้งได้สมการ $f(x)$ จึงเขียนโดยประมาณได้

$$u = f(x) = f(x_0) + \frac{df(x_0)}{dx} \Delta x \quad (3.32)$$

กรณีที่ฟังก์ชัน f มีตัวแปรหลายตัว สามารถประยุกต์เขียนสมการที่ (3.32) ใหม่ได้เป็น

$$\begin{aligned} u = f(x_1, x_2, \dots, x_n) &= f(x_1^{(0)}, x_2^{(0)}, \dots, x_n^{(0)}) + \frac{\partial f}{\partial x_1} \Big|_{(0)} \Delta x_1 \\ &+ \frac{\partial f}{\partial x_2} \Big|_{(0)} \Delta x_2 + \dots + \frac{\partial f}{\partial x_n} \Big|_{(0)} \Delta x_n \end{aligned} \quad (3.33)$$

ให้ $x_1^{(0)}, x_2^{(0)}, \dots, x_n^{(0)}$ เป็นค่าเริ่มต้นที่แทนเข้าไปในฟังก์ชัน $\frac{\partial f}{\partial x} \Big|_{(0)}$ เป็นค่าพาหะลิตีฟเฟอร์เรนเชียลที่ และจัดสมการที่ (3.33) ใหม่เขียนได้เป็น

$$\begin{aligned} \Delta u = u - f(x_1^{(0)}, x_2^{(0)}, \dots, x_n^{(0)}) &= \frac{\partial f}{\partial x_1} \Big|_{(0)} \Delta x_1 + \\ &\frac{\partial f}{\partial x_2} \Big|_{(0)} \Delta x_2 + \dots + \frac{\partial f}{\partial x_n} \Big|_{(0)} \Delta x_n \end{aligned} \quad (3.34)$$

สำหรับสมการที่ไม่เป็นเชิงเส้นใดๆ n สมการ สามารถเขียนได้โดยใช้สมการที่ (3.34) โดยจัดรูปเมตริกซ์ใหม่ได้ คือ

$$\begin{bmatrix} \Delta u_1 \\ \Delta u_2 \\ \vdots \\ \Delta u_n \end{bmatrix} = \begin{bmatrix} \frac{\partial f_1}{\partial x_1} & \frac{\partial f_1}{\partial x_2} & \dots & \frac{\partial f_1}{\partial x_n} \\ \frac{\partial f_2}{\partial x_1} & \frac{\partial f_2}{\partial x_2} & \dots & \frac{\partial f_2}{\partial x_n} \\ \vdots & \vdots & \ddots & \vdots \\ \frac{\partial f_n}{\partial x_1} & \frac{\partial f_n}{\partial x_2} & \dots & \frac{\partial f_n}{\partial x_n} \end{bmatrix} \begin{bmatrix} \Delta x_1 \\ \Delta x_2 \\ \vdots \\ \Delta x_n \end{bmatrix} \quad (3.35)$$

หรือเขียนแทนด้วยสมการเมตริกซ์เป็น

$$[\Delta U] = [J] \cdot [\Delta x] \quad (3.36)$$

โดยที่ $[J]$ คือจาโคเบียนเมตริกซ์

3.4.1 การประยุกต์วิธีนิวตัน ราบสัน ในการแก้ปัญหาโหลดฟลัวร์ [9]

การวิเคราะห์โหลดฟลัวร์แบบนิวตัน ราบสัน ใช้วิธีเปลี่ยนสมการการไหลของกำลังไฟฟ้าให้อยู่ในลักษณะเชิงเส้น ซึ่งสามารถเขียนให้อยู่ในรูปเมตริกซ์ ดังนี้

$$\begin{bmatrix} \Delta P \\ \Delta Q \end{bmatrix} = \begin{bmatrix} J_1 & J_2 \\ J_3 & J_4 \end{bmatrix} \begin{bmatrix} \Delta \delta \\ \Delta |V| \end{bmatrix} \quad (3.37)$$

โดยที่ ΔP คือ ค่าความแตกต่างของกำลังไฟฟ้าจริงที่โหลดเข้าบัส ซึ่งคำนวณได้จากค่ากำลังไฟฟ้าจริงที่กำหนด ลบด้วยค่ากำลังไฟฟ้าจริงที่คำนวณ นั่นคือ

$$\Delta P = P_{\text{กำหนด}} - P_{\text{คำนวณ}} \quad (3.38)$$

และ ΔQ คือ ค่าความแตกต่างของกำลังไฟฟ้รีแอกทีฟที่โหลดเข้าบัส ซึ่งคำนวณได้จากค่ากำลังไฟฟ้รีแอกทีฟที่กำหนด ลบด้วยค่ากำลังไฟฟ้รีแอกทีฟที่คำนวณ นั่นคือ

$$\Delta Q = Q_{\text{กำหนด}} - Q_{\text{คำนวณ}} \quad (3.39)$$

J_1, J_2, J_3 และ J_4 เป็นจาโคเบียนเมตริกซ์ย่อย

สมการในแนวเส้นทแยงมุมและนอกเส้นทแยงมุม ของ J_1 สามารถเขียนได้เป็น

$$\frac{\partial P_i}{\partial \delta_i} = \sum_{\substack{j=1 \\ j \neq i}}^n |V_i| |V_j| |Y_{ij}| \sin(\theta_{ij} - \delta_i + \delta_j) \quad (3.40)$$

$$\frac{\partial P_i}{\partial \delta_j} = -|V_i| |V_j| |Y_{ij}| \sin(\theta_{ij} - \delta_i + \delta_j) \quad j \neq i \quad (3.41)$$

สมการในแนวเส้นทแยงมุมและนอกเส้นทแยงมุม ของ V_i สามารถเขียนได้เป็น

$$\frac{\partial P_i}{\partial |V_i|} = \sum_{\substack{j=1 \\ j \neq i}}^n |V_j| |Y_{ij}| \cos(\theta_{ij} - \delta_i + \delta_j) + 2|V_i| |Y_{ii}| \cos \theta_{ii} \quad (3.42)$$

$$\frac{\partial P_i}{\partial |V_j|} = |V_i| |Y_{ij}| \cos(\theta_{ij} - \delta_i + \delta_j) \quad j \neq i \quad (3.43)$$

สมการในแนวเส้นทแยงมุมและนอกเส้นทแยงมุม ของ Q_i สามารถเขียนได้เป็น

$$\frac{\partial Q_i}{\partial \delta_i} = \sum_{\substack{j=1 \\ j \neq i}}^n |V_i| |V_j| |Y_{ij}| \cos(\theta_{ij} - \delta_i + \delta_j) \quad (3.44)$$

$$\frac{\partial Q_i}{\partial \delta_j} = -|V_i| |V_j| |Y_{ij}| \cos(\theta_{ij} - \delta_i + \delta_j) \quad j \neq i \quad (3.45)$$

สมการในแนวเส้นทแยงมุมและนอกเส้นทแยงมุม ของ V_i สามารถเขียนได้เป็น

$$\frac{\partial Q_i}{\partial |V_i|} = -\sum_{\substack{j=1 \\ j \neq i}}^n |V_j| |Y_{ij}| \sin(\theta_{ij} - \delta_i + \delta_j) - 2|V_i| |Y_{ii}| \sin \theta_{ii} \quad (3.46)$$

$$\frac{\partial Q_i}{\partial |V_j|} = -|V_i| |Y_{ij}| \sin(\theta_{ij} - \delta_i + \delta_j) \quad j \neq i \quad (3.47)$$

$\Delta \delta$ คือ ค่าของมุมที่เปลี่ยนแปลงในการวนรอบ

ΔV คือ ค่าของขนาดแรงดันที่เปลี่ยนแปลงในการวนรอบ

การวิเคราะห์โหนดโพลาร์แบบนิวตันราฟสัน สามารถสรุปได้ดังนี้

1. จำนวน P, Q จากค่าแรงดันที่สมมติในตอนเริ่มต้น หรือจากค่าแรงดันบัลที่คำนวณได้ในการวนรอบ ครั้งที่ผ่านมา

2. จำนวน $\Delta P, \Delta Q$ ถ้าค่าความแตกต่างนี้น้อยกว่าค่าที่ยอมรับได้ (Tolerance) แสดงว่าค่าแรงดันซึ่งใช้จำนวน P, Q นี้คือ ผลลัพธ์ของการวิเคราะห์โหนดโพลาร์

3. ถ้า ΔP , ΔQ มีค่ามากกว่าค่าที่ยอมรับได้ จะต้องคำนวณ $\Delta\delta$, ΔV เพื่อคำนวณแรงดันบัสค่าใหม่จาก

$$\delta^{k+1} = \delta^k - \Delta\delta^k \quad (3.48)$$

$$V^{k+1} = V^k - \Delta V^k \quad (3.49)$$

โดยที่ k คือจำนวนรอบ

4. กลับไปทำขั้นตอนในข้อ 1 ใหม่ จนกระทั่งได้ผลลัพธ์

3.5 การคำนวณโหลดโพล์ด้วยวิธีฟาสต์ดีคัปเปิล

ในความเป็นจริงแล้วระบบไฟฟ้ากำลัง จะพบว่าการเปลี่ยนแปลงขนาดแรงดันในกำลังไฟฟ้าจริง (real power) ในสายส่งไฟฟ้ามีการเปลี่ยนแปลงน้อยมาก และการเปลี่ยนแปลงมุมในกำลังไฟฟ้ารีแอกทีฟ (reactive power)แทบจะไม่เปลี่ยนแปลง ดังนั้นจากสมการเดิม(3.37) เขียนใหม่ เป็น

$$\begin{bmatrix} \Delta P \\ \Delta Q \end{bmatrix} = \begin{bmatrix} J_1 & 0 \\ 0 & J_4 \end{bmatrix} \begin{bmatrix} \Delta\delta \\ \Delta V \end{bmatrix} \quad (3.50)$$

หรือสามารถเขียนเป็นสมการได้ใหม่ว่า

$$\Delta P = J_1 \Delta\delta = \left[\frac{\partial P}{\partial \delta} \right] \Delta\delta \quad (3.51)$$

และ

$$\Delta Q = J_4 \Delta V = \left[\frac{\partial Q}{\partial V} \right] \Delta V \quad (3.52)$$

จากสมการ(3.40) สมการในแนวเส้นทแยงมุมของ J_1 สามารถเขียนได้เป็น

$$\frac{\partial P_i}{\partial \delta_i} = \sum_{j=1}^n |V_i| |V_j| |Y_{ij}| \sin(\theta_{ij} - \delta_i + \delta_j) - |V_i|^2 |Y_{ii}| \sin \theta_{ii}$$

แทนค่าเทอมแรกของสมการ (3.40) ด้วย $-Q_i$ จากสมการ (3.7)

$$\frac{\partial P_i}{\partial \delta_i} = -Q_i - |V_i|^2 B_{ii} \quad (3.53)$$

เมื่อ $B_{ii} = |Y_{ii}| \sin \theta_{ii}$ เป็นส่วนจินตภาพของเมตริกซ์ย่อยแนวเส้นทแยงมุมของบัสแอดมิแทนท์เมตริกซ์

ในระบบไฟฟ้ากำลัง self susceptances $B_{ii} \gg Q_i$ และ $|V_i|^2 \approx |V_i|$
ดังนั้น

$$\frac{\partial P_i}{\partial \delta_i} = -|V_i| B_{ii} \quad (3.54)$$

จากสมการ(3.41) สมการนอกแนวเส้นทแยงมุมของ J_i สามารถเขียนได้เป็น

$$\frac{\partial P_i}{\partial \delta_j} = -|V_i| |V_j| |Y_{ij}| \sin(\theta_{ij} - \delta_i + \delta_j) \quad j \neq i$$

สมมติว่าค่าความแตกต่างระหว่างมุมของแรงดันไฟฟ้าที่บัสต่างๆมีค่าแตกต่างกันไม่มาก เนื่องจาก $\delta_j - \delta_i$ มีขนาดน้อยมาก

จะได้ว่า $\theta_{ij} - \delta_i + \delta_j \approx \theta_{ij}$

$$\text{ดังนั้น} \quad \frac{\partial P_i}{\partial \delta_j} = -|V_i| |V_j| B_{ij} \quad (3.55)$$

สมมติให้ $|V_j| \approx 1$

ดังนั้น

$$\frac{\partial P_i}{\partial \delta_j} = -|V_i| B_{ij} \quad (3.56)$$

จากสมการ(3.46) สมการในแนวเส้นทแยงมุมของ J_i สามารถเขียนได้เป็น

$$\frac{\partial Q_i}{\partial V_i} = -\sum_{j=1}^n |V_i| |V_j| |Y_{ij}| \sin(\theta_{ij} - \delta_i + \delta_j) - |V_i| |Y_{ii}| \sin \theta_{ii}$$

แทนค่าเทอมแรกของสมการ (3.46) ด้วย $-Q_i$

$$\begin{aligned}\frac{\partial Q_i}{\partial |V_i|} &= Q_i - |V_i| |Y_{ii}| \sin \theta_{ii} \\ &= Q_i - |V_i| B_{ii}\end{aligned}\quad (3.57)$$

ในทำนองเดียวกัน เมื่อ $B_{ii} = Y_{ii} \sin \theta_{ii} \geq Q_i$ เราจะตัด Q_i ที่
 ดังนั้นสมการ(3.57) ในแนวเส้นทแยงมุมของ B สามารถเขียนได้ใหม่เป็น

$$\frac{\partial Q_i}{\partial |V_i|} = -|V_i| B_{ii} \quad (3.58)$$

จากสมการ(3.47) สมการนอกแนวเส้นทแยงมุมของ B สามารถเขียนได้เป็น

$$\frac{\partial Q_i}{\partial |V_j|} = -|V_i| |Y_{ij}| \sin(\theta_{ij} - \delta_i + \delta_j) \quad j \neq i$$

เนื่องจาก $\delta_j - \delta_i$ มีน้อยมาก จะได้ว่า $\theta_{ij} - \delta_i + \delta_j \approx \theta_{ij}$
 ดังนั้นสมการในนอกแนวเส้นทแยงมุมของ B สามารถเขียนได้เป็น

$$\frac{\partial Q_i}{\partial |V_j|} = -|V_i| B_{ij} \quad (3.59)$$

เมื่อทำการปรับปรุงวิธีฟาสต์ดีคัปเปิ้ล แล้ว จะได้สมการสุดท้ายเป็น

$$\frac{\Delta P}{|V_i|} = -B' \Delta \delta \quad (3.60)$$

$$\frac{\Delta Q}{|V_i|} = -B'' \Delta |V| \quad (3.61)$$

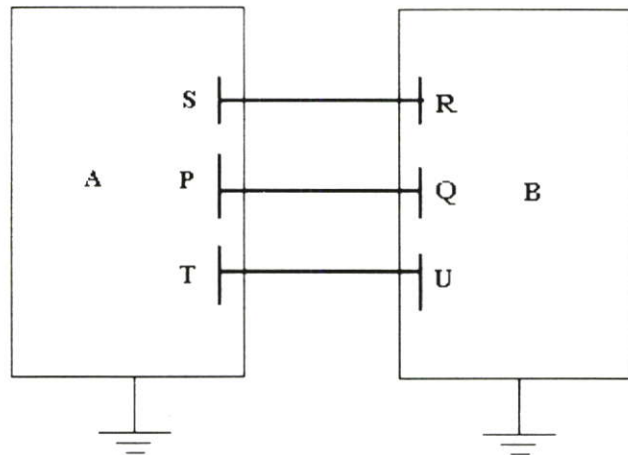
ดังนั้น

$$\Delta \delta = -[B']^{-1} \frac{\Delta P}{|V_i|} \quad (3.62)$$

$$\Delta |V| = -[B'']^{-1} \frac{\Delta Q}{|V_i|} \quad (3.63)$$

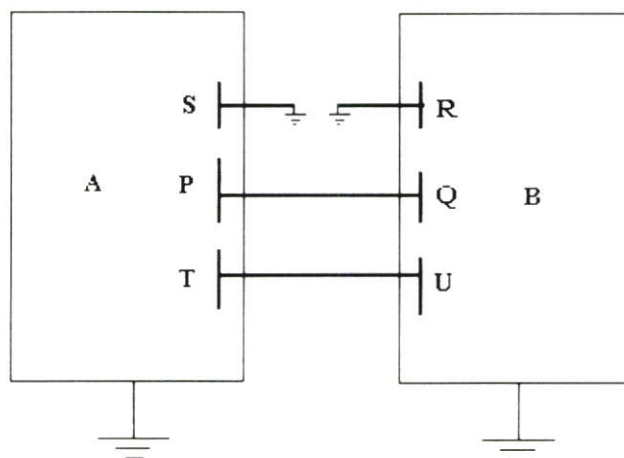
3.5.1 ข้อกำหนดในการหา $[B']$ และ $[B'']$ [3]

จากสมการ (3.62) และ (3.63) จะเห็นว่า $-[B']$ และ $-[B'']$ ก็คือส่วนจินตภาพของแอดมิแทนซ์เมตริกซ์ในการหา $[B']$ และ $[B'']$ มีข้อกำหนดที่สำคัญ โดยจะพิจารณาจากรูปที่ 3.6



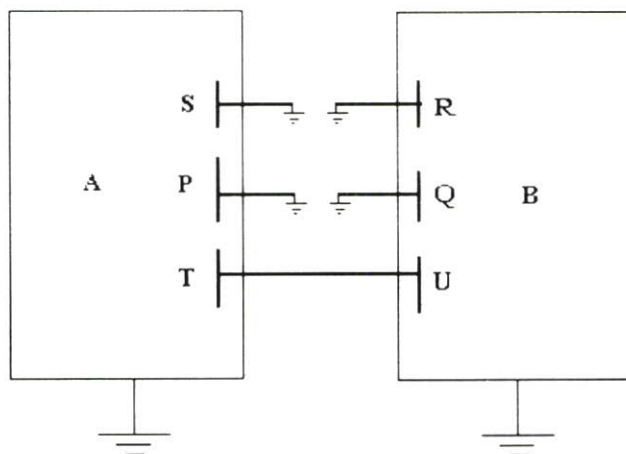
รูปที่ 3.6 ระบบเครือข่ายเริ่มต้น

จากรูปที่ 3.6 แสดงระบบเครือข่ายเริ่มต้น ที่ประกอบด้วยสองระบบย่อย คือระบบย่อย A และระบบย่อย B ระบบย่อย A ประกอบด้วยสแลกบัส (บัส S), บัสโหนด (บัส P และบัส T) ระบบย่อย B ประกอบด้วย บัสควบคุมแรงดัน (บัส Q), บัสโหนด (บัส R และ บัส U)



รูปที่ 3.7 เครือข่าย B'

เนื่องจากการหา $[B']$ จะไม่รวมสแลกบัสมาเป็นสมาชิก ดังนั้นถ้ามีสายส่ง หรือบัสใดบัสหนึ่ง ต่อร่วมกับบัสสแลก ก็จะไม่ถูกรวมเป็นสมาชิกของเมตริกซ์ $[B']$ ดังเช่นบัส R ที่เชื่อมต่อกับบัส S ซึ่งเป็นสแลกบัส บัส R และบัส S จะถูกพิจารณาเป็นกราวด์ ดังแสดงในรูปที่ 3.7



รูปที่ 3.8 เครือข่าย B''

ในการทำงานเดียวกันเนื่องจากในการหา $[B'']$ จะไม่รวมสแลกบัส และบัสควบคุมแรงดันหรือบัสเครื่องกำเนิดไฟฟ้ามาเป็นสมาชิก ดังนั้นถ้ามีสายส่งหรือบัสใดบัสหนึ่งต่อร่วมกับบัสสแลก และบัสควบคุมแรงดันหรือบัสเครื่องกำเนิดไฟฟ้า ก็จะไม่ถูกรวมเป็นสมาชิกของเมตริกซ์ $[B'']$ ดังเช่นบัส R ที่เชื่อมต่อกับบัส S ซึ่งเป็นสแลกบัส และบัส P ที่เชื่อมต่อกับบัส Q ซึ่งเป็นบัสควบคุมแรงดันหรือบัสเครื่องกำเนิดไฟฟ้า จะถูกตัดออกไปเป็นกรวด ดังแสดงในรูปที่ 3.8

บทที่ 4

การประยุกต์ใช้เทคนิคสปาซเมตริกซ์ และขั้นตอนการทำงานของโปรแกรม

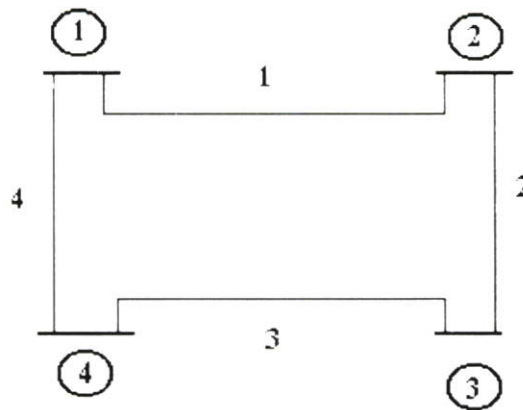
4.1 บทนำ

ในบทนี้ได้กล่าวถึงการบันทึก self และ mutual admittance ด้วยวิธีสปาซเมตริกซ์ โดยจัดเก็บในลักษณะเมตริกซ์อะเรย์ 1 มิติซึ่งสามารถลดค่าศูนย์ที่ไม่ได้นำมาใช้ ได้มากกว่าการจัดเก็บแบบเดิมที่บันทึกแบบ two dimension array และยังได้กล่าวถึงขั้นตอนการทำงานของโปรแกรม การวิเคราะห์โหนดโพล์ ด้วยวิธีฟาสต์คัลปีเปล โดยใช้เทคนิคสปาซเมตริกซ์ และการแยกส่วนย่อย ดังจะนำเสนอรายละเอียดต่างๆดังนี้

4.2 การเก็บบันทึกค่า nodal self admittance และ mutual admittance [8,12]

การบันทึก nodal self admittance และ mutual admittance ลงใน core storage นั้น ถ้าบันทึกอยู่ใน รูปแบบเมตริกซ์ จะเป็นการบันทึกแบบ two dimension array แล้วจะต้องสิ้นเปลือง core storage มาก เพราะจำนวน mutual admittance elements ต่างๆของเมตริกซ์ ที่มีค่าเป็นศูนย์มีมาก ไม่ได้นำมาใช้ประโยชน์ในการคำนวณเลย แต่ที่ต้องการ core storage เหมือนกัน ดังนั้นวิธีการที่ดีที่สุดที่ช่วยลดการจัดเก็บค่าศูนย์ หรือ เรียกอย่างหนึ่งว่า เทคนิคสปาซเมตริกซ์ โดยใช้วิธีการบันทึก nodal self admittance และ mutual admittance ในลักษณะของ One dimension array ด้วยวิธีการดังต่อไปนี้

ข้อมูล line l line จะประกอบด้วย บัสส่ง (nl) .บัสรับ (nr) ค่า admittance ของ line แต่ละ line ที่ป้อนเข้าไปเป็นข้อมูล จะถูกจัดให้มี line number (NEL) ประจำ line นั้น การบันทึกค่า mutual admittance (ym) จะใช้ line number เป็น subscript variable ดังนี้คือ ym (NEL) การเก็บบันทึก ของ self admittance (YS) ของบัสนี้ จะใช้ nl และ nr ซึ่งมีความสัมพันธ์กับ NEL อยู่แล้ว เป็นตัว subscript variable ดังนี้ คือ YS(nl(NEL)) . YS(nr(NEL)) โยงซึ่งกันและกัน การเก็บบันทึกค่า self และ mutual admittance จะ สมมติเครือข่ายดังรูปที่ 4.1



รูปที่ 4.1 ระบบไฟฟ้ากำลัง 4 บัส 4 สายส่ง

บัส(1)และบัส (2) NEL =1 nl(1)=1 . nr(1) = 2

บัส(2)และบัส (3) NEL =2 nl(2)=2 . nr(2) = 3

บัส(3)และบัส (4) NEL =3 nl(3)=3 . nr(3) = 4

บัส(4)และบัส (1) NEL =4 nl(4)=4 . nr(4) = 1

หมายเหตุ ค่า nl และ nr สามารถกำหนดให้สับที่ได้

ลักษณะการบันทึก self และ mutual admittance ดังนี้

YS(1)	YS(2)	YS(3)	YS(4)
ym(1)	ym(2)	ym(3)	ym(4)

รูปที่ 4.2 ลักษณะการบันทึกของ self และ mutual admittance ซึ่งจะต้องใช้ core storage เท่ากับ 8 word

จากรูปที่ 4.2 แสดงการจัดเก็บ self และ mutual admittance ซึ่งอยู่ในรูปเมตริกซ์ หนึ่งมิติ ซึ่งจะต้องใช้ core storage เท่ากับ 8 word แต่ถ้าหาก เก็บบันทึกแบบเมตริกซ์ แบบ two dimension array แล้วจะต้องสิ้นเปลือง core storage เท่ากับ 16 ดังนี้

Y(1,1)	Y(1,2)	Y(1,3)	Y(1,4)
Y(2,1)	Y(2,2)	Y(2,3)	Y(2,4)
Y(3,1)	Y(3,2)	Y(3,3)	Y(3,4)
Y(4,1)	Y(4,2)	Y(4,3)	Y(4,4)

รูปที่ 4.3 ลักษณะการบันทึกของ self และ mutual admittance แบบ two dimension array

4.3 วิธีการนำเทคนิคสาขาเมตริกซ์ ไปใช้

สมมุติระบบไฟฟ้ากำลังมี 14 บัส 20 สายส่ง โดย nl แทนบัสส่ง nr แทนบัสรับ R แทนรีซิสแตนซ์ X แทนรีแอกแตนซ์ NEL แทน หมายเลขสายส่ง

ตารางที่ 4.1 ข้อมูลตัวอย่างสายส่งของระบบไฟฟ้ากำลัง 14บัส 20สายส่งแบบเปอร์ยูนิค[4]

NEL	nl	nr	R	X	NEL	nl	nr	R	X
1	1	2	0.01938	0.05917	11	4	9	0	0.55618
2	2	3	0.04699	0.19797	12	7	9	0	0.11001
3	2	4	0.05811	0.17632	13	9	10	0.03181	0.045
4	1	5	0.05403	0.22304	14	6	11	0.09498	0.1989
5	2	5	0.05695	0.17388	15	6	12	0.12291	0.25581
6	3	4	0.06701	0.17103	16	6	13	0.06615	0.13027
7	4	5	0.01335	0.04211	17	9	14	0.12711	0.27038
8	5	6	0	0.25202	18	10	11	0.08205	0.19207
9	4	7	0	0.20912	19	12	13	0.22092	0.19988
10	7	8	0	0.17615	20	13	14	0.17093	0.34802

เราสามารถหา mutual admittance ได้ จากสมการ

$$ym(NEL) = 1/(R(NEL)-j*x(NEL)) \quad (4.1)$$

ตัวอย่างการคำนวณเช่น

$$ym(1)=1/(0.01938-j*0.05917)$$

$$ym(2)=1/(0.04699-j*0.19797)$$

•

•

•

$$ym(19)=1/(0.22092-j*0.19988)$$

$$ym(20)=1/(0.17093+j*0.34802)$$

ผลลัพธ์ที่ได้คือ

nl	nr	R	X	ym
1	2	0.01938	0.05917	4.9991 -15.2631i
2	3	0.04699	0.19797	1.1350 -4.7819i
2	4	0.05811	0.17632	1.6860 -5.1158i
1	5	0.05403	0.22304	1.0259 -4.2350i
2	5	0.05695	0.17388	1.7011 -5.1939i
3	4	0.06701	0.17103	1.9860 -5.0688i
4	5	0.01335	0.04211	6.8410 -21.5786i
5	6	0	0.25202	0 -3.9679i
4	7	0	0.20912	0 -4.7819i
7	8	0	0.17615	0 -5.6770i
4	9	0	0.55618	0 -1.7980i
7	9	0	0.11001	0 -9.0901i
9	10	0.03181	0.045	10.4746 -14.8179i
6	11	0.09498	0.1989	1.9550 -4.0941i
6	12	0.12291	0.25581	1.5260 -3.1760i
6	13	0.06615	0.13027	3.0989 -6.1028i
9	14	0.12711	0.27038	1.4240 -3.0291i
10	11	0.08205	0.19207	1.8809 -4.4029i
12	13	0.22092	0.19988	2.4890 -2.2520i
13	14	0.17093	0.34802	1.1370 -2.3150i

เราหา self admittance โดยอาศัยความสัมพันธ์บัสส่ง บัสรับ และ NEL และบัสสายส่ง ดังสมการ

$$YS(nl(NEL))= YS(nl(NEL))- ym(nl(NEL)) \quad (4.2)$$

$$YS(nr(NEL))= YS(nr(NEL))- ym(nr(NEL)) \quad (4.3)$$

ตัวอย่างเช่นการหา self admittance ของบัสที่ 2

หาผลรวม self admittance ของบัสที่ 2 เมื่อเทียบกับบัสส่ง หรือ nl เท่ากับ 2

$$\begin{aligned} YS(2) &= (1.1350-4.7819i-1.686-5.1158i-1.7011-5.1939i) \\ &= 4.5221-15.0916i \end{aligned}$$

นำผลรวม self admittance ของบัสที่ 2 เมื่อเทียบกับบัสส่ง ที่ได้รวมกับผลรวมของบัสรับ

$$\begin{aligned} YS(2) &= (4.5221-15.0916i)+4.9991-15.2631i \\ &= 9.5212-30.3547i \end{aligned}$$

สรุปผลลัพธ์โดยรวมของการหา self admittance คือ

nl	nr	ym	บัส	YS
1	2	4.9991 -15.2631i	1	6.0250 -19.4981i
2	3	1.1350 -4.7819i	2	9.5212 -30.3547i
2	4	1.6860 -5.1158i	3	3.1210 -9.8507i
1	5	1.0259 -4.2350i	4	10.5130 -38.3411i
2	5	1.7011 -5.1939i	5	9.5680 -34.8973i
3	4	1.9860 -5.0688i	6	6.5799 -17.3408i
4	5	6.8410 -21.5786i	7	0 -19.5490i
5	6	0 -3.9679i	8	0 -5.6770i
4	7	0 -4.7819i	9	11.8870 -28.7351i
7	8	0 -5.6770i	10	12.3555 -19.2203i
4	9	0 -1.7980i	11	3.8359 -8.4964i
7	9	0 -9.0901i	12	4.0150 -5.4280i
9	10	10.4746 -14.8179i	13	6.7249 -10.6698i
6	11	1.9550 -4.0941i	14	2.5610 -5.3441i
6	12	1.5260 -3.1760i		
6	13	3.0989 -6.1028i		
9	14	1.4240 -3.0291i		
10	11	1.8809 -4.4029i		
12	13	2.4890 -2.2520i		
13	14	1.1370 -2.3150i		

4.4 การนำเทคนิคสเปซเมตริกซ์ใช้ในวิเคราะห์ โหลดโฟลว์

เมื่อเราได้แบ่งระบบออกเป็นส่วนย่อยแล้ว ทำการหาค่า mutual admittance จากผลหาร $R-X^*j$ เก็บค่าในเมตริกซ์ ym และนำมาคำนวณหาค่า self admittance โดยอาศัยความสัมพันธ์ ของ เลขประจำสายส่ง NEL เก็บในเมตริกซ์ YS ซึ่งค่าทั้งหมดจะอยู่ในรูปเมตริกซ์อะเรย์ เมติ

YS (1)	YS(2)	YS(3)	...	YS(nbus)
--------	-------	-------	-----	------------

ym(NEL(1))	ym(NEL(2))	ym(NEL(3))	...	ym(NEL(nbr))
------------	------------	------------	-----	--------------

รูปที่ 4.4 ลักษณะการบันทึกของ self admittance ซึ่ง core storage จะแปรผันตามจำนวนบัส และ mutual admittanceซึ่ง core storage จะแปรผันตามจำนวนสายส่ง

โดยที่

nbus คือจำนวนบัสทั้งหมด

nbr คือจำนวนสายส่งทั้งหมด

สมมติให้

i แทน บัสระบบย่อย

J แทน บัสระบบย่อย อีกระบบย่อยหนึ่ง

nl แทน บัสส่ง

nr แทน บัสรับ

V แทน แรงดันบัสระบบย่อย

angle(x) แทนมุมของตัวแปร x ใดๆ

หากำลังไฟฟ้าจริง

$$P(i) = V(i) * V(i) *(YS(i))*\cos(\text{angle}(YS(i))) \quad (4.4)$$

จากสมการที่ (4.4) เป็นการหาค่ากำลังไฟฟ้าจริง โดยจะหาในส่วน ของ self แอดมิแตนซ์ หรือ อาจกล่าวได้ว่าเป็นการอ้างอิงตามหมายเลขบัส ในระบบย่อย โดยที่ NELของข้อมูลบัส หรือ i จะไม่รวมสแลกบัส

$$P(nl(NEL)) = \sum V(nl(NEL)) * V(nr(NEL)) * ym(nl(NEL)) * \cos(\text{angle}(ym(nl(NEL))) - \delta(nr(NEL)) - \delta(nl(NEL))) \quad (4.5)$$

$$P(nr(NEL)) = \sum V(nl(NEL)) * V(nr(NEL)) * ym(nr(NEL)) * \cos(\text{angle}(ym(nr(NEL))) - \delta(nl(NEL)) - \delta(nr(NEL))) \quad (4.6)$$

จากสมการ (4.5) และ (4.6) โดยอาศัยความสัมพันธ์ของบัสส่ง บัสรับ และ mutual admittance หรือ อาจกล่าวได้ว่าเป็นการอ้างอิงตามหมายเลขสายส่ง หรือ NEL ของข้อมูลสายส่ง

หากระแสคัทหลายจาก

$$ITIE(NEL(\text{คัทหลาย})) = (V(i(\text{โชนที่สูงกว่า})) - V(j(\text{โชนที่ต่ำกว่า}))) * ym(NEL(\text{คัทหลาย})) \quad (4.7)$$

$$P(i(\text{คัทหลาย})) = \pm \sum \text{real}(V(nl(\text{คัทหลาย})) * \text{conj}(ITIE(nl(NEL(\text{คัทหลาย})))) \quad (4.8)$$

$$P(j(\text{คัทหลาย})) = \pm \sum \text{real}(V(nr(\text{คัทหลาย})) * \text{conj}(ITIE(nr(NEL(\text{คัทหลาย})))) \quad (4.9)$$

ในสมการที่ (4.7) . (4.8) และ (4.9) จะเป็นการหากระแสคัทหลาย และกำลังไฟฟ้าจริง ในส่วนคัทหลาย โดยวิธีสเปซเมตริกซ์จะมีบทบาทสำคัญแทนการหาแบบ two dimension array โดยสมการ จะอ้างอิง mutual admittance . NEL . บัสส่ง และบัสรับ ของสายส่งเพื่อหาค่าผลลัพธ์รวม จากนั้น กำหนดทิศทางกระแส ITIE อีกครั้งหนึ่งโดยเปลี่ยนทิศทางให้กระแสไหลเข้าสู่บัส โดย ถ้าระบบย่อยโชนที่สูงกว่า P(i(คัทหลาย)) เป็นบวก ระบบย่อยโชนที่ต่ำกว่า P(j(คัทหลาย)) เป็นลบ

หาผลรวมของ Pcal

$$Pcal(i) = P(i) - P(i(\text{คัทหลาย})) \quad (4.10)$$

ความแตกต่างของกำลังไฟฟ้าที่ไหลเข้าสู่บัสคือ

$$\Delta P(i) = Psh(i) - Pcal(i) \quad (4.11)$$

เราสร้างจาโคเบียนเมตริกซ์ $[B']$ และ $[B^*]$ ได้จากเมตริกซ์ $[ym].[YS]$

$$\begin{array}{l} \text{imag}(YS) \\ \left[\begin{array}{c} \\ \\ \end{array} \right] \\ \text{imag}(ym) \\ \left[\begin{array}{c} \\ \\ \end{array} \right] \end{array} \left. \vphantom{\begin{array}{l} \text{imag}(YS) \\ \left[\begin{array}{c} \\ \\ \end{array} \right] \\ \text{imag}(ym) \\ \left[\begin{array}{c} \\ \\ \end{array} \right] \end{array}} \right\} \begin{array}{l} \left[\begin{array}{c} B' \\ \\ \end{array} \right] \\ \left[\begin{array}{c} B'' \\ \\ \end{array} \right] \end{array}$$

รูปที่ 4.5 แสดงความสัมพันธ์ ของ self และ mutual admittance ด้วยวิธีสพาชเมตริกซ์ ในการสร้าง [B] และ [B']

จากรูปที่ 4.5 ในการหาเมตริกซ์ [B] และ [B'] จะใช้วิธีการป้อนสมาชิก self admittance (YS) ตามแนวเส้นทแยงมุม และป้อนสมาชิก mutual admittance (Ym) ตามนอกแนวเส้นทแยงมุม โดยที่ $y_m(nl, nr) = y_m(nr, nl)$ ในการหาเมตริกซ์ [B] จะไม่รวม สมาชิกที่เป็นสแลกบั๊ส และในการหาเมตริกซ์ [B'] จะไม่รวม สมาชิกที่เป็นสแลกบั๊สและบั๊สควบคุมแรงดัน ดังได้กล่าวไว้ในหัวข้อ 3.5.1

นำค่า B' ที่ได้จากส่วนจินตภาพของแอดมิแตนซ์เมตริกซ์ ym และ YS มาหา $\Delta\delta$

$$\Delta\delta = -[B']^{-1} \frac{\Delta P_{(i)}}{|V_i|} \quad (4.12)$$

คำนวณกระแสคัทล่ายจาก

$$ITIE(NEL(\text{คัทล่าย})) = (\Delta\delta (i(\text{โชนที่สูงกว่า})) - \Delta\delta (j(\text{โชนที่ต่ำกว่า}))) / Z_j B' \quad (4.13)$$

$$IT(i) = \pm \sum ITIE(i(NEL(\text{คัทล่าย}))) \quad (4.14)$$

กำหนดทิศทางกระแส ITIE อีกครั้งหนึ่งโดยเปลี่ยนทิศทางให้กระแสไหลเข้าสู่บั๊ส โดยถ้าระบบย่อยโชนที่สูงกว่า IT เป็นบวก ระบบย่อยโชนที่ต่ำกว่า IT เป็นลบ

หาผลลัพธ์

$$\Delta\delta \text{ จริง} = -[B']^{-1} * IT - \Delta\delta \quad (4.15)$$

ปรับปรุงค่ามุม

$$\delta_{new} = \delta_{old} + \Delta\delta \quad (4.16)$$

นำค่ามุมปรับปรุงแล้วหาแรงดัน

$$V = V' * (\cos(\delta') - j * \sin(\delta')) \quad (4.17)$$

หากำลังไฟฟ้าเสมือน

$$Q(i) = -|V(i)| * |V(i)| * (YS(i)) * \sin(\text{angle}(YS(i))) \quad (4.18)$$

โดยที่ i จะรวมเฉพาะบัสโหลด

$$Q(nl(NEL)) = -\sum |V(nl(NEL))| * |V(nr(NEL))| * ym(nl(NEL)) * \sin(\text{angle}(ym(nl(NEL))) - \delta(nr(NEL)) - \delta(nl(NEL))) \quad (4.19)$$

$$Q(nr(NEL)) = -\sum |V(nl(NEL))| * |V(nr(NEL))| * ym(nr(NEL)) * \sin(\text{angle}(ym(nr(NEL))) - \delta(nl(NEL)) - \delta(nr(NEL))) \quad (4.20)$$

หากกระแสที่ล้นจาก

$$ITIE(NEL(\text{คัทล่าย})) = (V(i(\text{โชนที่สูงกว่า})) - V(j(\text{โชนที่ต่ำกว่า}))) * ym(NEL(\text{คัทล่าย})) \quad (4.21)$$

$$Q(i(\text{คัทล่าย})) = \pm \sum \text{imag}(V(nl(\text{คัทล่าย})) * \text{conj}(ITIE(nl(NEL(\text{คัทล่าย})))) \quad (4.22)$$

$$Q(i(\text{คัทล่าย})) = \pm \sum \text{imag}(V(nr(\text{คัทล่าย})) * \text{conj}(ITIE(nr(NEL(\text{คัทล่าย})))) \quad (4.23)$$

กำหนดทิศทางกระแส ITIE อีกครั้งหนึ่งโดยเปลี่ยนทิศทางให้กระแสไหลเข้าสู่บัส โดย ถ้าระบบย่อยโชนที่สูงกว่า $Q(i(\text{คัทล่าย}))$ เป็นบวก ระบบย่อยโชนที่ต่ำกว่า $Q(i(\text{คัทล่าย}))$ เป็นลบ
หาผลรวม Q_{cal}

$$Q_{cal}(i) = Q(i) - Q(i(\text{คัทล่าย})) \quad (4.24)$$

ความแตกต่างของกำลังไฟฟ้าที่ไหลเข้าสู่บัสคือ

$$\Delta Q(i) = Q_{sh}(i) - Q_{cal}(i) \quad (4.25)$$

นำค่า B'' ที่ได้จากส่วนจินตภาพของแอดมิแดนซ์เมตริกซ์ y_m และ Y_S มาหา ΔV

$$\Delta |V| = -[B'']^{-1} \frac{\Delta Q_{(i)}}{|V_i|} \quad (4.26)$$

คำนวณกระแสที่ล้นจาก

$$ITIE(NEL(\text{คัทลสาย})) = (\Delta |V| (i(\text{โชนที่สูงกว่า})) - \Delta |V| (j(\text{โชนที่ต่ำกว่า}))) / Z_b B'' \quad (4.27)$$

$$IT(i) = \pm \sum ITIE(i(NEL(\text{คัทลสาย}))) \quad (4.28)$$

กำหนดทิศทางกระแส ITIE อีกครั้งหนึ่งโดยเปลี่ยนทิศทางให้กระแสไหลเข้าสู่บัส โดย ถ้าระบบย่อยโชนที่สูงกว่า IT เป็นบวก ระบบย่อยโชนที่ต่ำกว่า IT เป็นลบ
หาผลลัพธ์

$$\Delta |V| \text{ จริง} = -[B'']^{-1} * IT - \Delta |V| \quad (4.29)$$

ปรับปรุงแรงดัน

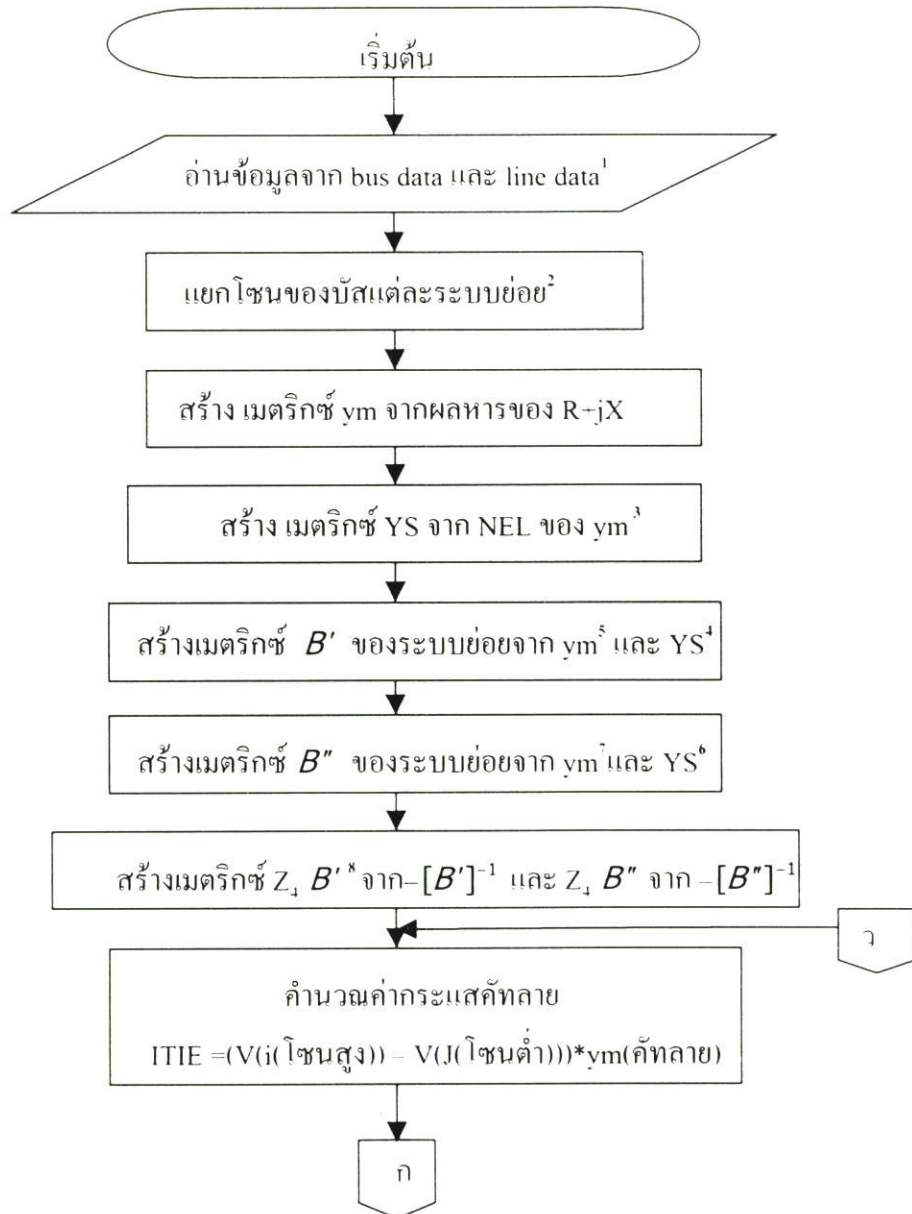
$$|V|_{new} = |V|_{old} + \Delta |V| \quad (4.30)$$

ดังนั้น จะได้ว่า

$$V = |V| * (\cos(\delta) - j * \sin(\delta)) \quad (4.31)$$

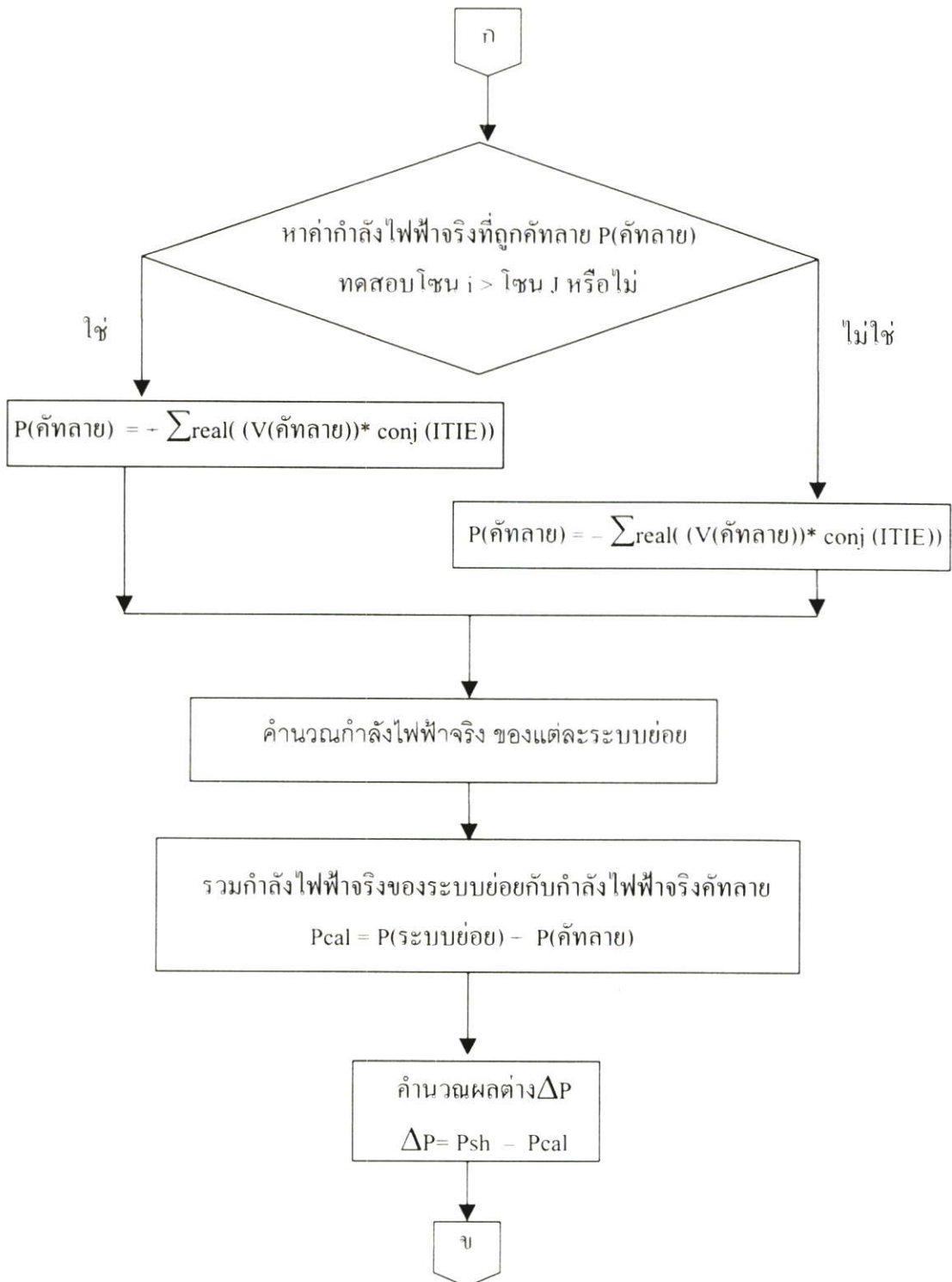
4.5 ขั้นตอนการทำงานของโปรแกรม

โปรแกรมการวิเคราะห์โพลาร์โพลาร์แบบแยกส่วนย่อยด้วยวิธีฟาสต์ดีคัปเปิล โดยใช้เทคนิคสเปซเมตริกซ์หรือเรียกย่อๆว่า SPF ได้เขียนขึ้นด้วย ภาษาเมทแลบ เวอร์ชัน 5.3 สำหรับการป้อนข้อมูลอัน ได้แก่ ข้อมูลบัส ข้อมูลสายส่งได้แสดงไว้แล้วในภาคผนวก ก. ในส่วนขั้นตอนการทำงานของโปรแกรมที่จะแสดงต่อไปนี้จะเขียนเป็นแผนผังโดยสรุปในส่วนที่ครอบคลุมในรายละเอียดที่สำคัญของโปรแกรม สำหรับรายละเอียดเพิ่มเติมของแผนผังจะได้แสดงในส่วนภาคผนวก ง.

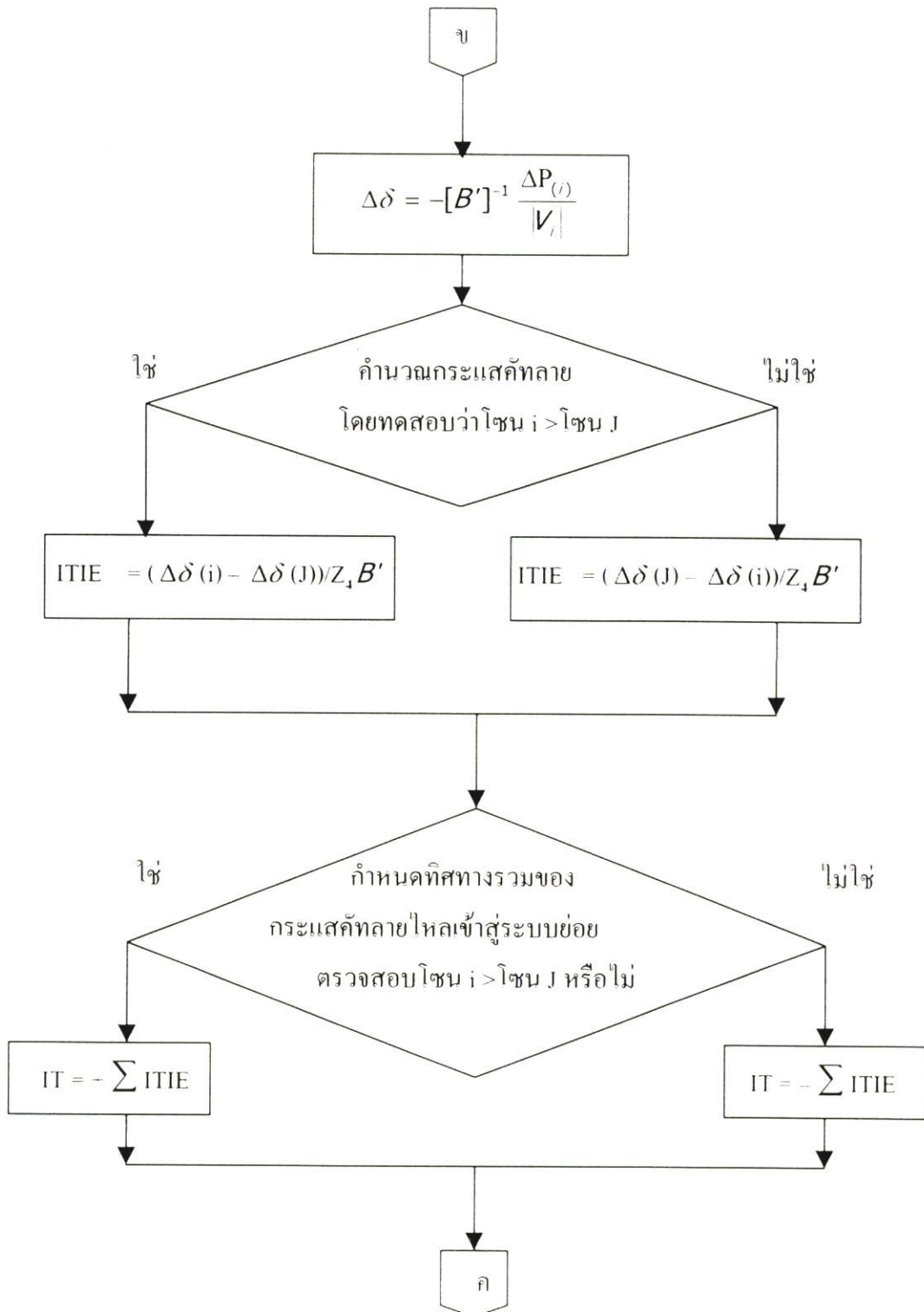


รูปที่ 4.6 แผนผังโปรแกรมการวิเคราะห์โหลดโพลว์ ด้วยวิธีฟาสต์ดีคัปเปิลโดยใช้เทคนิคสเปซเมตริกซ์ และการแยกส่วนย่อย

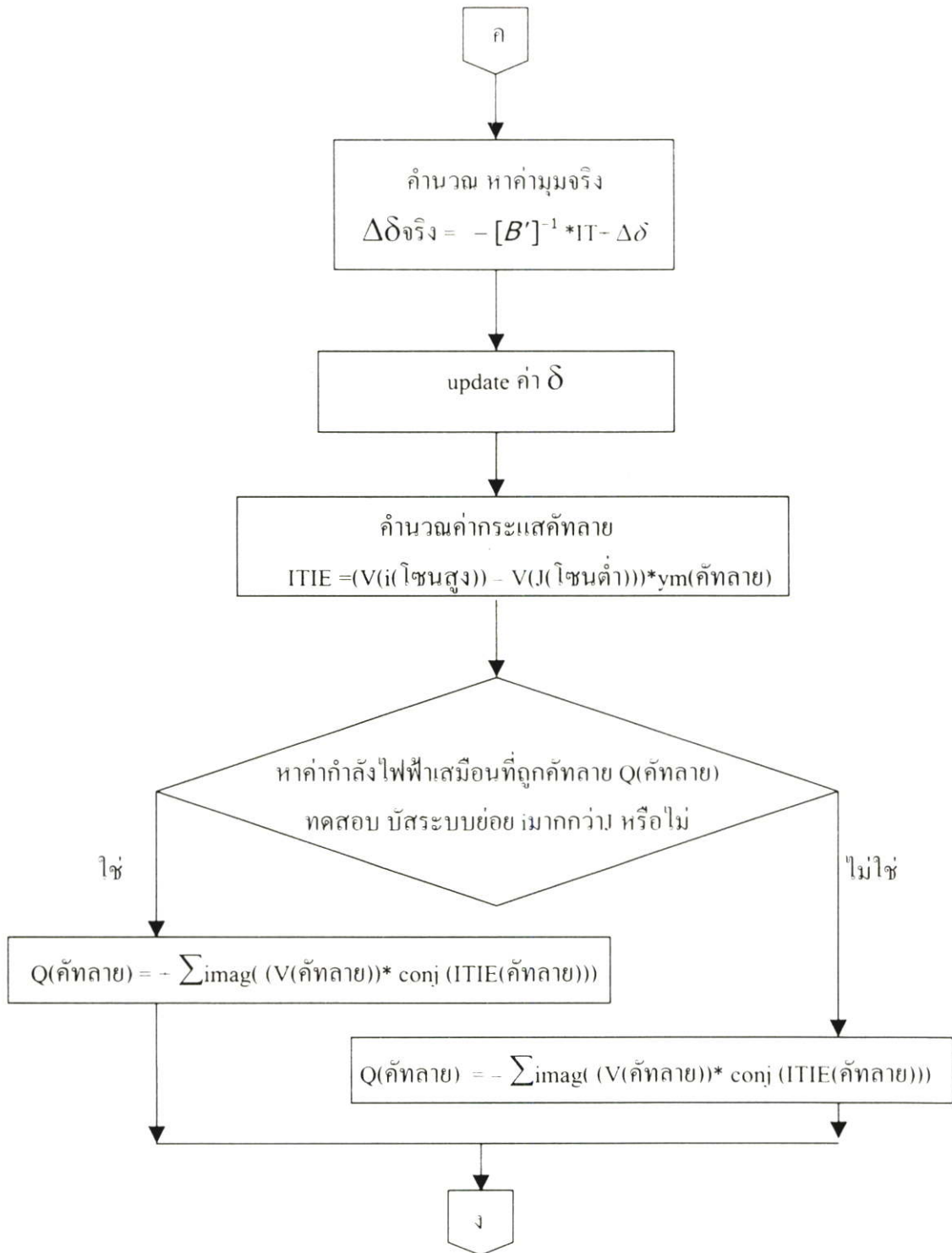
- ¹ตัวอย่าง ผ. 5.1 แสดงการเตรียมข้อมูล ลงใน busdata และ linedata หน้า 116
- ²รูปที่ ผ.5.5 แผนผังแสดงการจัดข้อมูลบัสให้อยู่ในระบบบัสย่อยเดียวกัน หน้า 120
- ³รูปที่ ผ.5.6 แผนผังแสดงการหา self admittance หน้า 122
- ⁴รูปที่ ผ.5.9 แผนผังแสดงการบันทึก self admittance ของแต่ละระบบย่อย ลงใน B' หน้า 127
- ⁵รูปที่ ผ.5.10 แผนผังแสดงการบันทึก mutual admittance ของแต่ละระบบย่อย ลงใน B' หน้า 129
- ⁶รูปที่ ผ.5.11 แผนผังแสดงการบันทึก self admittance ของแต่ละระบบย่อย ลงใน B'' หน้า 132
- ⁷รูปที่ ผ.5.12 แผนผังแสดงการบันทึก mutual admittance ของแต่ละระบบย่อย ลงใน B'' หน้า 134
- ⁸รูปที่ ผ.5.15 แผนผังแสดงการหา Z_1 จาก B' หน้า 141



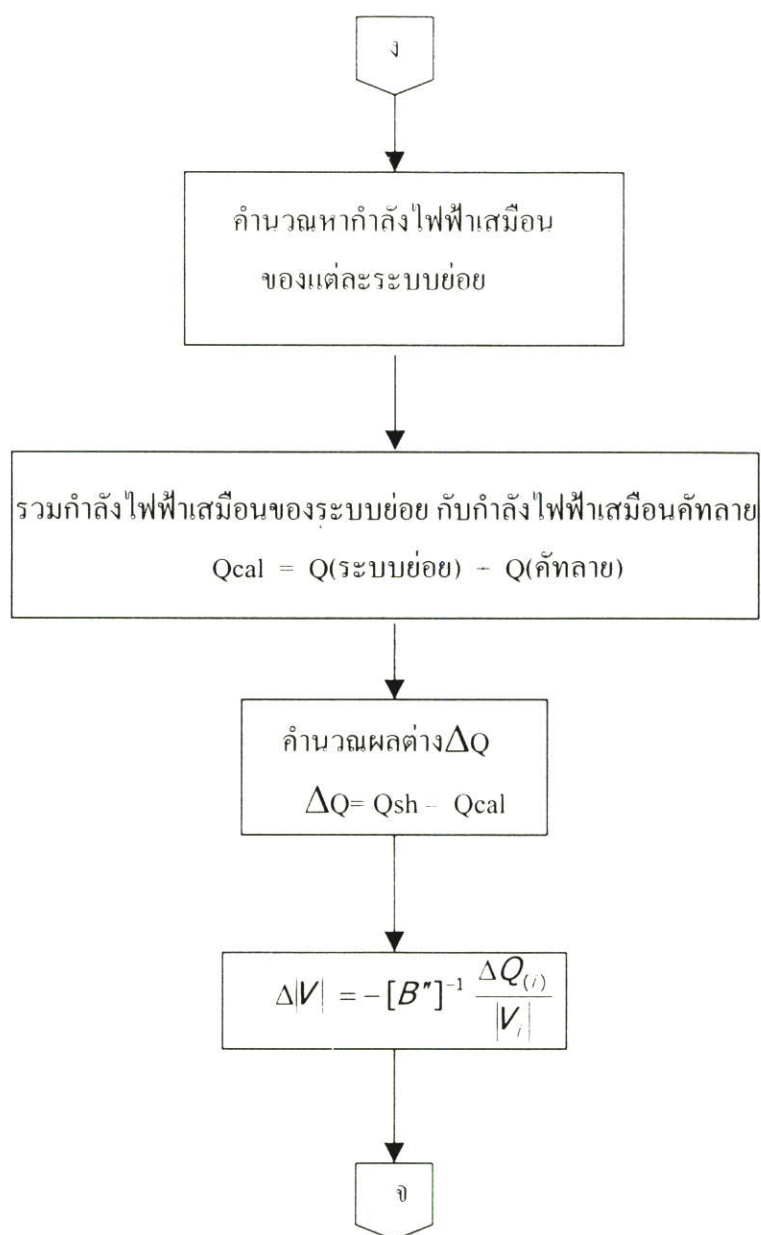
รูปที่4.6 (ต่อ)



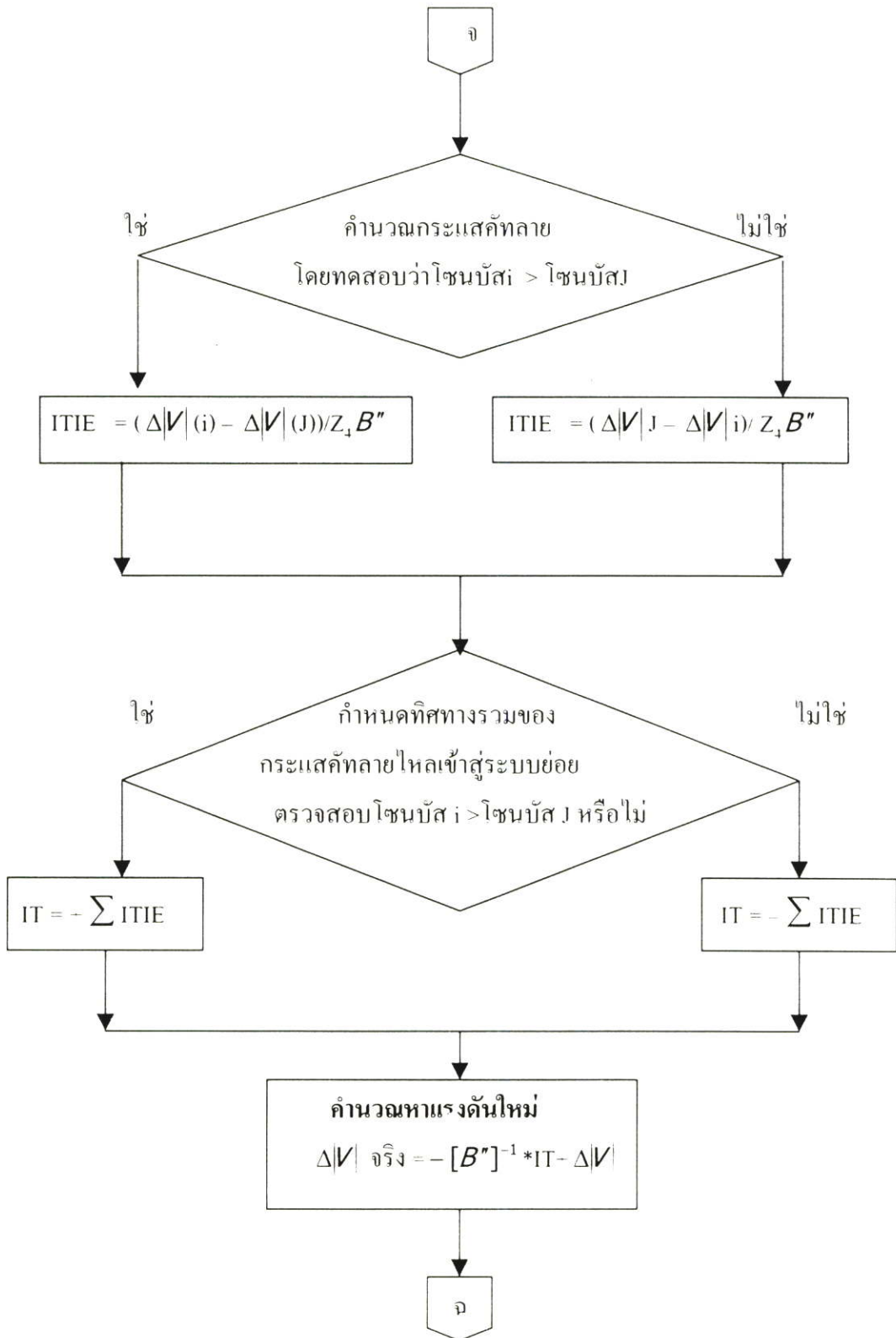
รูปที่ 4.6 (ต่อ)



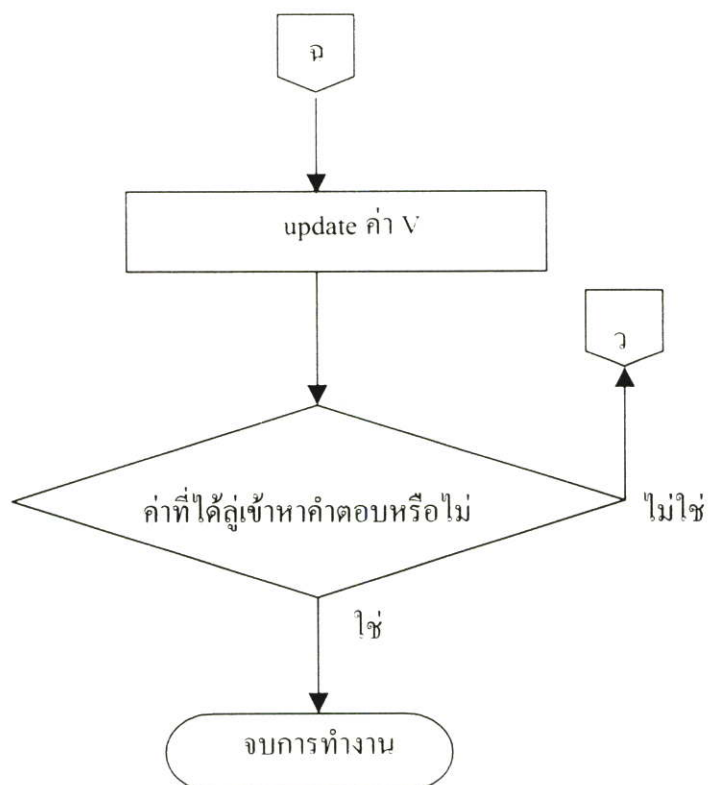
รูปที่ 4.6 (ต่อ)



รูปที่ 4.6 (ต่อ)



รูปที่ 4.6 (ต่อ)



รูปที่ 4.6 (ต่อ)

บทที่ 5

บันทึกและแสดงผลการวิเคราะห์ระบบไฟฟ้ากำลัง

5.1 บทนำ

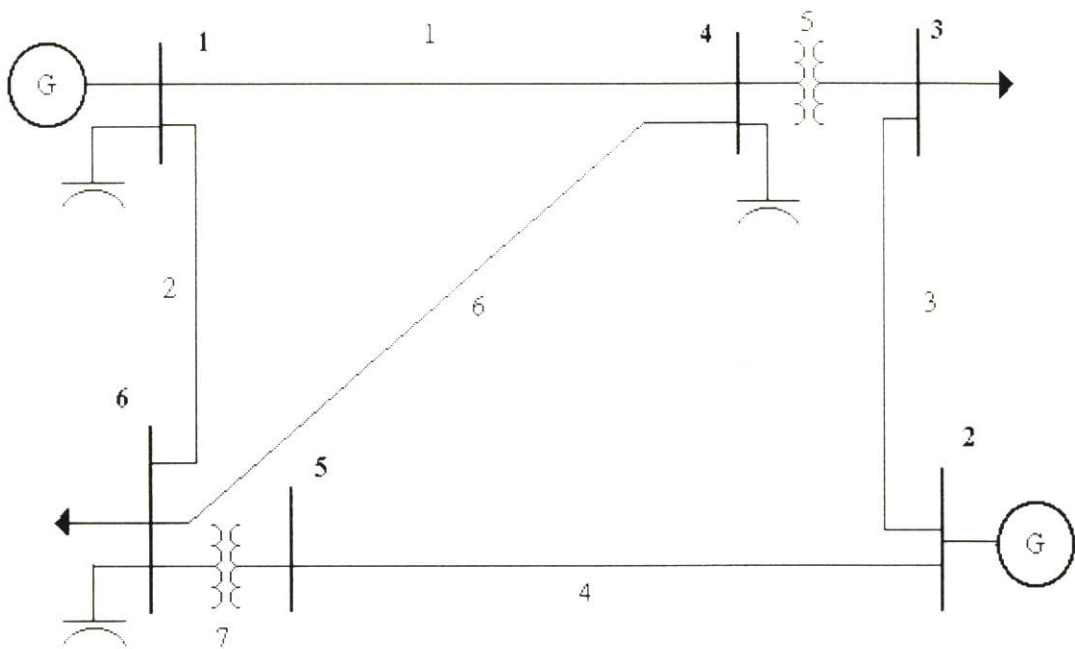
เนื้อหาในบทนี้จะแสดงผลการคำนวณโหลดโพล์ ของระบบไฟฟ้ากำลังทั้งระบบกับระบบไฟฟ้ากำลังที่แยกส่วนย่อย โดยเลือกระบบไฟฟ้ากำลัง ตามมาตรฐาน IEEE 6 บัส 14 บัส 30 บัส และ 57 บัส ได้เลือกนำโปรแกรมวิเคราะห์โพล์แบบนิวตัน رافสัน และฟาสต์ดีคัปเปิลของ Hadi Saadat [9] เป็นโปรแกรมเปรียบเทียบกับโปรแกรมวิเคราะห์โพล์แบบแยกส่วนย่อยด้วยวิธีฟาสต์ดีคัปเปิล โดยใช้เทคนิคสเปซเมตริกซ์ โดยในที่นี้จะใช้อักษรย่อ “SPF” แทนการที่จะกล่าวถึงโปรแกรมวิเคราะห์โพล์แบบแยกส่วนย่อยด้วยวิธีฟาสต์ดีคัปเปิล โดยใช้เทคนิคสเปซเมตริกซ์ ที่จะกล่าวถึงต่อไป ในการทดสอบแบ่งเป็น 3 ส่วนหลักๆ ได้แก่

- การทดสอบความถูกต้องของโปรแกรม โดยเทียบกับการวิเคราะห์โพล์ของระบบไฟฟ้ากำลังของระบบที่ไม่ได้แยกส่วน กับระบบที่แยกส่วน ในการทดสอบได้เลือกนำโปรแกรมนิวตัน رافสันเป็นโปรแกรมเปรียบเทียบ
- การทดสอบประสิทธิภาพของ SPF ในการทดสอบนี้จะเปรียบเทียบ เวลาจำนวนรอบ และจำนวนหน่วยความจำทั้งหมดที่ใช้ โดยเลือกโปรแกรม นิวตัน رافสัน, ฟาสต์ดีคัปเปิล เป็นโปรแกรมเปรียบเทียบ
- ทดสอบการคำนวณโหลดโพล์ด้วยระบบไฟฟ้ากำลังขนาดใหญ่ IEEE 57 บัส

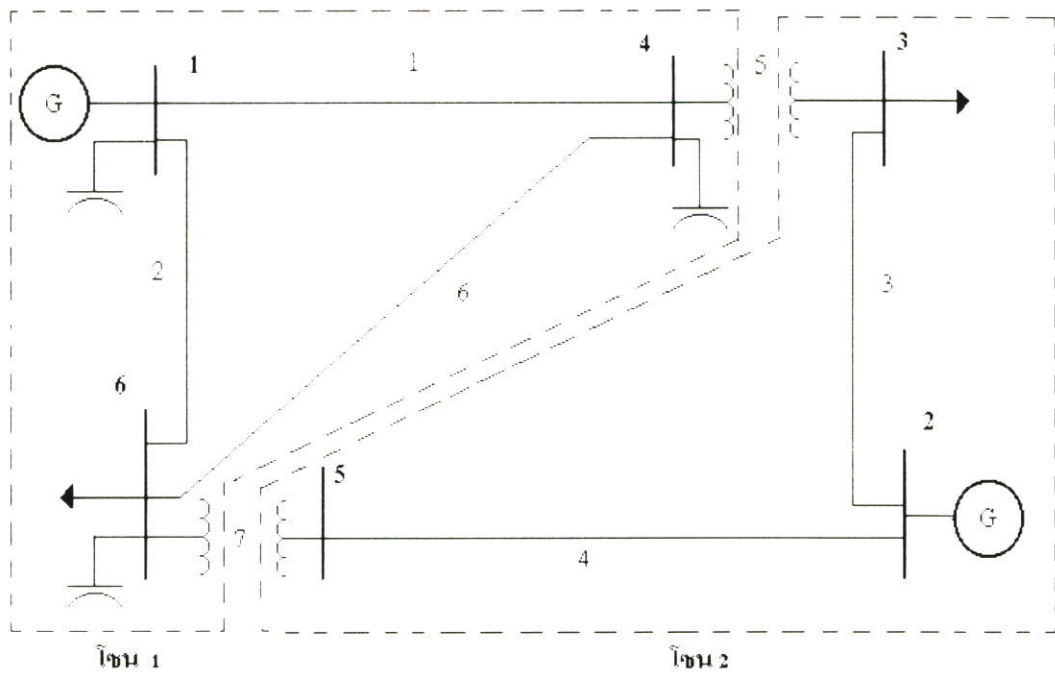
5.2 การทดสอบความถูกต้องของโปรแกรมวิเคราะห์ระบบไฟฟ้ากำลัง

ในการทดสอบความถูกต้อง ของการวิเคราะห์โพล์ ได้เลือกนำ ระบบไฟฟ้ากำลัง IEEE 6 บัส 14 บัส และ 30 บัส เป็นตัวอ้างอิง และเลือกโปรแกรมวิเคราะห์โพล์นิวตัน رافสัน เป็นโปรแกรมเปรียบเทียบ และได้เปรียบเทียบหน่วยความจำของการจัดเก็บแอดมิแดนซ์เมตริกซ์ของระบบที่ไม่ได้แยกส่วน เทียบกับโปรแกรมที่ทดสอบ

5.2.1 ระบบไฟฟ้ากำลัง IEEE 6 บัส



รูปที่ 5.1 ระบบไฟฟ้ากำลัง IEEE 6 บัส [2]

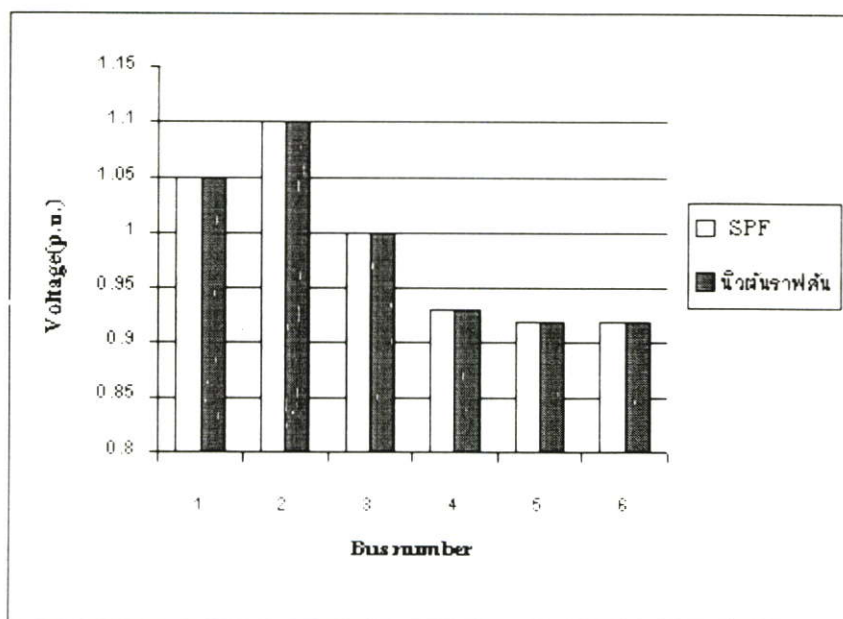


รูปที่ 5.2 การแยกส่วนย่อยของระบบไฟฟ้ากำลัง IEEE 6 บัส

ตารางที่ 5.1 แสดงค่าผิดพลาดของแรงดัน ที่ได้จาก SPF เทียบกับแรงดันที่ได้จากนิวตัน ราฟสัน ของระบบไฟฟ้ากำลัง IEEE 6 บัส

แรงดัน			
บัส	SPF	นิวตัน ราฟสัน	ค่าผิดพลาด
1	1.050	1.050	0
2	1.100	1.100	0
3	1.001	1.001	0
4	0.930	0.930	0
5	0.919	0.919	0
6	0.919	0.919	0

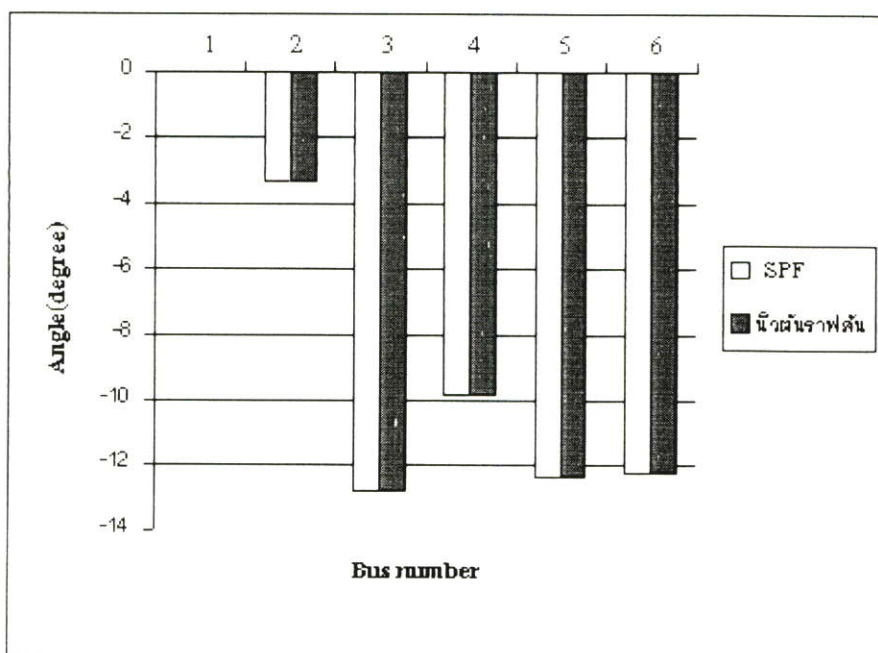
จากตาราง 5.1 เป็นผลที่ได้จากการคำนวณโหนดโพล์ ด้วยวิธี SPF เปรียบเทียบกับ ความถูกต้องของแรงดัน กับวิธี นิวตันราฟสัน สามารถเขียนสรุปเป็นแผนภูมิดังแสดงในรูปที่ 5.4 จะเห็นได้ว่า มีค่าผิดพลาดของแรงดัน น้อยมาก หรือแทบจะไม่เห็นผลต่างของวิธีทั้งสอง



รูปที่ 5.4 เปรียบเทียบแรงดัน ที่ได้จากนิวตัน ราฟสัน และ SPF ของระบบไฟฟ้ากำลัง IEEE 6 บัส

ตารางที่ 5.2 แสดงค่าผิดพลาดของมุม ที่ได้ SPF เทียบกับ มุมที่ได้จากนิวตัน ราฟสันของระบบไฟฟ้ากำลัง IEEE 6 บัส

มุม			
บัส	SPF	นิวตัน ราฟสัน	ค่าผิดพลาด
1	0	0	0
2	-3.364	-3.361	0.003
3	-12.788	-12.787	0.001
4	-9.838	-9.837	0.001
5	-12.339	-12.338	0.001
6	-12.242	-12.241	0.001



รูปที่ 5.5 เปรียบเทียบมุม ที่ได้จากนิวตัน ราฟสัน และ SPF ของระบบไฟฟ้ากำลัง IEEE 6 บัส

จากตาราง 5.2 เป็นผลที่ได้จากการคำนวณ โหลดโพลว์ ด้วยวิธี SPF เปรียบเทียบกับความถูกต้องของมุมเฟส กับวิธี นิวตันราฟสัน สามารถเขียนสรุปเป็นแผนภูมิดังแสดงในรูปที่ 5.5 เมื่อดูจากผลค่าผิดพลาดแล้ว คลาดเคลื่อนน้อยมาก

ตารางที่ 5.3 แสดงการใช้หน่วยความจำในการจัดเก็บแอดมิเต้นท์ SPF ของระบบไฟฟ้ากำลัง IEEE 6 บัส

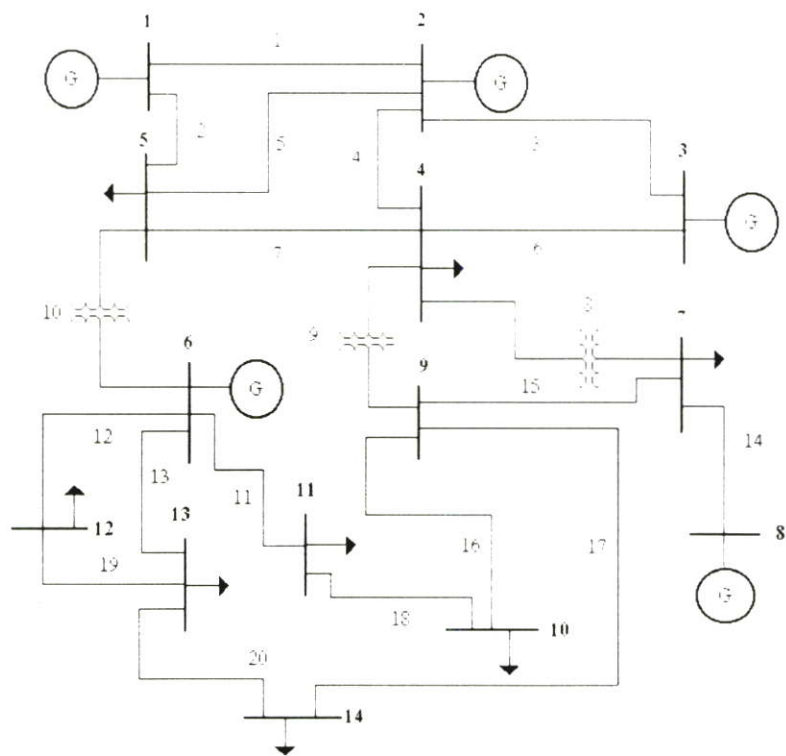
SPF	
แอดมิเต้นท์	พื้นที่ที่เก็บค่าแอดมิเต้นท์
ym	7x1
YS	1X6
รวม	13

ตารางที่ 5.4 แสดงการใช้หน่วยความจำในการจัดเก็บแอดมิเต้นท์ ที่ได้จากวิธีนิวตัน ราวฟสันของระบบไฟฟ้ากำลัง IEEE 6 บัส

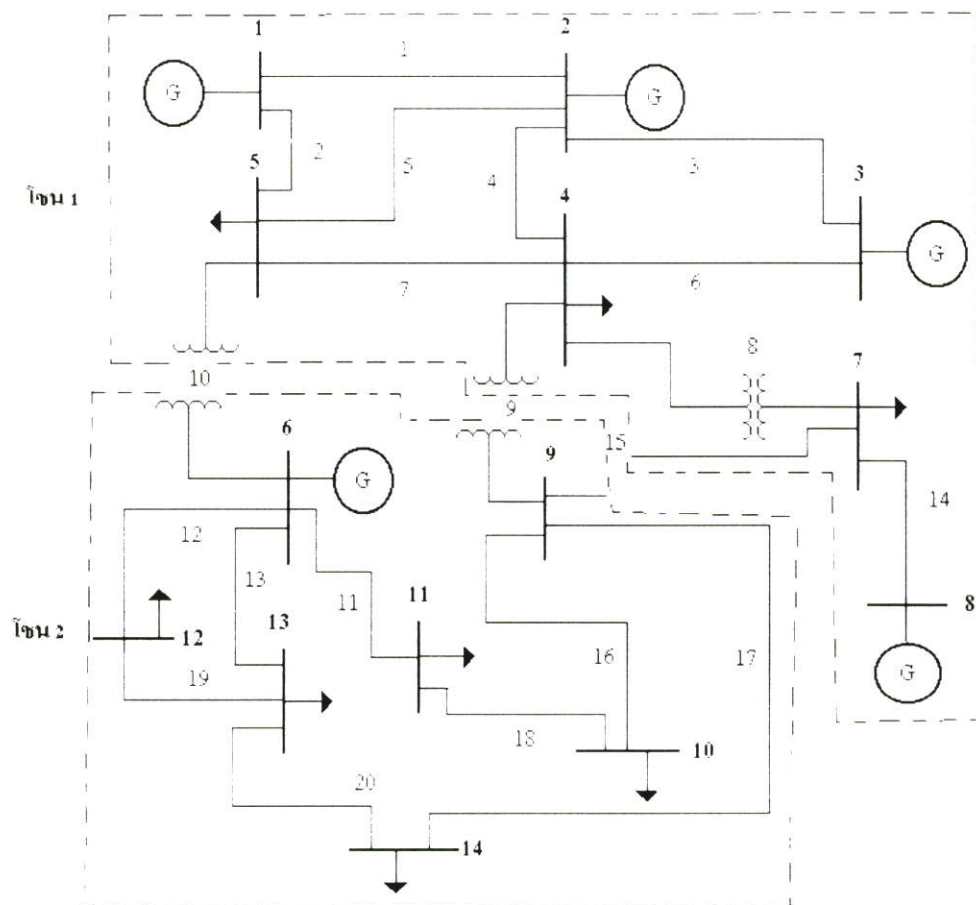
นิวตัน ราวฟสัน	
แอดมิเต้นท์	พื้นที่ที่เก็บค่าแอดมิเต้นท์
Ybus	6x6
รวม	36

เมื่อเปรียบเทียบการบันทึกหน่วยความจำในการจัดเก็บค่าแอดมิเต้นท์การจัดเก็บแบบ SPF ดังแสดงในตารางที่ 5.3 ใช้พื้นที่การจัดน้อยกว่า การจัดเก็บแบบนิวตัน ราวฟสันดังแสดงในตารางที่ 5.4 มาก

5.2.2 ระบบไฟฟ้ากำลัง IEEE 14 บัส



รูปที่ 5.6 ระบบไฟฟ้ากำลัง IEEE 14 บัส[10]



รูปที่ 5.7 การแยกส่วนย่อยของระบบไฟฟ้ากำลัง IEEE 14 บัส

วิธีการคัดเลือกสาย ของระบบ IEEE14 บัส นั้นพิจารณาสายส่ง อาศัยหลักเกณฑ์ที่ควรระวังในการคัดเลือกดังแสดงในภาคผนวกข. และจะเลือกสายคัดเลือกจำนวนน้อยที่สุดที่สามารถแบ่งระบบเป็นสองระบบย่อยเป็นหลัก ดังนั้นเมื่อพิจารณาจากรูปแล้วจึงเลือกคัดเลือกที่สายส่งตรงตำแหน่งบัส 5-6, 4-9 และ 7-9

จากรูปที่ 5.8 และ 5.9 แสดงผลการคำนวณ mutual admittance และ self admittance ของระบบไฟฟ้ากำลัง IEEE 14 บัส จากรูปที่ 7.8 จะพบว่า mutual admittance มีเมตริกซ์อะเรย์เป็น 20×1 และ self admittance จากรูปที่ 7.9 มีเมตริกซ์อะเรย์เป็น 1×14

```

MATLAB Command Window
File Edit View Window Help
Yn
Yn =
-4.9991 + 15.2631i
-1.8259 + 4.2350i
-1.1350 + 4.7819i
-1.6860 + 5.1158i
-1.7811 + 5.1939i
-1.9860 + 5.0688i
-6.8410 + 21.5786i
0 + 4.8895i
0 + 1.8555i
0 + 4.2574i
-1.9550 + 4.0941i
-1.5260 + 3.1760i
-3.0989 + 6.1828i
0 + 5.6770i
0 + 9.0981i
-3.9820 + 10.3654i
-1.4240 + 3.8291i
-1.8809 + 4.4829i
-2.4890 + 2.2520i
-1.1370 + 2.3150i
Y
Ready
MATLAB Command W... Microsoft Word - 14bus1
12:00

```

รูปที่ 5.8 บันทึกผลการคำนวณ mutual admittance ของระบบไฟฟ้ากำลัง IEEE 14 บัส

```

MATLAB Command Window
File Edit View Window Help
Ys
Ys =
Columns 1 through 4
6.8250 - 19.3961i 9.5213 - 38.1867i 3.1210 - 9.7723i 10.5130 - 36.7373i
Columns 5 through 8
9.5680 - 31.2221i 6.5799 - 13.0833i 0 - 10.4589i 0 - 5.6770i
Columns 9 through 12
5.3261 - 13.3369i 5.7829 - 14.7683i 3.8359 - 8.4970i 4.8150 - 5.4279i
Columns 13 through 14
6.7249 - 10.6697i 2.5610 - 5.3440i
Y
Ready
MATLAB Command W...
10:36

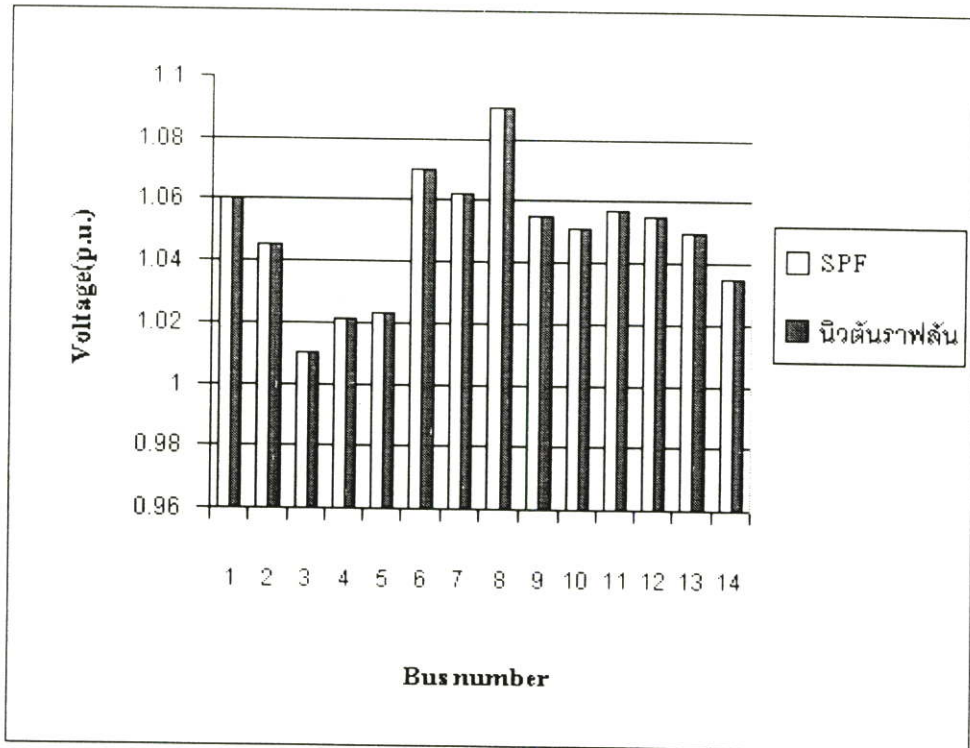
```

รูปที่ 5.9 บันทึกผลการคำนวณ self admittance ของระบบไฟฟ้ากำลัง IEEE 14 บัส

ตารางที่ 5.5 แสดงค่าผิดพลาดของแรงดันที่ได้จาก SPF เทียบกับแรงดันที่ได้จากนิวตัน رافสัน ของระบบไฟฟ้ากำลังIEEE 14 บัส

แรงดัน			
บัส	SPF	นิวตัน رافสัน	ค่าผิดพลาด
1	1.06	1.06	0
2	1.045	1.045	0
3	1.01	1.01	0
4	1.021	1.021	0
5	1.023	1.023	0
6	1.07	1.07	0
7	1.062	1.062	0
8	1.09	1.09	0
9	1.055	1.055	0
10	1.051	1.051	0
11	1.057	1.057	0
12	1.055	1.055	0
13	1.05	1.05	0
14	1.035	1.035	0

ผลจากตารางที่ 5.5 เป็นผลจากการคำนวณแรงดันด้วยวิธี SPF เปรียบเทียบกับวิธีนิวตันราฟสัน จะเห็นว่า ค่าผิดพลาดน้อยมาก แทบจะไม่มี ซึ่งได้ถ้าดูผลจากการสร้างแผนภูมิแท่งดังในรูปที่ 5.10 จะเห็นว่าไม่พบค่าผิดพลาดเลย



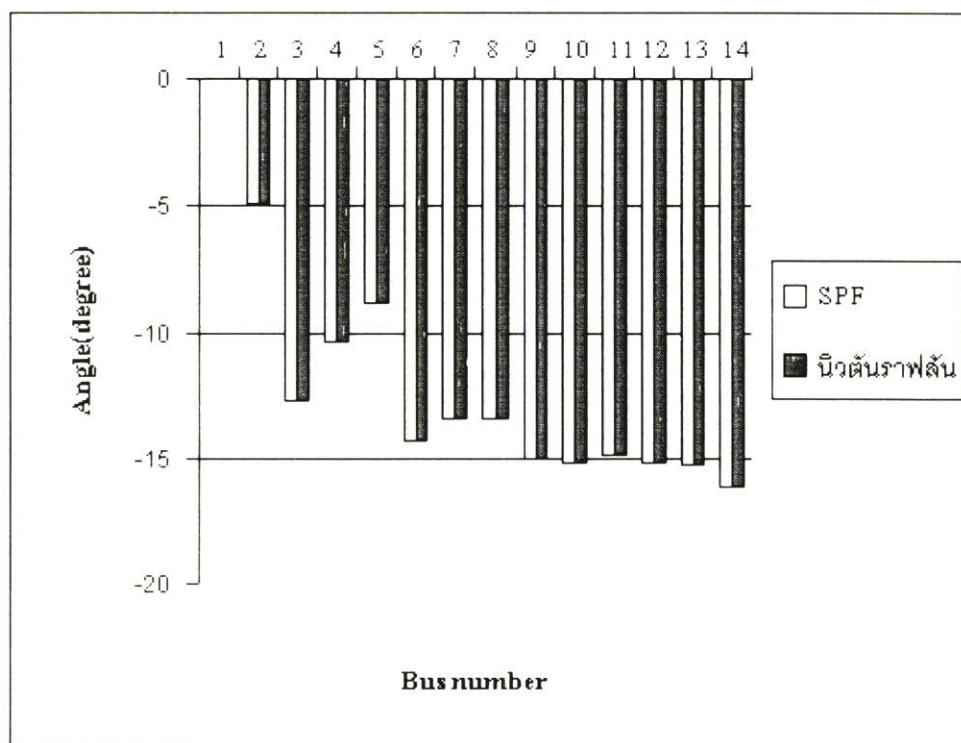
รูปที่ 5.10 เปรียบเทียบแรงดัน ที่ได้จากนิวตัน ราฟสัน และ SPF ของระบบไฟฟ้ากำลัง IEEE 14 บัส

ตารางที่ 5.6 แสดงค่าผิดพลาดของมุม ที่ได้จาก SPF เทียบกับมุม ที่ได้จากนิวตัน ราฟสันของระบบไฟฟ้ากำลัง IEEE 14 บัส

มุม			
บัส	SPF	นิวตัน ราฟสัน	ค่าผิดพลาด
1	0	0	0
2	-4.974	-4.974	0
3	-12.694	-12.694	0
4	-10.35	-10.35	0
5	-8.818	-8.818	0
6	-14.25	-14.25	0

ตารางที่ 5.6 แสดงค่าผิดพลาดของมุมที่ได้จาก SPF เทียบกับ มุม ที่ได้จากนิวตัน ราฟสันของระบบไฟฟ้ากำลัง IEEE 14 บัส (ต่อ)

มุม			
บัส	SPF	นิวตัน ราฟสัน	ค่าผิดพลาด
7	-13.381	-13.381	0
8	-13.381	-13.381	0
9	-14.958	-14.958	0
10	-15.119	-15.119	0
11	-14.815	-14.815	0
12	-15.107	-15.104	0.003
13	-15.182	-15.184	-0.002
14	-16.057	-16.057	0



รูปที่ 5.11 เปรียบเทียบมุม ที่ได้จากนิวตัน ราฟสัน และ SPF ของระบบไฟฟ้ากำลัง IEEE 14 บัส

จากตารางที่ 5.6 และ รูปที่ 5.11 จะเห็นได้ว่า มีค่าผิดพลาดน้อยมาก จากนั้นได้แสดงผลของหน่วยความจำที่ใช้ไปในการจัดเก็บแอดมิแดนซ์เมตริกซ์ ดังตารางที่ 5.7 และตารางที่ 5.8

ตารางที่ 5.7 แสดงการใช้หน่วยความจำในการจัดเก็บแอดมิเต้นท์ SPF ของระบบไฟฟ้ากำลัง IEEE 14 บัส

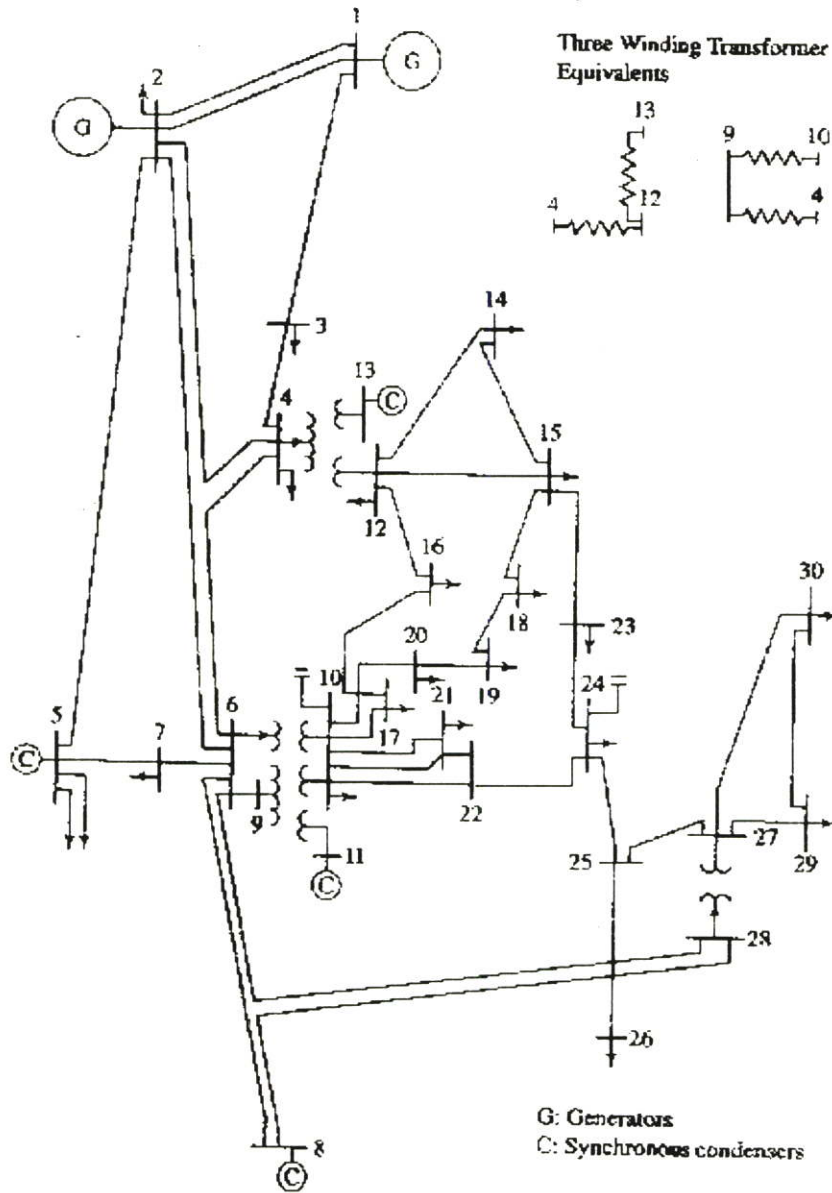
SPF	
แอดมิเต้นท์	พื้นที่ที่เก็บค่าแอดมิเต้นท์
ym	20x1
YS	1X14
รวม	34

ตารางที่ 5.8 แสดงการใช้หน่วยความจำในการจัดเก็บแอดมิเต้นท์ ที่ได้จากวิธีนิวตัน ราฟสัน ของระบบไฟฟ้ากำลัง IEEE 14 บัส

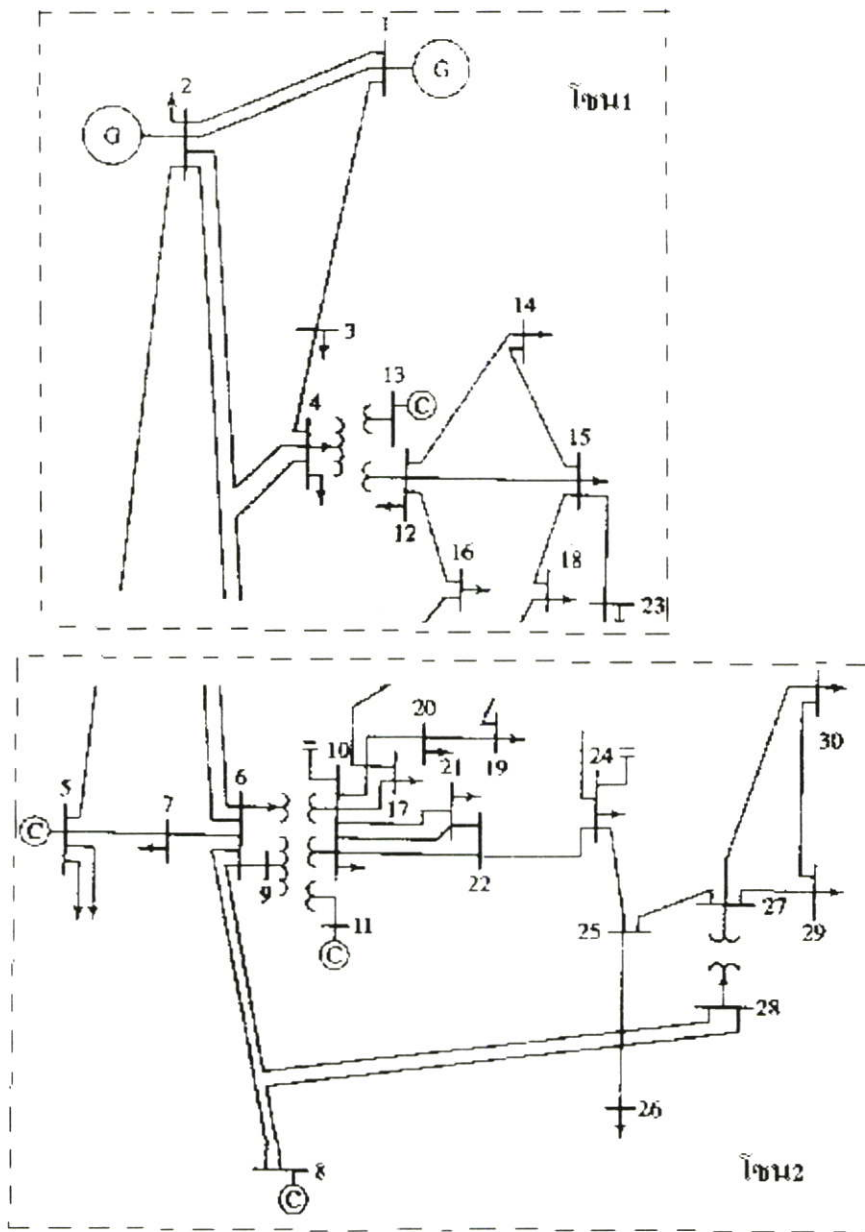
นิวตัน ราฟสัน	
แอดมิเต้นท์	พื้นที่ที่เก็บค่าแอดมิเต้นท์
Ybus	14x14
รวม	196

จากตารางที่ 5.7 และตารางที่ 5.8 เป็นผลของการจัดเก็บแอดมิเต้นท์เมตริกซ์ โดยคิดเป็นตารางหน่วย จะเห็นว่าวิธี SPF ใช้พื้นที่น้อยกว่าวิธี นิวตัน ราฟสัน

5.2.3 ระบบไฟฟ้ากำลัง IEEE 30 บัส



รูปที่ 5.12 ระบบไฟฟ้ากำลัง IEEE 30 บัส[9]



รูปที่ 5.13 การแยกส่วนย่อยของระบบไฟฟ้ากำลัง IEEE 30 บัส แบบที่ 1

สำหรับวิธีในการคัดลาย ของระบบ IEEE 30 บัส นั้นพิจารณา branch สายส่ง อาศัยหลักเกณฑ์ที่ควรระวังในการคัดลายดังแสดงในภาคผนวก ข.เป็นสำคัญ เช่นการคัดลาย IEEE 30 บัส แบบที่ 1 ที่คัดลายแบบสุ่มบัสที่ใกล้ๆกันออกเป็นสองกลุ่มย่อยๆ โดยจะพบว่าไม่มีบัสใดบัสหนึ่งหลุดออกนอกโซนทั้งสอง

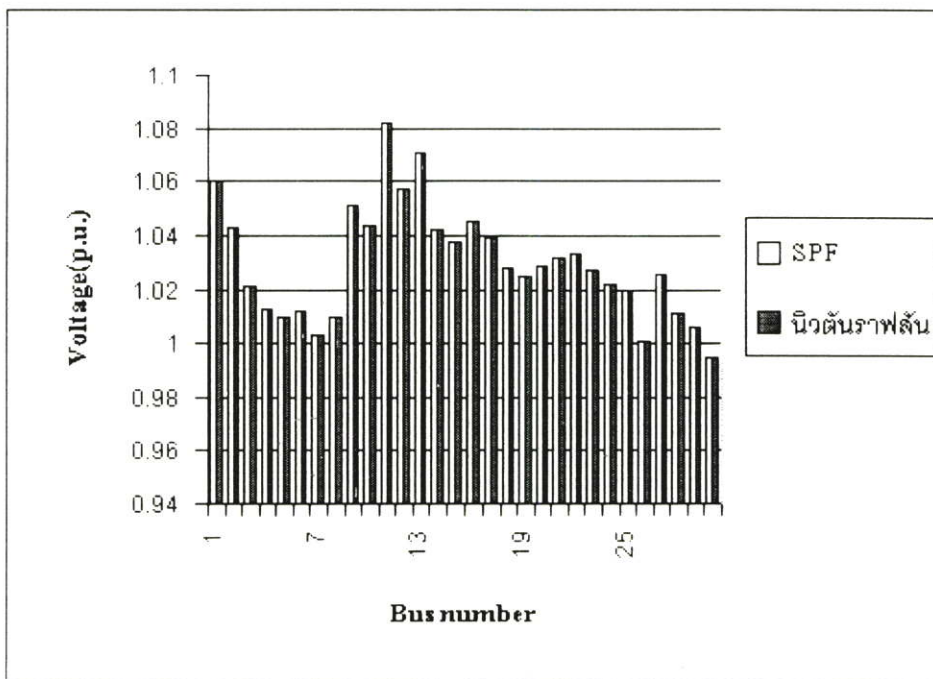
ตารางที่ 5.9 แสดงค่าผิดพลาดของแรงดันที่ได้จาก SPF เทียบกับแรงดันที่ได้จากนิวตัน ราฟสัน
ของระบบไฟฟ้ากำลัง IEEE 30 บัสแบบที่ 1

แรงดัน			
บัส	SPF	นิวตัน ราฟสัน	ค่าผิดพลาด
1	1.06	1.06	0
2	1.043	1.043	0
3	1.022	1.022	0
4	1.013	1.013	0
5	1.01	1.01	0
6	1.012	1.012	0
7	1.003	1.003	0
8	1.01	1.01	0
9	1.051	1.051	0
10	1.044	1.044	0
11	1.082	1.082	0
12	1.057	1.057	0
13	1.071	1.071	0
14	1.043	1.042	-0.001
15	1.038	1.038	0
16	1.045	1.045	0
17	1.039	1.039	0
18	1.028	1.028	0
19	1.025	1.025	0
20	1.029	1.029	0
21	1.031	1.032	0.001
22	1.034	1.033	-0.001
23	1.028	1.027	-0.001
24	1.022	1.022	0
25	1.019	1.019	0

ตารางที่ 5.9 แสดงค่าผิดพลาดของแรงดันที่ได้จาก SPF เทียบกับ แรงดันที่ได้จากนิวตัน ราฟสันของระบบไฟฟ้ากำลัง IEEE 30 บัสแบบที่ 1(ต่อ)

แรงดัน			
บัส	SPF	นิวตัน ราฟสัน	ค่าผิดพลาด
26	1.002	1.001	-0.001
27	1.026	1.026	0
28	1.011	1.011	0
29	1.006	1.006	0
30	0.995	0.995	0

จากตารางที่ 5.9สามารถเขียน แผนภูมิแท่ง เปรียบเทียบแรงดันทั้งสองวิธีได้ ดังรูปที่ 5.9



รูปที่ 5.14 เปรียบเทียบแรงดัน ที่ได้จากนิวตัน ราฟสัน และ SPF ของระบบไฟฟ้ากำลัง IEEE 30 บัส แบบที่ 1

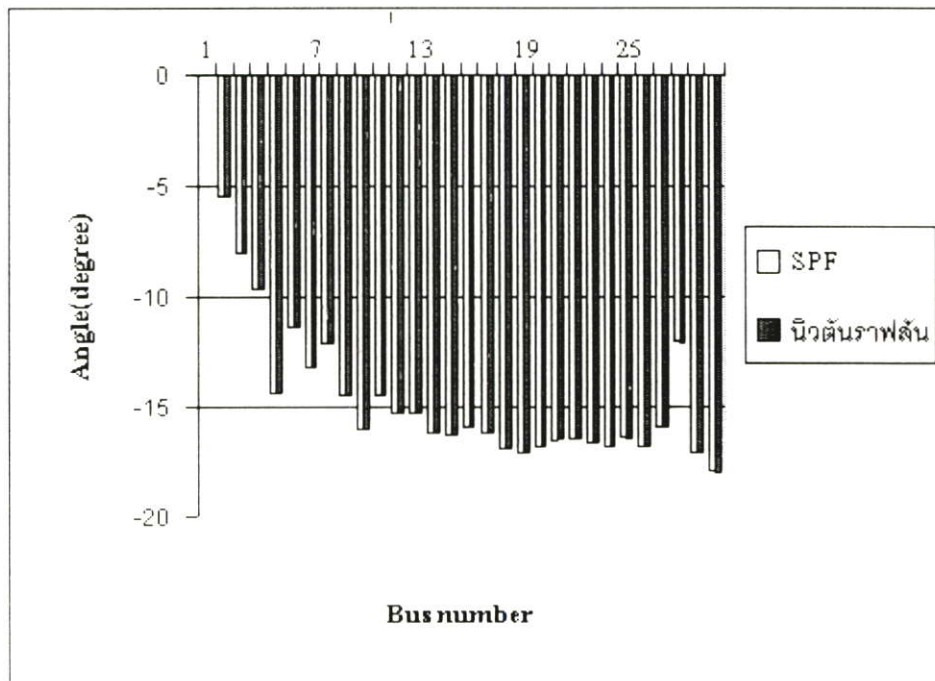
จากตารางที่ 5.9 ได้แสดงเป็นกราฟแผนภูมิแท่งแสดงผลของการเปรียบเทียบผลลัพธ์ของแรงดันดังรูปที่ 5.14 จะเห็นว่ามีความผิดพลาดน้อยมาก

ตารางที่ 5.10 แสดงค่าผิดพลาดของมุม ที่ได้จาก SPFเทียบกับ มุมที่ได้จากนิวตัน رافสันของระบบไฟฟ้ากำลังIEEE 30 บัสแบบที่ 1

มุม			
บัส	SPF	นิวตัน رافสัน	ค่าผิดพลาด
1	0	0	0
2	-5.497	-5.496	0.001
3	-8.003	-8.002	0.001
4	-9.66	-9.659	0.001
5	-14.389	-14.38	0.009
6	-11.396	-11.396	0
7	-13.161	-13.149	0.012
8	-12.113	-12.114	-0.001
9	-14.438	-14.432	0.006
10	-16.032	-16.024	0.008
11	-14.438	-14.432	0.006
12	-15.298	-15.301	-0.003
13	-15.298	-15.3	-0.002
14	-16.183	-16.19	-0.007
15	-16.272	-16.276	-0.004
16	-15.881	-15.879	0.002
17	-16.194	-16.187	0.007
18	-16.882	-16.881	0.001
19	-17.054	-17.049	0.005
20	-16.856	-16.851	0.005
21	-16.509	-16.468	0.041
22	-16.411	-16.455	-0.044
23	-16.645	-16.66	-0.015
24	-16.798	-16.829	-0.031

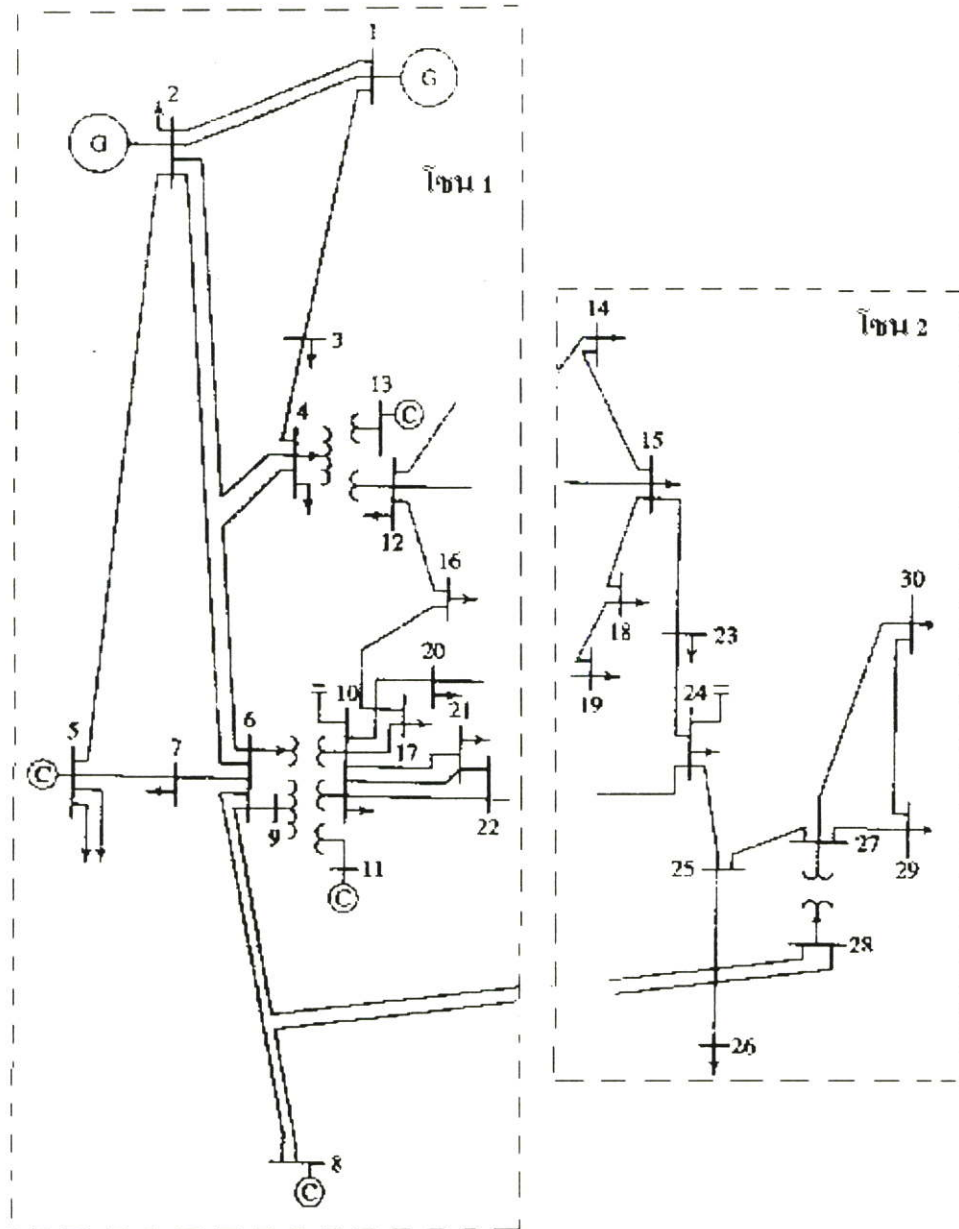
ตารางที่ 5.10 แสดงค่าผิดพลาดของมุม ที่ได้จาก SPF เทียบกับมุม ที่ได้จากนิวตัน ราฟสันของระบบไฟฟ้ากำลังIEEE 30 บัสแบบที่ 1(ต่อ)

มุม			
บัส	SPF	นิวตัน ราฟสัน	ค่าผิดพลาด
25	-16.4	-16.423	-0.023
26	-16.818	-16.835	-0.017
27	-15.893	-15.913	-0.02
28	-12.054	-12.056	-0.002
29	-17.117	-17.133	-0.016
30	-17.995	-18.016	-0.021



รูปที่ 5.15 เปรียบเทียบมุม ที่ได้จากนิวตัน ราฟสัน และ SPF ของระบบไฟฟ้ากำลังIEEE30 บัสแบบที่ 1

จากตารางที่ 5.10 ได้แสดงเป็นกราฟแผนภูมิแท่งแสดงผลของการเปรียบเทียบผลลัพธ์ของมุมเฟสดังรูปที่ 5.15 จะเห็นว่ามีค่าผิดพลาดน้อยมากเช่นกัน



รูปที่ 5.16 การแยกส่วนย่อยของระบบไฟฟ้ากำลัง IEEE 30 บัส แบบที่ 2

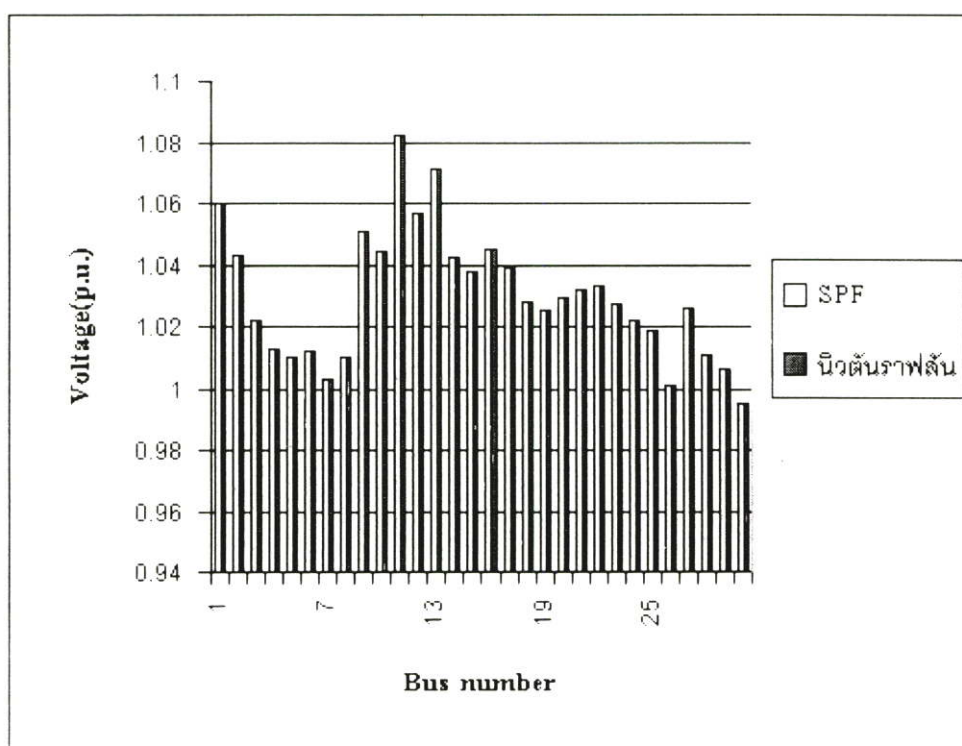
สำหรับวิธีในการคัดหลายของระบบ IEEE 30 บัสแบบที่ 2 นั้นพิจารณา branch สายส่ง อาศัยหลักเกณฑ์ที่ควรระวังในการคัดหลายดังแสดงในภาคผนวกข. เช่นเดียวกับการคัดหลายแบบที่ 1 แต่จะเพิ่มการพิจารณาในการแบ่งโซนให้หมายเลขบัสอยู่ในกลุ่มเดียวกันแบบเรียงลำดับหมายเลขบัสแบบอนุกรมให้มากที่สุด

ตารางที่ 5.11 แสดงค่าผิดพลาดของแรงดันที่ได้จาก SPF เทียบกับแรงดันที่ได้จากนิวตัน ราฟสัน
ของระบบไฟฟ้ากำลัง IEEE 30 บัสแบบที่ 2

แรงดัน			
บัส	SPF	นิวตัน ราฟสัน	ค่าผิดพลาด
1	1.06	1.06	0
2	1.043	1.043	0
3	1.022	1.022	0
4	1.013	1.013	0
5	1.01	1.01	0
6	1.012	1.012	0
7	1.003	1.003	0
8	1.01	1.01	0
9	1.051	1.051	0
10	1.044	1.044	0
11	1.082	1.082	0
12	1.057	1.057	0
13	1.071	1.071	0
14	1.043	1.042	-0.001
15	1.038	1.038	0
16	1.045	1.045	0
17	1.039	1.039	0
18	1.028	1.028	0
19	1.025	1.025	0
20	1.029	1.029	0
21	1.031	1.032	0.001
22	1.034	1.033	-0.001
23	1.028	1.027	-0.001
24	1.022	1.022	0
25	1.019	1.019	0

ตารางที่ 5.11 แสดงค่าผิดพลาดของแรงดันที่ได้จาก SPF เทียบกับแรงดันที่ได้จากนิวตัน ราฟสัน ของระบบไฟฟ้ากำลัง IEEE 30 บัสแบบที่ 2 (ต่อ)

แรงดัน			
บัส	SPF	นิวตัน ราฟสัน	ค่าผิดพลาด
26	1.002	1.001	-0.001
27	1.026	1.026	0
28	1.011	1.011	0
29	1.006	1.006	0
30	0.995	0.995	0



รูปที่ 5.17 เปรียบเทียบแรงดัน ที่ได้จากนิวตัน ราฟสัน และ SPF ของระบบไฟฟ้ากำลัง IEEE 30 บัสแบบที่ 2

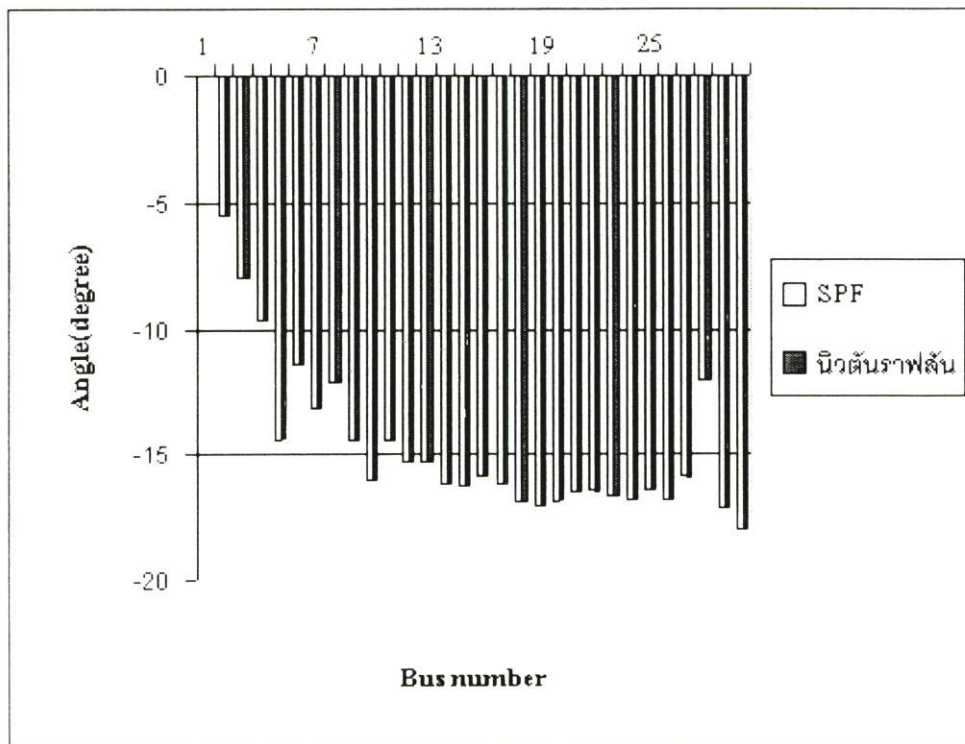
จากตารางที่ 5.11 ได้แสดงเป็นกราฟแผนภูมิแท่งแสดงผลของการเปรียบเทียบผลลัพธ์ของแรงดันดังรูปที่ 5.17 จะเห็นว่าค่าผิดพลาดน้อยมาก

ตารางที่ 5.12 แสดงค่าผิดพลาดของมุมที่ได้จาก SPF เทียบกับมุมที่ได้จาก นิวตัน ราฟสัน ของระบบไฟฟ้ากำลัง IEEE 30 บัสแบบที่ 2

มุม			
บัส	SPF	นิวตัน ราฟสัน	ค่าผิดพลาด
1	0	0	0
2	-5.497	-5.496	0.001
3	-8.003	-8.002	0.001
4	-9.66	-9.659	0.001
5	-14.389	-14.38	0.009
6	-11.396	-11.396	0
7	-13.161	-13.149	0.012
8	-12.113	-12.114	-0.001
9	-14.438	-14.432	0.006
10	-16.032	-16.024	0.008
11	-14.438	-14.432	0.006
12	-15.298	-15.301	-0.003
13	-15.298	-15.3	-0.002
14	-16.189	-16.19	-0.001
15	-16.27	-16.276	-0.006
16	-15.881	-15.879	0.002
17	-16.194	-16.187	0.007
18	-16.881	-16.881	0
19	-17.053	-17.049	0.004
20	-16.855	-16.851	0.004
21	-16.509	-16.468	0.041
22	-16.410	-16.455	-0.045
23	-16.644	-16.66	-0.016
24	-16.797	-16.829	-0.032
25	-16.4	-16.423	-0.023
26	-16.817	-16.835	-0.018

ตารางที่ 5.12 แสดงค่าผิดพลาดของมุมที่ได้จาก SPF เทียบกับมุม ที่ได้จาก นิวตัน ราฟสัน ของระบบไฟฟ้ากำลัง IEEE 30 บัสแบบที่ 2(ต่อ)

มุม			
บัส	SPF	นิวตัน ราฟสัน	ค่าผิดพลาด
27	-15.893	-15.913	-0.02
28	-12.054	-12.056	-0.002
29	-17.117	-17.133	-0.016
30	-17.994	-18.016	-0.022



รูปที่ 5.18 เปรียบเทียบมุมที่ได้จาก นิวตัน ราฟสัน และ SPF ของระบบ ทดสอบ IEEE 30 บัส แบบที่ 2

ในการเปรียบเทียบมุมเฟสจากตารางที่ 5.12 หรือจากรูปที่ 5.18 จะเห็นว่ามามีค่าผิดพลาดน้อยมาก เมื่อมาวิเคราะห์พื้นที่หน่วยความจำที่ใช้ไป ดังตารางที่ 5.13 และ ตารางที่ 5.14 SPF จะใช้พื้นที่ในการจัดเก็บค่าแอดมิแดนซ์ที่น้อยกว่ามาก

ตารางที่ 5.13 แสดงการใช้หน่วยความจำในการจัดเก็บแอดมิแดนซ์ ที่ได้จาก SPF ของระบบไฟฟ้ากำลัง IEEE 30 บัส

SPF	
แอดมิแดนซ์	พื้นที่ที่เก็บค่าแอดมิแดนซ์
ym	41x1
YS	1X30
รวม	71

ตารางที่ 5.14 แสดงการใช้หน่วยความจำในการจัดเก็บแอดมิแดนซ์ ที่ได้จากวิธีนิวตัน ราฟสันของระบบไฟฟ้ากำลัง IEEE 30 บัส

นิวตัน ราฟสัน	
แอดมิแดนซ์	พื้นที่ที่เก็บค่าแอดมิแดนซ์
Ybus	30x30
รวม	900

ผลจากการทดสอบแรงดัน และมุมจาก SPF มีค่าใกล้เคียงกับแรงดัน และมุมที่ได้จากโปรแกรมการวิเคราะห์โหนดโพล์ด้วยนิวตันราฟสัน และจากรูปที่ 5.13 และ 5.16 เป็นการกัลทลายแบ่งระบบไฟฟ้ากำลัง IEEE 30 บัส แบบแตกต่างกัน พบว่าค่าแรงดันและมุมที่ได้มีค่าใกล้เคียงกับค่าที่ได้จากการวิเคราะห์โหนดโพล์ด้วยนิวตันราฟสัน และเมื่อเปรียบเทียบการสิ้นเปลืองเนื้อที่ในการจัดเก็บค่าแอดมิแดนซ์ ดังแสดงในตารางที่ 5.3 เปรียบเทียบกับตารางที่ 5.4 . ตารางที่ 5.7 เปรียบเทียบกับตารางที่ 5.8 และตารางที่ 5.13 เปรียบเทียบกับตารางที่ 5.14 SPF จะใช้เนื้อที่ในการจัดเก็บค่าแอดมิแดนซ์น้อยกว่ามากเนื่องจาก เป็นเมตริกซ์อะเรียหนึ่งมิติ โดยที่จำนวน mutual admittance จะแปรผันโดยตรงกับจำนวนสายส่ง และ self admittance จะแปรผันโดยตรงกับจำนวนบัส ดังได้กล่าวไว้แล้วในบทที่ 4 ซึ่งถ้าเมื่อเทียบกับวิธีการแยกส่วนย่อยแบบเดิมที่ยังใช้การจัดเก็บแอดมิแดนซ์แบบสองมิติ เช่น 30 บัส แบบเดิม[3] จะแบ่งเป็นสองโซน โซนละ 15 บัส จะใช้เนื้อที่จัดเก็บแอดมิแดนซ์ทั้งหมด 450 ตารางหน่วย แต่ถ้าเป็น SPF จะใช้ 71 ตารางหน่วย ดังแสดงใน ตารางที่ 5.13

Name	Size	Bytes	Class
A	53x53	22472	double array
Bc	41x1	656	double array (complex)
DC	1x53	424	double array
DD	53x1	424	double array
J11	1x1	8	double array
J22	1x1	8	double array
J33	1x1	8	double array
J44	1x1	8	double array
L	1x1	8	double array
P	1x30	240	double array
Pa	1x30	240	double array
Pb	1x1	8	double array
Pc	1x30	240	double array
Pd	1x6	48	double array
Pe	1x1	8	double array
Pf	1x1	8	double array
Q	1x30	240	double array
Qd	1x30	240	double array
Qe	1x1	8	double array
Qg	1x30	240	double array
Qc	1x1	8	double array
Qgg	1x6	48	double array
Qgt	1x1	8	double array
Qk	1x1	8	double array
Qmax	1x30	240	double array
Qmin	1x30	240	double array
Qsh	1x30	240	double array
Qshv	1x1	8	double array
R	41x1	328	double array
S	1x30	480	double array (complex)
V	1x30	480	double array (complex)
Vm	1x30	240	double array
X	41x1	328	double array
Ybus	30x30	14400	double array (complex)
Ym	30x30	7200	double array

Grand total is 7300 elements using 66200 bytes

รูปที่ 5.19 แสดงหน่วยความจำทั้งหมดในการวิเคราะห์โหนดโพลาร์ด้วยวิธีนิวตันราฟสันของระบบไฟฟ้ากำลัง IEEE 30 บัส

Name	Size	Bytes	Class
B11	17x17	2312	double array
B12	12x12	1152	double array
B21	12x12	1152	double array
B22	12x12	1152	double array
BC	41x1	328	double array
Ba	1x5	40	double array
DP	17x2	272	double array
DG	12x2	192	double array
DR	1x1	8	double array
EBM	18x2	288	double array
EBS	18x2	576	double array (complex)
EBSA	18x2	288	double array
EP	1x1	16	double array (complex)
EQ	1x1	16	double array (complex)
ETIS	12x2	192	double array
I	1x1	8	double array
IC	1x5	40	double array
IT1	12x2	192	double array
ITIE	1x6	96	double array (complex)
ITII	12x2	192	double array
Ik	1x1	16	double array (complex)
In	1x1	16	double array (complex)
J	1x1	8	double array
JG	1x1	8	double array
L	1x1	8	double array
M	1x1	8	double array
N	1x1	8	double array
Nb1	1x2	16	double array
Nb2	1x2	16	double array
P	1x30	240	double array
PCAL	18x2	288	double array
PC	18x2	288	double array
PG	18x2	288	double array
Pc	1x30	240	double array
Pm	1x30	240	double array

Grand total is 3977 elements using 31908 bytes

รูปที่ 5.20 แสดงหน่วยความจำทั้งหมดที่ได้จาก SPF ของระบบไฟฟ้ากำลัง IEEE 30 บัส แบบที่ 2

5.3 การทดสอบประสิทธิภาพของโปรแกรมวิเคราะห์โหลดโพล์

ในการทดสอบประสิทธิภาพของโปรแกรมวิเคราะห์โหลดโพล์ ได้นำโปรแกรม วิเคราะห์โหลดโพล์ นิวตัน ราฟสัน และ โปรแกรมวิเคราะห์โหลดโพล์ ฟาสต์ดีคัปเปิ้ล มาเป็นตัวเปรียบเทียบ โดยจะทดสอบ เวลา.จำนวนรอบที่เข้าสู่คำตอบและหน่วยความจำทั้งหมด โดยดูผลของหน่วยความจำจาก Workspace Browser ดังแสดงในรูป 5.19 และรูป 5.20 ซึ่งจะแสดงค่าตัวแปร หรือ หน่วยความจำทั้งหมดที่ใช้ไป

ตารางที่ 5.15 ค่าของเวลา .จำนวนรอบ และหน่วยความจำที่ใช้ของระบบ IEEE 6 บัส

โปรแกรมการคำนวณ	เวลาที่ใช้ไป (วินาที)	จำนวนรอบ	หน่วยความจำทั้งหมดที่ใช้ไป (ไบต์)
Newton-raphson	0.72	4	5.346
Fastdecouple	0.71	6	4.386
SPF	0.11	4	4.916

ตารางที่ 5.16 ค่าของเวลา .จำนวนรอบ และหน่วยความจำที่ใช้ของระบบ IEEE 14 บัส

โปรแกรมการคำนวณ	เวลาที่ใช้ไป (วินาที)	จำนวนรอบ	หน่วยความจำทั้งหมดที่ใช้ไป (ไบต์)
Newton-raphson	2.09	3	17.762
Fastdecouple	2.25	19	13.258
SPF	0.94	14	11.756

ตารางที่ 5.17 ค่าของเวลา .จำนวนรอบ และหน่วยความจำที่ใช้ของระบบ IEEE 30 บัสแบบที่ 1

โปรแกรมการคำนวณ	เวลาที่ใช้ไป (วินาที)	จำนวนรอบ	หน่วยความจำทั้งหมดที่ใช้ไป (ไบต์)
Newton-raphson	5.05	4	66.354
Fastdecouple	5	15	42.610
SPF	6.59	11	33.396

ตารางที่ 5.18 ค่าของเวลา ,จำนวนรอบ และหน่วยความจำที่ใช้ของระบบ IEEE 30 บัสแบบที่ 2

โปรแกรมการคำนวณ	เวลาที่ใช้ไป (วินาที)	จำนวนรอบ	หน่วยความจำทั้งหมดที่ใช้ไป (ไบต์)
Newton-raphson	5.05	4	66.354
Fastdecouple	5	15	42.610
SPF	5.71	10	31.988

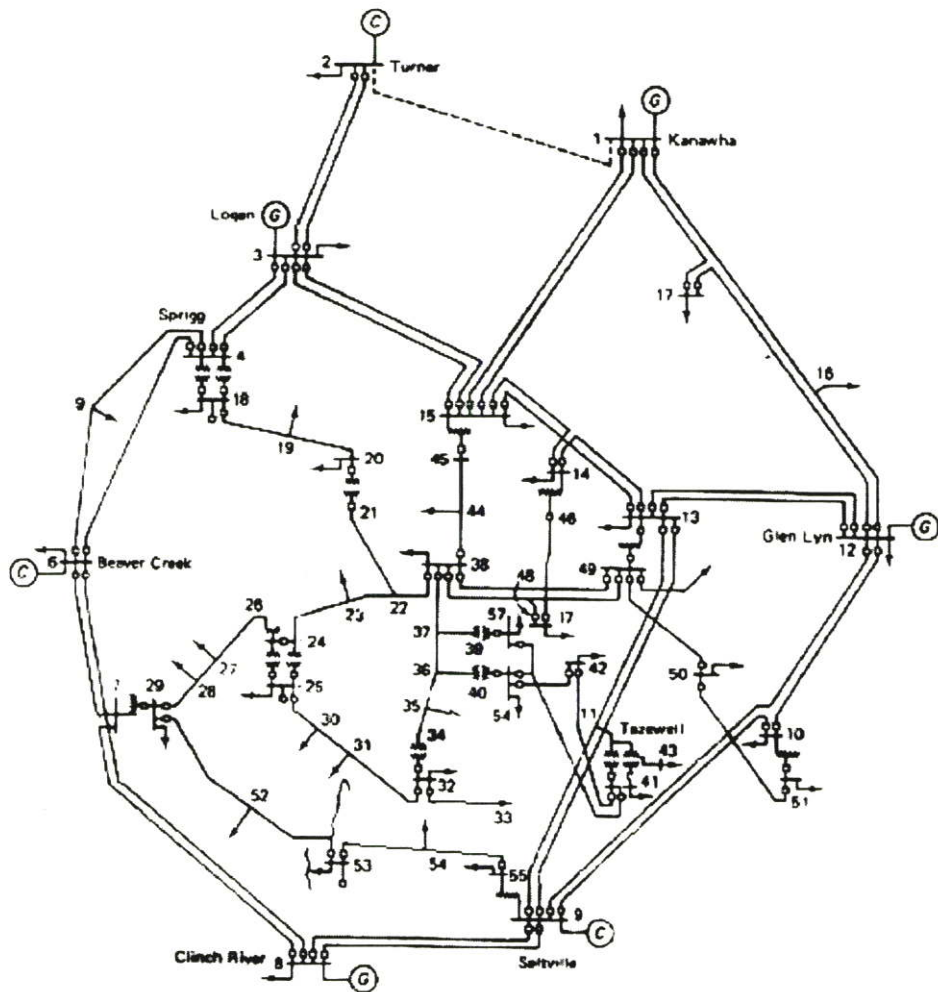
ผลจากการเปรียบเทียบเวลา จะพบว่า SPF จะใช้เวลาในการคำนวณเร็วกว่าโปรแกรมวิเคราะห์โหลดโพล์นิวตันราฟสันและโปรแกรมวิเคราะห์โหลดโพล์ฟาสต์ดีคัปเปิ้ล ก็ต่อเมื่อขนาดระบบไฟฟ้ากำลังไม่ใหญ่มากดังแสดงในช่อง TIME ของตาราง 5.15 และตาราง 5.16 ในทางกลับกันถ้าระบบมีขนาดใหญ่ จะใช้เวลานานกว่านิวตัน ราฟสันและฟาสต์ดีคัปเปิ้ล ดังแสดงในช่องเวลา ของตารางที่ 5.17 และ 5.18

ผลจากการเปรียบเทียบด้านหน่วยความจำ ยิ่งถ้าระบบไฟฟ้ากำลังมีขนาดใหญ่ SPF จะลดการใช้หน่วยความจำได้ดีกว่า โปรแกรมวิเคราะห์โหลดโพล์ นิวตัน ราฟสันและฟาสต์ดีคัปเปิ้ล ดังตารางที่ 5.16 .5.17 และ 5.18 ในช่องหน่วยความจำทั้งหมดที่ใช้ไป

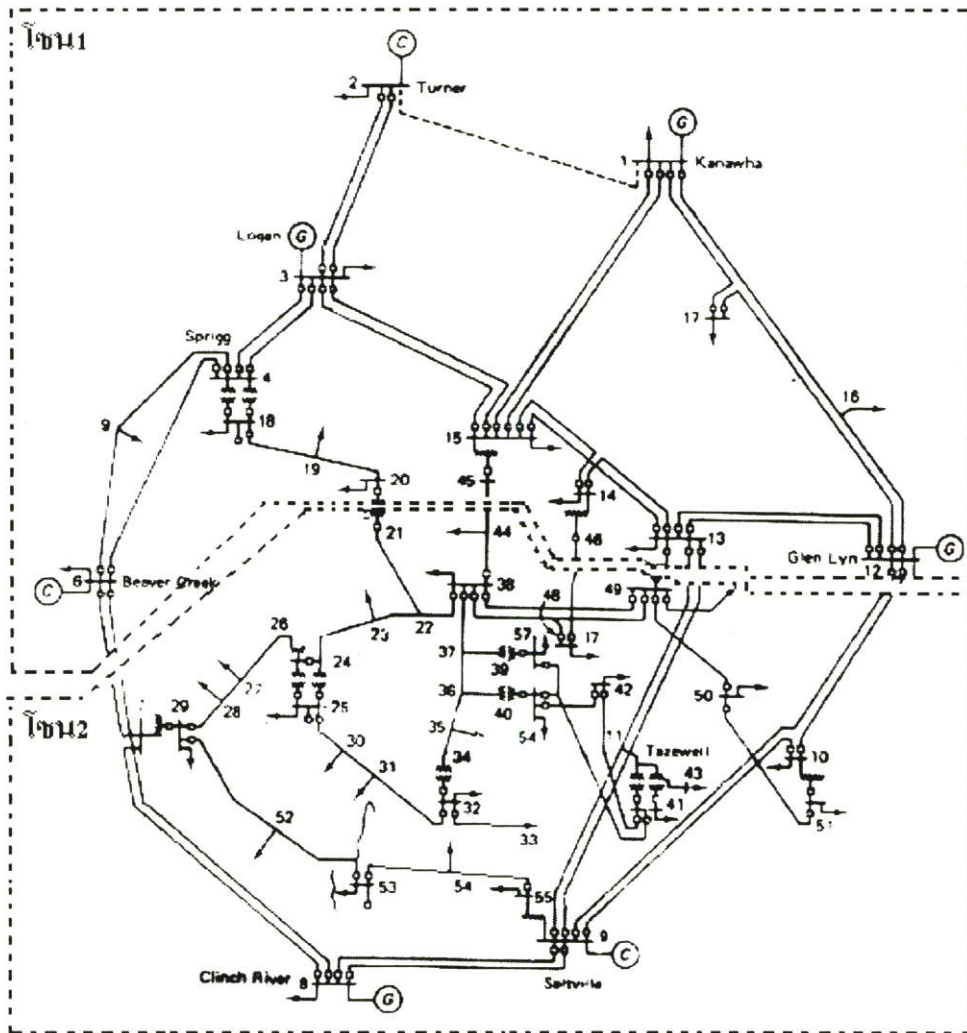
ผลจากการเปรียบเทียบจำนวนรอบของการเข้าสู่หาคำตอบ โปรแกรมวิเคราะห์โหลดโพล์ นิวตัน ราฟสันจะใช้จำนวนรอบน้อยกว่า SPF และในทำนองเดียวกัน SPF จะใช้จำนวนรอบน้อยกว่าโปรแกรมวิเคราะห์โหลดโพล์แบบฟาสต์ดีคัปเปิ้ล

5.4 ทดสอบประสิทธิภาพการคำนวณโหลดโพล์ด้วยระบบไฟฟ้ากำลังขนาดใหญ่

ในการทดสอบนี้จะทดสอบกับระบบไฟฟ้ากำลังขนาดใหญ่ IEEE 57 บัส โดยจะแสดงผลของการคำนวณแรงดัน มุม และกำลังไฟฟ้าจริง กำลังไฟฟ้าเสมือน และเวลาที่ใช้ไป

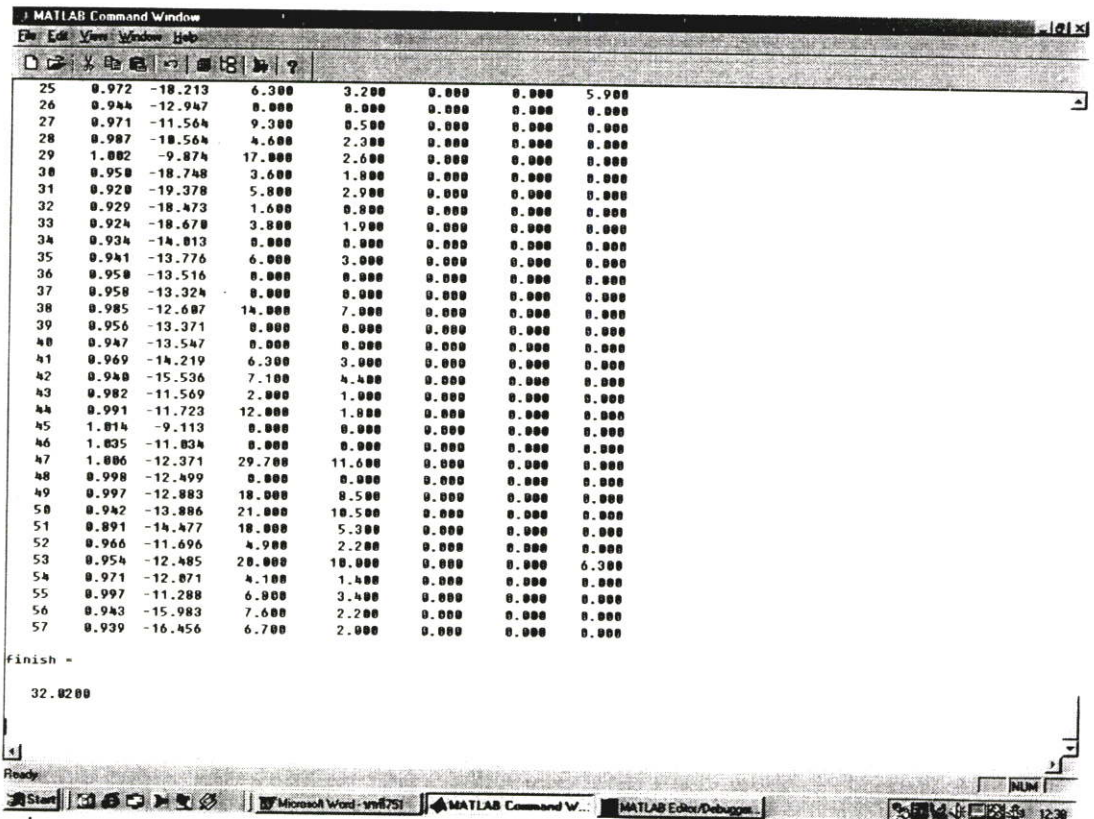
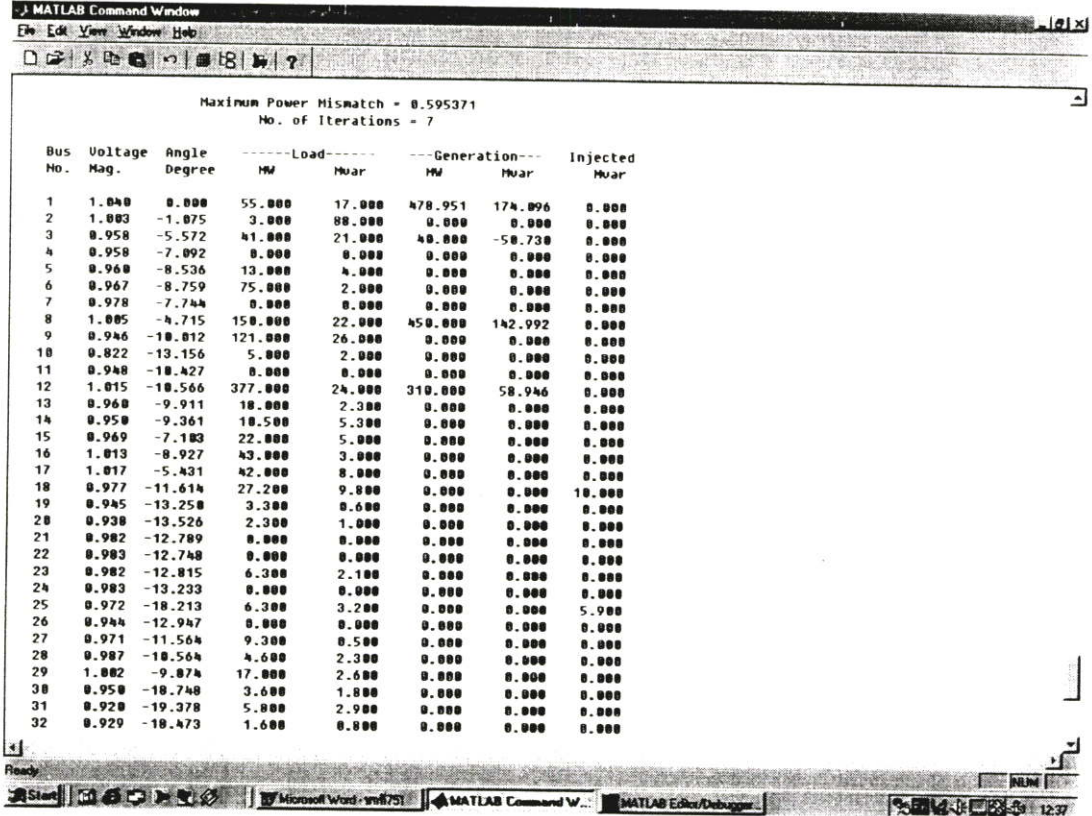


รูปที่ 5.21 ระบบไฟฟ้ากำลัง IEEE 57 บัส[4]



รูปที่ 5.22 การแยกส่วนย่อยของระบบไฟฟ้ากำลัง IEEE 57 บัส

สำหรับวิธีในการคัดหลายของระบบ IEEE 57 บัส ใช้หลักเกณฑ์ที่ควรระวังในการคัดหลายดังแสดงในภาคผนวก. และจะพิจารณาเลือกคัดหลาย branch สายส่งให้มีจำนวนน้อยที่สุดอีกทั้งคำนึงถึงหมายเลขบัสที่จะแบ่งในแต่ละระบบย่อยให้เรียงลำดับหมายเลขบัสแบบอนุกรมให้มากที่สุด



รูปที่ 5.23 แสดงผลการคำนวณโหลดโพลาร์ด้วย SPF ของระบบไฟฟ้ากำลัง IEEE 57 บัส

```

MATLAB Command Window
File Edit View Window Help
[Icons]

To get started, type one of these: helpwin, helpdesk, or demo.
For product information, type tour or visit www.mathworks.com.

j
WARNING: Iterative solution did not converged after 100 iterations.

Press Enter to terminate the iterations and print the results
ITERATIVE SOLUTION DID NOT CONVERGE
Maximum Power Mismatch = 33.3083
No. of Iterations = 101

Bus Voltage Angle -----Load----- ---Generation--- Injected
No. Mag. Degree MW Mvar MW Mvar Mvar
1 1.040 0.000 55.000 17.000 2142.036 7181.944 0.000
2 -0.014 -66606.983 3.000 88.000 0.000 0.000 0.000
3 0.968 -490771.867 41.000 21.000 40.000 4204.959 0.000
4 0.052 -499779.686 0.000 0.000 0.000 0.000 0.000
5 0.669 -911649.059 13.000 4.000 0.000 0.000 0.000
6 0.926 -867734.943 75.000 2.000 0.000 0.000 0.000
7 -0.000 -892040.269 0.000 0.000 0.000 0.000 0.000
8 0.955 -858229.710 150.000 22.000 450.000 3869.462 0.000
9 -0.769 -870006.509 121.000 26.000 0.000 0.000 0.000
10 -0.033 44428.599 5.000 2.000 0.000 0.000 0.000
11 1.112 -869151.947 0.000 0.000 0.000 0.000 0.000
12 0.965 51147.013 377.000 24.000 310.000 3135.009 0.000
13 -0.849 -178041.147 10.000 2.300 0.000 0.000 0.000
14 0.207 130700.773 10.500 5.300 0.000 0.000 0.000
15 0.483 -291139.851 22.000 5.000 0.000 0.000 0.000
16 0.065 43411.399 43.000 3.000 0.000 0.000 0.000
17 -0.079 -868.927 42.000 8.000 0.000 0.000 0.000
18 0.181 78211.129 27.200 9.000 0.000 0.000 10.000
19 0.122 283145.503 3.300 0.600 0.000 0.000 0.000
20 0.150 16670.378 2.300 1.000 0.000 0.000 0.000
21 0.471 -344497.369 0.000 0.000 0.000 0.000 0.000
22 0.097 -36493.119 0.000 0.000 0.000 0.000 0.000
23 -0.041 77541.835 6.300 2.100 0.000 0.000 0.000
24 -0.312 -109756.127 0.000 0.000 0.000 0.000 0.000

```

รูปที่ 5.24 แสดงผลการคำนวณโหลดโพลาร์ด้วยโปรแกรมวิเคราะห์โหลดโพลาร์แบบนิวตัน ราวสัน
ของระบบไฟฟ้ากำลัง IEEE 57 บัส

To get started, type one of these: helpwin, helpdesk, or demo.
 For product information, type `tour` or visit www.mathworks.com.

Power Flow Solution by Fast Decoupled Method
 Maximum Power Mismatch = NaN
 No. of Iterations = 92

Bus No.	Voltage Mag.	Angle Degree	---Load---		---Generation---		Injected
			MW	Mvar	MW	Mvar	
1	1.040	0.000	55.000	17.000	NaN	NaN	0.000
2	NaN	NaN	3.000	88.000	0.000	0.000	0.000
3	0.953	NaN	41.000	21.000	40.000	NaN	0.000
4	NaN	NaN	0.000	0.000	0.000	0.000	0.000
5	NaN	NaN	13.000	4.000	0.000	0.000	0.000
6	NaN	NaN	75.000	2.000	0.000	0.000	0.000
7	NaN	NaN	0.000	0.000	0.000	0.000	0.000
8	1.010	NaN	150.000	22.000	450.000	NaN	0.000
9	NaN	NaN	121.000	26.000	0.000	0.000	0.000
10	NaN	NaN	5.000	2.000	0.000	0.000	0.000
11	NaN	NaN	0.000	0.000	0.000	0.000	0.000
12	1.020	NaN	377.000	24.000	310.000	NaN	0.000
13	NaN	NaN	18.000	2.300	0.000	0.000	0.000
14	NaN	NaN	10.500	5.300	0.000	0.000	0.000
15	NaN	NaN	22.000	5.000	0.000	0.000	0.000
16	NaN	NaN	43.000	3.000	0.000	0.000	0.000
17	NaN	NaN	42.000	8.000	0.000	0.000	0.000
18	NaN	NaN	27.200	9.800	0.000	0.000	10.000
19	NaN	NaN	3.300	0.600	0.000	0.000	0.000
20	NaN	NaN	2.300	1.000	0.000	0.000	0.000
21	NaN	NaN	0.000	0.000	0.000	0.000	0.000
22	NaN	NaN	0.000	0.000	0.000	0.000	0.000
23	NaN	NaN	6.300	2.100	0.000	0.000	0.000
24	NaN	NaN	0.000	0.000	0.000	0.000	0.000
25	NaN	NaN	6.300	3.200	0.000	0.000	5.900
26	NaN	NaN	0.000	0.000	0.000	0.000	0.000
27	NaN	NaN	9.300	0.500	0.000	0.000	0.000
28	NaN	NaN	4.600	2.300	0.000	0.000	0.000

รูปที่ 5.25 แสดงผลการคำนวณโหลดโพล์ด้วยโปรแกรมวิเคราะห์โหลดโพล์แบบฟาสต์ดีคัปเปิลของระบบไฟฟ้ากำลัง IEEE 57 บัส

จากการทดสอบระบบไฟฟ้ากำลังขนาดใหญ่ SPF สามารถคำนวณหาโหลดโพล์ดังรูปที่ 5.23 โดยใช้จำนวนรอบ 7 รอบ เวลา 32.02 วินาที แต่เมื่อทดสอบกับโปรแกรมวิเคราะห์โหลดโพล์ด้วยวิธีนิวตันราฟสันดังรูปที่ 5.24 และฟาสต์ดีคัปเปิล ดังรูปที่ 5.25 พบว่าไม่สามารถคำนวณค่าเข้าหาคำตอบได้ อาจเนื่องมาจากเกินขอบเขตขนาดการจัดเก็บเมตริกอะเรียรี่ของโปรแกรมแมทแลบ ดังนั้นการวิเคราะห์โหลดโพล์แบบแยกส่วนย่อยด้วยวิธีฟาสต์ดีคัปเปิล โดยใช้เทคนิคสาขาเมตริกซ์ จึงเป็นอีกวิธีหนึ่งที่มีส่วนช่วยในการลดขนาดเมตริกซ์ จากโอเบี่ยนเมตริกซ์โดยอาศัยคุณสมบัติของการแยกส่วนย่อย แอดมิแดนซ์เมตริกซ์โดยอาศัยคุณสมบัติของสาขาเมตริกซ์ ที่มีผลต่อการคำนวณโหลดโพล์ให้เล็กลง ทำให้สามารถคำนวณระบบไฟฟ้ากำลังขนาดใหญ่ด้วยโปรแกรมแมทแลบที่มีขอบเขตจำกัดของการจัดเก็บหน่วยความจำของเมตริกซ์อะเรียรี่ได้

บทที่ 6

สรุปผลการวิจัย และข้อเสนอแนะ

6.1 สรุปผลการทดลอง

การวิเคราะห์โพลีโพลีเมอร์แบบแยกส่วนย่อยด้วยวิธีฟาสต์ดีคัปเปิล โดยใช้เทคนิคสเปกโตรเมตริกซ์หรือเรียก ย่อๆว่า SPF เป็นวิธีการที่พัฒนามาจากวิธีการแยกส่วนย่อยแบบเดิม โดยที่จะใช้เทคนิคสเปกโตรเมตริกซ์ ซึ่งกฎเกณฑ์สำคัญของเทคนิคนี้อยู่ที่ ใช้เมตริกซ์หนึ่งมิติในการจัดเก็บค่าแอดมิแดนซ์แทนการจัดเก็บแอดมิแดนซ์ด้วยเมตริกซ์สองมิติ และได้้นำวิธีแยกส่วนย่อยมาช่วยลดขนาดของจาโคเบียนเมตริกซ์ของระบบใหญ่ให้เล็กลง และนำวิธีฟาสต์ดีคัปเปิล ในส่วนช่วยการลดขนาดของจาโคเบียนเมตริกซ์หลังจากที่ได้แบ่งแยกระบบเป็นส่วนย่อยแล้ว อีกชั้นหนึ่ง

ในการทดสอบ ได้แบ่งการทดสอบ ออกเป็น 3 ขั้นตอนคือ การทดสอบความถูกต้องแม่นยำของโปรแกรม การทดสอบประสิทธิภาพของโปรแกรม และการทดสอบโปรแกรมกับระบบไฟฟ้ากำลังขนาดใหญ่ โดยได้เลือกนำโปรแกรม นิวตันราฟสัน โปรแกรมฟาสต์ดีคัปเปิล ของ Hadi Saatda เป็นโปรแกรมอ้างอิง เพื่อทดสอบความถูกต้อง จากผลการทดสอบ สามารถสรุปได้เป็นประเด็นหลักดังนี้คือ

1. ผลการทดสอบในหัวข้อ 5.2 ในส่วนของ การทดสอบความถูกต้องของโปรแกรม ได้ทดสอบเทียบกับโปรแกรมนิวตันราฟสัน ซึ่งผลคำตอบที่ได้จากการวิเคราะห์โพลีโพลีเมอร์แบบแยกส่วนย่อยด้วยวิธีฟาสต์ดีคัปเปิล โดยใช้เทคนิคสเปกโตรเมตริกซ์มีค่าใกล้เคียงกับ นิวตัน ราฟสัน และวิธีการวิเคราะห์โพลีโพลีเมอร์แบบแยกส่วนย่อยด้วยวิธีฟาสต์ดีคัปเปิล โดยใช้เทคนิคสเปกโตรเมตริกซ์ ใช้เนื้อที่ในการจัดเก็บค่าแอดมิแดนซ์ น้อยกว่า นิวตัน ราฟสันมากหลายเท่าตัว

2. ผลการทดสอบหัวข้อ 5.3 เป็นการทดสอบ เวลา จำนวนรอบเข้าสู่คำตอบ และหน่วยความจำทั้งหมดที่ใช้ไป โดยเปรียบเทียบเทียบกับโปรแกรมวิเคราะห์โพลีโพลีเมอร์ นิวตันราฟสัน โปรแกรมวิเคราะห์โพลีโพลีเมอร์ฟาสต์ดีคัปเปิล พบว่าถ้าระบบไฟฟ้ากำลังมีขนาดเล็ก การวิเคราะห์โพลีโพลีเมอร์แบบแยกส่วนย่อยด้วยวิธีฟาสต์ดีคัปเปิล โดยใช้เทคนิคสเปกโตรเมตริกซ์จะใช้เวลาในการคำนวณน้อยกว่าการวิเคราะห์ด้วยนิวตันราฟสัน และฟาสต์ดีคัปเปิล แต่ในทางกลับกันถ้าระบบไฟฟ้ากำลังมีขนาดใหญ่จะใช้เวลามากกว่า

3. ผลจากการทดสอบหน่วยความจำทั้งหมด จากการรันโปรแกรมวิเคราะห์โพลีโพลีเมอร์ระบบไฟฟ้ากำลังขนาดใหญ่ ด้วยวิธี นิวตันราฟสัน, ฟาสต์ดีคัปเปิล และ SPF พบว่าวิธี SPF จะใช้หน่วยความจำน้อยกว่ามาก

4. ผลจากการทดสอบจำนวนรอบ สามารถสรุปได้ว่า

จำนวนรอบ ของ นิวตัน ราฟสัน < จำนวนรอบ ของ SPF > จำนวนรอบของฟาสต์ดีคัปเปิล

5. ผลการทดสอบในหัวข้อ 5.4 เพื่อ ทดสอบประสิทธิภาพการคำนวณ โหลด โพลล์ด้วยระบบไฟฟ้ากำลังขนาดใหญ่ พบว่าการวิธีแยกส่วนย่อยด้วยวิธีฟาสต์ดีคัปเปิล โดยใช้เทคนิคสเปซเมตริกซ์จะสามารถหาคำตอบในการคำนวณ โหลด โพลล์ด้วยระบบไฟฟ้ากำลังขนาดใหญ่ได้ดีกว่าวิธี นิวตันราฟสัน และ ฟาสต์ดีคัปเปิล ด้วยโปรแกรมแมทแลบ

6.2 ข้อเสนอแนะและแนวทางในการพัฒนา

1. ควรพัฒนาที่จะทำให้โปรแกรมสามารถเรียนรู้และเลือกคัทลายได้ด้วยตัวเอง โดยเลือกคัทลายให้แต่ละ โชนมีสมาชิกเท่ากันหรือให้เหมาะสมที่สุดและสามารถหลีกเลี่ยงการคัทลายที่ควรระวังดังแสดงในภาคผนวก ข

2. ควรปรับปรุงให้โปรแกรมสามารถใช้เวลาในการคำนวณระบบไฟฟ้ากำลังขนาดใหญ่ได้เร็วขึ้น

3. ควรนำระบบจัดเก็บฐานข้อมูลมาประยุกต์ใช้ เพื่อที่จะสามารถนำมาพัฒนา ผ่านเครือข่าย online ได้

4. อาจนำเอาวิธี SPF มาพัฒนา การวิเคราะห์แบบอื่นๆ ได้นอกเหนือกับการวิเคราะห์ โหลด โพลล์ หรือลองนำวิธีที่เห็นว่าเหมาะสมมาพัฒนา ให้มีประสิทธิภาพมากขึ้น (ขอแนะนำให้ศึกษา SPF ให้เข้าใจก่อน)

5. เนื่องจาก SPF เขียน ขึ้นด้วยภาษาแมทแลบ ปัญหาจึงเกิดตรงที่ถ้าเครื่องคอมพิวเตอร์ไม่ได้ลงโปรแกรมแมทแลบไว้ก่อนก็จะไม่สามารถเปิดโปรแกรมได้ จึงขอแนะนำให้พัฒนาในส่วนการเขียนโปรแกรมให้สามารถรันเป็น .exe เพื่อที่สามารถเปิดโปรแกรมใช้ได้เลย

6. ในการคัทลายนี้อย่างต้องพึงรูประบบไฟฟ้ากำลัง เนื่องจากจะคัทลายนี้อาจจะยืดสายส่ง เป็นหลักคัทลายนั้น ถ้าไม่มีรูประบบไฟฟ้ากำลังเป็นแม่แบบแล้ว จะคัทลายนี้อาจลำบาก จึงควรพัฒนาในส่วนนี้

เอกสารอ้างอิง

- [1] วุฒินัน สุรพลชัย. “การวิเคราะห์โหลดโพล์ของระบบไฟฟ้ากำลังขนาดใหญ่โดยวิธีแยกส่วนย่อย.” วิทยานิพนธ์วิศวกรรมศาสตรมหาบัณฑิต สาขาวิศวกรรมไฟฟ้า บัณฑิตวิทยาลัย. จุฬาลงกรณ์มหาวิทยาลัย. 2523.
- [2] สุนทร ปิยรัตน์วงศ์. “การวิเคราะห์โหลดโพล์แบบนิวตัน - ราฟสัน ของระบบไฟฟ้ากำลังขนาดใหญ่โดยวิธีแยกส่วนย่อย.” วิทยานิพนธ์วิศวกรรมศาสตรมหาบัณฑิต สาขาวิศวกรรมไฟฟ้า บัณฑิตวิทยาลัย. จุฬาลงกรณ์มหาวิทยาลัย. 2529.
- [3] ทรงศักดิ์ คงน้อย. “วิธีคำนวณแบบแยกส่วนย่อยสำหรับฟาสต์ดีคัปเปิลโหลดโพล์ แบบปรับปรุง.” วิทยานิพนธ์วิศวกรรมศาสตรมหาบัณฑิต สาขาวิศวกรรมไฟฟ้า บัณฑิตวิทยาลัย. จุฬาลงกรณ์มหาวิทยาลัย. 2534.
- [4] Wallach.Y **Calculations and Programs For Power System Networks.** New Jersey : Prentice-Hall.Inc. 1986.
- [5] John J.Granger,William D. Stevenson,Jr. **Power System Analysis.** Singapore : McGraw-Hill.Inc. 1994.
- [6] Stagg G.W., EL-Abiad A.H.**Computer Methods in Power System Analysis :** MCGraw-Hill.Inc. 1986.
- [7] Happ H.H., Young C.C. “Tearing Algorithms for Large Scale Network Programs.”
IEEE Trans. Vol.PAS-90. Dec 1971. pp.2639-2649 .
- [8] วิเศษ จุกิบาล. “โปรแกรมโหลดโพล์อัตโนมัติสำหรับระบบไฟฟ้าเชื่อมโยงภายในขนาดใหญ่.” วิทยานิพนธ์วิศวกรรมศาสตรมหาบัณฑิต สาขาวิศวกรรมไฟฟ้า บัณฑิตวิทยาลัย. จุฬาลงกรณ์มหาวิทยาลัย. 2513.
- [9] Saadat H. **Power System Analysis.** Singapore : WCB McGraw-Hil.Inc. 1999
- [10] กীরติ นาราช และ คณะ. “การแก้ไขปัญหาการไหลของกำลังไฟฟ้าด้วยวิธีฟาส - ดีคัปเพอร์โดยใช้ โปรแกรมเมทแล็ป.” วิทยานิพนธ์วิศวกรรมศาสตรบัณฑิต สาขาวิศวกรรมไฟฟ้ากำลัง คณะวิศวกรรมศาสตร์. มหาวิทยาลัย เทคโนโลยีมหานคร.2543.
- [11] ประดิษฐ์ เฟื่องฟู “การคำนวณโหลดโพล์โดยใช้เครือข่ายประสาท” วิทยานิพนธ์วิศวกรรมศาสตรมหาบัณฑิต สาขาวิศวกรรมไฟฟ้า บัณฑิตวิทยาลัย. จุฬาลงกรณ์มหาวิทยาลัย. 2539.
- [12] Heydt G.T. **Computer Analysis Metods for Power system.** Newyork :Macmillan Publishing Company. 1986.

ภาคผนวก ก.

ข้อมูลของระบบทดสอบการคำนวณโหลดโพลีของระบบไฟฟ้ากำลัง

ตารางที่ ผ.5.1 ข้อมูลของบัสของระบบไฟฟ้ากำลัง IEEE 6 บัส [2]

Bus	kb code	Volt Mag	Angle Degree	Pd MW	Qd Mvar	Pg MW	Qg Mvar	Qc Mvar
1	3	1.05	0	0	0	0	0	0
2	2	1.1	0	0	0	25	0	0
3	1	1	0	27.5	6.5	0	0	0
4	1	1	0	0	0	0	0	0
5	1	1	0	15	9	0	0	0
6	1	1	0	25	2.5	0	0	0

ตารางที่ ผ.5.2 ข้อมูลของสายส่งของระบบไฟฟ้ากำลัง IEEE 6 บัส

Bus nl	Bus nr	R pu	X pu	BC 2 pu	Tap
1	4	0.16	0.7	0.007	1
1	6	0.246	1.036	0.0099	1
2	3	1.446	2.1	0	1
5	2	0.564	1.28	0	1
4	3	0	0.266	0	0.909
4	6	0.194	0.814	0.0076	1
6	5	0	0.6	0	0.976

ตารางที่ ผ.5.3 ข้อมูลของบัสของระบบไฟฟ้ากำลัง IEEE 14 บัส [10]

Bus	kb code	Volt Mag	Angle Degree	Pd MW	Qd Mvar	Pg MW	Qg Mvar	Qc Mvar
1	3	1.06	0	0	0	232.4	-16.9	0
2	2	1.045	0	21.7	12.7	40	42.4	0
3	2	1.01	0	94.2	19	0	23.4	0
4	1	1	0	47.8	-3.9	0	0	0
5	1	1	0	7.6	1.6	0	0	0
6	2	1.07	0	11.2	7.5	0	12.2	0
7	1	1	0	0	0	0	0	0
8	2	1.09	0	0	0	0	17.4	0
9	1	1	0	29.5	16.6	0	0	19
10	1	1	0	9	5.8	0	0	0
11	1	1	0	3.5	1.8	0	0	0
12	1	1	0	6.1	1.6	0	0	0
13	1	1	0	13.5	5.8	0	0	0
14	1	1	0	14.9	5	0	0	0

ตารางที่ ผ.5.4 ข้อมูลของสายส่งของระบบไฟฟ้ากำลัง IEEE 14 บัส

Bus nl	Bus nr	R pu	X pu	BC ² pu	Tap
1	2	0.01938	0.05917	0.0528	1
1	5	0.05403	0.22304	0.0492	1
2	3	0.04699	0.19797	0.0438	1
2	4	0.05811	0.17632	0.0374	1
2	5	0.05695	0.17388	0.034	1
3	4	0.06701	0.17103	0.0346	1
4	5	0.01335	0.04211	0.0128	1
4	7	0	0.20912	0	0.978
4	9	0	0.55618	0	0.969
5	6	0	0.25202	0	0.932
6	11	0.09498	0.1989	0	1
6	12	0.12291	0.25581	0	1
6	13	0.06615	0.13027	0	1
7	8	0	0.17615	0	1
7	9	0	0.11001	0	1
9	10	0.03181	0.0845	0	1
9	14	0.12711	0.27038	0	1
10	11	0.08205	0.19207	0	1
12	13	0.22092	0.19988	0	1
13	14	0.17093	0.34802	0	1

ตารางที่ ผ.5.5 ข้อมูลของบัสของระบบไฟฟ้ากำลัง IEEE 30 บัส [9]

Bus	kb code	Volt Mag	Angle Degree	Pd MW	Qd Mvar	Pg MW	Qg Mvar	Qc Mvar
1	3	1.06	0	0	0	0	0	0
2	2	1.043	0	21.7	12.7	40	0	0
3	1	1	0	2.4	1.2	0	0	0
4	1	1.06	0	7.6	1.6	0	0	0
5	2	1.01	0	94.2	19	0	0	0
6	1	1	0	0	0	0	0	0
7	1	1	0	22.8	10.9	0	0	0
8	2	1.01	0	30.0	30	0	0	0
9	1	1	0	0	0	0	0	0
10	1	1	0	5.8	2	0	0	19
11	2	1.082	0	0	0	0	0	0
12	1	1	0	11.2	7.5	0	0	0
13	2	1.071	0	0	0	0	0	0
14	1	1	0	6.2	1.6	0	0	0
15	1	1	0	8.2	2.5	0	0	0
16	1	1	0	3.5	1.8	0	0	0
17	1	1	0	9	5.8	0	0	0
18	1	1	0	3.2	0.9	0	0	0
19	1	1	0	9.5	3.4	0	0	0
20	1	1	0	2.2	0.7	0	0	0
21	1	1	0	17.5	11.2	0	0	0
22	1	1	0	0	0	0	0	0
23	1	1	0	3.2	1.6	0	0	0
24	1	1	0	8.7	6.7	0	0	4.3
25	1	1	0	0	0	0	0	0

ตารางที่ ผ.5.5 ข้อมูลของบัสของระบบไฟฟ้ากำลัง IEEE 30 บัส (ต่อ)

Bus	kb code	Volt Mag	Angle Degrec	Pd MW	Qd Mvar	Pg MW	Qg Mvar	Qc Mvar
26	1	1	0	3.5	2.3	0	0	0
27	1	1	0	0	0	0	0	0
28	1	1	0	0	0	0	0	0
29	1	1	0	2.4	0.9	0	0	0
30	1	1	0	10.6	1.9	0	0	0

ตารางที่ ผ.5.6 ข้อมูลของสายส่งของระบบไฟฟ้ากำลัง IEEE 30 บัส

Bus nl	Bus nr	R pu	X pu	BC 2 pu	Tap
1	2	0.0192	0.0575	0.0264	1
1	3	0.0452	0.1852	0.0204	1
2	4	0.057	0.1737	0.0184	1
3	4	0.0132	0.0379	0.0042	1
2	5	0.0472	0.1983	0.0209	1
2	6	0.0581	0.1763	0.0187	1
4	6	0.0119	0.0414	0.0045	1
5	7	0.046	0.116	0.0102	1
6	7	0.0267	0.0828	0.0085	1
6	8	0.012	0.0420	0.0045	1
6	9	0	0.2080	0	0.978
6	10	0	0.556	0	0.969
9	11	0	0.208	0	1
9	10	0	0.11	0	1

ตารางที่ ผ.5.6 ข้อมูลของสายส่งของระบบไฟฟ้ากำลัง IEEE 30 บัส (ต่อ)

Bus nl	Bus nr	R pu	X pu	BC 2 pu	Tap
4	12	0	0.256	0	0.932
12	13	0	0.14	0	1
12	14	0.1231	0.2559	0	1
12	15	0.0662	0.1304	0	1
12	16	0.0945	0.1987	0	1
14	15	0.221	0.1997	0	1
16	17	0.0824	0.1923	0	1
15	18	0.1073	0.2185	0	1
18	19	0.0639	0.1292	0	1
19	20	0.034	0.068	0	1
10	20	0.0936	0.209	0	1
10	17	0.0324	0.0845	0	1
10	21	0.0348	0.0749	0	1
10	22	0.0727	0.1499	0	1
21	22	0.0116	0.236	0	1
15	23	0.1	0.202	0	1
22	24	0.115	0.179	0	1
23	24	0.132	0.27	0	1
24	25	0.1885	0.3292	0	1
25	26	0.2544	0.38	0	1
25	27	0.1093	0.2087	0	1
28	27	0	0.396	0	0.968
27	29	0.2198	0.4153	0	1
27	30	0.3202	0.6027	0	1

ตารางที่ ผ.5.6 ข้อมูลของสายส่งของระบบไฟฟ้ากำลัง IEEE 30 บัส (ต่อ)

Bus nl	Bus nr	R pu	X pu	BC 2 pu	Tap
29	30	0.2399	0.4533	0	1
8	28	0.0636	0.2	0.0214	1
6	28	0.0169	0.0599	0.065	1

ตารางที่ ผ.5.7 ข้อมูลของบัสของระบบไฟฟ้ากำลัง IEEE 57 บัส [4]

Bus	kb code	Volt Mag	Angle Degree	Pd MW	Qd Mvar	Pg MW	Qg Mvar	Qc Mvar
1	3	1.04	0	55	17	0	0	0
2	1	1.01	0	3	88	0	0	0
3	2	0.958	0	41	21	40	0	0
4	1	1	0	0	0	0	0	0
5	1	1	0	13	4	0	0	0
6	1	0.98	0	75	2	0	0	0
7	1	1	0	0	0	0	0	0
8	2	1.005	0	150	22	450	0	0
9	1	0.98	0	121	26	0	0	0
10	1	1	0	5	2	0	0	0
11	1	1	0	0	0	0	0	0
12	2	1.015	0	377	24	310	0	0
13	1	1	0	18	2.3	0	0	0
14	1	1	0	10.5	5.3	0	0	0
15	1	1	0	22	5	0	0	0
16	1	1	0	43	3	0	0	0
17	1	1	0	42	8	0	0	0
18	1	1	0	27.2	9.8	0	0	10
19	1	1	0	3.3	0.6	0	0	0
20	1	1	0	2.3	1	0	0	0
21	1	1	0	0	0	0	0	0
22	1	1	0	0	0	0	0	0
23	1	1	0	6.3	2.1	0	0	0
24	1	1	0	0	0	0	0	0

ตารางที่ ผ.5.7 ข้อมูลของบัสของระบบไฟฟ้ากำลัง IEEE 57 บัส (ต่อ)

Bus	kb code	Volt Mag	Angle Degree	Pd MW	Qd Mvar	Pg MW	Qg Mvar	Qc Mvar
25	1	1	0	6.3	3.2	0	0	5.9
26	1	1	0	0	0	0	0	0
27	1	1	0	9.3	0.5	0	0	0
28	1	1	0	4.6	2.3	0	0	0
29	1	1	0	17	2.6	0	0	0
30	1	1	0	3.6	1.8	0	0	0
31	1	1	0	5.8	2.9	0	0	0
32	1	1	0	1.6	0	.8	0	0
33	1	1	0	3.8	1.9	0	0	0
34	1	1	0	0	0	0	0	0
35	1	1	0	6	3	0	0	0
36	1	1	0	0	0	0	0	0
37	1	1	0	0	0	0	0	0
38	1	1	0	14	7	0	0	0
39	1	1	0	0	0	0	0	0
40	1	1	0	0	0	0	0	0
41	1	1	0	6.3	3	0	0	0
42	1	1	0	7.1	4.4	0	0	0
43	1	1	0	2	1	0	0	0
44	1	1	0	12	1.8	0	0	0
45	1	1	0	0	0	0	0	0
46	1	1	0	0	0	0	0	0
47	1	1	0	29.7	11.6	0	0	0
48	1	1	0	0	0	0	0	0

ตารางที่ ผ.5.7 ข้อมูลของบัสของระบบไฟฟ้ากำลัง IEEE 57 บัส (ต่อ)

Bus	kb code	Volt Mag	Angle Degree	Pd MW	Qd Mvar	Pg MW	Qg Mvar	Qc Mvar
49	1	1	0	18	8.5	0	0	0
50	1	1	0	21	10.5	0	0	0
51	1	1	0	18	5.3	0	0	0
52	1	1	0	4.9	2.2	0	0	0
53	1	1	0	20	10	0	0	6.3
54	1	1	0	4.1	1.4	0	0	0
55	1	1	0	6.8	3.4	0	0	0
56	1	1	0	7.6	2.2	0	0	0
57	1	1	0	6.7	2	0	0	0

ตารางที่ ผ.5.8 ข้อมูลของสายส่งของระบบไฟฟ้ากำลัง IEEE 57 บัส

Bus nl	Bus nr	R pu	X pu	BC 2 pu	Tap
1	2	0.0083	0.028	0.0645	1
2	3	0.0298	0.085	0.0409	1
3	4	0.0112	0.0366	0.019	1
4	5	0.0625	0.132	0.0129	1
4	6	0.043	0.148	0.0174	1
6	7	0.02	0.102	0.0138	1
6	8	0.0339	0.173	0.0235	1
8	9	0.0099	0.0505	0.0274	1
9	10	0.0369	0.1679	0.022	1
9	11	0.0258	0.0848	0.0109	1
9	12	0.0648	0.295	0.0386	1
9	13	0.0481	0.158	0.0203	1
13	14	0.0132	0.0434	0.0055	1
13	15	0.0269	0.0869	0.0115	1
1	15	0.0178	0.091	0.0494	1
1	16	0.0454	0.206	0.0273	1
1	17	0.0238	0.108	0.0143	1
3	15	0.0162	0.053	0.0272	1
4	18	0	0.555	0	0.97
4	18	0	0.43	0	0.978
5	6	0.0302	0.0641	0.0062	1
7	8	0.0139	0.0712	0.0097	1
10	12	0.0277	0.1262	0.0164	1
11	13	0.0223	0.0732	0.0094	1

ตารางที่ ผ.5.8 ข้อมูลของสายส่งของระบบไฟฟ้ากำลัง IEEE 57 บัส (ต่อ)

Bus nl	Bus nr	R pu	X pu	BC 2 pu	Tap
12	13	0.0178	0.058	0.0302	1
12	16	0.018	0.0813	0.0108	1
12	17	0.0397	0.179	0.0238	1
14	15	0.0171	0.0547	0.0074	1
18	19	0.461	0.685	0	1
19	20	0.283	0.434	0	1
21	20	0	0.7767	0	1.043
21	22	0.0736	0.117	0	1
22	23	0.0099	0.0152	0	1
23	24	0.166	0.256	0.0042	1
24	25	0	1.182	0	1
24	25	0	1.23	0	1
24	26	0	0.0473	0	1.043
26	27	0.165	0.254	0	1
27	28	0.0618	0.0954	0	1
28	29	0.0418	0.0587	0	1
7	29	0	0.0648	0	0.967
25	30	0.135	0.2020	0	1
30	31	0.326	0.497	0	1
31	32	0.507	0.755	0	1
32	33	0.0392	0.036	0	1
34	32	0	0.953	0	0.975
34	35	0.052	0.078	0.0016	1
35	36	0.043	0.0537	0.0008	1

ตารางที่ ผ.5.8 ข้อมูลของสายส่งของระบบไฟฟ้ากำลัง IEEE 57 บัส (ต่อ)

Bus nl	Bus nr	R pu	X pu	BC 2 pu	Tap
36	37	0.029	0.0366	0	1
37	38	0.0651	0.1009	0.001	1
37	39	0.0239	0.0379	0	1
36	40	0.03	0.0466	0	1
22	38	0.0192	0.0295	0	1
11	41	0	0.749	0	0.955
41	42	0.207	0.352	0	1
41	43	0	0.412	0	1
38	44	0.0289	0.0585	0.001	1
15	45	0	0.1042	0	0.955
14	46	0	0.0735	0	0.9
46	47	0.023	0.068	0.0016	1
47	48	0.0182	0.0233	0	1
48	49	0.0834	0.129	0.0024	1
49	50	0.0801	0.128	0	1
50	51	0.1386	0.22	0	1
10	51	0	0.0712	0	0.93
13	49	0	0.191	0	0.895
29	52	0.1442	0.187	0	1
52	53	0.0762	0.0984	0	1
53	54	0.1878	0.232	0	1
54	55	0.1732	0.2265	0	1
11	43	0	0.153	0	0.958
44	45	0.0624	0.1242	0.002	1
40	56	0	1.195	0	0.958

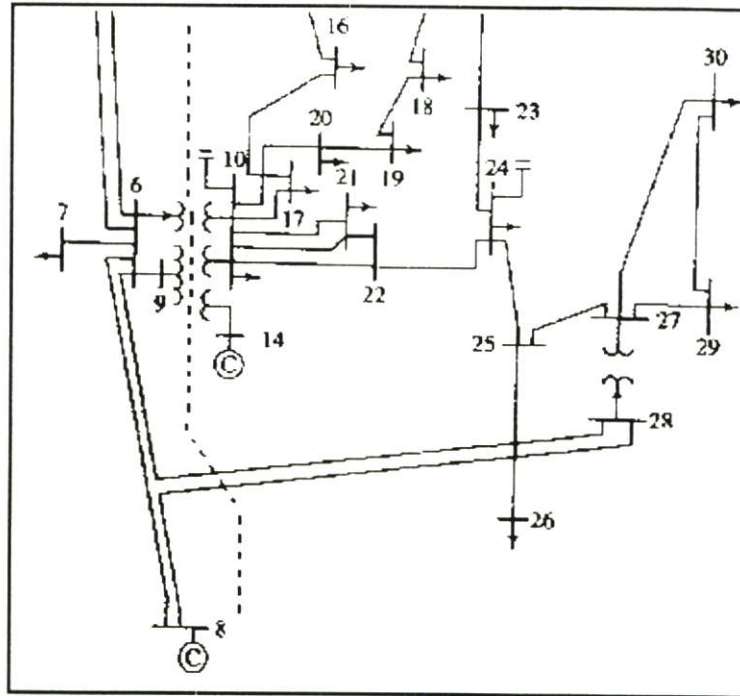
ตารางที่ ผ.5.8 ข้อมูลของสายส่งของระบบไฟฟ้ากำลัง IEEE 57 บัส (ต่อ)

Bus nl	Bus nr	R pu	X pu	BC 2 pu	Tap
56	41	0.553	0.549	0	1
56	42	0.2125	0.354	0	1
39	57	0	1.355	0	0.98
57	56	0.174	0.26	0	1
38	49	0.115	0.177	0.003	1
38	48	0.0312	0.0482	0	1
9	55	0	0.1205	0	0.94

ภาคผนวก ข.

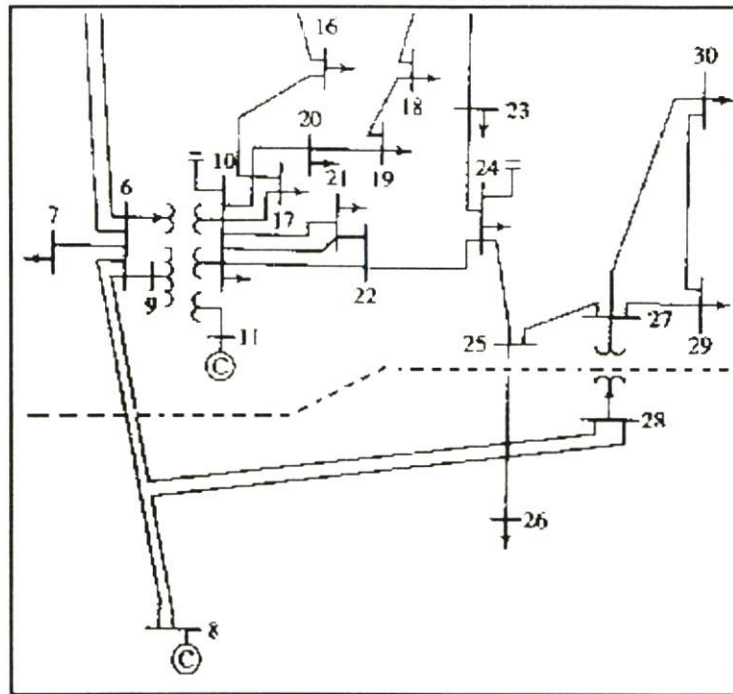
ข้อควรระวังในการคัดลอก

สิ่งสำคัญในการคัดหลายควมหลักเลียงการคัดหลายดังต่อไปนี้



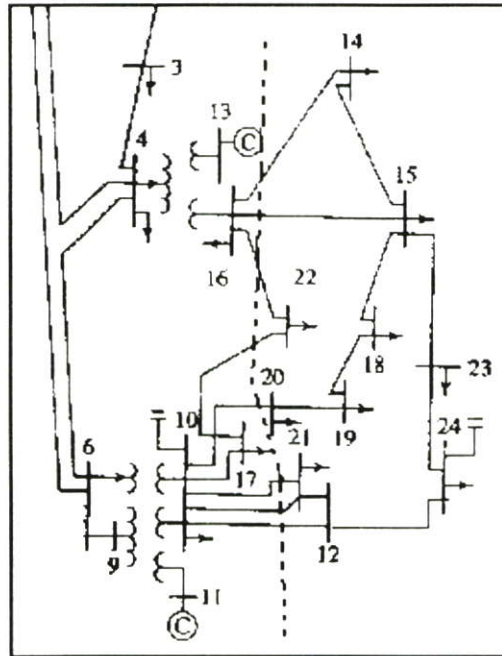
รูปที่ ผ.5.1 แสดงการคัดหลายในการตัดบัส อีสระออก

จากรูป เป็นการคัดหลายที่ตัดบัสอีสระ คือบัส 14 ออก ทำให้ในการคำนวณในโซนแต่ละโซน โปรแกรมจะไม่สามารถหาบัสที่ 14 เจอ จึงส่งผลให้บัสที่ 14 กลายเป็น บัสกราว ไม่ถูกรวมในแอดมิแดนท์เมตริกซ์ส่งผลให้การคำนวณผิดพลาด



รูปที่ ผ.5.2 แสดงการคัทหลายบัสส่ง หรือบัสรับบัสใดบัสหนึ่งไม่ได้เชื่อมโยงเข้ากับบัสอื่นอีก

จากรูป เป็นการคัทหลายที่ตัดบัสส่ง และบัสรับ ที่บัสใดบัสหนึ่งไม่ได้เชื่อมโยงเข้ากับบัสอื่น ดังนั้น จากรูปโปรแกรมจะไม่สามารถหา บัสที่ 26 พบเนื่องจากถูกตัดขาดออกจากระบบไม่ได้อยู่ใน โชนใดโชนหนึ่ง มีส่วนทำให้การคำนวณผิดพลาด



รูปที่ ผ.5.3 แสดงการคัทหลายในการตัดบัสออกนอกระบบ

จากรูป เป็นการคัทหลายที่ทำให้บัสที่ 16, 21 และ 22 ออกนอกระบบ ทำให้ในการคำนวณโหลดโฟลว์โปรแกรมไม่สามารถหาบัสที่ 16, 21 และ 22 พบ

ภาคผนวก ค.

การเตรียมข้อมูลลงใน bus data และ line data

ตัวอย่าง ผ. 5.1 แสดงการเตรียมข้อมูล ลงใน busdata และ linedata

basemva = 100: accuracy = 0.001: maxiter = 6: nozon = 2:

```

bus kb Vm delta Pd Qd Pg Qg Qc zon
busdata = [ 1 3 1.05 0 0 0 0 0 0 1
            2 2 1.1 0 0 0 25 0 0 2
            3 1 1 0 27.5 6.5 0 0 0 2
            4 1 1 0 0 0 0 0 0 1
            5 1 1 0 15 9 0 0 0 2
            6 1 1 0 25 2.5 0 0 0 1 ]:

```

```

nl nr R X BC/2 Tap
linedata = [ 1 4 0.16 0.74 0.007 1
            1 6 0.246 1.036 0.0099 1
            2 3 1.446 2.1 0 1
            5 2 0.564 1.28 0 1
            4 3 0 0.266 0 0.909
            4 6 0.194 0.814 0.0076 1
            6 5 0 0.6 0 0.976 ]:

```

โดยที่

nozon คือ จำนวนระบบย่อยหรือจำนวนโชนทั้งหมด
basemva คือ ค่ากำลังไฟฟ้าเบสของระบบไฟฟ้ากำลัง
accuracy คือ ค่าความคลาดเคลื่อนที่ยอมรับได้
Maxiter คือ จำนวนรอบสูงสุดที่กำหนดไว้

ในส่วนของ busdata ประกอบด้วย

bus คือ หมายเลขบัส
kb คือ ชนิดของบัส โดยถ้า kb เท่ากับ 1 หมายถึง บัสโหลด, 2 หมายถึง บัสเครื่องกำเนิดไฟฟ้า และ 3 หมายถึง บัสเสถล
Vm คือ แรงดัน มีหน่วยเป็น เปอร์เซ็นต์ (p.u.)
delta คือ มุม มีหน่วยเป็น ดีกรี (Degree)
Pd คือ ค่ากำลังไฟฟ้าจริงของโหลด หน่วยเป็น เมกะวัตต์ (MW)

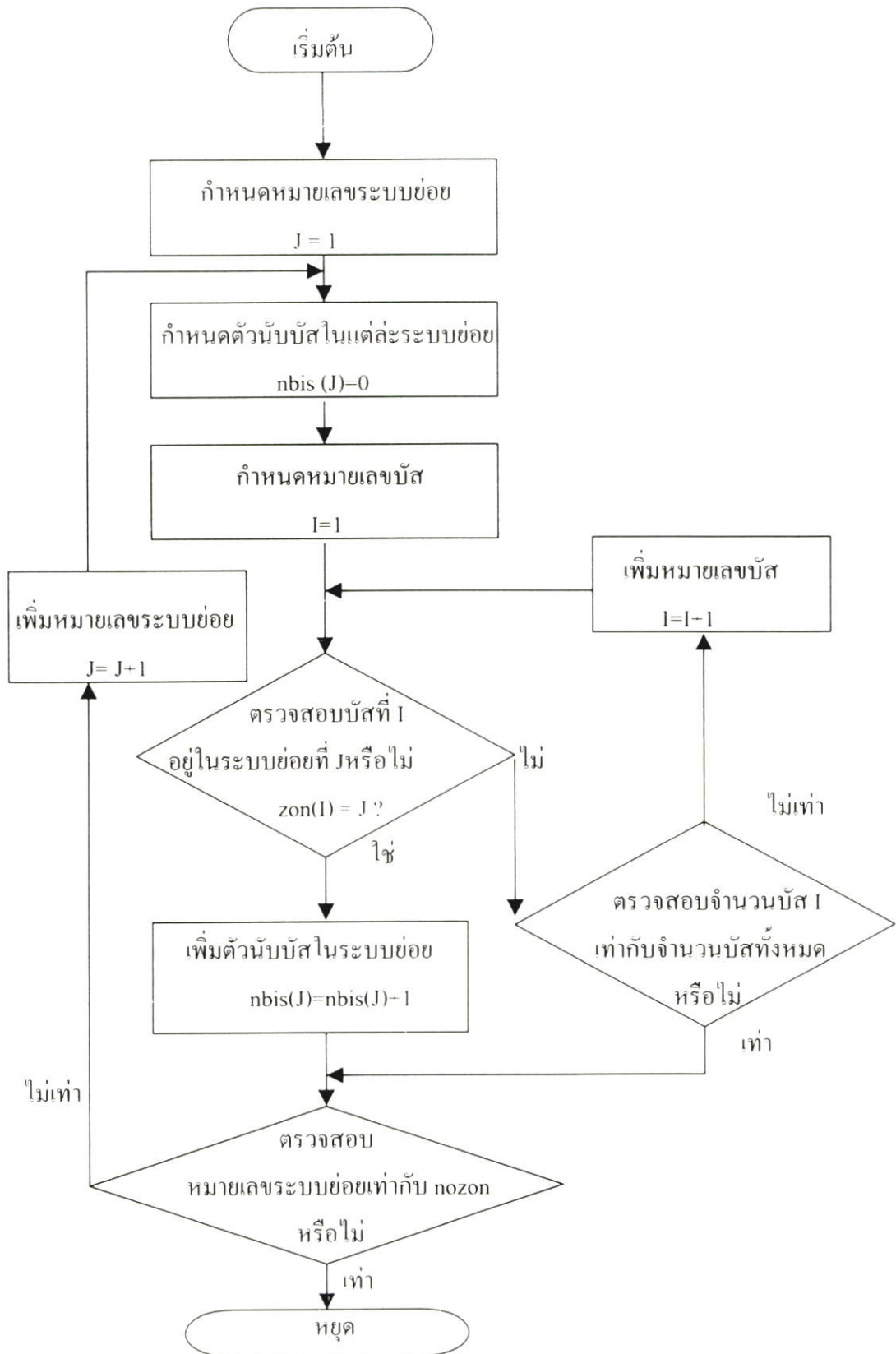
Qd	คือ	ค่ากำลังไฟฟ้าเสมือนของโหลด หน่วยเป็นเม็กกะวา (Mvar)
Pg	คือ	ค่ากำลังไฟฟ้าจริงของบัสเครื่องกำเนิดไฟฟ้า หน่วยเป็นเม็กกะวัตต์ (MW)
Qg	คือ	ค่ากำลังไฟฟ้าเสมือนของเครื่องกำเนิดไฟฟ้า หน่วยเป็นเม็กกะวา (Mvar)
Qc	คือ	ชั้นที่ คาปาซิเตอร์ หรือ ชั้นที่รีแอกเตอร์ ที่ต่ออยู่ที่บัสหน่วยเป็นเม็กกะวา (Mvar)
zon	คือ	หมายเลขระบบย่อยที่ถูกเลือกเพื่อใช้ในการแบ่งบัสออกเป็นระบบย่อย

ในส่วนของ linedata ประกอบด้วย

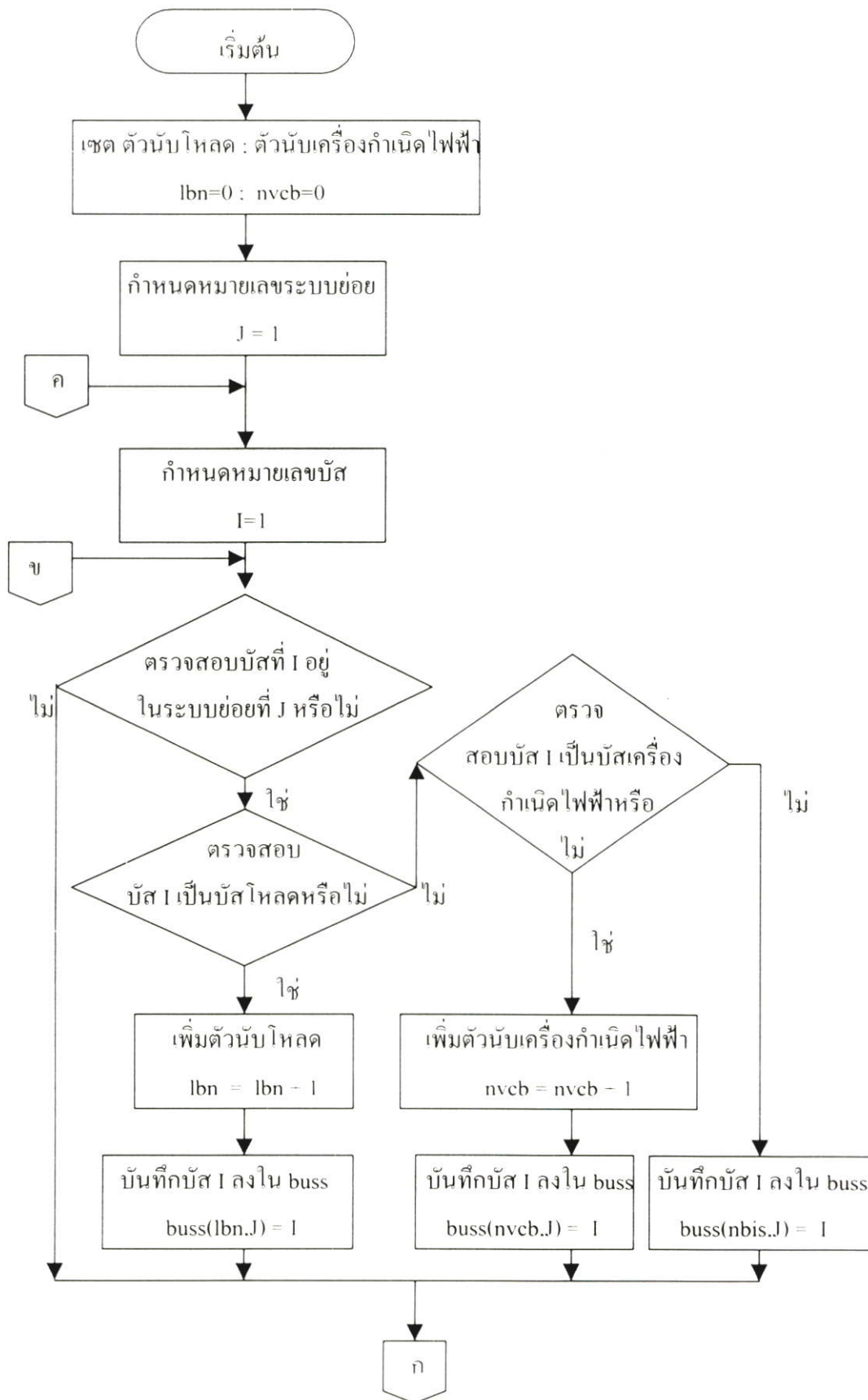
nl	คือ	หมายเลขบัสส่ง
nr	คือ	หมายเลขบัสรับ
R	คือ	รีซิสแตนซ์ที่มีหน่วยเป็นเปอร์ยูนิต (p.u.)
X	คือ	รีแอกแตนซ์ที่มีหน่วยเป็นเปอร์ยูนิต (p.u.)
BC 2	คือ	ค่า ฮาฟไลน์ชาร์จิ่ง ของสายส่ง
Tap	คือ	ค่าอัตราส่วนจำนวนรอบของหม้อแปลง

๔

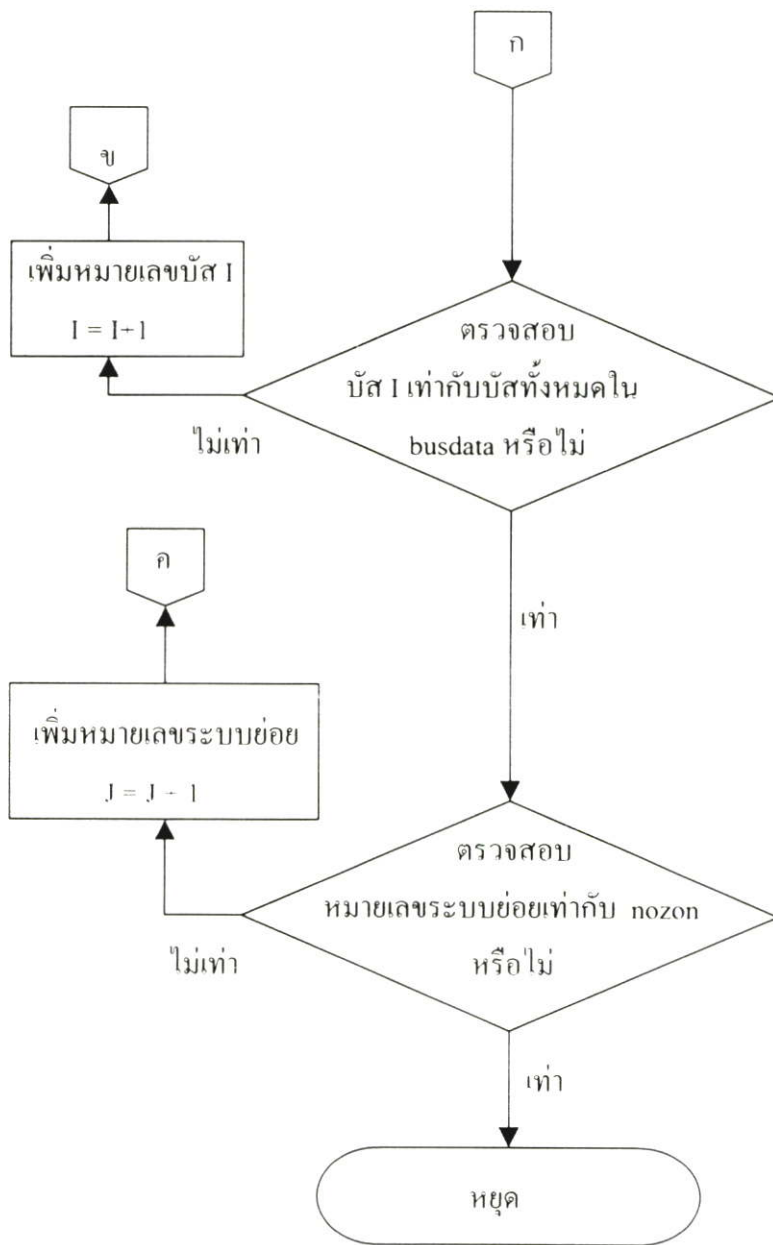
ภาคผนวก ง.
แผนผังแสดงรายละเอียดเพิ่มเติมของโปรแกรม



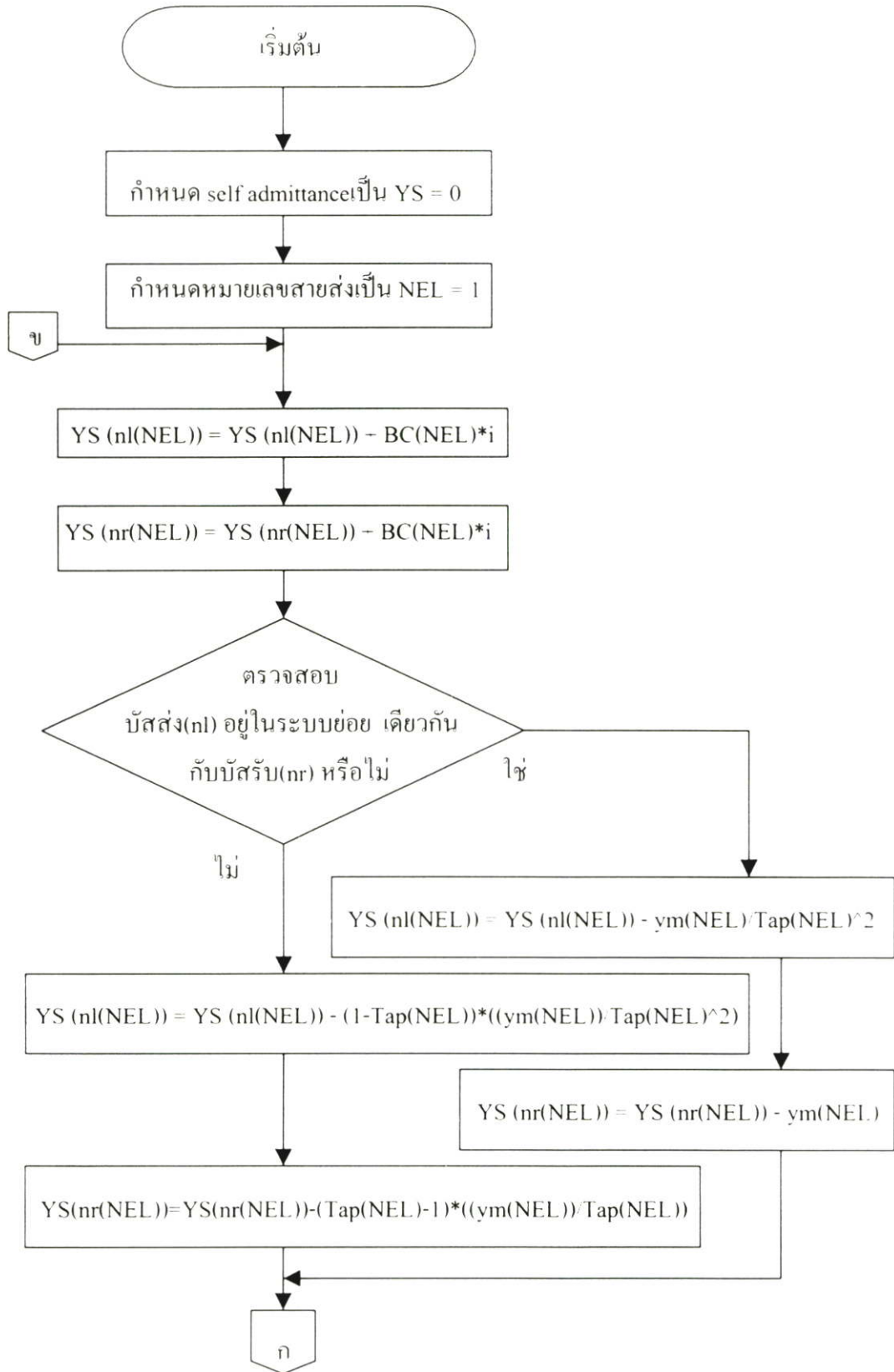
รูปที่ ผ.5.4 แผนผังแสดงการหาตัวนับบัสในแต่ละระบบย่อย



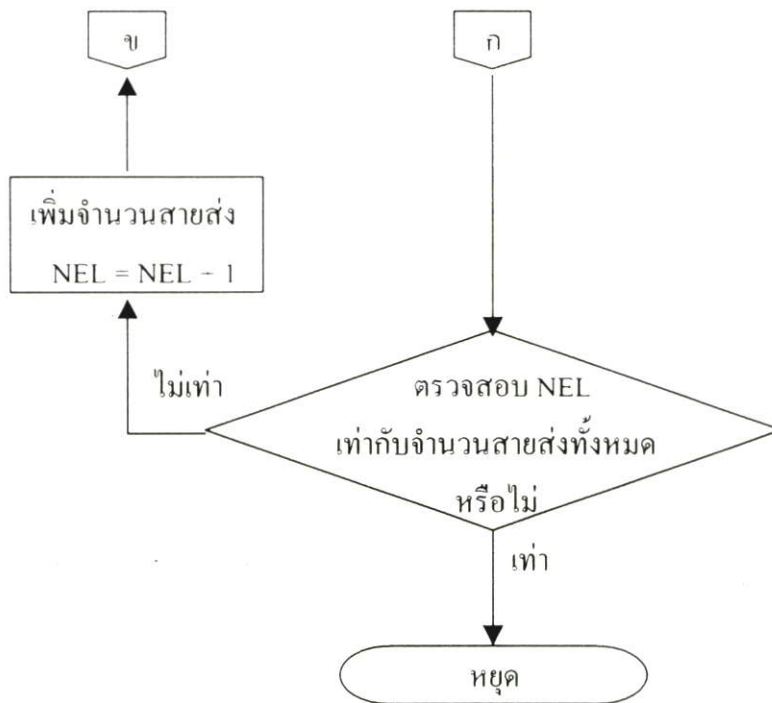
รูปที่ ผ.5.5 แผนผังแสดงการจัดข้อมูลบัสให้อยู่ในระบบบัสย่อยเดียวกัน



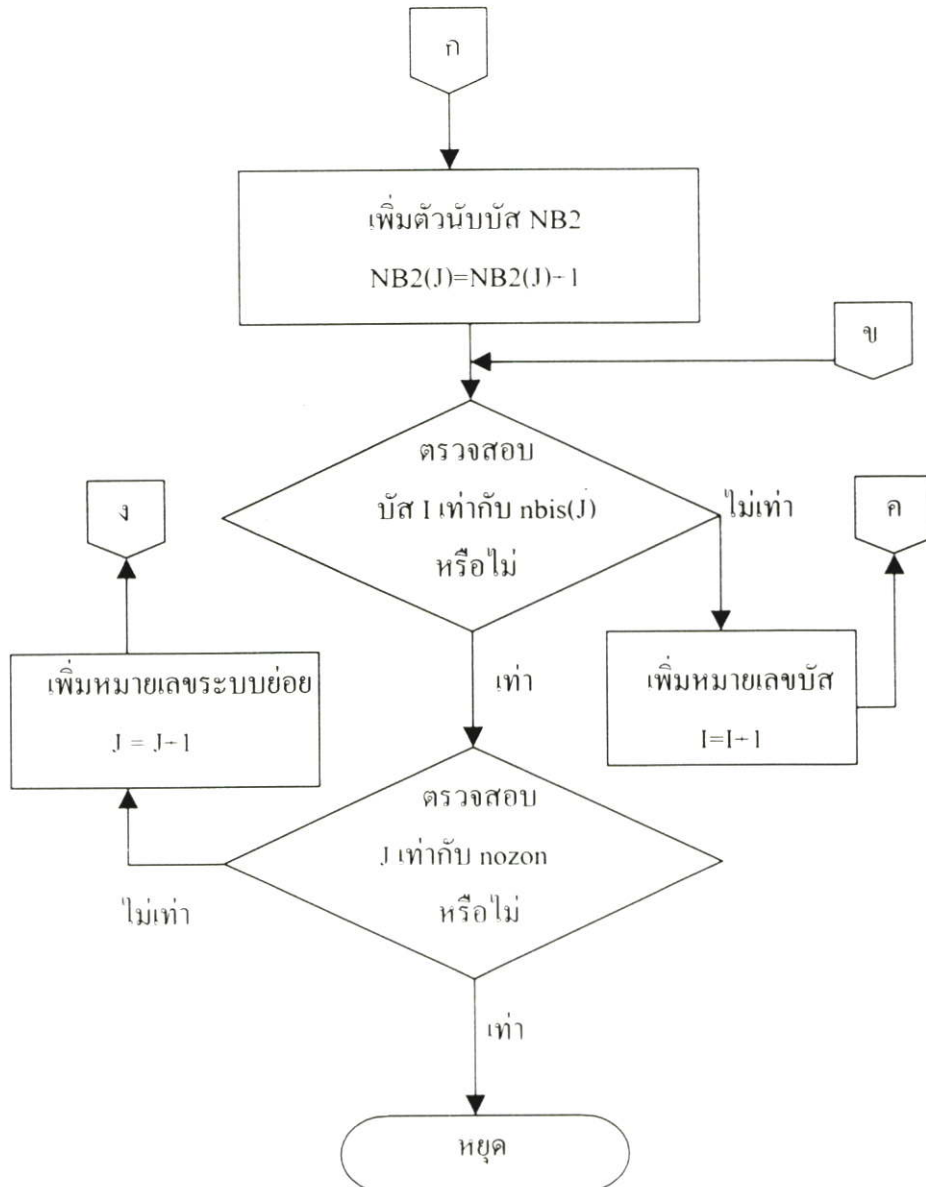
รูปที่ ผ.5.5 แผนผังแสดงการจัดข้อมูลบัสให้อยู่ในระบบบัสย่อยเดียวกัน(ต่อ)



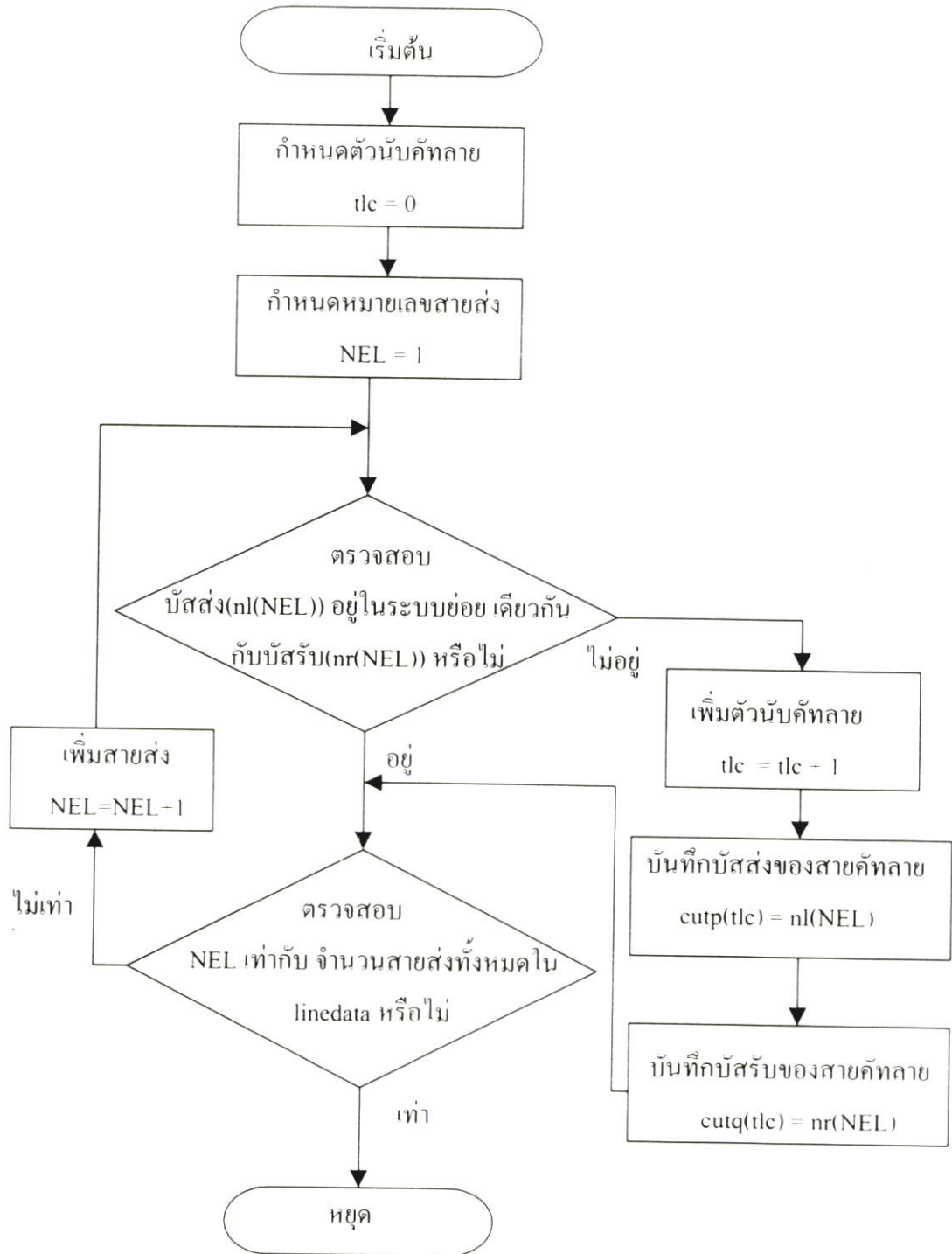
รูปที่ ผ.5.6 แผนผังแสดงการทำ self admittance



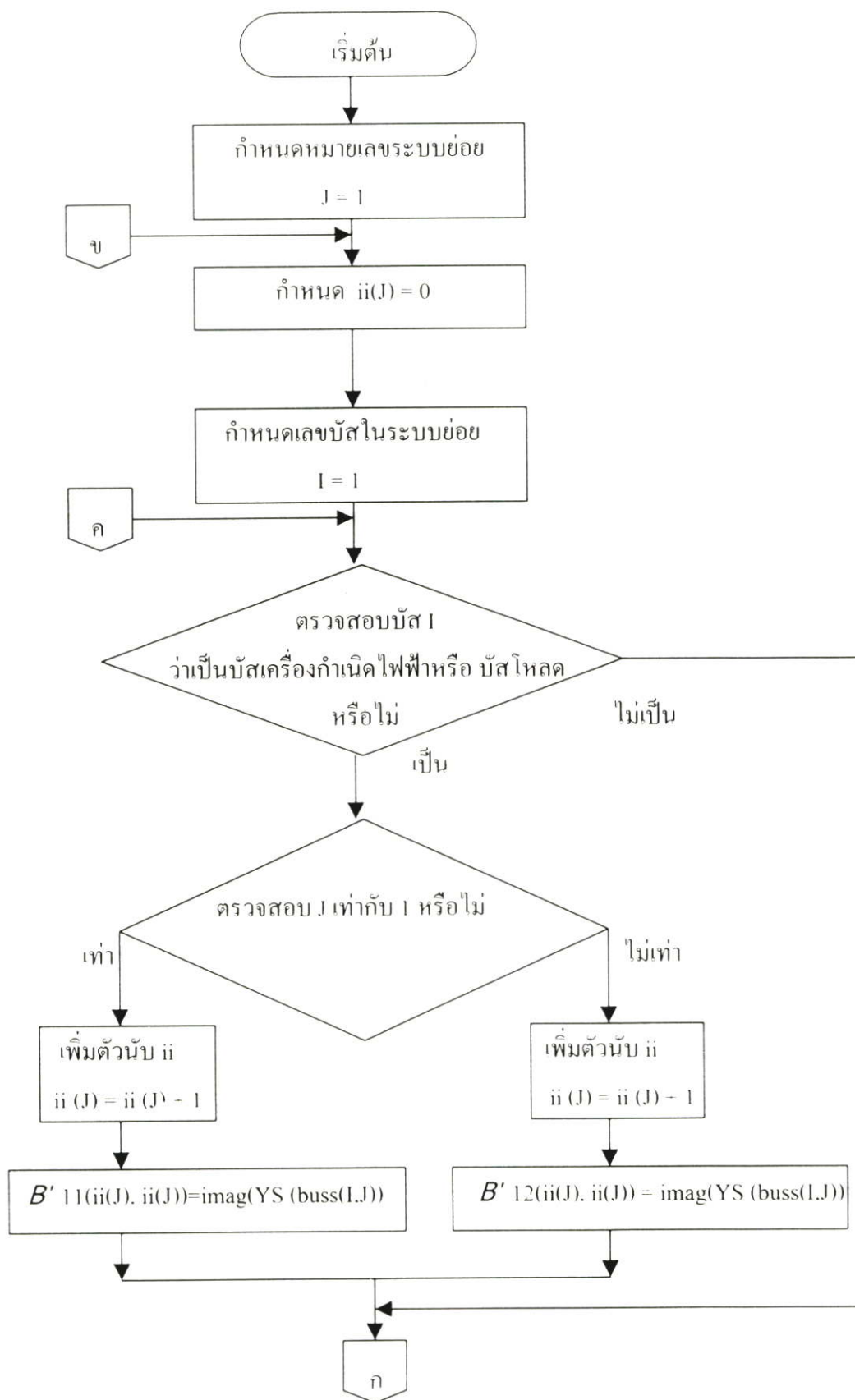
รูปที่ ผ.5.6 แผนผังแสดงการทำ self admittance (ต่อ)



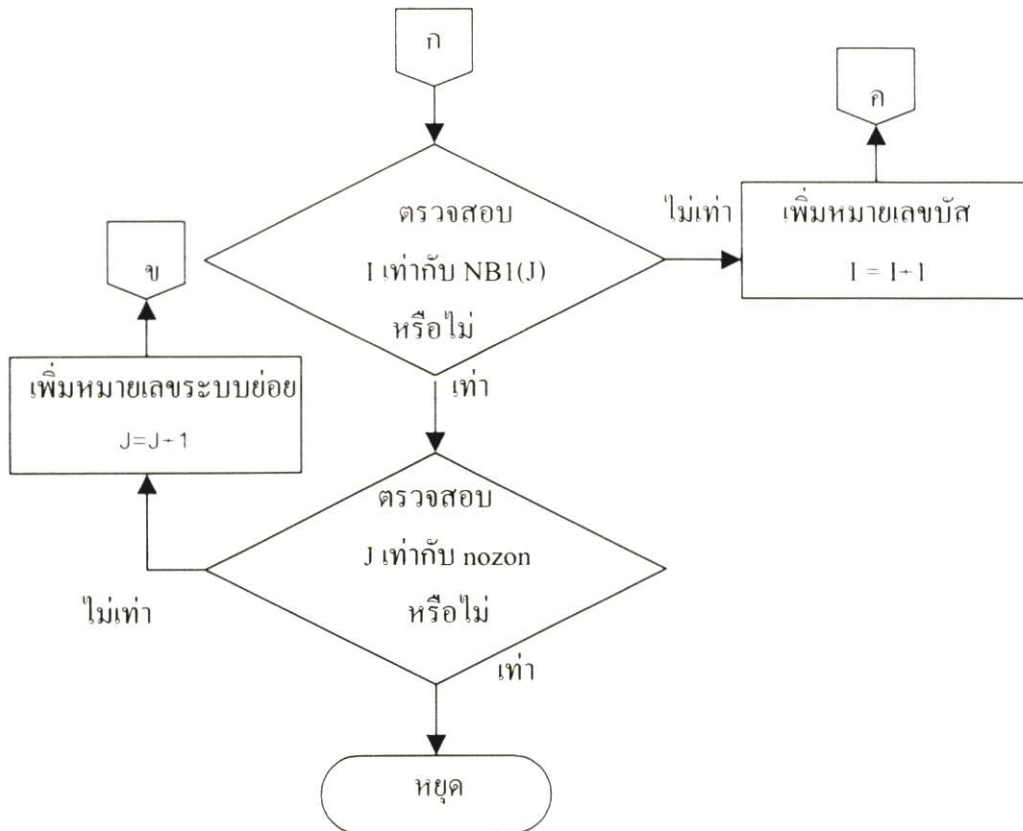
รูปที่ ผ.5.7 แผนผังแสดงการหาจำนวนบัสที่ไม่มีบัสเสถก (NB1) และตัวนับบัสโหลด (NB2) (ต่อ)



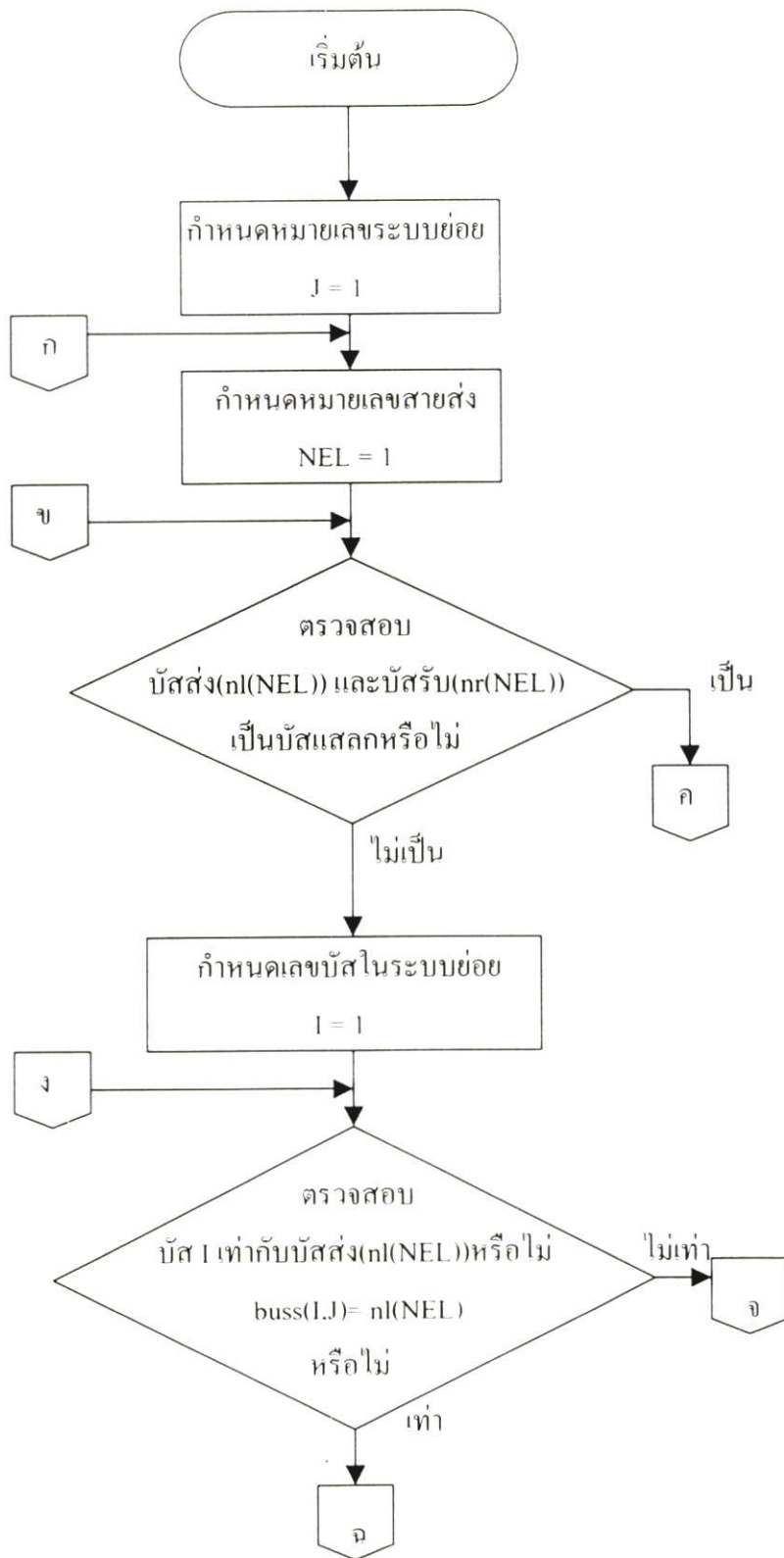
รูปที่ ผ.5.8 แผนผังแสดงการหาตัวนับคัทตาย บัสส่ง และ บัสรับ ของสายคัทตาย



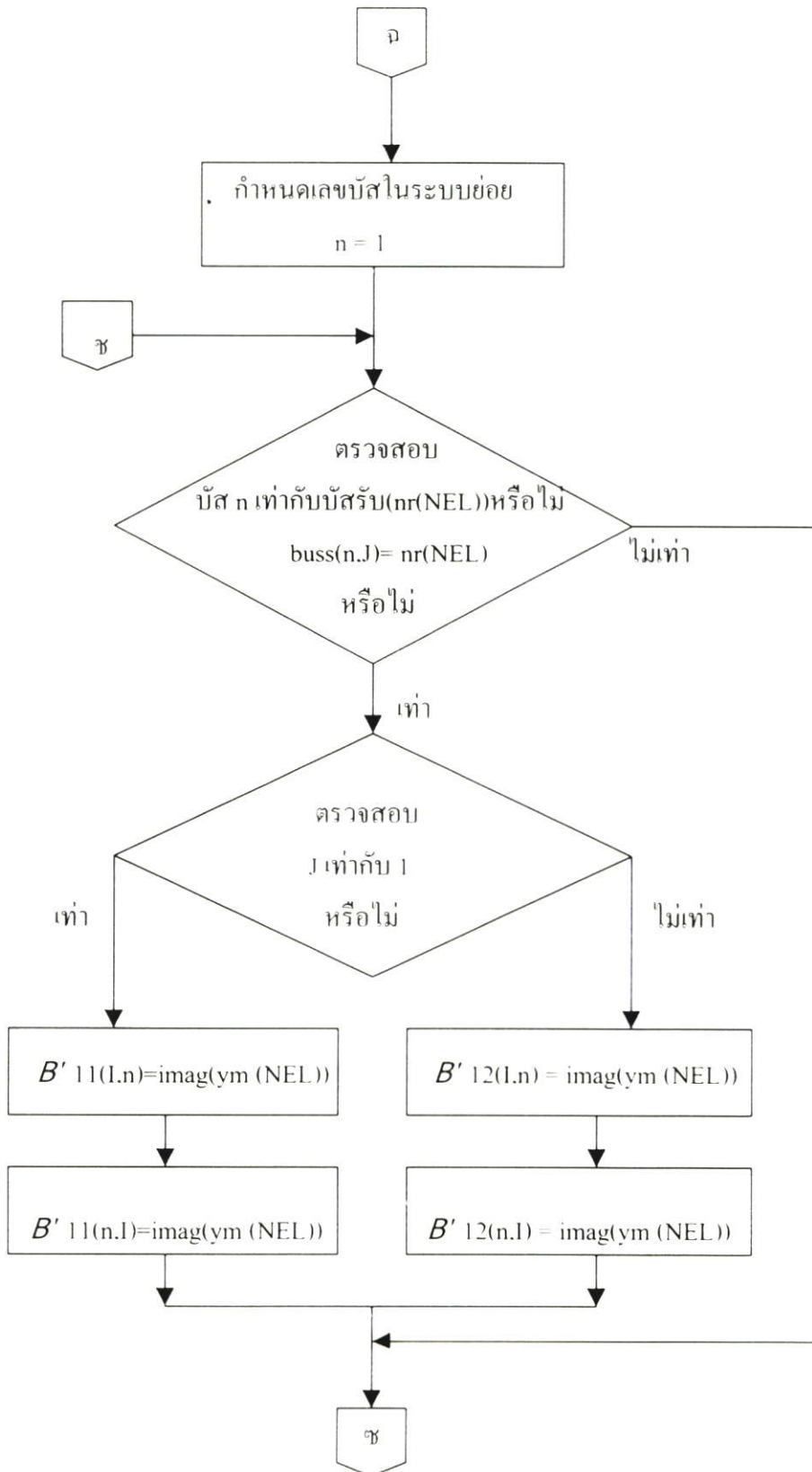
รูปที่ ผ.5.9 แผนผังแสดงการบันทึก self admittance ของแต่ละระบบย่อย ลงใน B'



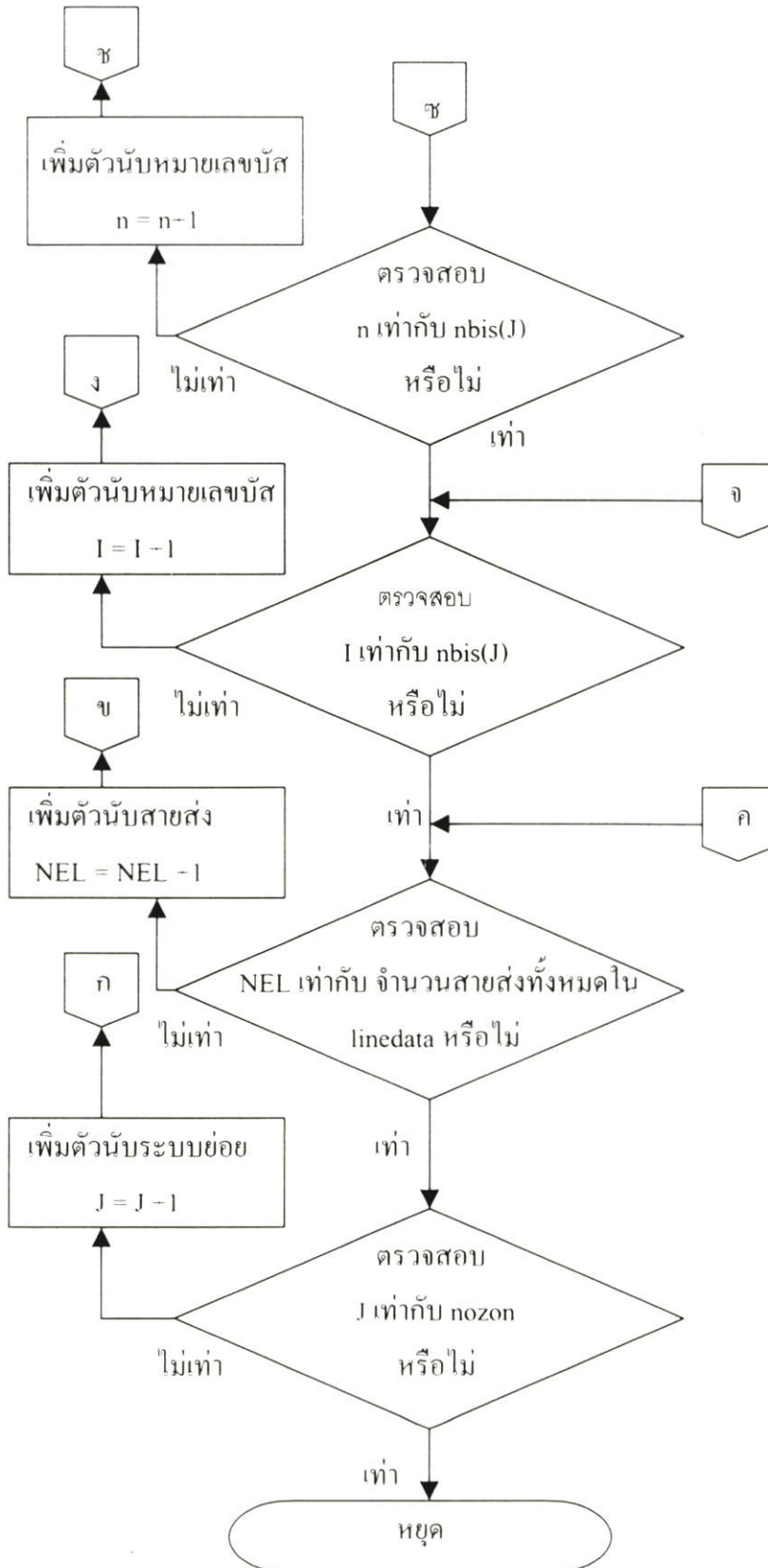
รูปที่ ผ.5.9 แผนผังแสดงการบันทึก self admittance ของแต่ละระบบย่อย ลงใน B' (ต่อ)



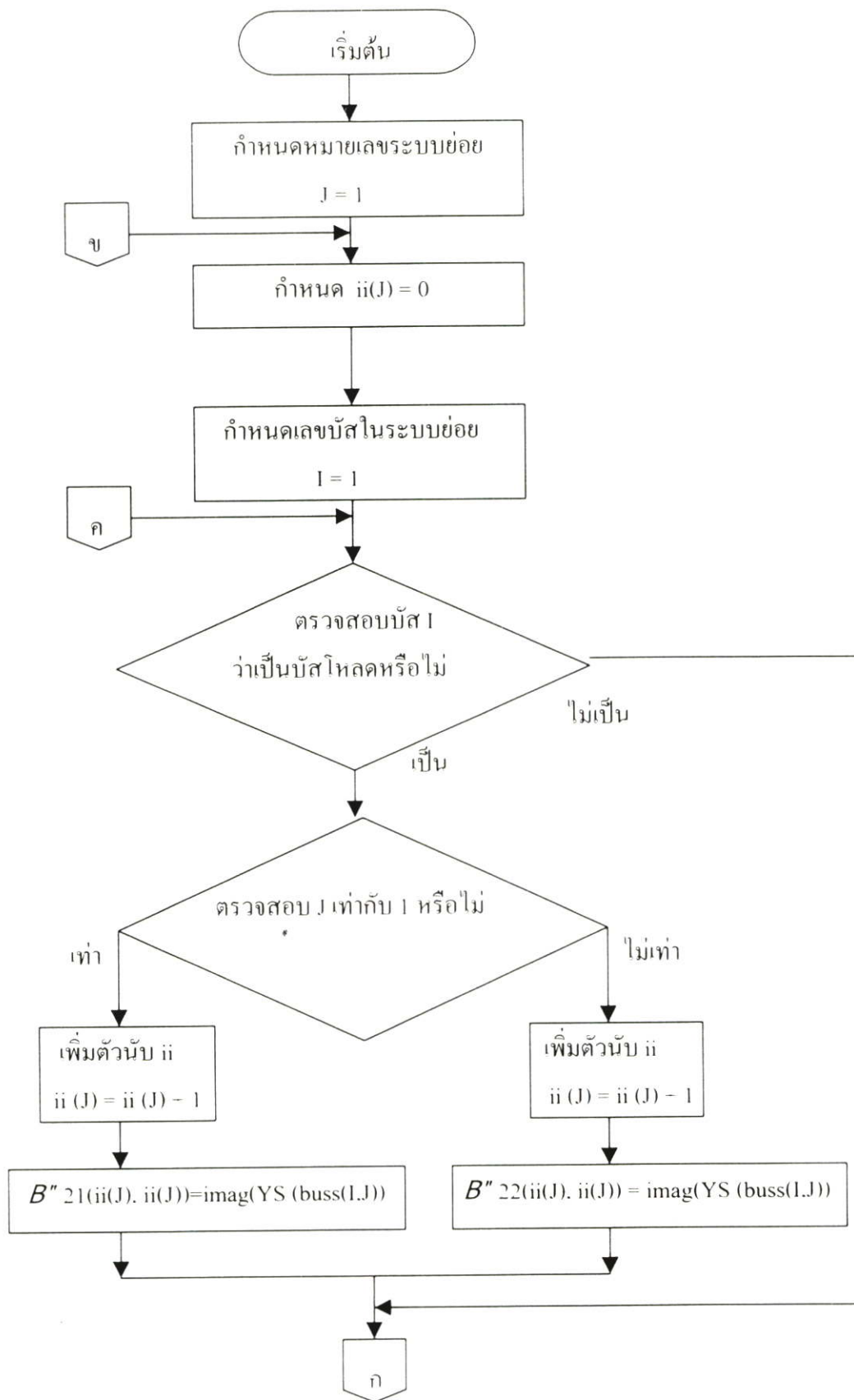
รูปที่ ผ.5.10 แผนผังแสดงการบันทึก mutual admittance ของแต่ละระบบย่อย ลงใน B'



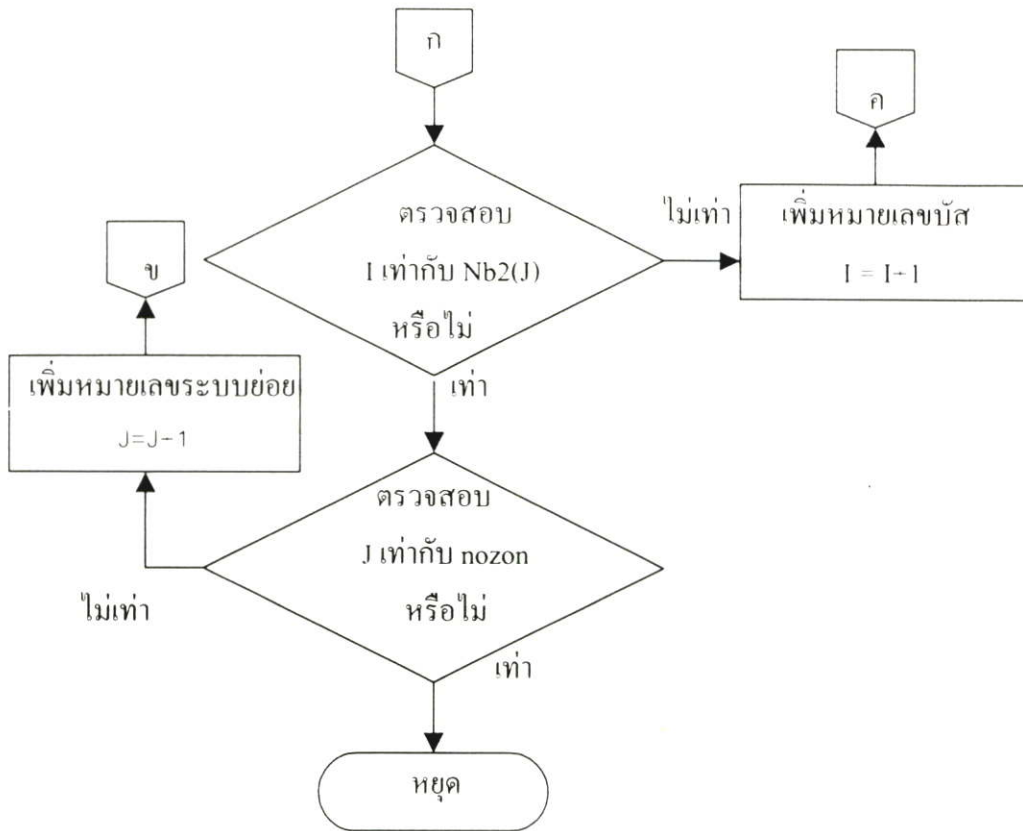
รูปที่ ๕.10 แผนผังแสดงการบันทึก mutual admittance ของแต่ละระบบย่อย ลงใน B' (ต่อ)



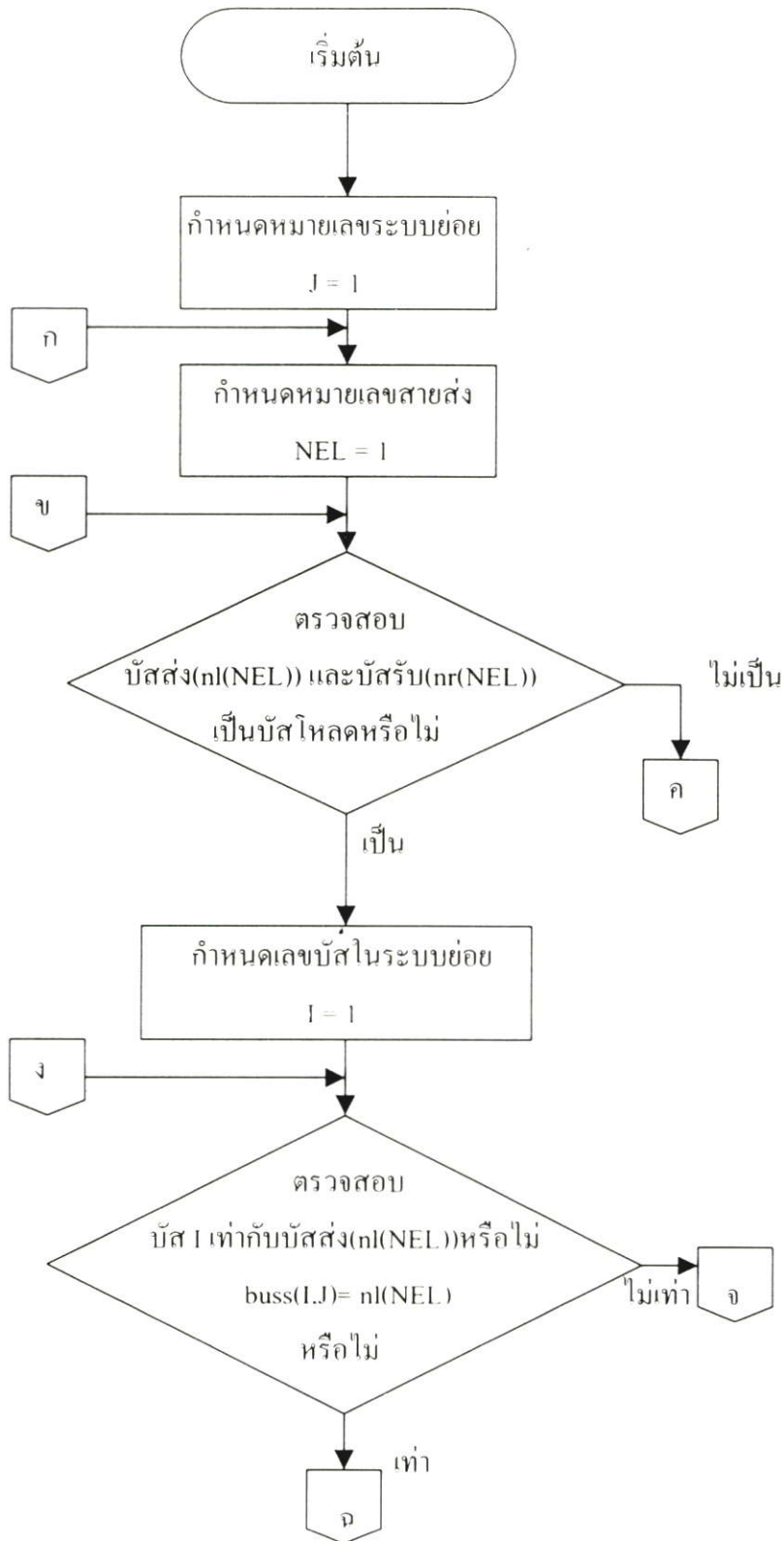
รูปที่ ผ.5.10 แผนผังแสดงการบันทึก mutual admittance ของแต่ละระบบย่อย ลงใน B' (ต่อ)



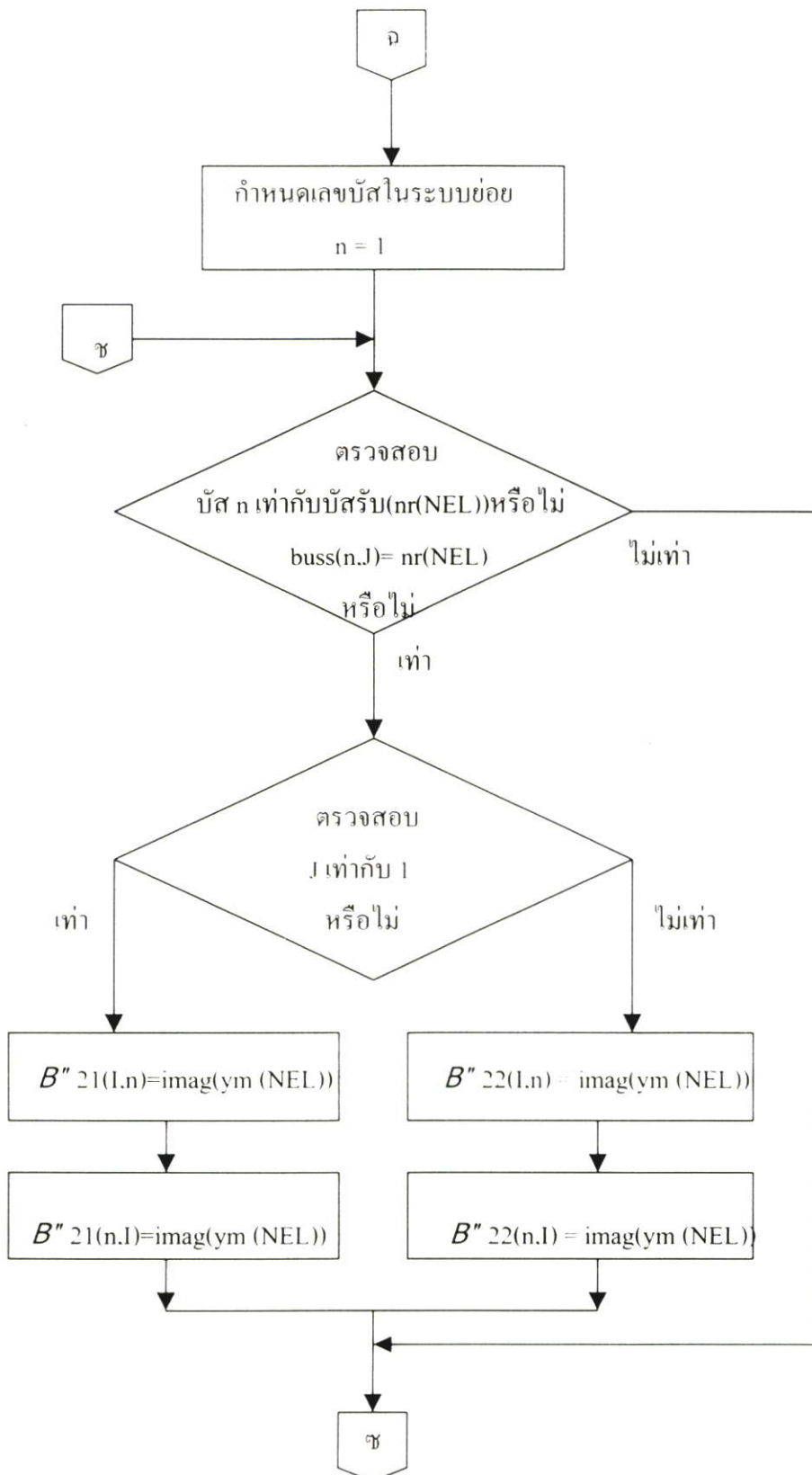
รูปที่ ผ.5.11 แผนผังแสดงการบันทึก self admittance ของแต่ละระบบย่อย ลงใน B''



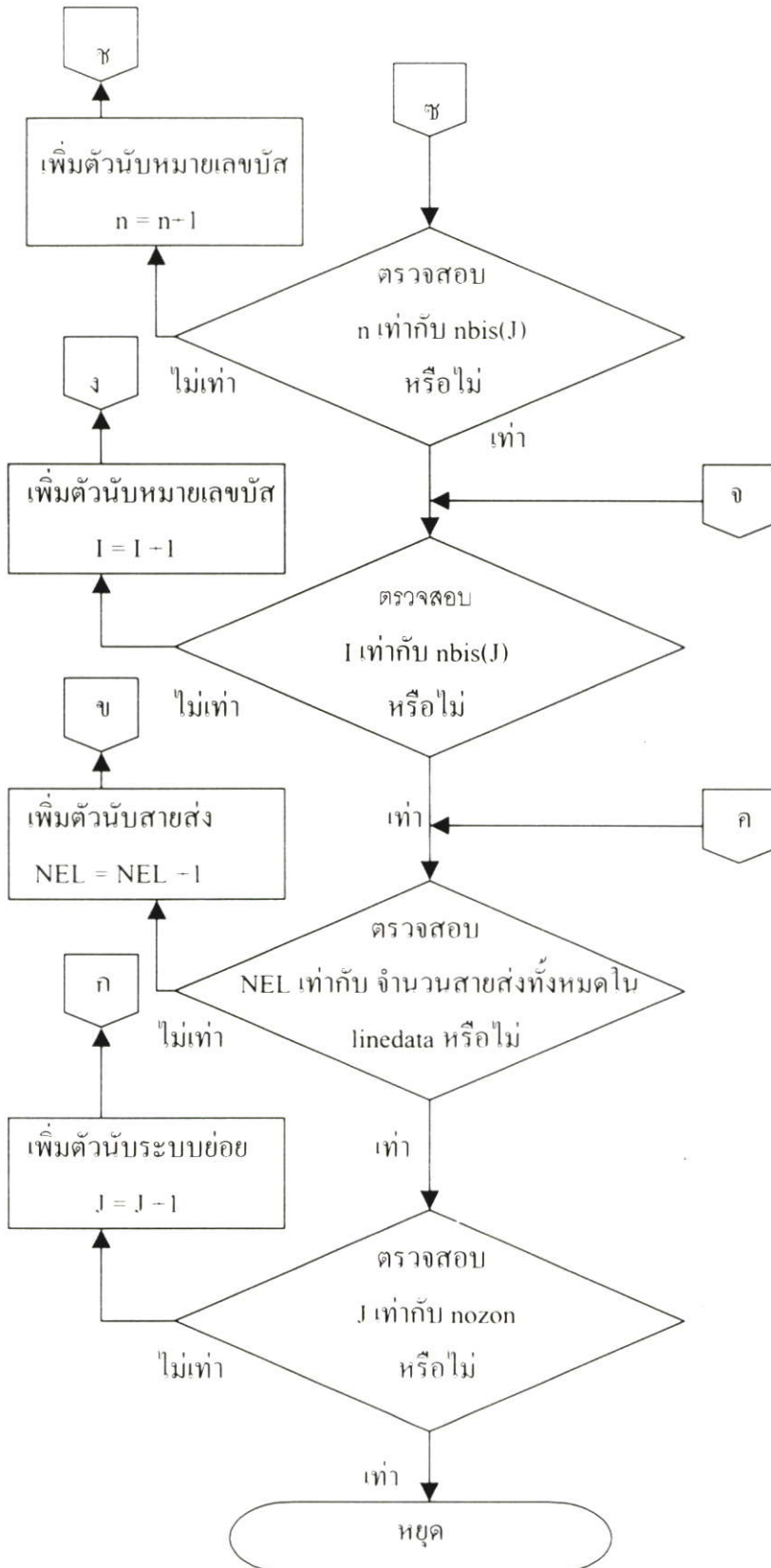
รูปที่ ๕.11 แผนผังแสดงการบันทึก self admittance ของแต่ละระบบย่อย ลงใน B'' (ต่อ)



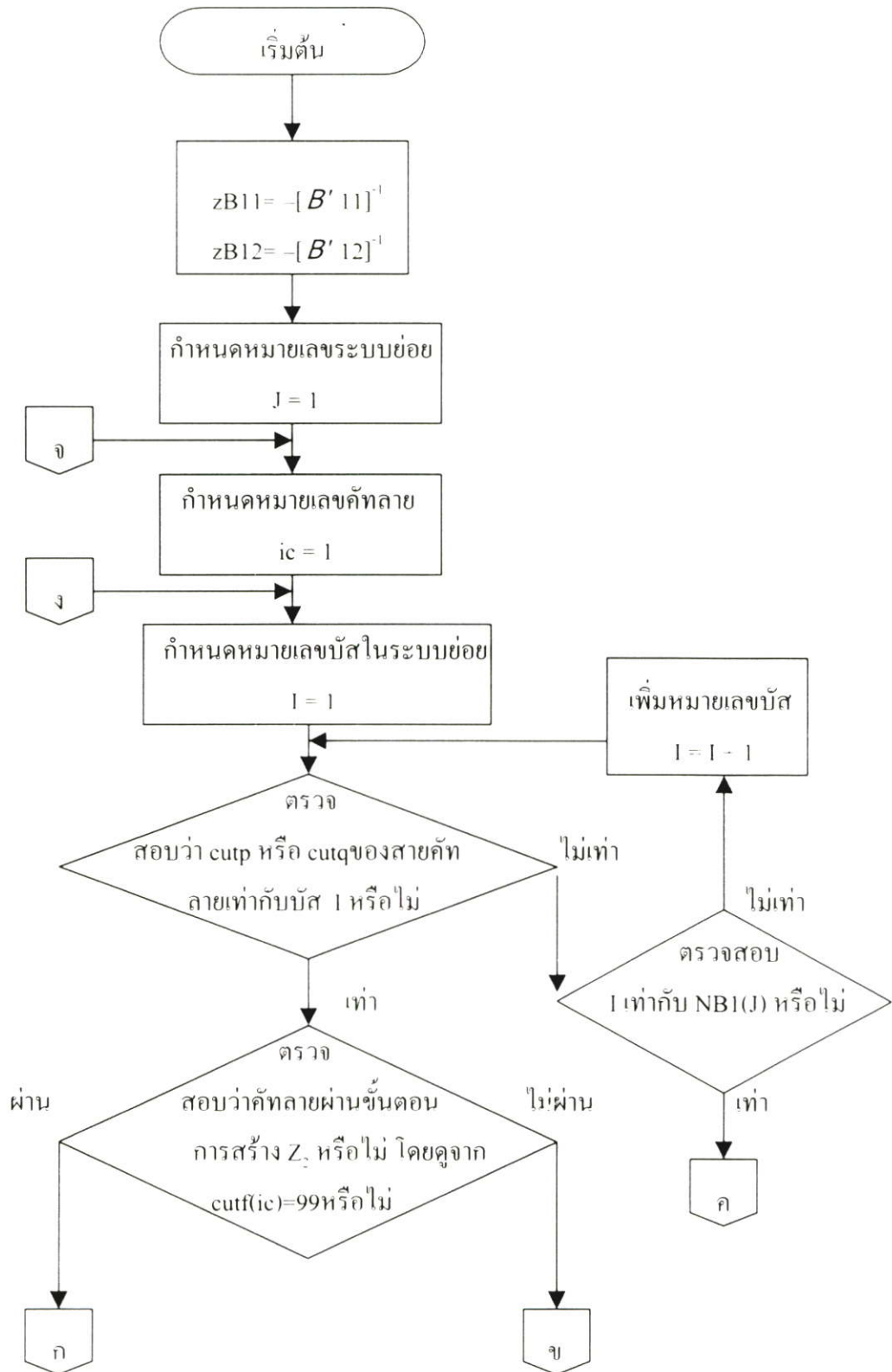
รูปที่ ผ.5.12 แผนผังแสดงการบันทึก mutual admittance ของแต่ละระบบย่อย ลงใน B''



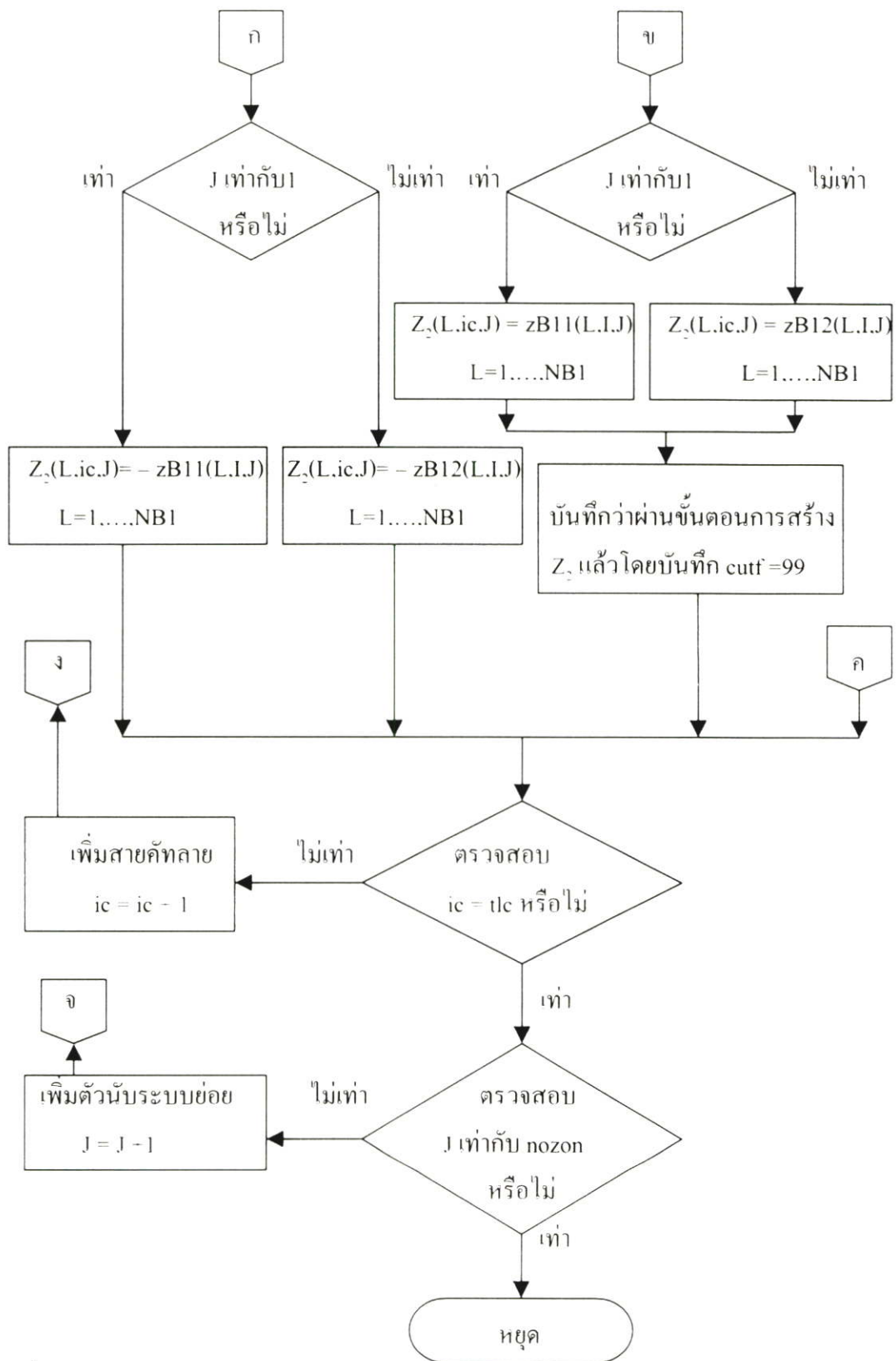
รูปที่ ผ.5.12 แผนผังแสดงการบันทึก mutual admittance ของแต่ละระบบย่อย ลงใน B'' (ต่อ)



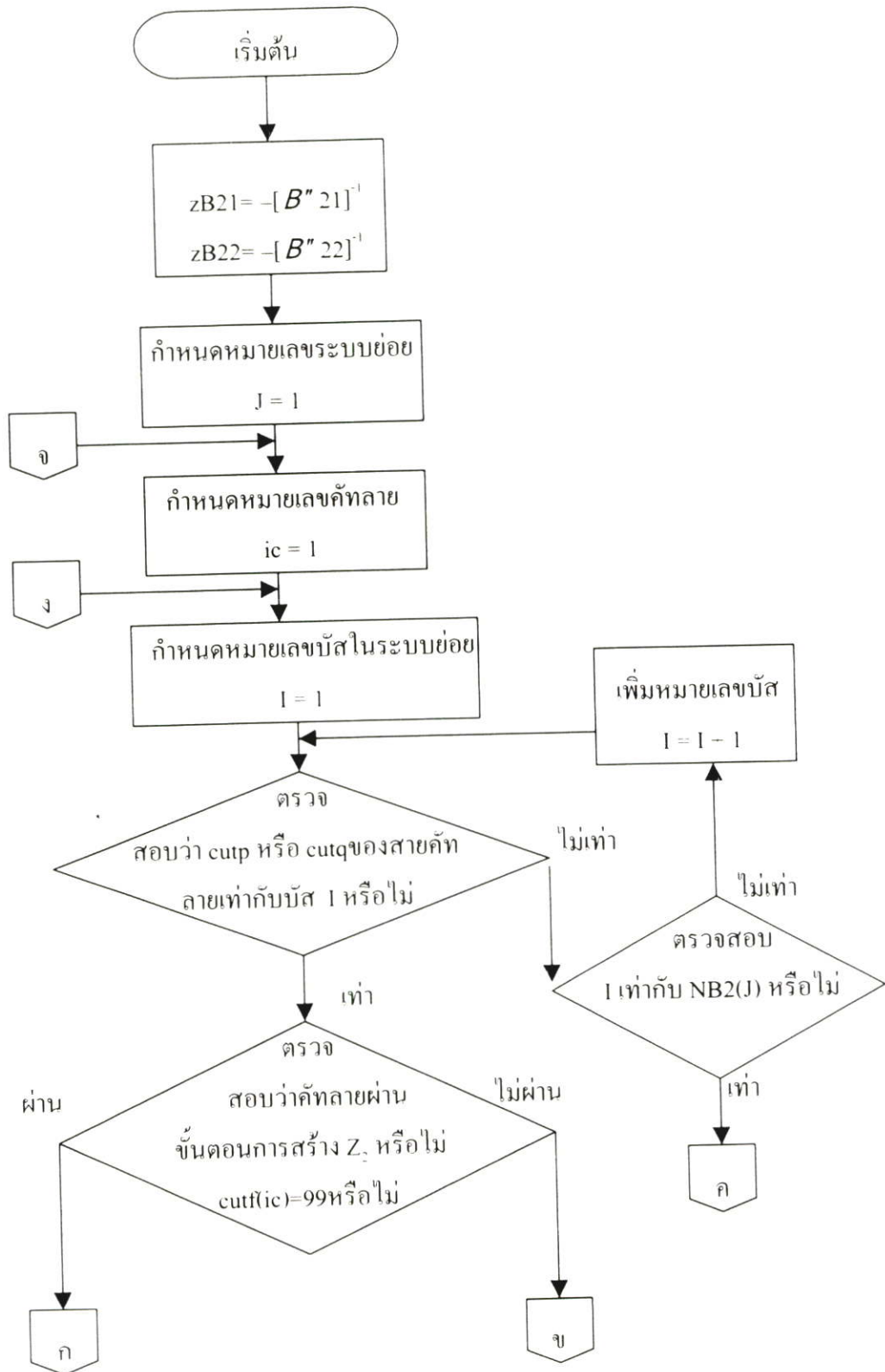
รูปที่ ๕.12 แผนผังแสดงการบันทึก mutual admittance ของแต่ละระบบย่อย ลงใน B'' (ต่อ)



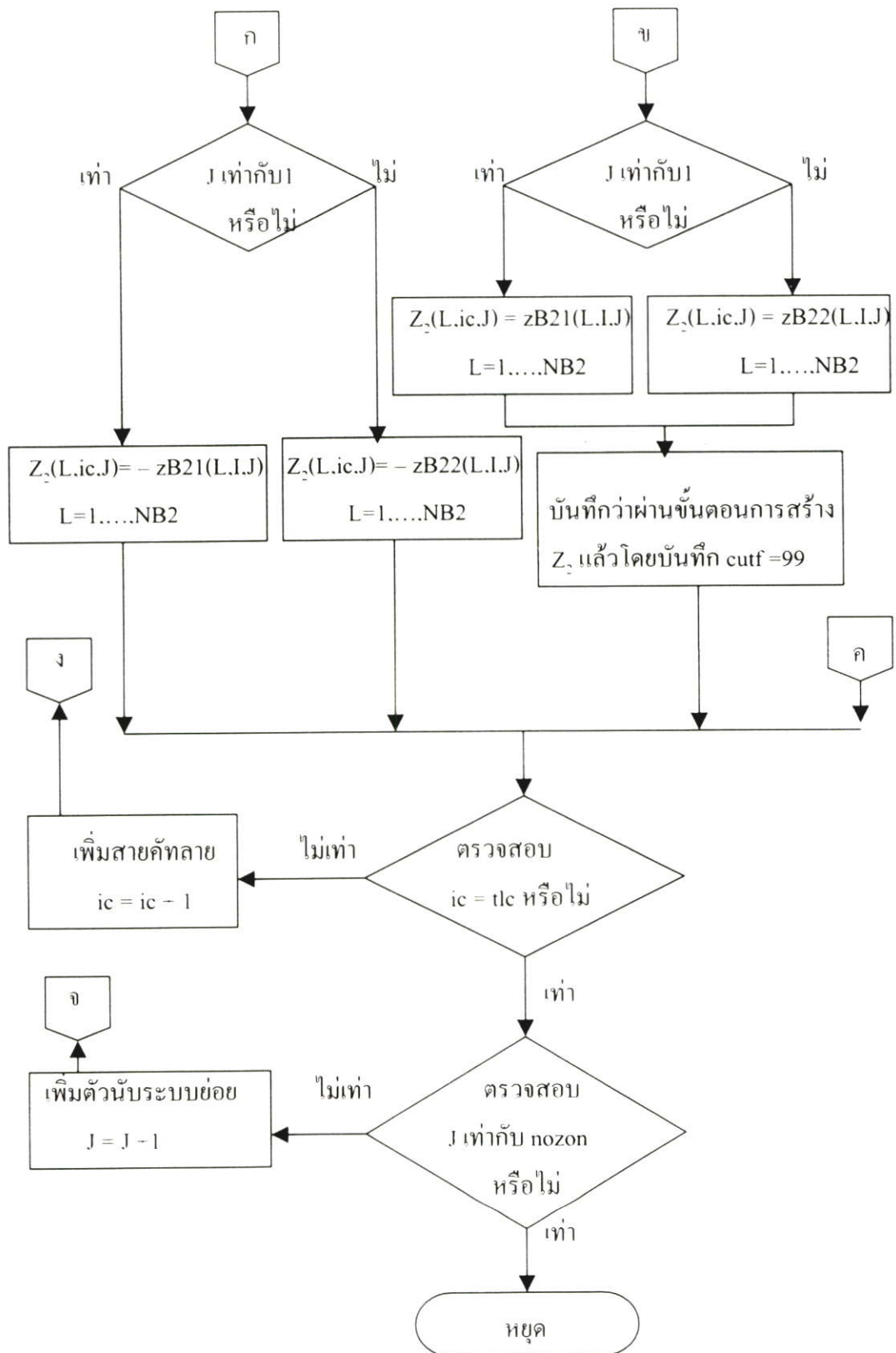
รูปที่ ผ.5.13 แผนผังแสดงการหา Z_2 จาก B'

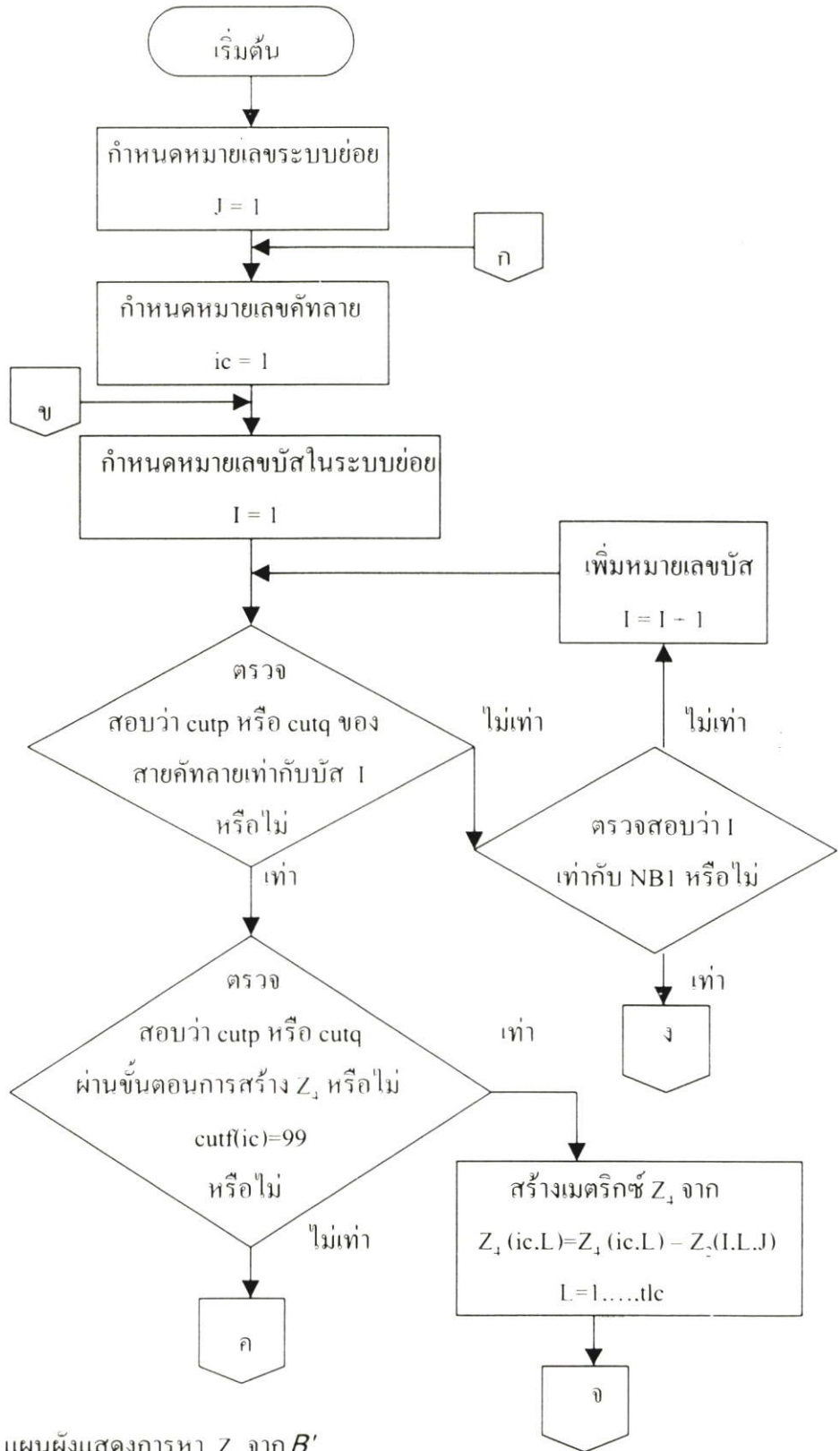


รูปที่ ผ.5.13 แผนผังแสดงการหา Z₂ จาก B' (ต่อ)

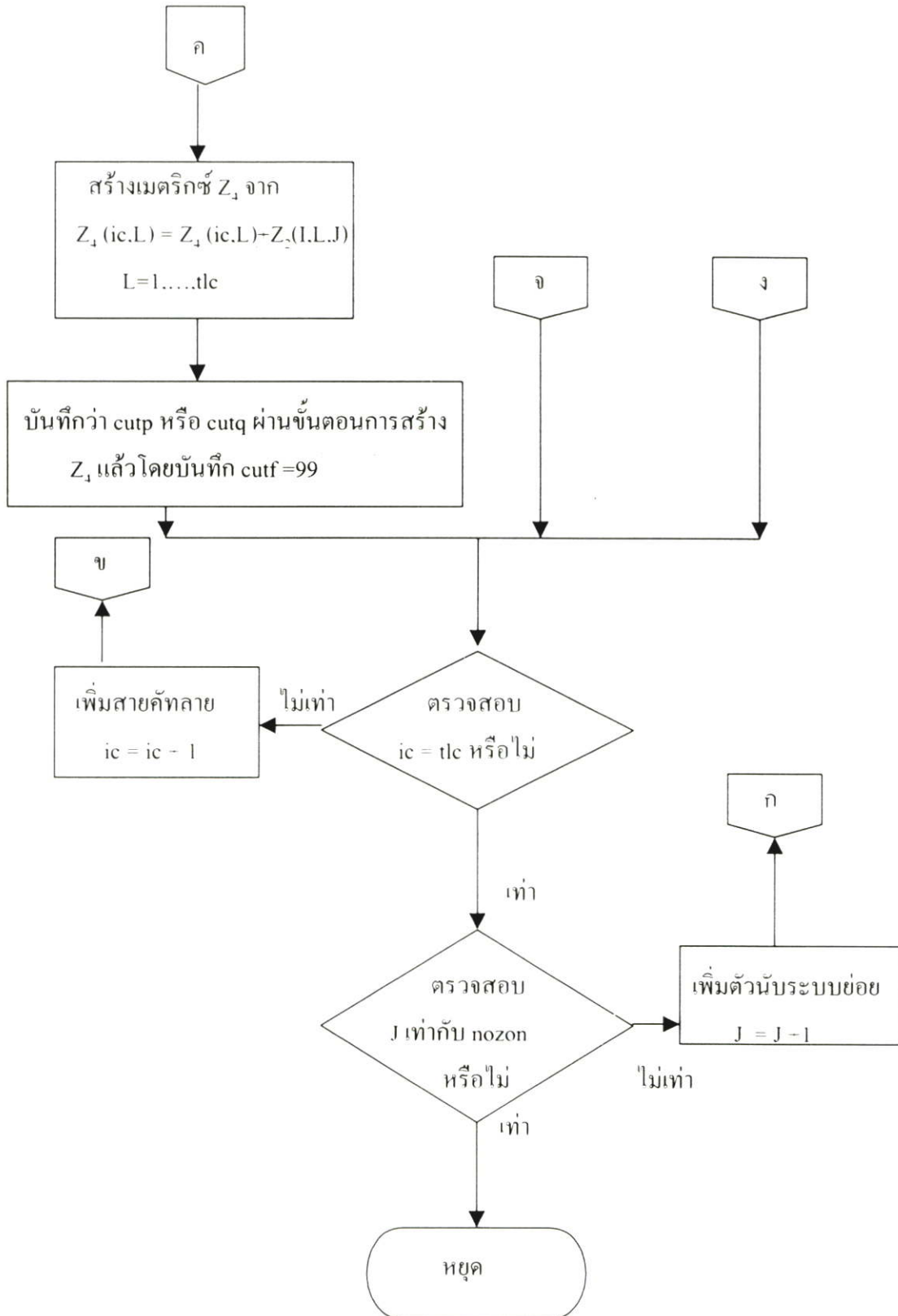


รูปที่ ผ.5.14 แผนผังแสดงการหา Z_2 จาก B''

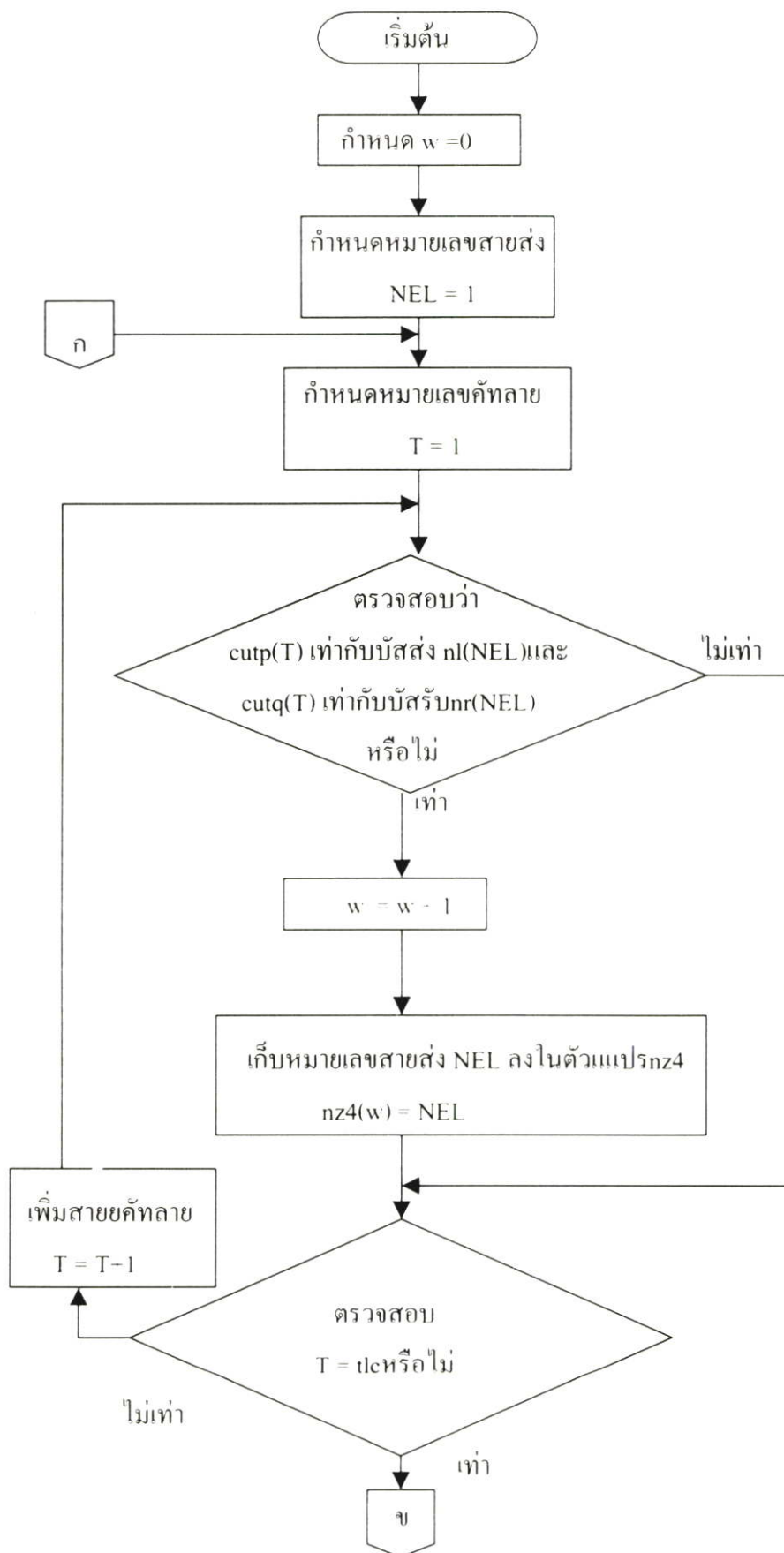
รูปที่ ผ.5.14 แผนผังแสดงการหา Z_2 จาก B'' (ต่อ)



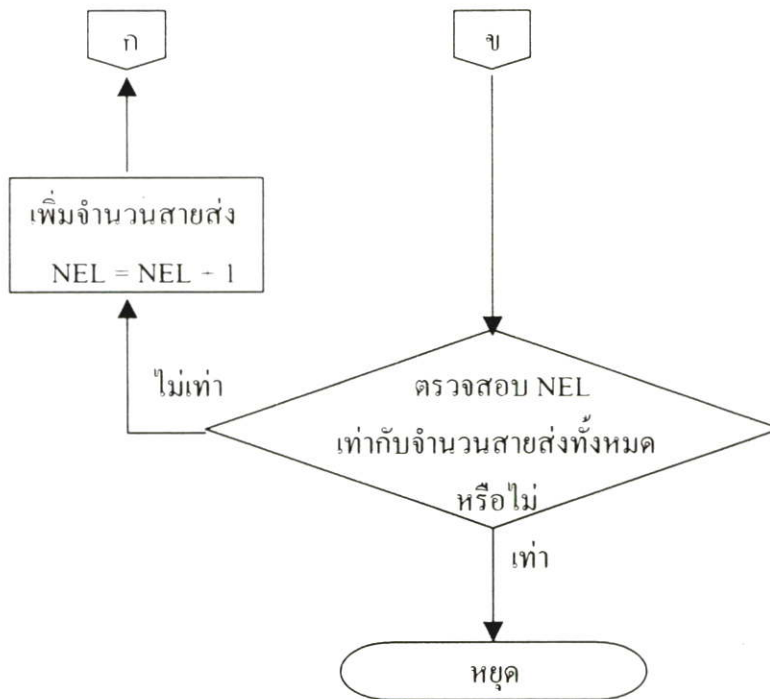
รูปที่ ผ.5.15 แผนผังแสดงการหา Z_j จาก B'



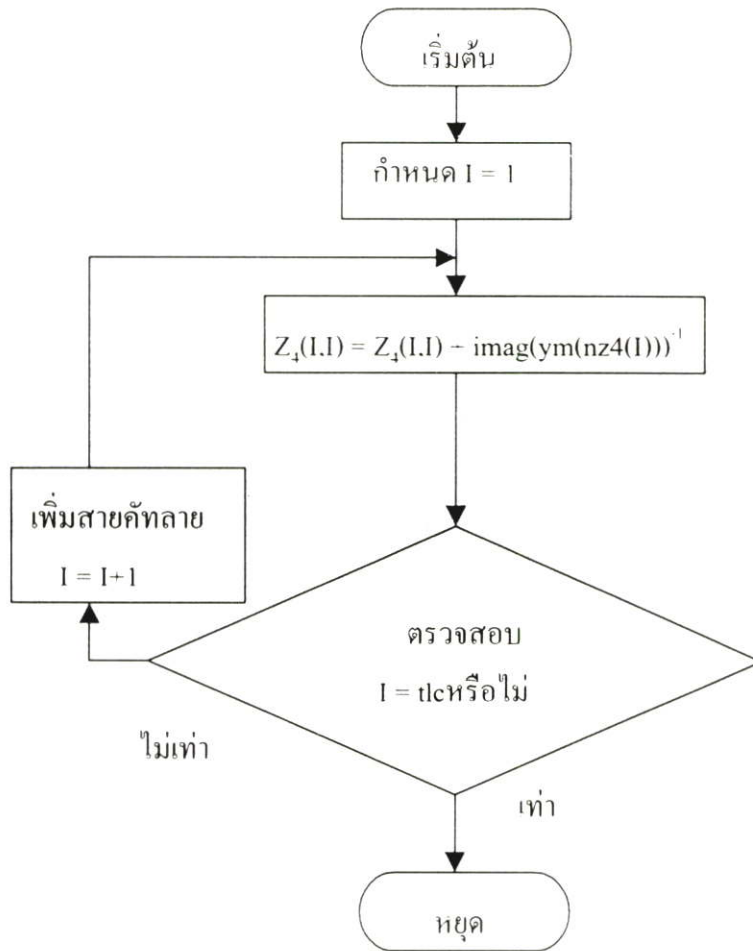
รูปที่ ผ.5.15 แผนผังแสดงการหา Z_1 จาก B' (ต่อ)



รูปที่ ผ.5.16 แผนผังแสดงการหา NEL ของ สายคัททลาย



รูปที่ ผ.5.16 แผนผังแสดงการหา NEL ของ สายคัทปลาย (ต่อ)



รูปที่ ผ.5.17 แผนผังแสดงการรวมสายคัทล่ายลงใน Z_4 ตามแนวทแยงมุม

ภาคผนวก จ.
บทความที่ได้รับตีพิมพ์



ISSN 0125-1724

วิศวกรรม

ลาดกระบัง

คณะวิศวกรรมศาสตร์ สถาบันเทคโนโลยีพระจอมเกล้าเจ้าคุณทหารลาดกระบัง

LADKRABANG ENGINEERING JOURNAL

ปีที่ 19 ฉบับที่ 2

มิถุนายน 2545

1. การวิเคราะห์ค่ากำลังไฟฟ้าผิดเพี้ยนเนื่องจากภาระไม่เป็นเชิงเส้น
ประภาพรรณ เคลือบวินด์รีตม์ สุลี บรรจงจิตร บุญเลิศ สือเจย ปัญญา มาลีวัตร 1
2. การจำลองสภาพวัฏจักรโหลดเพื่อศึกษาค่าพลังงานไฟฟ้าสูญเสียและอายุการใช้งานของหม้อแปลงแบบ斬น้ำมัน
สิริวิช ทัดสวน อวิชชัย ธรรมประสิทธิ์ วิจิตร กิณเรศ สุลี บรรจงจิตร บุญเลิศ สือเจย 7
3. การเปรียบเทียบวงจรคอนเวอร์เตอร์แบบเลื่อนเฟส FB-ZVS-PWM กับคอนเวอร์เตอร์แบบเลื่อนเฟส FB-ZVS-PWM ที่ใช้
ตัวเหนี่ยวนำอิมิตัว
จิรศักดิ์ ส่งบุญแก้ว วุฒิพันธ์ ศิลปวรรณวิวัฒน์ อนุวัฒน์ จางวนิชเลิศ 13
4. ชุดจำลองโหลดทางกลเพื่อการทดสอบสมรรถนะของพัดดับลิวี่เอ็มอินเวอร์เตอร์ขับเคลื่อนมอเตอร์เหนี่ยวนำ
ธำรงค์ศักดิ์ ศรีวิเศษ วิจิตร กิณเรศ 19
5. การวิเคราะห์โหลดไฟลว์ ด้วยวิธีฟาสต์ดีคิปปเบิล โดยใช้เทคนิคสเปซเวกเตอร์ และการแยกส่วนย่อยแบบปรับปรุง
พรสิน ชัยศิริพงษ์ มณฑล ลีลาจินดาไกรฤกษ์ 25
6. การวิเคราะห์อายุการใช้งานของมอเตอร์เหนี่ยวนำเมื่อมีผลกระทบจากแหล่งจ่ายที่ไม่ใช่รูปคลื่นไซน์
สุทัศน์ พิลา สุลี บรรจงจิตร บุญเลิศ สือเจย ปัญญา มาลีวัตร 31
7. TCSC ในมุมมองของการปรับลดราคาตลาดของไฟฟ้า
สุนทร ฝ้ายหมื่นไวย สุลี บรรจงจิตร นิตศัน กฤษณจินดา วิมลแซ วงศ์ละสิข 37
8. การศึกษาผลกระทบสิ่งแวดล้อมต่อเชื้อเพลิงดีเซลสมรรถนะของหัวเผาน้ำมันมะพร้าว
จาร์วัตร เจริญสุข สนธยา มิเลียง 43
9. การเปรียบเทียบสมรรถนะของหัวเผาน้ำมันพืชเพื่อนำไปใช้ประโยชน์ในครัวเรือน
จาร์วัตร เจริญสุข สุรัชย์ จึงจตุพชัย 49
10. โปรแกรมคอมพิวเตอร์เพื่อคำนวณหาเวลาในการฆ่าเชื้ออาหารกระป๋อง
พิมพ์เพ็ญ พรเฉลิมพงศ์ คำเกิง ไตประเสริฐพงศ์ วรินทร์ วิโรจน์วารุรักษ์ อรบุษ พันธโมลี วันชัย สุทธิบุญ 55
11. การออกแบบวงจรกรองสัญญาณมีฐานด้วยซิมอส
อังคณา จารุวาระกุล กอบชัย เดชหาญ 61
12. วงจรบูตสเตรป ไซมอส อินเวอร์เตอร์ ทำงานแบบเต็มย่านที่คิกคาไฟเลี้ยง 1 โวลท์
คำมอญ คงสมบูรณ์ กอบชัย เดชหาญ เอกกมล นิลอาษา 65
13. การออกแบบวงจรบูตสเตรป ไซมอส ทำงานที่ระดับแรงดันไฟเลี้ยงต่ำ
ศิริวัฒน์ ลิ้มไพบูลย์ กอบชัย เดชหาญ ชัยวุฒิ อาริย์พัฒนกุล สุชาติ คุณทวีเทพ 70
14. วงจรบูตสเตรปไซมอสไดรสเตอร์เพอร์ความเร็วสูง
ทวิช ชูเมือง กอบชัย เดชหาญ พิเศษ ไรจน์ทองคำ สุชาติ คุณทวีเทพ 76
15. วงจรออสซิลเลเตอร์ที่ปรับค่าความถี่ได้ด้วยแรงดันไฟฟ้าย่านความถี่ 700MHz-1.2GHz ด้วยสายส่งไมโครสตรูป
ยงยุทธ พิมพ์จำปา สมยศ จุณณะปิยะ 81
16. การออกแบบวงจรกรองสัญญาณเชิงเส้นแบบหลายแถบความถี่ที่เหมาะสมโดยให้เทคนิคสไปนทรานซิสชันฟังก์ชัน
ศรวดีณ์ ชิวปริษา กอบชัย เดชหาญ พลิกดิ์ เสนีย์วงศ์ ณ อยุธยา 87
17. การสร้างตัวกรองเชิงเลขแบบไบควอด
สุทธิร์ ประดับเพ็ชร วัชรพงศ์ หินจิตร สุรพันธ์ ภิรมย์ กอบชัย เดชหาญ 93
18. การกำจัดฮาร์โมนิกที่ไม่ต้องการของดิจิตอลคอมพิวเตอรโดยโมเมนต์การกร
เพ็ญฤดี ตั้งสมรพงษ์ ฟูศักดิ์ ชิวสุวิทย์ 99
19. การแบ่งส่วนภาพโดยทฤษฎีการแบ่งภาพจากการต่อแบบหลายความละเอียดที่ผ่านการรักษาขอบแบบปรับเรียบ
พรพจน์ โพธิ์พงษ์ศิริวัฒน์ ฟูศักดิ์ ชิวสุวิทย์ 105
20. การออกแบบระบบเชื่อมต่อข้อมูลแบบจุดต่อจุดผ่านเครือข่าย SDH
ไพโรจน์ หาดอาน กอบชัย เดชหาญ 111
21. การวิเคราะห์ระบบเครือข่ายไร้สายที่ใช้การมอดูเลตแบบ GMSK
พิเชษฐ ร่วมสมัคร์ สุรพล บุญจันทร์ เกียรติกร วงศ์โรจน์ภรณ์ สุวิมล สิทธิชีวภาค 117

การวิเคราะห์โหลดฟลว์ ด้วยวิธีฟาสต์ดีคัปเปิ้ล โดยใช้เทคนิค สเปซเมตริกซ์ และการแยก ส่วนย่อยแบบปรับปรุง Applications of Modified Sparse Matrix and Piecewise Solution for Fast Decoupled Load Flow

พรสิน ชัยศิริพงษ์ มณฑล ลีลาจินดาไกรฤกษ์

ภาควิชาวิศวกรรมไฟฟ้า คณะวิศวกรรมศาสตร์ สถาบันเทคโนโลยีพระจอมเกล้าเจ้าคุณทหารลาดกระบัง

บทคัดย่อ

บทความวิจัยนี้เป็นการปรับปรุงวิธีการวิเคราะห์โหลดฟลว์ด้วยวิธีฟาสต์ดีคัปเปิ้ล โดยใช้เทคนิคสเปซเมตริกซ์ และการแยกส่วนย่อย โดยในส่วนเทคนิคสเปซเมตริกซ์ได้ใช้วิธีการจัดเก็บแอดมิแดนซ์เมตริกซ์ในลักษณะของอะเรย์หนึ่งมิติ จากนั้นทำการคำนวณหาผลลัพธ์ของทุกๆส่วนย่อย แล้วนำผลลัพธ์ของส่วนย่อยทั้งหมดมารวมเข้าด้วยกัน และได้มีการนำเอาฟังก์ชันสเปซเมตริกซ์มาประยุกต์ใช้กับเทคนิคนี้ ผลที่ได้มีลักษณะการเข้าสู่ค่าตอบ และเหมือนกันกับระบบที่ไม่ได้แบ่งส่วน นอกจากนั้นมันยังสามารถลดการใช้หน่วยความจำในการจัดเก็บเมตริกซ์ของการวิเคราะห์ระบบไฟฟ้ากำลังขนาดใหญ่.

Abstract

This paper presents a method for Applications of Modified Sparse Matrix and Piecewise Solution for Fast Decoupled Load Flow Analysis. In part of Sparse Matrix uses the techniques that try to save admittance in to only one dimension array. when large-scale power system is torn into a number of subdivisions that are solved separately. The results are combined to yield the solution of the total system together with the correction factors to obtain the proper values. The result has the same convergence characteristics and gives the same solution as if the system has never been torn and was solved as whole. Moreover, it can reduce the storing matrix memory in large sized Electric Power System

1. บทนำ

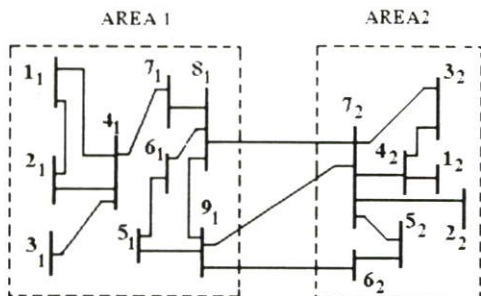
ในปัจจุบันความต้องการไฟฟ้ามีอัตราสูงขึ้น ระบบไฟฟ้ากำลังจึงมีการขยายระบบขึ้นตามมา ทำให้ความจำเป็นที่จะต้องวางแผนในส่วน of ระบบไฟฟ้ากำลังซึ่ง อาจใช้วิธีของเกาส์-เกาส์-ไซเดล นิวตัน-ราฟสันหรือพัฒนาโดยการนำวิธีแยกส่วนย่อยมาใช้ วิธีการแยกส่วนย่อยจัดว่ามีบทบาทสำคัญในการคำนวณระบบไฟฟ้ากำลังที่มีขนาดใหญ่ ดังนั้นบทความวิจัยนี้

จึงได้นำเสนอการปรับปรุงวิธีการแยกส่วนย่อย โดยการนำเทคนิคสเปซเมตริกซ์มาใช้ โดยใช้การบันทึกแอดมิแดนซ์เมตริกซ์ ด้วยเมตริกซ์อะเรย์หนึ่งมิติ แทนการจัดเก็บแบบเดิมที่ใช้สองมิติ และนำวิธีฟาสต์ดีคัปเปิ้ล มาช่วยลดขนาดของจาโคเบียนเมตริกซ์อีกต่อหนึ่ง หลังจากใช้วิธีแยกส่วนย่อยลดขนาดจาโคเบียนเมตริกซ์แล้ว ทำให้สามารถแก้ปัญหาของโปรแกรม

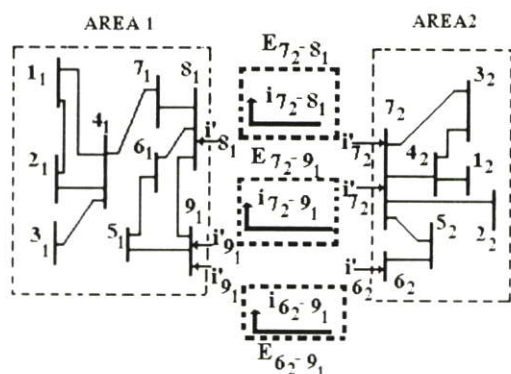
แผนที่แบบที่มีปัญหาต่อการคำนวณระบบไฟฟ้ากำลังขนาดใหญ่

2. ทฤษฎี และหลักการ

2.1 สมการแยกส่วนย่อย(Piecewise Solution)[1,2]



รูปที่ 1 การแบ่งส่วน ระบบ 16 บัส



รูปที่ 2 แสดงกระแส และ แรงดันสมมูลย์ระหว่าง 2

โซน

จากรูปที่ 2 เขียนสมการเวกเตอร์แสดงความสัมพันธ์ระหว่างทิศทางกระแสสมมูลย์หรือกระแสที่ไหลเข้าบัส และ กระแสคัทลายน ได้ว่า

$$i'_A = A_C i_C$$

(1)

โดยที่ i'_A คือ กระแสสมมูลย์ที่ไหลเข้าแต่ละบัส

i_C คือกระแสคัทลายน ตัวอย่างเช่น จากรูปที่2 คือ

$$i_{7_2-8_1}, i_{7_2-9_1} \text{ และ } i_{6_2-9_1}$$

A_C คือทิศทางของกระแสคัทลายนเมื่อเทียบกับทิศทางของกระแสสมมูลย์

และ สามารถเขียนสมการเวกเตอร์แรงดันสมมูลย์ที่ถูกแยกระหว่างโซน ได้ว่า

$$E_C = -A_C^T E_A \tag{2}$$

โดยที่ E_C คือแรงดันสมมูลย์ที่คัทลายน

E_A คือแรงดันคร่อมของระบบย่อย Area1 และ Area2

สามารถเขียนสมการของกระแสที่ไหลเข้าในแต่บัสคือ

$$Y_A E_A = i_A + i'_A$$

$$E_A = Z_A i_A + Z_A i'_A \tag{3}$$

แทนค่า i'_A จากสมการที่ (1)ลงในสมการที่ (3)

$$E_A = Z_A i_A + Z_A A_C i_C \tag{4}$$

แรงดันสมมูลย์และกระแสสมมูลย์ที่ถูกคัทลายนระหว่างโซนทั้งสองสามารถเขียนในรูปทั่วไปได้ว่า

$$E_C = Z_C i_C \tag{5}$$

โดยที่ Z_C คือบัสต่อบัสแดนที่ที่ถูกคัทลายน

แทนสมการ(5)ลงในสมการที่ (2)

$$Z_C i_C = -A_C^T E_A \tag{6}$$

แทนสมการที่ (3)ลงในสมการที่ (6)

$$0 = A_C^T Z_A i_A + [A_C^T Z_A A_C + Z_C] i_C \tag{7}$$

จากสมการ(4)และ(7)

$$\begin{bmatrix} E_A \\ 0 \end{bmatrix} = \begin{bmatrix} Z_A & Z_A A_C \\ A_C^T Z_A & A_C^T Z_A A_C + Z_C \end{bmatrix} \begin{bmatrix} i_A \\ i_C \end{bmatrix}$$

กำหนดให้

$$Z_1 = Z_A \tag{8}$$

$$Z_2 = Z_A A_C \tag{9}$$

$$Z_3 = A_C^T Z_A \tag{10}$$

$$Z_4 = A_C^T Z_A A_C + Z_C \tag{11}$$

จากสมการที่ (2),(7)และ (11) เขียนสมการกระแส i_C ได้ว่า

$$i_C = Z_4^{-1} [E_L] \tag{12}$$

2.2 ทฤษฎี การวิเคราะห์ด้วยวิธีฟาสตคัพเปิ้ล[3]

การเปลี่ยนแปลงขนาดแรงดันในกำลังไฟฟ้าจริง (real power) ในสายส่งไฟฟ้ามีการเปลี่ยนแปลงน้อยมาก และการเปลี่ยนแปลงมุมในกำลังไฟฟ้าเสมือน (reactive power)แทบจะไม่เปลี่ยนแปลง ดังนั้นสามารถประยุกต์หาผลต่างของมุม และแรงดันได้ดังสมการที่(13)และ(14)

$$\Delta\delta = -[B']^{-1} \frac{\Delta P}{|V_i|} \quad (13)$$

$$\Delta|V| = -[B'']^{-1} \frac{\Delta Q}{|V_i|} \quad (14)$$

ข้อสังเกต $-[B']^{-1}$ และ $-[B'']^{-1}$ เท่ากับ Z_4 ทำให้สามารถหา Z_4 ได้จาก สมการ (11) โดยตรง

2.3 วิธีการของ สเปซเมตริกซ์[4]

วิธีการสเปซเมตริกซ์ ได้นำใช้วิธี one dimension array ด้วยวิธีการต่อไปนี้

ข้อมูลแต่ละสายส่งประกอบด้วยหมายเลขสายส่ง (nl) และหมายเลขบัสรับ(nr) และแต่ละสายส่งที่ป้อนข้อมูลจะมี หมายเลขสายส่ง (NEL) ประจำสายส่ง ดังนั้นการบันทึกค่า mutual admittance(y_m) จะใช้ หมายเลขสายส่ง เป็นตัวแปรย่อยดังนี้

$$y_m(NEL) = 1 / (R(NEL) + jX(NEL)) \quad (15)$$

จากนั้นนำ y_m มาสร้าง self admittance(YS) ได้จากความสัมพันธ์ระหว่าง nl ,nr และ NEL ของ y_m

$$Y_S(nl(NEL)) = -\sum y_m(nl(NEL)) \quad (16)$$

$$Y_S(nr(NEL)) = -\sum y_m(nr(NEL)) \quad (17)$$

ทั้งนี้ y_m และ YS จะถูก จัดเก็บในรูปเมตริกซ์อะเรย์ 1

YS(1)	YS(2)	YS(3)	YS(4)
-------	-------	-------	-------

y _m (1)	y _m (2)	y _m (3)	y _m (4)
--------------------	--------------------	--------------------	--------------------

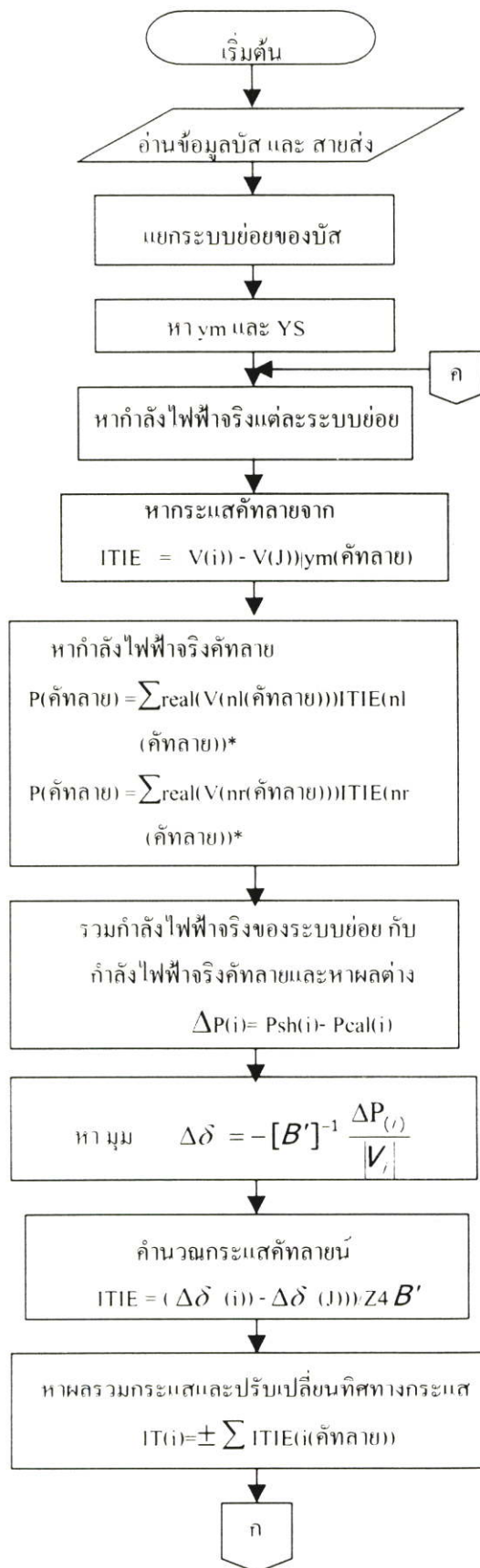
มิติ

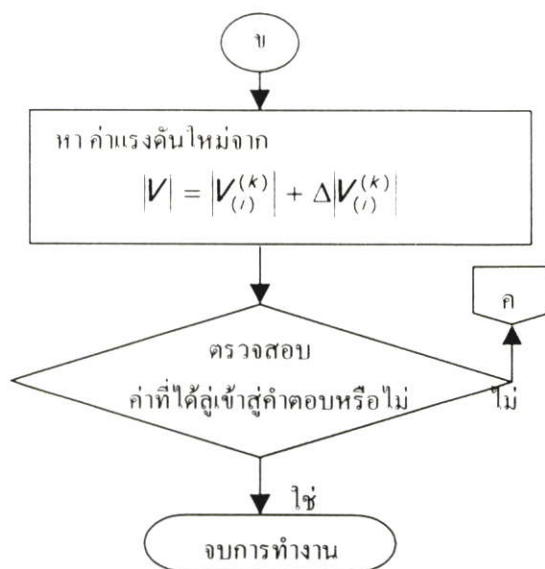
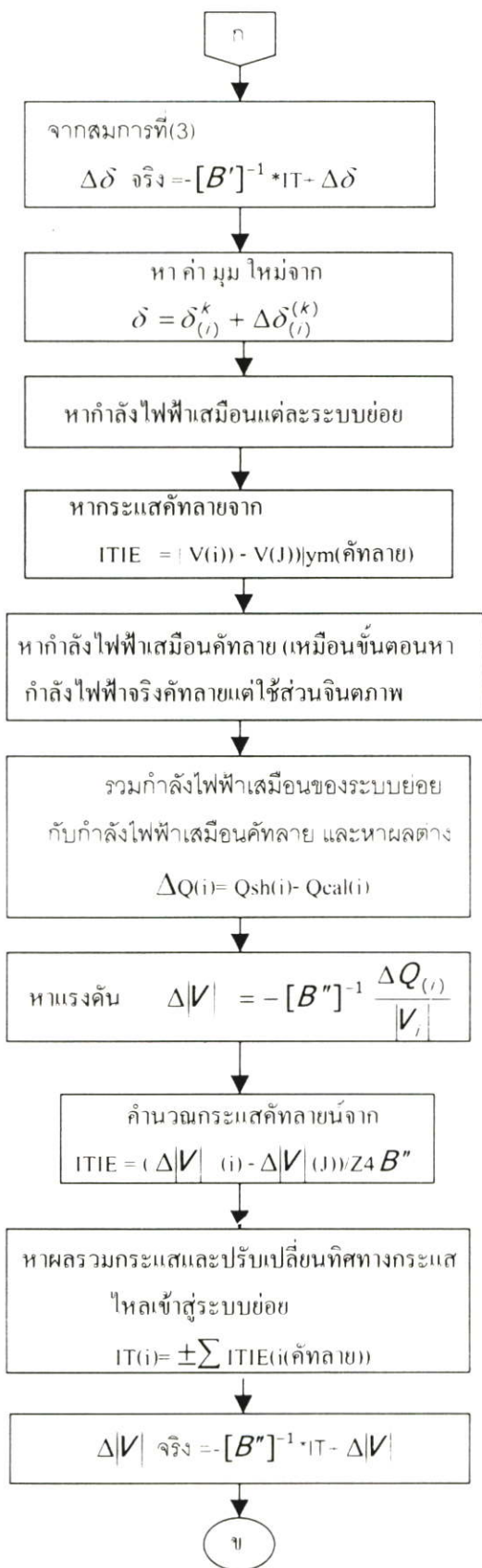
รูปที่ 3 การบันทึก YS ละ y_m ด้วยวิธีสเปซเมตริกซ์

2.4 การวิเคราะห์โหลดโพล้วแบบแยกส่วนย่อยโดยนา

เทคนิคสเปซเมตริกซ์และฟาสต์คัมเปิลมาใช้

- สมมติให้ i แทน บัสระบบย่อย
- J แทน i อีกระบบย่อยหนึ่ง
- nl แทน บัสส่งระบบย่อย
- nr แทน บัสรับระบบย่อย



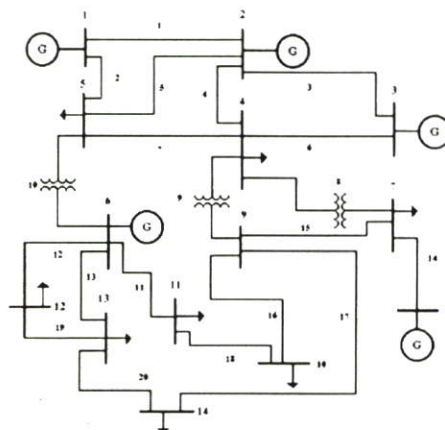


รูปที่ 4 โพลีซาร์ทแสดงการวิเคราะห์โหลดโพลีแบบ SPF

3. การทดลอง และผลการทดลอง

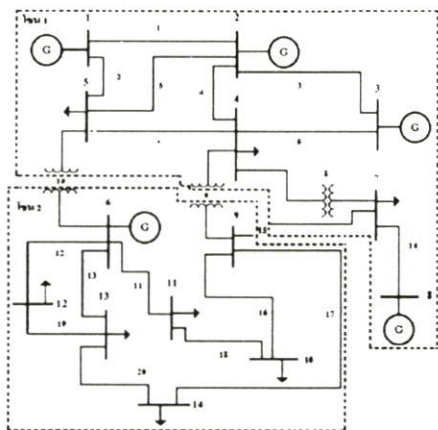
3.1 เปรียบเทียบความถูกต้องของการคำนวณ

ในการทดสอบความถูกต้องของการคำนวณได้เลือกระบบไฟฟ้ากำลัง 14 และ 30 บัส เปรียบเทียบความถูกต้อง กับโปรแกรม นิวตันราฟสัน โดยในที่นี้จะใช้อักษรย่อ "SPF" แทนการที่จะกล่าวถึงโปรแกรมวิเคราะห์โหลดโพลีแบบแยกส่วนย่อยด้วยวิธีฟาสต์คัลเบิ้ลโดยใช้เทคนิคสาขาเมตริกซ์ ที่จะกล่าวถึงต่อไป



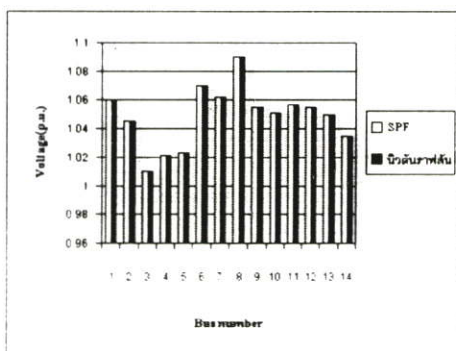
รูปที่ 5 ระบบทดสอบ IEEE 14 บัส[6]

จากรูปที่ 5 แบ่งระบบออกเป็นระบบย่อยดังรูปที่ 6

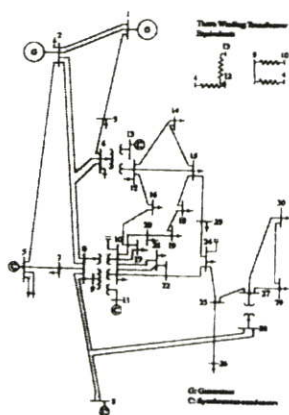


รูปที่ 6 การแยกส่วนย่อย IEEE 14 บัส

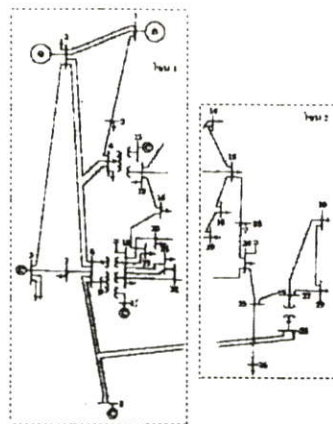
ผลของการทดสอบการคำนวณโหลดโพล์เปรียบเทียบแรงดัน เป็นดังรูปที่ 7



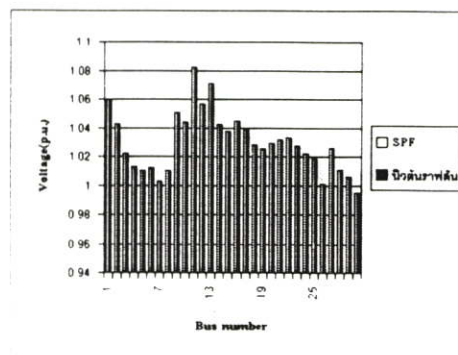
รูปที่ 7 เปรียบเทียบแรงดัน ที่ได้จากนิวตัน ราฟสัน และ SPF ของระบบไฟฟ้ากำลัง IEEE 14 บัส



รูปที่ 8 ระบบทดสอบ IEEE 30 บัส(3) จากรูปที่ 8 แบ่งระบบย่อยเป็นดังรูปที่ 9



รูปที่ 9 การแยกส่วนย่อย IEEE 30 บัส ผลของการทดสอบการคำนวณโหลดโพล์เปรียบเทียบแรงดัน เป็นดังรูปที่ 10



รูปที่ 10 เปรียบเทียบแรงดันที่ได้จากนิวตัน ราฟสัน และ SPF ของระบบไฟฟ้ากำลัง IEEE 30 บัส ผลการทดสอบการวิเคราะห์โหลดโพล์แบบ SPF มีค่าใกล้เคียงกับ นิวตัน ราฟสัน

3.2 เปรียบเทียบ เวลา จำนวนรอบ และจำนวนหน่วยความจำ

วิธีการคำนวณ	เวลา (วินาที)	จำนวนรอบ	หน่วยความจำ (ไบต์)
นิวตันราฟสัน	2.09	3	17.762
ฟาสต์คัลคูล	2.25	19	13.258
SPF	0.94	14	11.756

ตารางที่ 1 ค่าของเวลา, จำนวนรอบ และหน่วยความจำที่ใช้ของระบบ IEEE 14 บัส

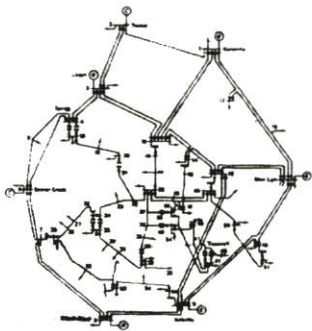
วิธีการคำนวณ	เวลา (วินาที)	จำนวนรอบ	หน่วยความจำ (ไบต์)
นิวตันราฟสัน	5.05	4	66.354
ฟาสต์คัมเบิ้ล	5	15	42.610
SPF	5.71	10	31.988

ตารางที่ 2 ค่าของเวลา, จำนวนรอบ และหน่วยความจำที่ใช้ของระบบ IEEE 30 บัส

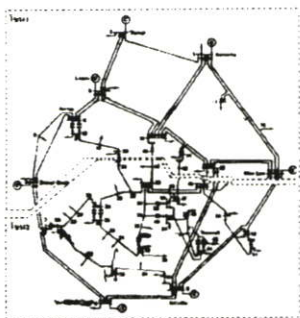
ผลการทดสอบด้าระบบไฟฟ้ากำลังขนาดเล็ก SPF จะใช้เวลาในการคำนวณน้อยกว่า นิวตันราฟสัน และฟาสต์คัมเบิ้ล แต่ถ้าเป็นระบบไฟฟ้ากำลังขนาดใหญ่ จะใช้เวลามากเนื่องจากระบบไฟฟ้ากำลังที่มีขนาดใหญ่ จะมีจำนวนสายคัทหลายเพิ่มขึ้น เวลาที่ใช้จะเสียไปกับสมการคัทหลาย สำหรับหน่วยความจำ SPF จะใช้เนื้อที่น้อยกว่านิวตันราฟสัน และฟาสต์คัมเบิ้ล และผลจำนวนรอบในการลู่เข้าหาค่าตอบ

$$\text{นิวตัน ราฟสัน} < \text{SPF} < \text{ฟาสต์คัมเบิ้ล}$$

3.3 ทดสอบด้วยระบบไฟฟ้ากำลังขนาดใหญ่



รูปที่ 11 ระบบทดสอบ IEEE 57 บัส[5]



รูปที่ 12 แยกส่วนย่อย IEEE 57 บัส

วิธีการคำนวณ	เวลา (วินาที)	การลู่เข้า หาค่าตอบ	จำนวนรอบ ในการคำนวณ
นิวตันราฟสัน	32.24	ไม่ดี	101
ฟาสต์คัมเบิ้ล	14.07	ไม่ดี	92
SPF	32.02	ดี	7

ตารางที่ 3 เปรียบเทียบวิธีการคำนวณโหลดโพลว์ระบบไฟฟ้ากำลังขนาดใหญ่ ด้วยโปรแกรมเมทแลบ

4.สรุปผลการทดลอง

ในการทดสอบวิธีการ “SPF” สามารถคำนวณผลลัพธ์ได้ใกล้เคียงกับการคำนวณโหลดโพลว์แบบธรรมดาและใช้เนื้อที่หน่วยความจำน้อย โดยอาศัยวิธีสไปซเมตริกซ์ ในการลดขนาดการแก้แอดมิแทนท์ และใช้ฟาสต์คัมเบิ้ลมาช่วยลดขนาดจาโคเบียน อีกต่อหนึ่งหลังจากที่ได้ใช้วิธีการแยกส่วนย่อยลดขนาดจาโคเบียนไปแล้ว สำหรับข้อเสีย SPF คือความช้าในการคำนวณระบบไฟฟ้ากำลังที่มีขนาดใหญ่ เนื่องจากมีจำนวนสายคัทหลายเพิ่มขึ้น ทำให้เวลาการคำนวณสมการคัทหลายเพิ่มขึ้นตามไปด้วย

5.เอกสารอ้างอิง

- [1] H.H. Happ and C.C Young, “Tearing Algorithms for Large Scale Network Programs,” IEEE Trans.Power Apparatus and system, pp. 2639-2649, Dec. 1971.
- [2] J.Granger,W D. Stevenson,Jr. Power System Analysis. Singapore : McGraw-Hill,Inc. 1994
- [3] S.Hadi,“Power System Analysis,” McGraw- Hill ,1999.
- [4] วิเศษ จูภิบาล. “โปรแกรมโหลดโพลว์อัตโนมัติสำหรับระบบไฟฟ้าเชื่อมโยงภายในขนาดใหญ่.” “วิทยานิพนธ์ปริญญาวิศวกรรมศาสตรมหาบัณฑิต ภาควิศวกรรมไฟฟ้า บัณฑิตวิทยาลัย จุฬาลงกรณ์มหาวิทยาลัย. 2513
- [5] Y.Wallach. “Calculations and Programs For Power System Networks.” New Jersey : Prentice-Hall,Inc. 1986

ประวัติผู้เขียน



นายพรสิน ชัยศิริพงษ์ เกิดเมื่อ วันที่ 4 กันยายน ที่อำเภอตากสิน จังหวัดนครสวรรค์ สำเร็จการศึกษาปริญญาวิทยาศาสตรบัณฑิต สาขาฟิสิกส์ จากภาควิชาฟิสิกส์ คณะวิทยาศาสตร์ มหาวิทยาลัย พระจอมเกล้าธนบุรี